



TESIS - TE142599

**KLASIFIKASI JENIS BATIK TULIS DAN NON TULIS
BERDASARKAN FITUR TEKSTUR CITRA BATIK
MENGGUNAKAN LEARNING VECTOR
QUANTIZATION (LVQ)**

NAFIK'AH YUNARI
2215206707

DOSEN PEMBIMBING
Prof. Dr. Ir. Mauridhi Hery Purnomo, M.Eng.
Dr. Eko Mulyanto Yuniarno, S.T., M.T.

PROGRAM MAGISTER
BIDANG KEAHLIAN TELEMATIKA / CHIEF INFORMATION OFFICER (CIO)
DEPARTEMEN TEKNIK ELEKTRO
FAKULTAS TEKNOLOGI ELEKTRO
INSTITUT TEKNOLOGI SEPULUH NOPEMBER
SURABAYA
2017



TESIS - TE142599

**KLASIFIKASI JENIS BATIK TULIS DAN NON TULIS
BERDASARKAN FITUR TEKSTUR CITRA BATIK
MENGGUNAKAN LEARNING VECTOR
QUANTIZATION (LVQ)**

NAFIK'AH YUNARI
2215206707

DOSEN PEMBIMBING
Prof. Dr. Ir. Mauridhi Hery Purnomo, M.Eng.
Dr. Eko Mulyanto Yuniarno, S.T., M.T

PROGRAM MAGISTER
BIDANG KEAHLIAN TELEMATIKA / CHIEF INFORMATION OFFICER (CIO)
DEPARTEMEN TEKNIK ELEKTRO
FAKULTAS TEKNOLOGI ELEKTRO
INSTITUT TEKNOLOGI SEPULUH NOPEMBER
SURABAYA
2017

LEMBAR PENGESAHAN

Tesis disusun untuk memenuhi salah satu syarat memperoleh gelar
Magister Teknik (M.T)
di
Institut Teknologi Sepuluh Nopember
oleh:

Nafik'ah Yunari
NRP. 2215206707

Tanggal Ujian : 6 Juni 2017
Periode Wisuda : September 2017

Disetujui oleh:

1. Prof. Dr. Ir. Mawridhi Hery Purnomo., M.Eng. (Pembimbing I)
NIP: 19580916 198601 1 001

2. Dr. Eko Mulyanto Yuniarno, ST., M.T. (Pembimbing II)
NIP: 19680601 199512 1 009

3. Dr. Ir. Endroyono, DEA (Penguji)
NIP: 19650404 199102 1 001

4. Mochamad Hariadi, ST., M.Sc., Ph.D. (Penguji)
NIP: 19691209 199703 1 002

5. Dr. Surya Sumpeno, ST., M.Sc. (Penguji)
NIP: 19690613 199702 1 003

6. Dr. Istas Pratomo, S.T., M.T. (Penguji)
NIP: 19790325 200312 1 001



Dr. Tri Arief Sardjono, S.T., M.T.
NIP. 197002121995121001

Halaman ini sengaja dikosongkan

PERNYATAAN KEASLIAN TESIS

Dengan ini saya menyatakan bahwa isi keseluruhan Tesis saya dengan judul **“KLASIFIKASI JENIS BATIK TULIS DAN NON TULIS BERDASARKAN FITUR TEKSTUR CITRA BATIK MENGGUNAKAN LEARNING VECTOR QUANTIZATION (LVQ)”** adalah benar-benar hasil karya intelektual mandiri, diselesaikan tanpa menggunakan bahan-bahan yang tidak diijinkan dan bukan merupakan karya pihak lain yang saya akui sebagai karya sendiri.

Semua referensi yang dikutip maupun dirujuk telah ditulis secara lengkap pada daftar pustaka. Apabila ternyata pernyataan ini tidak benar, saya bersedia menerima sanksi sesuai peraturan yang berlaku.

Surabaya, Mei 2017

Nafik'ah Yunari
NRP. 2215206707

Halaman ini sengaja dikosongkan

**KLASIFIKASI JENIS BATIK TULIS DAN NON TULIS
BERDASARKAN FITUR TEKSTUR CITRA BATIK
MENGGUNAKAN LEARNING VECTOR QUANTIZATION
(LVQ)**

Nama mahasiswa : Nafik'ah Yunari
NRP : 2215206707
Pembimbing : 1. Prof. Dr. Ir. Mauridhi Hery Purnomo., M.Eng.
 2. Dr. Eko Mulyanto Yuniarno, S.T., M.T.

ABSTRAK

Batik, sebagai warisan budaya Indonesia, memiliki dua jenis batik asli yaitu Batik Tulis dan Batik Cap. Keduanya dibuat dengan tenaga manusia dan mempunyai makna pada setiap motifnya. Namun, masih sulit untuk membedakan kain batik tulis dan non tulis. Banyak kain yang tersebar di masyarakat yang diklaim sebagai batik padahal bukan. Tujuan dari penelitian ini adalah untuk mendapatkan fitur statistik tekstur dari citra batik untuk mengetahui jenis batik tulis, cap dan printing dengan menggunakan ekstraksi tekstur *Gray Level Co-occurrence Matrix (GLCM)* dan *Artificial Neural Network Learning Vector Quantization (LVQ)* sebagai metode untuk mengklasifikasikan jenis batik tulis dan non tulis. Pengambilan data dilakukan dengan mengambil citra kain batik. Citra dari kain diolah melalui image processing untuk selanjutnya dilakukan ekstraksi fitur statistik dengan metode GLCM. Fitur yang dipakai dalam penelitian ini adalah fitur ASM (Angular Second Moment), IDM (Inverse Different Moment), Entropy dan Korelasi. Untuk nilai fitur ASM (Angular Second Moment) dan IDM (Inverse Different Moment) kelas batik tulis mempunyai nilai rataan tertinggi. Nilai entropy pada batik tulis lebih rendah dari kedua kelas lainnya. Untuk nilai kolerasi pada kelas batik tulis lebih rendah daripada kelas textil motif batik (printing) dan lebih tinggi daripada kelas batik cap. Dari hasil pengujian pada penelitian ini, parameter terbaik LVQ dengan menggunakan 1000 epoch, learning rate 0.3 dan 600 hidden neuron. Tahapan identifikasi dari 600 sampel citra batik tulis dan non tulis dengan menerapkan metode klasifikasi LVQ dilakukan dengan 2 tahap, pertama tahap pelatihan data sebanyak 70% dari jumlah sampel data, kedua tahap pengujian yang dilakukan pada 30%. Untuk tingkat prediksi LVQ mencapai rata-rata akurasi dari data tanpa normalisasi sebesar 90,43% dan data dengan normalisasi sebesar 98,40%. Sedangkan pada data uji atau data testing besarnya nilai rata-rata akurasi pada dataset tanpa normalisasi sebesar 92,79% setelah dilakukan normalisasi data nilai rata-rata akurasi bertambah menjadi 98,98% sehingga kenaikan nilai rata-rata akurasi sebesar 8%.

Kata kunci: Batik, citra batik, fitur tekstur, GLCM, LVQ

Halaman ini sengaja dikosongkan

INDONESIAN HANDWRITTEN BATIK IMAGE CLASSIFICATION USING TEXTURE FEATURE EXTRACTION AND LEARNING VECTOR QUATIZATION (LVQ)

By : Nafik'ah Yunari
Student Identity Number : 2215206707
Supervisor(s) :
1. Prof. Dr. Ir. Mauridhi Hery Purnomo., M.Eng.
2. Dr. Eko Mulyanto Yuniarno, S.T., M.T.

ABSTRACT

Batik, as Indonesia's cultural heritage, has two types of original batik namely Batik Tulis and Batik Cap. Both are made with human power and have meaning in every motive. However, it is still difficult to distinguish batik cloth and non-writing. Many fabrics are scattered in a society that is claimed to be batik when it is not. The purpose of this research is to get the texture statistic feature from batik image to know the type of batik, stamp and printing by using Gray Level Co-occurrence Matrix (GLCM) and Artificial Neural Network Learning Vector Quantization (LVQ) as a method to classify the type Batik and non-writing. Data collection is done by taking the image of batik cloth. The image of the fabric is processed through image processing to further extraction of statistical features by GLCM method. The features used in this research are ASM (Angular Second Moment), IDM (Inverse Different Moment), Entropy and Correlation. For ASM (Angular Second Moment) and IDM (Inverse Different Moment) feature grade batik class has the highest mean value. The value of entropy on batik is lower than the other two classes. For the value of kolerasi on batik class is lower than the textile class of batik motif (printing) and higher than the class of batik cap. From the results of testing in this study, the best parameters LVQ namely: by using 1000 epoch, learning rate 0.3 and 600 hidden neurons. The identification stage of 600 samples of batik and non-writing image by applying LVQ classification method is done by 2 stages, first phase of data training is 70% from the amount of data sample, both stages of testing done at 30%. For LVQ prediction rate reached the average accuracy of data without normalization of 90.43% and data with normalization of 98.40%. While on the test data or data testing the average value of accuracy on the dataset without normalization of 92.79% after normalization of the data the average value of accuracy increased to 98.98%, so the increase in the average value of accuracy of 8%.

Key words: Batik, Indonesian Batik, Image, Texture feature, GLCM, LVQ.

Halaman ini sengaja dikosongkan

KATA PENGANTAR

Alhamdulillahirobbil'alamin, puji syukur atas segala limpahan nikmat dan karunia Allah SWT, Tuhan yang Maha Kuasa. Hanya dengan petunjuk, rahmat dan ridho-Nya, sehingga penulis dapat menyelesaikan tesis dengan judul "**KLASIFIKASI JENIS BATIK TULIS DAN NON TULIS BERDASARKAN FITUR TEKSTUR CITRA BATIK MENGGUNAKAN LEARNING VECTOR QUANTIZATION (LVQ)**".

Ucapan terima kasih yang sebesar-besarnya dan penghargaan yang setinggi-tingginya saya sampaikan kepada yang terhormat Prof. Dr. Ir. Mauridhi Hery Purnomo, M.Eng. selaku pembimbing pertama dan Dr. Eko Mulyanto Yuniarno, S.T., M.T. selaku pembimbing kedua, yang dengan penuh perhatian, dan kesabaran selalu meluangkan waktu, memberikan pengarahan dan motivasi serta semangat dalam penulisan tesis ini.

Penulis dapat menyelesaikan tesis ini, juga tidak terlepas dari bantuan dan kerjasama dari berbagai pihak, maka perkenankan saya dengan sepenuh hati menyampaikan terima kasih yang tak terhingga kepada:

1. Kementerian Komunikasi dan Informatika Republik Indonesia yang telah memberikan kesempatan mendapatkan beasiswa Program Magister Jurusan Teknik Elektro, Bidang Keahlian Telematika/Chief Information Officer (CIO) pada Institut Teknologi Sepuluh Nopember Surabaya.
2. Dr. Adhi Dharma Wibawa, S.T., M.T., selaku Koordinator Bidang Keahlian Telematika/Chief Information Officer (CIO) sekaligus Dosen Pembimbing Akademik Program Magister (S2) Jurusan Teknik Elektro, Bidang Keahlian Telematika/Chief Information Officer (CIO) Angkatan Tahun 2015, Fakultas Teknologi Elektro Institut Teknologi Sepuluh Nopember atas arahan, bimbingan dan motivasinya dalam menyelesaikan perkuliahan maupun penulisan tesis ini.
3. Seluruh Pengajar dan staf Program Studi Magister (S2) Jurusan Teknik Telematika, Bidang Keahlian Telematika/Chief Information Officer (CIO),

- yang telah mentransfer ilmu pengetahuannya melalui kegiatan perkuliahan maupun praktikum serta membantu kelancaran pengurusan administrasi perkuliahan dan penyelesaian tesis ini.
4. Mahasiswa Program Studi Magister (S2) Telematika/Chief Information Officer (CIO) Angkatan 2015 yang selalu kompak dan saling mendukung, saling mendoakan baik dalam perkuliahan maupun dalam penyelesaian penulisan tesis ini.
 5. Penghuni Laboratorium Visi Komputer yang selalu memberikan tempat duduk dan diskusi keluarga yang hangat dalam menyelesaikan penulisan tesis ini.

Semoga Allah SWT membalas kebaikan semua pihak yang telah memberi kesempatan, dukungan dan bantuan dalam menyelesaikan tesis ini. Penulis menyadari bahwa tesis ini masih jauh dari sempurna, oleh karena itu saran dan kritik yang membangun sangat diharapkan demi kesempurnaan tulisan ini, sehingga tesis ini memberikan manfaat.

Surabaya, Mei 2017

Penulis

DAFTAR ISI

| | |
|--|------|
| LEMBAR PENGESAHAN | iii |
| PERNYATAAN KEASLIAN TESIS | v |
| ABSTRAK | vii |
| ABSTRACT | ix |
| KATA PENGANTAR | xi |
| DAFTAR ISI..... | xiii |
| DAFTAR GAMBAR | xv |
| DAFTAR TABEL..... | xvii |
| BAB 1 PENDAHULUAN | 1 |
| 1.1 Latar Belakang | 1 |
| 1.2 Rumusan Masalah..... | 3 |
| 1.3 Tujuan | 3 |
| 1.4 Batasan Masalah | 3 |
| 1.5 Kontribusi | 4 |
| 1.6 Metodologi Penelitian..... | 4 |
| BAB 2 KAJIAN PUSTAKA..... | 5 |
| 2.1 Kajian Penelitian Terkait | 5 |
| 2.2 Teori Dasar..... | 6 |
| 2.2.1 Definisi Batik | 6 |
| 2.2.1.1 Ornamentasi Batik | 7 |
| 2.2.1.2 Jenis Batik..... | 8 |
| 2.2.1.3 Kain Motif Batik..... | 9 |
| 2.2.2 Pengolahan Citra Digital | 10 |
| 2.2.2.1 Konsep Citra Greyscale | 10 |
| 2.2.3 Ekstraksi Fitur Tekstur | 11 |
| 2.2.3.1 Tekstur Citra | 12 |
| 2.2.3.2 Ekstraksi Orde Kedua | 14 |
| 2.2.3.3 Matrix GLCM..... | 16 |
| 2.2.4 Learning Vector Quantization (LVQ)..... | 18 |
| 2.2.4.1 Definisi | 18 |
| 2.2.4.2 Prinsip Kerja | 19 |

| | |
|---|----|
| 2.2.5 Uji Validasi..... | 20 |
| 2.2.5.1 Metode K-Fold Cross Validation | 20 |
| 2.2.5.2 Metode Holdout | 21 |
| 2.2.6 Uji Evaluasi | 21 |
| 2.2.6.1 F-Measure (F1-Score) | 24 |
| BAB 3 METODOLOGI PENELITIAN | 27 |
| 3.1 Pengambilan Data Citra Batik..... | 28 |
| 3.2 Dataset Citra Batik | 29 |
| 3.3 Preprocessing (RGB to Gray)..... | 30 |
| 3.4 Ekstraksi Fitur GLCM..... | 31 |
| 3.5 Pemilihan Fitur | 32 |
| 3.6 Normalisasi Data | 32 |
| 3.7 Penentuan Data Training dan Data Testing..... | 33 |
| 3.8 Learning Vector Quantization | 33 |
| 3.8.1 Penentuan Parameter Learning Vector Quantization | 33 |
| 3.8.2 Pelatihan dan Pengujian Learning Vector | 34 |
| BAB 4 HASIL DAN PEMBAHASAN | 37 |
| 4.1 Hasil Pengambilan Gambar..... | 37 |
| 4.2 Hasil Preprocessing citra | 39 |
| 4.3 Hasil Ekstraksi dan Pemilihan Fitur GLCM | 39 |
| 4.4 Hasil Proses Penentuan Parameter LVQ | 42 |
| 4.5 Hasil Proses Pelatihan LVQ | 44 |
| 4.5.1 Pelatihan Menggunakan Data Tanpa Normalisasi..... | 44 |
| 4.5.2 Pelatihan Menggunakan Data Normalisasi..... | 51 |
| 4.6 Hasil Proses Ujicoba LVQ | 57 |
| 4.6.1 Proses Ujicoba Menggunakan Data Tanpa Normalisasi | 57 |
| 4.6.2 Proses Ujicoba Menggunakan Data Normalisasi | 64 |
| 4.7 Evaluasi Hasil..... | 71 |
| BAB 5 KESIMPULAN | 77 |
| DAFTAR PUSTAKA..... | 79 |
| LAMPIRAN | 82 |

DAFTAR GAMBAR

| | |
|--|----|
| Gambar 1.1 Label SNI batik mark | 2 |
| Gambar 2.1 Ornamentasi Batik..... | 8 |
| Gambar 2.2 Permodelan citra digital dalam bentuk matrix [12]..... | 11 |
| Gambar 2.3 Berbagai citra yang memiliki tekstur yang berbeda..... | 12 |
| Gambar 2.4 Contoh tekstur teratur (a) dan tekstur tidak teratur (b)..... | 13 |
| Gambar 2.5 Dua Daun yang serupa tetapi mempunyai tekstur yang berbeda | 14 |
| Gambar 2.6 Sudut Arah GLCM [14] | 17 |
| Gambar 2.7 Pembuatan Matrix GLCM..... | 17 |
| Gambar 2.8 Diagram Arsitektur LVQ | 18 |
| Gambar 2.2.9 Grafik Receiver Operating Curve (ROC) (Thomas G. Tape, 2016) | 24 |
| Gambar 3.1 Tahapan Penelitian | 27 |
| Gambar 3.2 Prosedur Pengambilan Citra Batik | 28 |
| Gambar 3.3 Proses Pegolahan Data Citra Batik..... | 29 |
| Gambar 3.4 Bagan Pengelompokan Dataset Kelas Batik | 30 |
| Gambar 3.5 Contoh hasil preprocessing satu cropping citra 256x256 pixel dari RGB menjadi citra keabuan (gray) | 30 |
| Gambar 4.1 Hasil Pengambilan data bentangan citra batik | 37 |
| Gambar 4.2 Potongan citra hasil cropping ukuran 256 x 256 pixel..... | 38 |
| Gambar 4.3 Contoh distribusi motif pada satu kelas dataset | 38 |
| Gambar 4.4 Contoh pembagian kelas dalam satu dataset..... | 39 |
| Gambar 4.5 Klaster nilai tiap kelas pada pengelompokan dataset..... | 42 |
| Gambar 4.6 Grafik Perbandingan Waktu dengan Learning Rate | 44 |
| Gambar 4.7 Grafik nilai precision, recall dan akurasi | 73 |
| Gambar 4.8 Grafik persentase kenaikan nilai akurasi data pelatihan dan data ujicoba..... | 73 |
| Gambar 4.9 Perbandingan Rata-rata akurasi Dataset..... | 74 |
| Gambar 4.11 Perbandingan Nilai F-Measure..... | 75 |

Halaman ini sengaja dikosongkan

DAFTAR TABEL

| | |
|--|-------------------------------------|
| Tabel 2.1 Daftar Penelitian Penunjang | 6 |
| Tabel 2.2.2 Confusion Matrix | 22 |
| Tabel 3.1 Fitur tekstur berbasis GLCM sudut 0° | 31 |
| Tabel 3.2 Hasil Ekstraksi Fitur Tekstur GLCM pada salah satu sudut..... | 32 |
| Tabel 3.3 Confusion Matrik | 35 |
| Tabel 4.1 Rerata fitur GLCM pada kelompok dataset | Error! Bookmark not defined. |
| Tabel 4.3 Rerata (Mean) fitur GLCM pada dataset yang lebih besar | 41 |
| Tabel 4.4 Daftar Penentuan Hasil Perhitungan Learning Rate Terhadap Waktu dan Akurasi..... | 43 |
| Tabel 4.5 Confusion matrix dari skenario 1..... | 44 |
| Tabel 4.6 Confusion matrix dari skenario 2..... | 46 |
| Tabel 4.7 Confusion matrix dari skenario 3..... | 47 |
| Tabel 4.8 Confusion matrix dari skenario 4..... | 48 |
| Tabel 4.9 Confusion matrix dari skenario 5..... | 50 |
| Tabel 4.10 Confusion matrix dari skenario 6..... | 51 |
| Tabel 4.11 Confusion matrix dari skenario 7..... | 52 |
| Tabel 4.12 Confusion matrix dari skenario 8..... | 54 |
| Tabel 4.13 Confusion matrix dari skenario 9..... | 55 |
| Tabel 4.14 Confusion matrix dari skenario 10..... | 56 |
| Tabel 4.15 Confusion matrix dari skenario 11..... | 58 |
| Tabel 4.16 Confusion matrix dari skenario 12..... | 59 |
| Tabel 4.17 Confusion matrix dari skenario 13..... | 60 |
| Tabel 4.18 Confusion matrix dari skenario 14..... | 62 |
| Tabel 4.19 Confusion matrix dari skenario 15..... | 63 |
| Tabel 4.20 Confusion matrix dari skenario 16..... | 64 |
| Tabel 4.21 Confusion matrix dari skenario 17..... | 66 |
| Tabel 4.22 Confusion matrix dari skenario 18..... | 67 |

| | |
|---|----|
| Tabel 4.23 Confusion matrix dari skenario 19 | 68 |
| Tabel 4.24 Confusion matrix dari skenario 20 | 70 |
| Tabel 4.25 Perbandingan Hasil Akurasi | 71 |
| Tabel 4.26 Perhitungan Precision, Recall dan F-Measure..... | 75 |

BAB 1

PENDAHULUAN

1.1 Latar Belakang

Batik merupakan hasil karya seni kerajinan peninggalan dari nenek moyang bangsa Indonesia yang sangat tinggi nilainya. Pada mulanya batik hanya digunakan dalam memenuhi kebutuhan sandang seperti kain panjang, sarung, ikat kepala (udheng), selendang dan sebagainya. Namun dalam perkembangannya batik juga berfungsi sebagai sarana dalam memenuhi kebutuhan akan rasa keindahan.

Pada tahun 2009 Batik Indonesia secara resmi diakui UNESCO dengan dimasukkan ke dalam daftar representatif sebagai budaya tak-benda warisan manusia (Representative List of the Intangible Cultural Heritage of Humanity). Batik yang dimaksud adalah batik tulis dan batik cap, kedua proses pembuatan jenis batik ini menggunakan tenaga manusia (handmade). Batik tulis dihasilkan dengan menggunakan tangan yang menggambar diatas kain menggunakan canting, sedangkan batik cap menggunakan alat cap tembaga / stempel.

Beberapa tahun terakhir peredaran tekstil bermotif batik makin marak diperjualbelikan di pasar nasional. Kain motif batik ini tidak dibuat secara handmade menggunakan canting dan malam, tetapi dengan berbagai metode terkini untuk menciptakan kain seperti mesin printing dan sablon. Banyak konsumen yang merasa tertipu membeli batik yang tidak sesuai dengan kualitas yang diinginkan. Hal itu disebabkan para pembeli tidak bisa membedakan antara batik tulis asli dengan kain motif batik. Sehubungan dengan hal tersebut, perlu membuat penerapan edukasi kepada masyarakat supaya bisa membedakan wastra batik asli Indonesia dan mana yang bukan batik.

Upaya pemerintah memberikan proteksi terhadap batik tulis asli Indonesia dengan memberikan standart sertifikasi bernama batikmark yang telah di tuangkan pada Peraturan Menteri Perindustrian Nomor: 74/M-IND/PER/9/2007, tentang Penggunaan Batikmark “Batik INDONESIA”. Sertifikasi batik mark

adalah sertifikasi pada produk batik yang sesuai dengan kaidah SNI. Tujuan pemberian sertifikasi batikmark adalah untuk memberikan jaminan mutu batik indonesia, meningkatkan kepercayaan konsumen dalam negeri maupun luar negeri terhadap mutu batik indonesia, memberikan perlindungan hukum dari berbagai persaingan tidak sehat di bidang hak kekayaan intelektual, serta memberikan identitas batik indonesia agar masyarakat indonesia dan asing dapat dengan mudah mengenali batik buatan Indonesia. Contoh label Batikmark dapat dilihat pada Gambar 1.1 yang terdiri dari 3 warna yaitu emas, perak dan putih.



Gambar 1.1 Label SNI batik mark

Permasalahan yang timbul pada proses sertifikasi Batikmark antara lain masih sedikit pengrajin yang mengajukan sertifikasi Batikmark ke Balai Besar Kerajinan dan Batik karena penggunaan sertifikat tersebut tidak bersifat memaksa melainkan bersifat anjuran yang ditujukan kepada pengrajin Industri Kecil dan Menengah (IKM) batik. Oleh sebab itu hanya sedikit sekali batik asli dengan lebel Batikmark.

Secara visual keaslian batik bisa dikenali, karena proses pembuatannya yang manual, bekas terehan malam pada kain mempunyai karakteristik yang berbeda. Setiap titik pada batik tulis dan cap tidak bisa sama persis seperti gambar vector dari proses grafis. Retakan malam juga berpengaruh terhadap motif yang tercipta. Oleh karenanya pada penelitian ini bemaksud untuk melakukan identifikasi terhadap citra kain batik.

Pengolahan citra batik memberikan peran yang cukup besar dalam hal penilaian akurasi yang baik. Pengolahan data yang dilakukan diantaranya adalah teknik ekstraksi dan klasifikasi. Teknik ekstraksi dibutuhkan untuk memperoleh informasi yang tersimpan pada citra sebagai parameter pengambilan keputusan mengklasifikasi informasi.

Saat ini banyak metode yang telah dikembangkan dalam proses klasifikasi pada batik, namun pada penelitian ini digunakan metode Gray Level Co-Occurance Matrix (GLCM) sebagai proses ekstraksi. Setelah proses ekstraksi dilakukan proses klasifikasi menggunakan Learning Vector Quantization (LVQ). Jaringan saraf tiruan LVQ memelliki kelebihan struktur sederhana, learning yang cepat, dan mempunyai klasifikasi handal. [wang zhang & Yu 2012]

1.2 Rumusan Masalah

Berdasarkan latar belakang yang telah dipaparkan, rumusan masalah pada penelitian bahwa untuk saat ini pengenalan batik asli masih sangat terbatas, sehingga sering terjadi kesalahan secara visual pada identifikasinya.

1.3 Tujuan

Tujuan penelitian ini adalah untuk mengembangkan sistem identifikasi citra batik yang akurat dengan penerapan metode ekstraksi fitur *Gray Level Co-Ocurence Matrix (GLCM)* dan Optimalisasi proses identifikasi batik tulis asli dengan menggunakan metode *Learning Vector Quantization (LVQ)*.

1.4 Batasan Masalah

Berdasarkan uraian yang telah disebutkan, Batasan masalah pada penelitian ini adalah :

1. Pengambilan citra batik dilakukan dengan kamera jenis mirorles 16,5 MP
2. Pengambilan dan pengolahan citra tidak diakukan secara *real-time*.
3. Jumlah sample yang diuji adalah 600 citra yang dibagi dalam 3 kelas.
4. Metode yang digunakan adalah GLCM dan LVQ.

1.5 Kontribusi

Hasil penelitian ini diharapkan dapat berkontribusi memberikan solusi otomatis dalam penentuan keaslian batik dan menjadi penelitian awal untuk proses standarisasi batik pada Balai Kerajinan dan Batik Yogyakarta.

1.6 Metodologi Penelitian

Penelitian ini disusun menjadi lima bab sebagai berikut :

Bab. I Pendahuluan

Pada bab ini akan dibahas mengenai latar belakang, perumusan masalah, tujuan penelitian, pembatasan masalah, dan sistematika penulisan dari penelitian ini.

Bab. II Tinjauan Pustaka

Pada bab ini akan dibahas mengenai teori-teori penunjang yang akan digunakan untuk merancang sistem identifikasi batik asli yaitu teori tentang batik, model pengolahan citra digital, citra grayscale, eksatraksi fitur dengan GLCM, klasifikasi dengan LVQ.

Bab. III Metodologi Penelitian

Bab ini berisi tahapan proses metode perancangan untuk membangun dan menguji proses identifikasi jenis batik asli dan bukan batik.

Bab. IV Hasil dan Pembahasan

Pada bab ini dilakukan pembahasan dan hasil rancangan pada metodologi penelitian pada proses identifikasi jenis batik asli dan bukan batik.

Bab. V Kesimpulan

Bab ini berisi kesimpulan dan saran mengenai hasil evaluasi dan analisis serta penelitian lanjutan untuk pengembangan dan pebaikan penelitian ini.

BAB 2

KAJIAN PUSTAKA

2.1 Kajian Penelitian Terkait

Beberapa penelitian sebelumnya yang sejenis tentang klasifikasi batik dan pengenalan pola telah banyak dilakukan dengan berbagai metode. Kebanyakan dari penelitian tersebut melakukan ekstraksi ciri motif dasar batik, baik untuk sistem klasifikasi (batik image classification), sistem temu kembali citra batik (batik image retrieval) ataupun pengenalan pola citra batik (batik pattern recognition). Secara detail metode ekstraksi fitur untuk berbagai tujuan penelitian batik dapat dilihat pada Tabel 2.1.

Dengan melihat Tabel 2.1 dapat dikenali berbagai macam proses klasifikasi citra batik dilakukan dengan menggunakan fitur-fitur citra seperti warna, bentuk, dan tekstur citra. Setiap citra dalam masing-masing kelas diidentifikasi fitur-fiturnya untuk membedakan dari kelas citra yang lain. Namun dari semua subjek yang diteliti semuanya menggunakan parameter kelas jenis motif dasar dan bentuk motif seperti geometris atau fraktal. Yang membedakan dengan penelitian identifikasi jenis batik asli dan bukan batik adalah pemilihan fitur dan penentuan objek yang digunakan untuk proses klasifikasi.

Minarno dkk [2] menggunakan metode ekstraksi ciri yang micro structure descriptor untuk sistem temu kembali citra Batik berdasarkan konten. Nurhaida dkk [3] menyatakan dalam penelitiannya bahwa Gray Level Co-occurrence Matrices (GLCM) merupakan metode ekstraksi ciri yang terbaik untuk mengenali citra Batik, dibandingkan Canny Edge Detection dan Gabor filters. Teny [4] melakukan ekstraksi fitur tekstur Gray Level Co-occurrence Matrices (GLCM) dan VF15 untuk mengklasifikasi batik lasem.

Tabel 2.1 Daftar Penelitian Penunjang

| referensi | Penelitian | Ekstraksi Fitur | | |
|--------------------------|---------------------------------------|-------------------------------------|-------------------------------------|-------------------------------------|
| | | Warna | Tekstur | Bentuk |
| Moertitni (2005) | Batik Image Classification | HSV | Wavelet | Moment |
| Arisandi, et al. (2011) | Batik pattern Recognition | | Wavelet | |
| Nugraha, (2011) | Batik Image Classification | | Entropy, Homogeneity, Energy | |
| Arymurthy, et al. (2011) | Batik image retrieval | | log-gabor, edge number | |
| Rangkuti, et al (2011) | Batik Image Classification | | | Wavelet |
| Pratama, et al. (2012) | Batik pattern Recognition Multi label | | Discrete Wavelet, Transform, GLCM | |
| Fanani, et al (2014) | Batk feature extraction | | | Geometri Feature |
| Nugrowati, et al (2014) | batikImage Search system | 3D vector quantization | | Hu's Moment |
| Nurhaida, et al | Batik pattern recognition | | | SIFT |
| Agus Eko (2015) | Batik Image Retrieval | Multi texton co-occurrence matrices | Multi texton co-occurrence matrices | Multi texton co-occurrence matrices |

2.2 Teori Dasar

2.2.1 Definisi Batik

Secara etimologi kata “batik” berasal dari kata bertitik tunggal “tik”. Kata “tik” artinya “titik”. “Batik” berarti bertitik. Membatik berarti membuat bertitik. Memang kain batik adalah kain yang diukir dengan garis-garis dan titik-titik. Titik ini disebut “cecek” adalah bagian penting dari batik. Di dalam Ensiklopedia Indonesia diterangkan bahwa “*Batik adalah cara menghias kain (katun, sutera), dan lain-lain, dengan teknik sebagai berikut: bagian kain dasar yang harus tetap berwarna di lapisi lilin, kemudian lilin tadi di buang. Pekerjaan ini dilakukan beberapa kali untuk menentukan warna atau membuat berbagai warna*”.

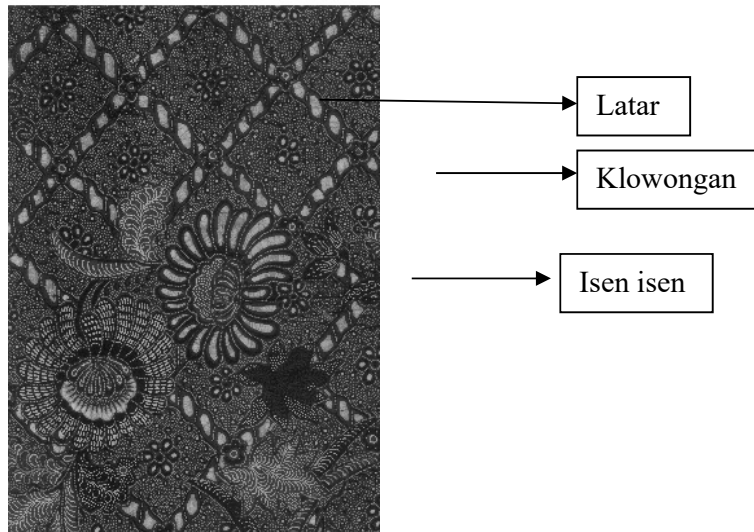
Meskipun motif batik sangat banyak dan bervariasi, tetapi setiap goresan pada motif dapat dilihat polanya karena teknik pembuatannya yang berbeda. Menurut SNI (Standart Nasional Indonesia) 0239:2014, Batik –

Pengertian dan Istilah [17]; Batik adalah kerajinan tangan sebagai hasil pewarnaan secara perintangan menggunakan malam (lilin batik) panas sebagai perintang warna dengan alat utama pelekat lilin batik berupa canting tulis dan atau canting cap untuk membentuk motif tertentu yang memiliki makna.

2.2.1.1 Ornamentasi Batik

Berdasarkan publikasi batik H. Santoso Doellah [6], terdapat 3 tahapan dalam ornamentasi batik, yakni :

1. Klowongan, yang merupakan proses penggambaran dan pembentukan elemen dasar dari desain batik secara umum.
2. Isen-isen, yaitu proses pengisian bagian-bagian dari ornamen dari pola isen yang ditentukan. Terdapat beberapa pola yang biasa digunakan secara tradisional seperti motif cecek, sawut, cecek sawut, sisik melik, dan sebagainya.
3. Ornamentasi Harmoni, yaitu penempatan berbagai latar belakang dari desain secara keseluruhan sehingga menunjukkan harmonisasi secara umum. Pola yang digunakan biasanya adalah pola ukel, galar, gringsing, atau beberapa pengaturan yang menunjukkan modifikasi tertentu dari pola isen, misalnya sekar sedhah, rembyang, sekar pacar, dan sebagainya. Gambar 2.1 menunjukkan ketiga bagian ornamentasi batik.



Gambar 2.1 Ornamentasi Batik

2.2.1.2 Jenis Batik

Berdasarkan buku Penerapan Standar Industri Indonesia (Departemen perindustrian, 1968) diterangkan bahwa batik tradisional yang didefinisikan sebagai batik asli adalah batik tulis dan batik cap. Penggerjaan batik tradisional menggunakan manual tangan (handmade). Bahan yang digunakan malam panas dan digoreskan dengan canting pada kain mori. Goresan tangan pada batik tulis menghasilkan pola motif yang khas. Hasil pola motif ini nanti nya yang akan dimenjadi subjek untuk mendapatkan fitur utama.

Baik tulis mempunyai ciri desain pada pola desain yang tidak terdapat ciri bolak balik yang berulang secara tepat. Ciri bentuk, ciri garis serta segala kesalahan isen tidak bisa berulang tepat sama dalam suatu desain pokok maupun desain ulangannya. Menggunakan desain khas batik Indonesia, serta sesuai dengan perkembangannya. Desain tersebut dilengkapi dengan isen-isen batik. Jarak dan garis tengah cecek batik tulis dapat kurang dari millimeter.

Ciri warna dan bau pada kain batik tulis yaitu berbau lilin batik. Bilamana digunakan proses pewarnaan dengan dengan remukan lilin tidak akan dapat teratur dan berulang sama. Pada warna batik tulis kedua belah bidang bolak-balik sama. Pada batik tulis yang dikerjakan kerokan akan selalu terdapat

bagian sogan (coklat sogan) yang kurang rata, yang disebabkan dari gangguan pewarnaan dari sisa lilin kerokan. Pada bagian tepi (pinggiran kain) batik tulis terdapat bekas dari goresan canting dari batik tulis atau ada desain pinggiran desain tertentu (khusus kain panjang).

Ciri Batik Cap mempunyai ciri desain dengan menggunakan desain corak khas batik Indonesia sesuai dengan perkembangannya. Desain tersebut dilengkapi dengan isen-isen batik. Rapor desain berulang secara tepat sama. Isen bentuk cecek terdiri dari besar kecilnya isen cecek kurang rata, dan selalu kelihatan adanya isen yang bergabung karena pengaruh tembaga panas. Bagian terusan (kebalikan) isen cecek ada yang tepat dan tidak tepat secara tidak merata. Jarak isen cecek tidak dapat kurang dari satu millimeter.

Ciri Warna dan Bau pada batik cap berbau lilin batik. Bilama digunakan proses pewarnaan dengan remukan lilin tidak akan dapat teratur dan berulang sama. Warna kain batik cap pada kedua belah bidang (bolak-balik) sama. Akan selalu terdapat perembasan warna pada bagian pecahan lilin. Bagian tepi kain terdapat garis-garis warna karena perembasan warna disebabkan oleh pecahan lilin.

2.2.1.3 Kain Motif Batik

Adanya perkembangan skala industri batik diimbangi dengan kemajuan teknologi, mengakibatkan terjadinya modifikasi proses pembuatan batik, baik pada bahan baku maupun peralatan yang digunakan. Banyak produsen yang meninggalkan metode tradisional untuk memperbesar kapasitas produksi dan mengurangi waktu pembuatan batik. Imbas dari perkembangan teknologi tersebut adalah munculnya produk yang menyerupai batik asli. Produk yang menyerupai batik tersebut diketahui diproses dengan beberapa teknik cetak yang didesain sedemikian rupa sehingga produk yang dihasilkan memiliki perbedaan yang tipis dengan batik.

Menurut SNI (Standart Nasional Indonesia) 8184:2015-Tiruan Batik dan Paduan Tiruan Batik dengan Batik– [17]; Tiruan Batik macamnya yaitu : Tiruan batik print warna, Tiruan batik print cabut warna, Tiruan batik

print malam dingin, Tiruan batik paduan print warna dengan print cabut warna, produk tiruan batik yang dipadu dengan batik tulis dan atau batik cap, produk tiruan batik print warna yang dipadu dengan batik tulis, produk tiruan batik print warna yang dipadu dengan batik cap, produk tiruan batik print warna yang dipadu dengan batik kombinasi, produk tiruan batik print cabut warna yang dipadu dengan batik tulis, produk tiruan batik print cabut warna yang dipadu dengan batik cap, produk tiruan batik print cabut warna yang dipadu dengan batik kombinasi, produk tiruan batik print malam dingin yang dipadu dengan batik tulis. Semua macam tiruan batik dalam penelitian ini disebut sebagai textil motif batik.

2.2.2 Pengolahan Citra Digital

Pengolahan citra digital adalah manipulasi dan interpretasi digital dari citra dengan bantuan komputer. Pengenalan pola merupakan suatu ilmu untuk mengklasifikasikan atau menggambarkan pengukuran kuantitatif fitur (ciri) atau sifat utama dari suatu obyek` Tujuan dari pengenalan pola adalah menentukan kelompok atau kategori pola berdasarkan ciri-ciri yang dimiliki oleh pola tersebut atau dengan kata lain, pengenalan pola membedakan suatu objek dengan objek yang lain. Berdasarkan definisi di atas, pengenalan pola dapat didefinisikan sebagai cabang dari kecerdasan buatan yang menitikberatkan pada pengklasifikasian.

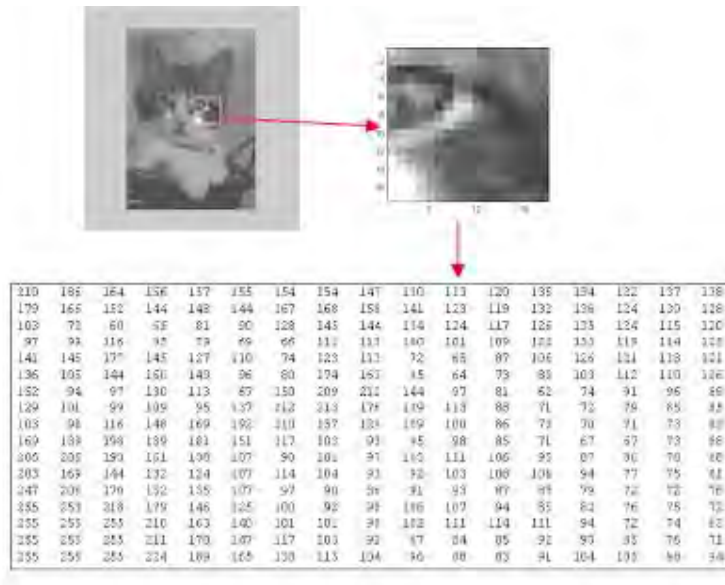
2.2.2.1 Konsep Citra Greyscale

Citra digital merupakan representatif dari citra yang diambil oleh mesin dengan bentuk pendekatan berdasarkan sampling dan kuantisasi. Sampling menyatakan besarnya kotak-kotak yang disusun dalam baris dan kolom atau dengan kata lain sampling pada citra menyatakan besar kecilnya ukuran piksel (titik) pada citra, dan kuantisasi menyatakan besarnya nilai tingkat kecerahan yang dinyatakan dalam nilai tingkat keabuan (grayscale) sesuai dengan jumlah bit biner yang digunakan oleh mesin atau dengan kata lain kuantisasi pada citra menyatakan jumlah warna yang ada pada citra [12].

Citra digital dapat dimodelkan sebagai suatu matriks dimana indeks baris dan kolomnya menyatakan suatu titik pada citra tersebut dan elemen matriksnya menyatakan tingkat keabuan pada titik tersebut. Berikut ini adalah pemodelan citra digital dalam bentuk matriks berukuran N x M.

$$f(x,y) = \begin{bmatrix} f(0,0) & f(0,1) & \cdots & f(0,N-1) \\ f(1,0) & f(1,1) & \cdots & f(1,N-1) \\ \vdots & \vdots & \vdots & \vdots \\ f(M-1,0) & f(M-1,1) & \cdots & f(M-1,N-1) \end{bmatrix}$$

Nilai pada suatu irisan antara baris dan kolom (pada posisi x,y) disebut dengan picture element, image element, pels, atau pixel. Istilah pixel merupakan istilah yang sering digunakan dalam citra digital.



Gambar 2.2 Permodelan citra digital dalam bentuk matrix [12]

2.2.3 Ekstraksi Fitur Tekstur

Setiap citra mempunyai informasi unik yang disebut sebagai fitur. Kegunaan fitur untuk menentukan karakteristik dari sebuah citra sehingga citra tersebut dapat diklasifikasikan sesuai karakteristiknya. Macam fitur yang ada pada citra antara lain warna, bentuk, ciri, tekstur dan lain lain.

Selain melibatkan fitur bentuk, tekstur banyak digunakan sebagai fitur untuk temu kembali citra. Hal ini disebabkan beberapa objek mempunyai pola-pola tertentu, yang bagi manusia mudah untuk dibedakan. Oleh karena itu, diharapkan komputer juga dapat mengenali sifat-sifat seperti itu.

Tekstur digunakan untuk berbagai kepentingan. Umumnya, aplikasi tekstur dapat dibagi menjadi dua kategori. Pertama adalah untuk kepentingan segmentasi. Pada proses ini, tekstur dipakai untuk melakukan pemisahan antara satu objek dengan objek yang lain. Kedua adalah untuk klasifikasi tekstur, yang menggunakan fitur-fitur tekstur untuk mengklasifikasi objek.

2.2.3.1 *Tekstur Citra*

Kulkarni (1994) mendefinisikan tekstur sebagai hubungan mutual antara nilai intensitas piksel-piksel yang bertetangga yang berulang di suatu area yang lebih luas daripada jarak hubungan tersebut. Pengulangan yang dimaksud terkadang sulit dijabarkan, tetapi mudah ditangkap oleh mata , seperti yang terdapat pada Gambar 2.3(a) dan Gambar 2.3(b). Hal ini berbeda dengan Gambar 2.3(c). Citra yang disebut terakhir mempunyai sifat pengulangan yang mudah dilihat. Namun, pada ketiga gambar tersebut, jelas bahwa ada suatu tekstur yang terkandung dalam setiap citra. Tekstur pada Gambar 2.3(c), dari sisi keteraturan pola, adalah yang paling mudah untuk dikenali.



(a) Halus

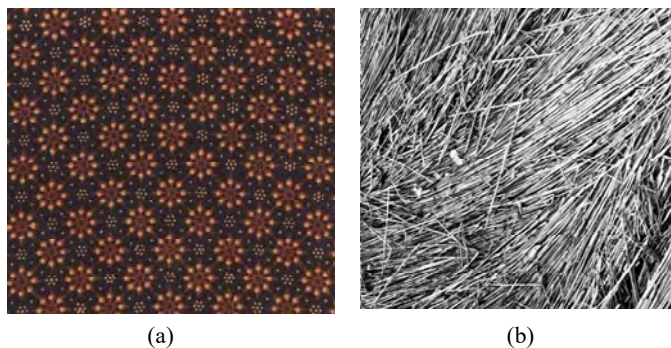
(b) Kasar

(c) Teratur

Gambar 2.3 Berbagai citra yang memiliki tekstur yang berbeda

(Sumber: citra Brodatz)

Berdasarkan keteraturan pengulangan pola dalam objek, tekstur dapat dikategorikan ke dalam dua bentuk: 1) tekstur teratur dan 2) tekstur tidak teratur. Contoh kedua jenis tekstur ditunjukkan pada Gambar 2.4 dan Gambar 2.5. Tekstur buatan manusia berkecenderungan masuk dalam kategori tekstur teratur, sedangkan tekstur alamiah bersifat tidak teratur. Berdasarkan tingkat kekasaran objek, tekstur dibedakan menjadi dua: mikrotekstur dan makrotekstur (Acharya dan Ray, 2005). Apabila ukuran elemen yang menyusun pengulangan pola berukuran besar, tekstur dikatakan kasar atau bertekstur makro. Tekstur seperti itu dinamakan sebagai makrostruktur. Sebaliknya, mikrostruktur mempunyai sifat elemen-elemen yang menyusun pengulangan pola berukuran kecil. Berdasarkan perspektif matematis, tekstur dapat dibedakan ke dalam spektrum stokastis dan spektrum regular. Tekstur stokastis (atau kadang disebut tekstur statistis) adalah tekstur yang mempunyai bentuk mirip dengan derau. Tekstur regular (atau terkadang sebagai tekstur struktural) adalah tekstur yang tersusun atas pola-pola periodis. Dalam hal ini, warna/intensitas serta bentuk elemen tekstur diulang dengan interval yang sama.



Gambar 2.4 Contoh tekstur teratur (a) dan tekstur tidak teratur (b)

Metode yang digunakan untuk memperoleh fitur tekstur dapat dibedakan menjadi tiga golongan: 1) metode statistis, 2) metode struktural, dan 3) metode spektral. Metode statistis menggunakan perhitungan statistika untuk membentuk fitur. Contoh yang termasuk sebagai metode statistis yaitu GLCM dan Tamura. Metode struktural menjabarkan susunan elemen ke dalam tekstur. Contoh metode struktural adalah Shape Grammar (Petrou dan Sevilla, 2006).

Metode spektral adalah metode yang didasarkan pada domain frekuensi-spasial. Contoh metode spektral adalah *distribusi energi domain Fourier, Gabor, dan filter Laws*.



(a) Waru berdaun hijau

(b) Waru varigata

Gambar 2.5 Dua Daun yang serupa tetapi mempunyai tekstur yang berbeda

Penelitian ini menggunakan fitur tekstur citra batik yang diartikan sebagai distribusi spasial dari derajat keabuan di dalam piksel-piksel yang bertetangga. Sehingga tektur tidak bisa didefinisikan untuk sebuah piksel. Tekstur dari citra panorama di ekstrak menggunakan analisis secara statistik. Fitur dari tekstur dihitung berdasarkan distribusi statistic dari intensitas piksel terhadap posisi antar piksel dan direpresentasikan dalam sebuah matriks. Metode ekstraksi berdasarkan tekstur dikelompokkan dalam tiga cara, yaitu ekstraksi orde pertama, ekstraksi orde kedua dan ekstraksi orde tiga.

2.2.3.2 *Ekstraksi Orde Kedua*

Ekstraksi orde kedua digunakan pada kasus bilamana ekstraksi orde kedua tidak bisa lagi dihitung. Pada kasus seperti ini, dibutuhkan pengambilan ciri statistic orde kedua yang disebut sebagai *Gray level Co-occurrence Matrix* (GLCM). Pada co-occurrence matrix menggunakan matrix derajat keabuan untuk mengambil contoh bagaimana suatu derajat keabuan tertentu terjadi dalam hubungannya dengan derajat keabuan yang lain. Matrik derajat keabuan adalah suatu matriks yang elemen-elemennya merupakan frekuensi relatif kejadian

bersama dari kombinasi level keabuan antar pasangan piksel dengan hubungan spasial tertentu.

Misal diketahui sebuah citra $Q(i,j)$ dan P adalah sebuah matriks. Elemen $P(i,j)$ menyatakan jumlah berapa kali titik tersebut terjadi pada citra berdasarkan posisi tertentu. Matriks P merupakan co-occurrence matrix yang didefinisikan sudut θ dan jarak d . Berdasarkan matriks P dapat dihitung nilai-nilai tekstur seperti *contrast*, *correlation*, *energy*, *homogeneity*, *entropy* dan *maximum probability* (Shapiro & Stockman, 2001). Berikut formula yang digunakan pada ekstraksi ordo tingkat kedua :

Contrast menyatakan kandungan variasi local pada citra. Semakin tinggi nilai semakin tinggi tingkat kekontrasannya :

$$Contrast = \sum_{i,j} |i - j|^2 P(i, j) \quad (2.1)$$

Correlation menyatakan ukuran hubungan linier dari *graylevel* piksel ketetanggaan :

$$Correlation = \sum_{i,j} \frac{(i - \pi_i)(j - \pi_j)P(i, j)}{\sigma_i \sigma_j} \quad (2.2)$$

Energy menyatakan tingkat keseragaman piksel-piksel suatu citra. Semakin tinggi nilai *energy*, semakin seragam teksturnya

$$Energy = \sum_{i,j} P(i, j)^2 \quad (2.3)$$

Homogeneity menyatakan ukuran kedekatan setiap elemen dari co-occurrence matrix.

$$Homogeneity = \sum_{i,j} \frac{P(i, j)}{1 + |i - j|} \quad (2.4)$$

Maximum Probability(MP) adalah nilai maksimum atau respon terkuat, semakin tinggi nilai MP, maka semakin teratur teksturnya :

$$MP = \max(P(i, j)) \quad (2.5)$$

Invers Difference Moment (IDM) merupakan kebalikan dari *contrast* :

$$IDM = \sum_{i,j} \frac{P(i, j)^2}{1+|i-j|} \quad (2.6)$$

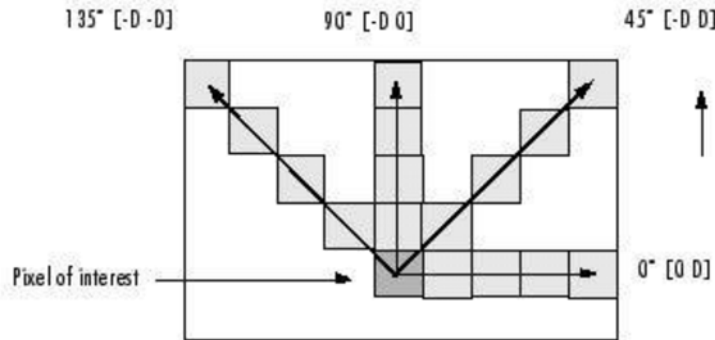
Entropy menyatakan tingkat keacakan piksel-piksel suatu citra. Semakin tinggi nilai *entropy*, maka semakin acak teksturnya :

$$entropy = -\sum_{i,j} P(i, j) \log P(i, j) \quad (2.7)$$

Dengan $P(i,j)$ merupakan elemen baris ke-i, kolom ke-j dari co-occurrence matrix. U adalah nilai rata-rata baris ke-I dan u adalah nilai rata rata kolom ke-j pada matriks P. teta adalah standart deviasi baris ke-I dan tetaj adalah standarr deviasi kolom ke-j dan matriks P.

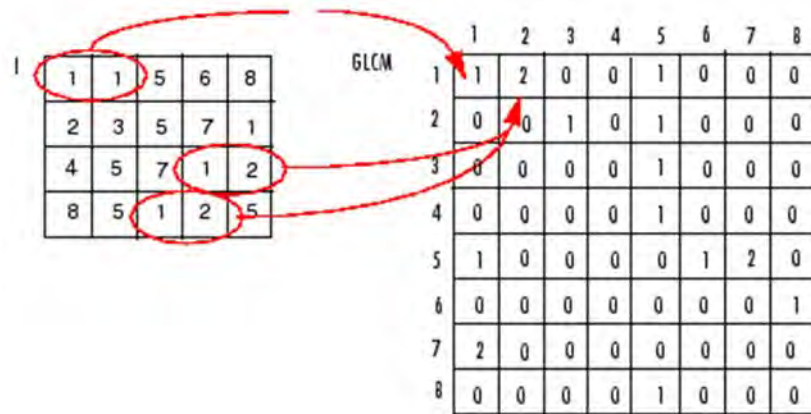
2.2.3.3 *Matrix GLCM*

Gray-Level Co-Occurrence Matrix (GLCM) adalah sebuah teknik untuk mendapatkan nilai statistik orde ke-2 dengan menghitung probabilitas hubungan kedekatan antara dua buah piksel pada jarak (d) dan sudut (θ) tertentu. GLCM digunakan untuk ekstraksi fitur, baik itu fitur citra ataupun data lainnya. Ekstraksi fitur dilakukan untuk mengambil informasi pokok dari suatu data tertentu sebelum digunakan dalam proses tertentu. seperti misalnya dalam pengenalan wajah maka wajah terlebih dahulu di ekstraksi sebelum dilakukan proses pengenalan. Dan dalam hal ini akan dibahas tentang salah satu metode ekstraksi fitur yaitu GLCM.



Gambar 2.6 Sudut Arah GLCM [14]

Metode ini akan menghasilkan beberapa fitur, yaitu energi, kontras, entropi, dan lain sebagainya. Proses pembuatan matrik GLCM adalah seperti yang ditunjukkan gambar berikut ;



Gambar 2.7 Pembuatan Matrix GLCM

Dalam gambar 2.3 di inisialisasikan sudutnya adalah 0 derajat dan jaraknya adalah 1. Algoritmanya adalah :

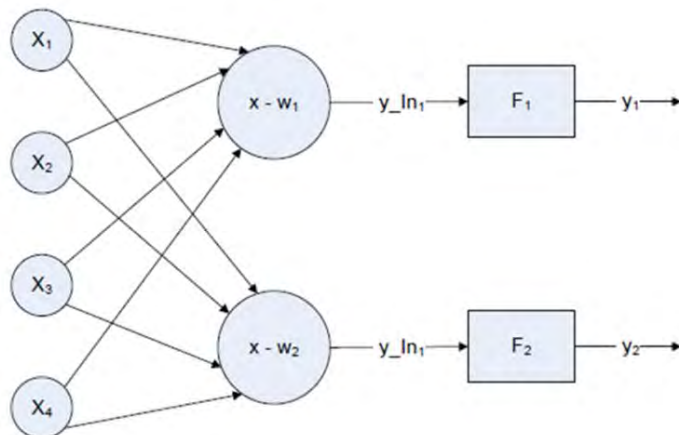
- Membuat matrik baru dengan elemen nol dengan dimensi sebesar nilai maksimal pada matrik asal. pada gambar di atas nilai maksimalnya adalah 8.
- Lakukan proses perulangan dari indeks (1,1) pada matrik nol sampai indeks ke (8,8)

- Setiap proses perulangan dilakukan pengecekan, ambil contoh; indeks (1,1). di cek nilai [1 1] pada matrik asal muncul berapa kali, yaitu 1 kali. maka indeks ke (1,1) di isi dengan nilai 1. kemudian dilanjutkan dengan indeks (1,2). lakukan proses pengecekan [1 2] muncul berapa kali dalam matrik asal, didapat 2 kali muncul. maka indeks ke (1,2) pada matrik nol di isi dengan 2.

2.2.4 Learning Vector Quantization (LVQ)

2.2.4.1 Definisi

Learning Vector Quantization (LVQ) merupakan bagian metode dari Jaringan Syaraf tiruan yang telah banyak dimanfaatkan untuk pengenalan pola baik berupa citra, suara, dan lain-lain. Jaringan LVQ sering pula digunakan untuk ekstraksi ciri (feature) pada proses awal pengenalan pola. Metode Jaringan Syaraf LVQ termasuk dengan Supervised Learning dalam penentuan bobot / model pembelajarannya, dimana pada metode LVQ ditentukan hasil seperti apa selama pembelajaran. Selama proses pembelajaran nilai bobot disusun dalam suatu range tertentu tergantung pada nilai input yang diberikan. Tujuan pembelajaran ini adalah pengelompokan unit-unit yang hampir sama dalam satu area tertentu. Pembelajaran seperti ini sangat cocok untuk pengelompokan (klasifikasi) pola. Pada Gambar 2.2 dapat dilihat diagram arsitektur pada LVQ.



Gambar 2.8 Diagram Arsitektur LVQ

2.2.4.2 Prinsip Kerja

Prinsip kerja dari algoritma LVQ adalah pengurangan node-node tetangganya (neighbour), sehingga pada akhirnya hanya ada satu node output yang terpilih (winner node). Pertama kali yang dilakukan adalah melakukan inisialisasi bobot untuk tiap-tiap class. Setelah diberikan bobot, maka jaringan diberi input sejumlah dimensi node/neuron input. Setelah input diterima jaringan, maka jaringan mulai melakukan perhitungan jarak vektor yang didapatkan dengan menjumlah selisih/jarak antara vektor input dengan vektor bobot menggunakan Euclidean distance. Secara matematis Euclidean Distance dapat dirumuskan dengan persamaan (2.14)

$$ED = d_j^2 = \sum_{i=0}^{n-1} (X_t(t) - W_{ij})^2 \quad (2.8)$$

Setelah diketahui tiap-tiap jarak antara nodeoutput dengan input maka dilakukan perhitungan jumlah jarak selisih minimum. Dimana node yang terpilih (winner) berjarak minimum akan di update bobot. Perubahan alpha ini sesuai dengan banyaknya input yang masuk. Faktor pengali alpha/learningrate ini akan selalu berkurang bila tidak ada perubahan error.

Secara garis besar algoritma Learning Vector Quantization (LVQ) sebagai berikut :

1. Siapkan data learning, x (m,n) dan target T ($1,n$)
2. Inisialisasi bobot (W), maksimum epoh (Max Epoh), error minimum yang diharapkan (Eps), learning rate (α). Max Epoh dan learning rate digunakan untuk menentukan batas ambang komputasi
3. Melakukan proses sebagai berikut selama ($epoh < makEpoh$) atau ($\alpha > eps$)
 - a. $epoh = epoh + 1$
 - b. Kerjakan untuk $i=1$ sampai n

- i. Tentukan j sedemikian rupa sehingga $\|X-W_j\|$ minimum (Sebut sebagai C_j)
- ii. Perbaiki W_j dengan ketentuan
 - a) Jika $T=C_j$ maka: $W_j(\text{baru})=W_j(\text{lama}) + \alpha(X - W_j(\text{lama}))$
 - b) Jika $T \neq C_j$ maka: $W_j(\text{baru})=W_j(\text{lama}) - \alpha(X - W_j(\text{lama}))$
 - c. Kurangi nilai α
- 4. Kembali ke langkah ke-3, jika ($\text{epoch} < \text{makEpoch}$) atau ($\alpha > \text{eps}$) tidak terpenuhi, selesai.

Setelah dilakukan pelatihan, akan diperoleh bobot akhir (W). Bobot-bobot ini nantinya akan digunakan untuk melakukan klasifikasi terhadap data baru.

2.2.5 Uji Validasi

Uji validasi bertujuan untuk menemukan parameter terbaik dari suatu rule / model yang dilakukan dengan cara menguji besarnya error pada data testing. Terdapat beberapa metode validasi yang dapat digunakan untuk menemukan rule / model terbaik pada proses klasifikasi, yaitu sebagai berikut:

2.2.5.1 Metode K-Fold Cross Validation

Metode K-Fold Cross Validation, merupakan salah satu metode validasi yang bertujuan untuk menemukan rule / model terbaik dengan cara menguji besarnya error pada data testing. Pada k-Fold Cross Validation, membagi data menjadi k sampel dengan ukuran yang sama. Kemudian $k-1$ sampel digunakan sebagai data training, sedangkan 1 sampel sisanya digunakan sebagai data testing. Sebagai contoh, jika ada 10 set data, akan digunakan 10-fold Cross Validation, maka 10 set data tersebut akan dibagi menjadi 2 bagian 9 set data digunakan sebagai data training, dan 1 set data digunakan sebagai data testing. Dari hasil percobaan tersebut maka dapat dihitung rata-rata error. Rule / model yang terbaik akan memiliki rata-rata error terkecil.

2.2.5.2 Metode Holdout

Metode *holdout* merupakan salah satu metode validasi yang digunakan untuk memilih rule / model terbaik, yang akan digunakan untuk proses klasifikasi pada data testing. Dalam metode ini, data yang diberikan secara acak (*random*) dibagi menjadi dua set (bagian) secara independen, satu set digunakan sebagai data pelatihan (data training) dan satu set digunakan sebagai data pengujian (data testing). Biasanya, dua-pertiga dari data dialokasikan untuk data training, dan sisanya sepertiga dialokasikan untuk data testing. Training set digunakan untuk memperoleh rule / model dengan tingkat akurasi yang terbaik, sehingga rule/model kemudian diperkirakan menggunakan data testing untuk memperoleh hasil klasifikasi terbaik.

2.2.6 Uji Evaluasi

Pada penelitian klasifikasi, salah satu cara untuk mengukur performansi dari Metode Klasifikasi yang telah digunakan pada proses klasifikasi, maka hasil klasifikasi dilakukan uji evaluasi yaitu dengan menggunakan Metode Pendekatan *Confusion Matrix* (Santosa, 2007) dan *Receiver Operating Curve (ROC)* (Han, Data mining : Concepts and Techniques, 2012).

1). Confusion Matrix

Confusion Matrix merupakan sebuah tools yang digunakan untuk mengevaluasi seberapa baik metode yang digunakan untuk proses klasifikasi dengan cara mengenali kelas yang diprediksi dan kelas aktual klasifikasi saat ini. TP (*True Positive*) dan TN (*True Negative*) menunjukkan bahwa hasil klasifikasi (data yang dikenali/diprediksi) adalah benar, sedangkan FP (*False Positive*) dan FN (*False Negative*) menunjukkan hasil klasifikasi (data yang dikenali/diprediksi) yang tidak benar, dan N adalah jumlah total klasifikasi yang dilakukan. Confusion Matrix adalah sebuah tabel dengan ukuran m dengan m, dimana $m \geq 2$. Nilai Confusion Matrix pada baris menunjukkan kelas aktual klasifikasi saat ini, sedangkan nilai pada kolom menunjukkan kelas prediksi hasil klasifikasi. Ditunjukkan pada gambar berikut ini. Kondisi idealnya, nilai FP dan FN seharusnya bernilai 0 atau mendekati 0. Berikut ini adalah Tabel Confusion Matrix pada kasus klasifikasi:

Tabel 2.2.2 Confusion Matrix

| Confusion Matrix | | Kelas Prediksi (Predicted Class) | |
|--------------------------------------|-----------|-------------------------------------|-----------|
| | | Ya (+) | Tidak (-) |
| Kelas Aktual (Actual Class) | Ya (+) | TP | FN |
| | Tidak (-) | FP | TN |

Berdasarkan tabel *Confusion Matrix* diatas dapat diperoleh beberapa pengukuran kualitas hasil klasifikasi yaitu:

$$\text{Akurasi Sistem} = \frac{TP+TN}{N} \quad (2.8)$$

$$\text{Rata-rata Error} = \frac{FP+FN}{N}$$

$$\text{Presicion} = \frac{TP}{TP+FP} \quad (2.9)$$

$$\text{Recall / Sensitivitas} = \frac{TP}{TP+FN} \quad (2.10)$$

$$\text{Spesifisitas (FPR)} = \frac{TN}{TP+FP} \quad (2.11)$$

Keterangan:

N = Jumlah Total Klasifikasi

TP (*True Positive*) = Data sampel (kelas aktual) bernilai benar yang mempunyai hasil prediksi klasifikasi bernilai benar

TN (*True Negative*) = Data sampel (kelas aktual) bernilai benar yang mempunyai hasil prediksi klasifikasi bernilai salah

FP (*False Positive*) = Data sampel (kelas aktual) bernilai salah yang mempunyai hasil prediksi klasifikasi bernilai benar

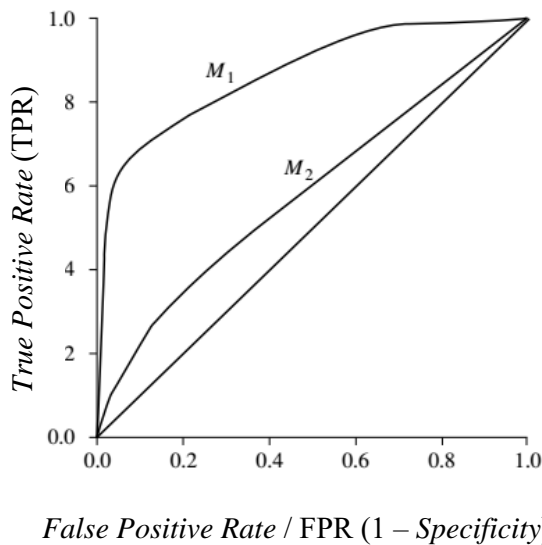
FN (*True Negative*) = Data sampel (kelas aktual) bernilai salah yang mempunyai hasil prediksi klasifikasi bernilai salah

2). Kurva *Receiver Operating Characteristic* (ROC)

Kurva *Receiver Operating Characteristic* (ROC) adalah salah satu teknik visualisasi yang berguna untuk menggambarkan kualitas hasil metode klasifikasi atau merupakan perbandingan dari dua hasil metode klasifikasi (Han, Data mining : Concepts and Techniques, 2012). Kurva ROC berasal dari teori deteksi sinyal yang dikembangkan selama Perang Dunia II untuk menganalisis gambar radar. Kurva ROC untuk model tertentu menunjukkan *trade-off* antara rata-rata hasil klasifikasi yang benar atau positif (*True Posotif Rate/TPR*) dan rata-rata hasil klasifikasi yang bernilai salah (*False Positive Rate/FPR*). Grafik ROC menunjukkan fungsi sensitivitas vs (1-spesifisitas) yang berarti bahwa jika nilai sensitivitas rendah, maka spesifisitas yang ditunjukkan oleh pasangannya adalah tinggi, begitu pula sebaliknya. Berdasarkan kurva ROC maka dapat diukur luas daerah di bawah kurva (*Area Under Curve/ AUC*) yang menunjukkan tingkat akurasi model atau metode klasifikasi yang digunakan. Berikut ini adalah interval nilai sebagai dasar penilaian terhadap tingkat akurasi metode klasifikasi yang digunakan semakin luas daerah di bawah kurva (AUC) maka metode klasifikasi yang digunakan semakin baik (Thomas G. Tape, 2016)

:

1. 0.90 - 1.00 = Klasifikasi yang memuaskan (*Excellent Classification*)
2. 0.80 - 0.90 = Klasifikasi yang baik (*Good Classification*)
3. 0.70 - 0.80 = Klasifikasi yang kurang baik (*Fair Classification*)
4. 0.60 - 0.70 = Klasifikasi yang buruk (*Poor Classification*)
5. 0.50 - 0.60 = Klasifikasi yang gagal (*Failure Classification*)



Gambar 2.2.9 Grafik *Receiver Operating Curve* (ROC) (Thomas G. Tape, 2016)

Keterangan :

M_1 = Metode Klasifikasi 1

M_2 = Metode Klasifikasi 2

2.2.6.1 *F-Measure (F1-Score)*

F-measure merupakan salah satu perhitungan evaluasi dalam temu kembali informasi yang mengkombinasikan recall dan precision. Nilai recall dan precision pada suatu keadaan dapat memiliki bobot yang berbeda. Ukuran yang menampilkan timbal balik antara recall dan precision adalah F-measure yang merupakan bobot harmonic mean dari recall dan precision. F-measure dapat digunakan untuk mengukur kinerja dari recommendation system ataupun information retrieval system. Karena merupakan rata-rata harmonis dari precision dan recall, F-measure dapat memberikan penilaian kinerja yang lebih seimbang. Range dari nilai F-Measure adalah antara 0 dan 1.

Bahwa untuk memisahkan dokumen-dokumen yang mirip kadang lebih buruk daripada menempatkan pasangan dokumen yang tidak mirip ke dalam kelas yang sama. Dengan demikian, dapat digunakan *F-Measure* dengan nilai *false negative* lebih kuat dari nilai *false positive*. Selanjutnya, akan diberikan nilai $\beta > 1$ sehingga memberikan bobot yang lebih untuk recall. *F-Measure* yang

seimbang memberikan bobot yang sama antara recall dan precision, dengan nilai $\alpha = \frac{1}{2}$ atau $\beta = 1$. Dirumuskan sebagai berikut :

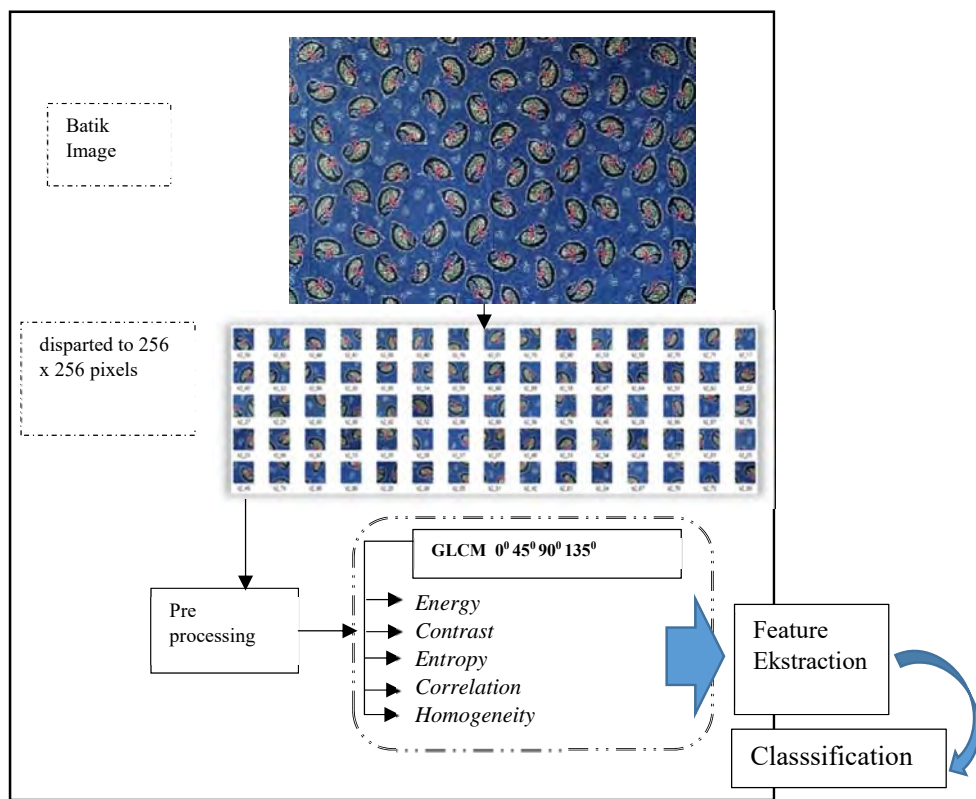
$$F\text{-Measure} = 2 \times \frac{\text{precision} \times \text{recall}}{\text{precision} + \text{recall}} \quad (2.12)$$

Halaman ini sengaja dikosongkan

BAB 3

METODOLOGI PENELITIAN

Bab ini akan menjelaskan tentang metodologi yang dipakai dalam penelitian. Bagian-bagian yang dijelaskan pada bab ini berupa data penelitian yang digunakan dan alur dari metodologi penelitian. Dapat dilihat pada gambar 3.1



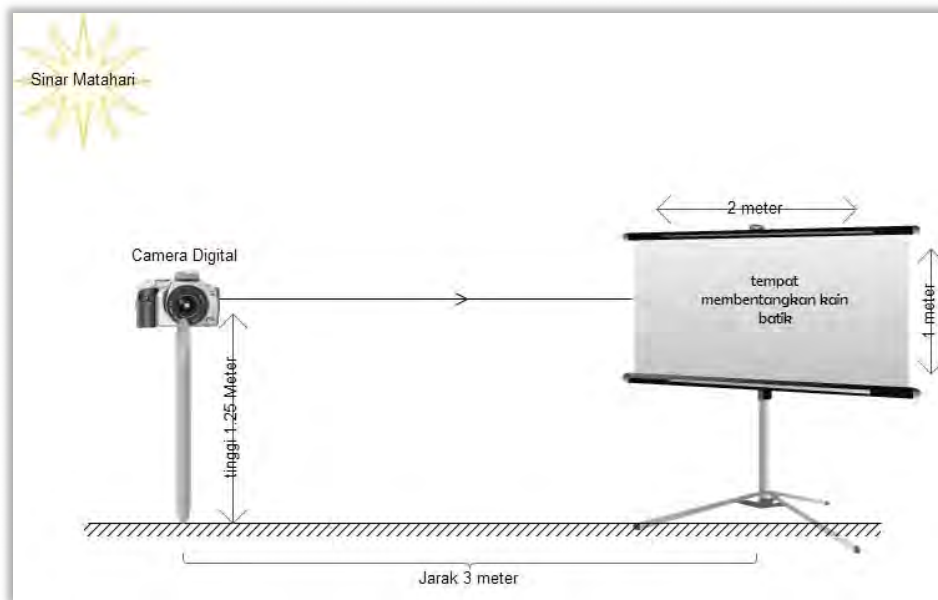
Gambar 3.1 Tahapan Penelitian

Berdasarkan Gambar 3.1 alur penelitian ini adalah Proses persiapan pengumpulan citra batik dengan mengumpulkan semua data berupa kain batik dengan kategori batik dan bukan batik. Setelah itu data diproses dengan pengambilan foto batik yang selanjutnya di sebut citra batik. Tahap selanjutnya dilakukan preprocessing dengan melakukan cropping data citra dan dirubah dari bentuk RGB menjadi grayscale. Hasil dari preprocessing digunakan untuk

proses ekstraksi fitur yang sebelumnya diproses normalisasi terlebih dahulu. Ekstraksi fitur menggunakan metode Gray Level Co-occurrence Matrix (GLCM). Selanjutnya dilakukan proses klasifikasi menggunakan Learning Vector Quantization (LVQ).

3.1 Pengambilan Data Citra Batik

Tahap ini merupakan proses pengumpulan data dan pengambilan data batik. Data yang dimaksud adalah citra dari kain batik. Pengumpulan kain batik berasal dari galeri Yunar Batik Tulungagung dan batik dari Balai Besar Kerajinan dan Batik Yogyakarta. Jenis batik yang digunakan pada penelitian ini adalah jenis batik asli yaitu batik tulis dan cap serta kain bukan batik yaitu textile motif batik dan turunan batik yang cara penggeraannya dengan printing, sablon atau sablon malam dingin.



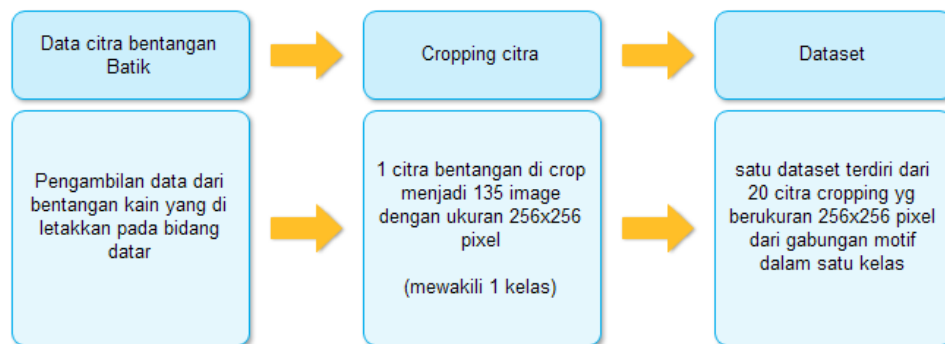
Gambar 3.2 Prosedur Pengambilan Citra Batik

Setelah terkumpul kain batik selanjutnya di proses untuk pengambilan data. Cara yang digunakan dengan membentangkan kain pada bidang datar. Jarak pengambilan dengan sumber kamera 3 meter dengan posisi tegak lurus dengan sumber camera digital. Tinggi kamera terhadap lantai yaitu 1,25 meter.

Hal ini untuk mengatur posisi yang tepat pada bidang kain batik. Pengambilan gambar / citra batik dilakukan diluar ruangan pada waktu pagi hari dari jam 9 sampai 10. Karena sinar matahari pada jam tersebut mempunyai instensitas cahaya yang pas untuk memperoleh data citra yang bagus. Untuk lebih jelasnya dapat dilihat pada gambar 3.2. Dalam gambar tersebut dapat diketahui proses pengambilan data batik.

Pengambilan data dengan menggunakan kamera digital mirrorless merek *Fuji Film XA2* dengan spesifikasi *Number of effective pixels 16.3 million pixels, Image sensor: 23.6mm x 15.6mm (APS-C) CMOS with primary color filter. Total number of pixels: 16.5 million pixels.*

Proses pengolahan data citra batik setelah melakukan pemotretan data bentangan, selanjutnya dilakukan cropping data. Pada satu citra dilakukan cropping data menjadi 135 bagian yang saman. Setiap bagian menjadi citra yang berukuran 256 x 256 pixel. Bagian citra yang sudah dilakukan cropping data ini selanjutnya masuk dalam satu dataset. Dalam satu bentangan kain adalah kelas yang sama sehingga dataset sebanyak 135 bagian tersebut mempunyai kelas yang sama juga, meski hasil cropping menunjukkan motif yang berbeda. Proses pengolahan data citra batik dapat dilihat pada Gambar 3.3



Gambar 3.3 Proses Pegolahan Data Citra Batik

3.2 Dataset Citra Batik

Dataset citra batik merupakan gabungan potongan-potongan citra batik dengan kelas yang sama bisa dengan motif yang sama atau motif yang berbeda

tetapi mempunyai jenis sama. Yang dimaksud kelas yang sama yaitu kelas batik dari batik tulis, batik cap dan printing. Penggabungan citra terdiri dari 20 potong citra yang sekelas dan disebut dengan dataset1, dataset2, dataset3, dan seterusnya. Gambaran pengelompokan citra dalam satu dataset dapat dilihat pada gambar 3.4



Gambar 3.4 Bagan Pengelompokan Dataset Kelas Batik

Pada Gambar 3.4 dicontohkan dataset terdiri dari berbagai motif batik dalam satu kelas, dengan tujuan persebaran motif dalam satu dataset dapat diketahui.

3.3 Preprocessing (RGB to Gray)

Preprocessing citra batik dengan menggunakan fungsi derajat keabuan RGB to gray yang menghasilkan dataset image dengan bentuk file citra keabuan (*gray*). Citra keabuan digunakan untuk mengukur tingkat texture. Hasil pada proses ini selanjutnya digunakan sebagai masukan pada proses ekstraksi fitur GLCM.

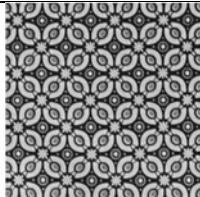


Gambar 3.5 Contoh hasil preprocessing satu cropping citra 256x256 pixel dari RGB menjadi citra keabuan (gray)

3.4 Ekstraksi Fitur GLCM

Tekstur merupakan elemen penting dari persepsi visual yang dapat digunakan untuk memisahkan daerah menarik dari sebuah image. Tekstur dapat memuat informasi-informasi penting tentang struktur dan relasinya terhadap sekitarnya. Pengertian tekstur adalah keteraturan pola-pola tertentu yang terbentuk dari susunan piksel-piksel dalam citra digital [10]. Salah satu bagian penting dalam analisis tekstur adalah menggunakan matriks pasangan intensitas (Gray Level Co-occurrence Matrix/GLCM) yang merupakan matriks keterkaitan dua dimensi. Matriks pasangan intensitas adalah suatu matriks yang menggambarkan frekuensi munculnya pasangan dua piksel dengan intensitas tertentu dalam jarak dan arah tertentu dalam citra.

Tabel 3.1 Fitur tekstur berbasis GLCM sudut 0°

| Objek / Citra | Fitur |
|---|--|
|  | <p>ASM : 0,000097 Kontras : 2176,8164 <i>IDM</i> : 0,056319 Entropi : 9,805930 Korelasi : 0,000140</p> |
|  | <p>ASM : 0,000128 Kontras : 1641,302530 <i>IDM</i> : 0,059456 Entropi : 9,620069 Korelasi : 0,000186</p> |
|  | <p>ASM : 0,000442 Kontras : 1005,5501 <i>IDM</i> : 0,127438 Entropi : 9,068650 Korelasi : 0,000199</p> |

GLCM dapat dihitung menggunakan beberapa arah offset spasial yaitu 0 derajat, 45 derajat, 90 derajat, dan 135 derajat [14]. Penelitian ini menggunakan ekstraksi order kedua menggunakan fitur Gray Level Co-

occurrence Matriks (GLCM), yaitu Energi, Homogenitas, Kontras, dan Entropi. Sebelum melakukan ekstraksi fitur tekstur, citra diubah menjadi citra *grayscale*. Dapat dilihat pada Tabel 3.1

Tabel 3.2 Hasil Ekstraksi Fitur Tekstur GLCM pada salah satu sudut

| ASM | KONTRAS | IDM | ENTROPI | KORELASI |
|----------|-------------|----------|----------|----------|
| 0.000079 | 1174.511982 | 0.05774 | 9.7799 | 0.000215 |
| 0.000096 | 969.321378 | 0.063228 | 9.646901 | 0.00024 |
| 0.000068 | 1355.829453 | 0.052127 | 9.869405 | 0.000201 |
| 0.000079 | 1168.910317 | 0.057237 | 9.778948 | 0.000217 |
| 0.000107 | 1022.875783 | 0.063285 | 9.632335 | 0.000254 |
| 0.000086 | 1016.875783 | 0.060039 | 9.691 | 0.000244 |

Tabel 3.2 menampilkan contoh hasil rekapitulasi ekstraksi fitur tekstur pada jenis batik tulis menggunakan ekstraksi fitur orde kedua. Dapat dilihat bahwa hasil yang diperoleh memiliki nilai yang berbeda beda. Setiap jenis kelas mempunyai range nilai statistik fitur yang identik yang digunakan sebagai data awal untuk preprocessing.

3.5 Pemilihan Fitur

Proses pemilihan fitur dilakukan untuk menentukan inputan fitur ekstraksi tekstur. Salah satu caranya adalah menghitung nilai maksimum dan minimum serta standart deviasi pada setiap statistik fitur tekstur untuk keseluruhan data. Setelah dilakukan pemilihan fitur dilakukan pembobotan terhadap fitur yang dipilih, apakah fitur tersebut berpengaruh atau tidak untuk proses klasifikasi.

3.6 Normalisasi Data

Proses normalisasi data digunakan untuk dapat dilakukan penyesuaian data citra batik dalam pengenalan data citra dengan menggunakan metode *LVQ* sehingga nantinya dapat diperoleh nilai. Data citra yang diinputkan harus ditransformasikan antara range (0,1), artinya data citra harus antara angka 0 sampai dengan 1. Untuk mentransformasikan ke dalam *interval* [0,1] maka pada penelitian ini menggunakan persamaan 3.1 :

$$X = \frac{Xi}{Xmax} \quad (3.1)$$

Sebelum dilakukan normalisasi data pada citra batik, diketahui bahwa ada dua buah fitur yang bisa dijadikan inputan untuk melakukan pengenalan , yaitu Entropy dan kontras.

3.7 Penentuan Data Training dan Data Testing

Da ri data dataset mage citra batik dan non batik sebanyak 600 sampel, dibagi menjadi 30 dataset kelas yang terdiri dari 3 kelas batik yaitu batik tulis, batik cap dan batik printing. Pada setiap dataset kelasnya ada sebanyak 20 sampel citra. Pada penelitian ini data training diambil sebanyak 70% dan data testing 30% pada setiap kelasnya.

3.8 Learning Vector Quantization

Pada tahap pembelajaran percobaan LVQ dilakukan uji pengenalan (recognition test) dengan dataset batik. Percobaan dilakukan untuk mengetahui efek perubahan nilai parameter-parameter pelatihan dan penentuan parameter terbaik untuk data tersebut. Pada percobaan ini digunakan dataset batik tulis dan non tulis. Setiap data dari dataset dari fitur GLCM memiliki dimensi nilai yang bervariasi. Oleh karena itu, akan dilakukan normalisasi terhadap nilai masing-masing dataset.

Pada percobaan ini variable terikat (yang akan diamati) adalah nilai persentase tingkat pengenalan rata-rata (average Recognition Rate), nilai error, epoch, dan waktu pelatihan sedangkan variable bebas yang diubah-ubah adalah alpha, konstanta, jumlah epoch, dan inisialisasi Vektor pewakil. Percobaan dilakukan dengan variasi data training 70:30.

3.8.1 Penentuan Parameter Learning Vector Quantization

Pembobotan awal yang digunakan adalah hasil dari vector pada proses sebelumnya yaitu proses persiapan data masukan LVQ. Pembobotan awal dipilih secara acak pada setiap kelas yang mewakili setiap kelasnya. Pada penelitian ini ada 3 pembobotan awal. Jumlah neuron input mempresentasikan

jumlah fitur masukan pada setiap data inputan. Pada penelitian ini jumlah neuron input 600 sedangkan neuron outputnya 3.

Learningg Rate

Semakin besar nilai *learning rate* (α) akan berimplikasi pada semakin besarnya langkah pembelajaran. Jika *learning rate* diset terlalu besar, maka algoritma akan menjadi tidak stabil. Sebaliknya, jika *learning rate* diset terlalu kecil, maka algoritma akan konvergen dalam jangka waktu yang sangat lama[8]. Nilai α terletak antara 0 dan 1 ($0 \leq \alpha \leq 1$). Jika harga α semakin besar, maka iterasi yang dipakai semakin sedikit. Hal ini menyebabkan pola yang sudah benar menjadi rusak sehingga pemahaman menjadi lambat. Nilai *learning rate* tidak dapat ditentukan secara pasti sehingga perlu dilakukan *trial and error* untuk mendapatkan nilai *learning rate* yang dapat menghasilkan iterasi tercepat dalam mencapai konvergen(Purnomo & Kurniawan, 2006).

3.8.2 Pelatihan dan Pengujian Learning Vector

Pelatihan learning vector dilakukan setelah proses ekstraksi fitur dilakukan. Formasi fitur pada proses ekstraksi diubah dalam struktur data yang dapat diproses oleh LVQ. Proses pelatihan bertujuan untuk mendapatkan data pembobot w dalam anggota dari LVQ. Sebelum proses pelatihan perlu dilakukan inisialisasi, yaitu parameter yang diperlukan LVQ antara lain nilai pembobot awal dan *Learning rate*. Nilai pembobot digunakan untuk vector referensi awal dari target. Nilai learning rate menentukan kecepatan pembelajaran jaringan LVQ.

Teknik Pengujian yang akan digunakan pada model klasifikasi yang terbentuk dari metode Learning Vector Quantization, yaitu Confusion matrix. Confusion matrix merupakan metode yang menggunakan matrik sebagaimana pada Tabel 3.4

Tabel 3.3 Confusion Matrik

| | | True Class | |
|-----------------------|---------|---------------------------|---------------------------|
| | | Positif | Negatif |
| Predicted/false Class | Positif | Jumlah True Positif (TP) | Jumlah False Negatif (FP) |
| | Negatif | Jumlah False Negatif (FN) | Jumlah True Negatif (TN) |

Jika data set hanya terdiri dari dua kelas, kelas yang satu dianggap sebagai positif dan yang lainnya negatif.

True Positif (TP) merupakan jumlah hasil pengujian positif yang diklasifikasikan **benar** oleh model *classifier*, false positif (FP) adalah jumlah hasil pengujian negatif yang diklasifikasikan **benar**, sedangkan *false negatives* (FN) jumlah hasil pengujian negatif yang diklasifikasikan **salah**, *true negatives* adalah jumlah hasil pengujian positif yang diklasifikasikan **salah** oleh model *classifier*.

Kemudian hasil pengujian dimasukan pada tabel, maka dapat dihitung nilai-nilai dari *sensitivity (recall)*, *specificity*, *precision* dan *accuracy*. Klasifikasi kecepatan pada respon sinyal otot *forearm* ini menghasilkan *binary class* oleh sebab itu digunakan perhitungan keakurasaan menggunakan persamaan (3.2).

$$Accuracy = \frac{TP + TN}{P + N} \quad (3.2)$$

jadi akurasi merupakan perbandingan antara semua sampel yang true positif berbanding terhadap jumlah true positif dan false positif, sedangkan untuk perhitungan presisi dari sebuah kelas sebagaimana persamaan (3.3)

$$Presicion = \frac{TP}{TP + FP} \quad (3.3)$$

untuk *recall* menggunakan persamaan yaitu perbandingan antara true positif terhadap jumlah true positif dan false negatif

$$Recall = \frac{TP}{TP + FN} \quad (3.42)$$

sehingga untuk F-measure (F1-Score) dihitung berdasarkan persamaan

$$F_{measure} = 2 * \frac{precision * recall}{precision + recall} \quad (3.5)$$

Pengukuran performa klasifikasi juga dicatat, untuk mengetahui rata-rata kemampuan klasifikasi *Learning Vector Quantization* terhadap data fitur dari dataset batik.

BAB 4

HASIL DAN PEMBAHASAN

Pada bagian ini akan dijelaskan mengenai implementasi dari tahapan proses pada bab 3 untuk penelitian indentifikasi batik asli dan non batik menggunakan fitur tekstur citra batik menggunakan Learning Vector Quantization (LVQ).

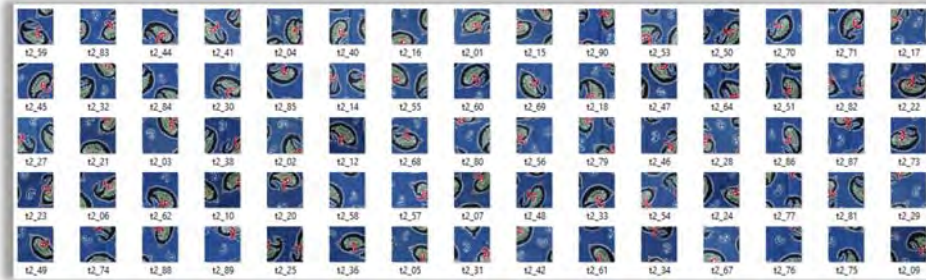
4.1 Hasil Pengambilan Gambar

Hasil pengambilan gambar adalah berupa bentangan citra batik yang kemudian dilakukan proses cropping menjadi ukuran 256x256 pixel. Hasil cropping di gabungkan perkelas menjadi 20 dataset citra kelas batik dan 20 kelas non batik. Citra bentanga batik dan hasil cropping dapat dilihat di lampiran 2.1 dan lampiran 2.2.



Gambar 4.1 Hasil Pengambilan data bentangan citra batik

Contoh data citra awal berupa bentangan kain batik bisa dilihat pada Gambar 4.1 berupa kain batik tulis motif gringsing. Bentangan ini kemudian diproses *cropping* menjadi citra yang lebih kecil yaitu berukuran 256x256 pixel. Kumpulan citra motif batik batik gringsing ini berjumlah 135 dengan nama dan motif yang identik, karena pada proses *cropping* bagian motif yang terkena ada berupa bagian motif klowongan dan motif lataran. Secara visual masih dapat diketahui bagian goresan dari canting atau cap dari motif tiap citra kecilnya. Untuk hasil cropping citra dapat dilihat pada gambar 4.3



Gambar 4.2 Potongan citra hasil cropping ukuran 256 x 256 pixel

Pembentukan dataset diperoleh dari database citra dari satu kelas. Pelabelan kelas sudah dilakukan sejak awal, sehingga database citra yang berukuran 256x256 pixel bisa langsung dibentuk. Ada 2 database citra dari kelas batik asli dan bukan batik. Untuk selanjutnya dataset di susun dari database yang sudah ada. Penyusunan dataset ini dilakukan dengan proses acak, berfungsi untuk menghitung variance range nilai statistic pada setiap dataset. Dataset ini ada yang terdiri dari satu motif saja, dan ada yang random pembagian motifnya. Contoh penyusunan dataset dapat dilihat pada Gambar 4.4.



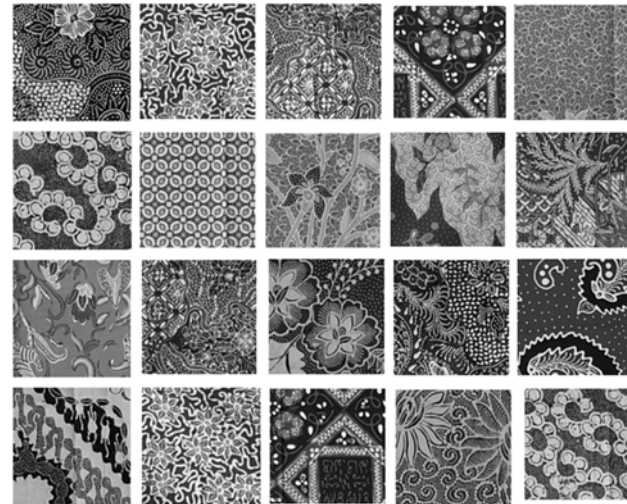
Gambar 4.3 Contoh distribusi motif pada satu kelas dataset

Pada satu dataset beraneka motif dikumpulkan dengan tujuan untuk mengukur setiap nilai yang tertera dalam satu citra pada satu kelas. Untuk lebih

jelasnya pembagian dataset dapat dilihat pada lampiran 2.2. Dalam lampiran tersebut didefinisikan masing-masing nama dataset beserta nilai masing masing fitur.

4.2 Hasil Preprocessing citra

Preprocessing citra batik dengan menggunakan fungsi derajat keabuan RGB to gray yang menghasilkan dataset image dengan bentuk gray, untuk selanjutnya diukur menjadi masukan pada proses ekstraksi fitur. Hasil preprocessing secara lengkap setiap dataset dapat dilihat pada lampiran 2.1.



Gambar 4.4 Contoh pembagian kelas dalam satu dataset

4.3 Hasil Ekstraksi dan Pemilihan Fitur GLCM

Pada proses ekstraksi fitur GLCM diukur masing masing nilai statistik pada setiap dataset. Hasil ekstraksi fitur dari dataset asli dapat dilihat pada lampiran 2.3. Untuk setiap fitur GLCM dinilai dari arah keempat sudut, sehingga pemilihan fitur yang tepat akan memberikan hasil akurasi maksimal.

Tabel 4.1 Rerata fitur GLCM pada kelompok dataset

| FITUR | BATIK TULIS | | BATIK CAP | | TEXTILE MOTIF BATIK | |
|-----------------|-------------|-------------|------------|-------------|---------------------|-------------|
| | Min | Max | Min | Max | Min | Max |
| asm | 0.000691 | 0.000973 | 0.000237 | 0.000501 | 0.000175 | 0.000529 |
| kontras | 729.033406 | 1034.537673 | 888.399505 | 1392.735713 | 762.925313 | 1072.538437 |
| idm | 0.143136 | 0.157011 | 0.086076 | 0.126286 | 0.069260 | 0.122417 |
| entropy | 8.738125 | 8.827925 | 8.999737 | 9.406161 | 9.031268 | 9.353093 |
| korelasi | 0.000225 | 0.000416 | 0.000191 | 0.000319 | 0.000370 | 0.000670 |

Nilai rataan yang tertera di tabel 4.1 menunjukkan hasil bahwa fitur yang dapat digunakan untuk mengukur nilai statistik batik tulis adalah fitur ASM (Angular Second Moment), IDM (Inverse Different Moment), Entropy dan korelasi.

Skenario pada dataset dengan menghitung rerata untuk setiap kelas berjumlah 5 kelompok dataset. Hasil perhitungan statistik GLCM dapat dilihat pada tabel 4.1. Pada tabel dapat diketahui bahwa fitur ASM (Angular Second Moment) mempunyai nilai rataan tinggi untuk batik tulis yaitu (0.000691 – 0.000973) sedangkan batik cap dan textile motif batik rataan berada dibawah nilai pada batik tulis (0.000175 – 0.000529). Untuk fitur kontras ketiga type kelas mempunyai range yang sama dan tidak dapat dibedakan (729.003 – 1392.735). Pada fitur IDM (Inverse Different Moment) pada batik tulis mempunyai jangkauan nilai yang lebih tinggi (0.143136 – 0.157011) dari batik cap dan textile motif batik yang keduanya mempunyai range rataan yang sama dan tidak bisa dibedakan. Nilai entropy pada batik tulis lebih rendah dari kedua kelas lainnya. Untuk nilai kolerasi pada kelas batik tulis lebih rendah daripada kelas textil motif batik dan lebih tinggi daripada kelas batik cap.

Skenario kedua untuk mengelompokkan dataset dengan jumlah kelompok lebih besar yaitu 10 kelompok dapat dilihat pada tabel 4.2 Pada skenario ini dataset tiap kelompok lebih beragam daripada dataset satu. Dengan skenario ini diharapakan nilai rataan statistik akan memberikan hasil yang lebih optimal.

Dari data hasil perhitungan statistik GLCM pada skenario dua didapatkan nilai fitur ASM (Angular Second Moment) mempunyai nilai rataan tinggi untuk batik tulis yaitu (0.000460 – 0.00213) sedangkan batik cap dan textile motif

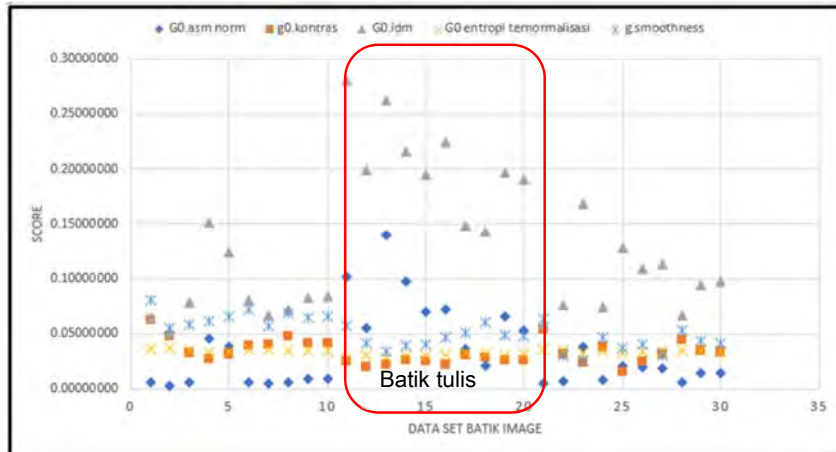
batik rataan berada dibawah nilai pada batik tulis (0.000111 – 0.00101). Untuk fitur kontras ketiga type kelas mempunyai range yang sama dan tidak dapat dibedakan. Pada fitur IDM (Inverse Different Moment) pada batik tulis mempunyai jangkauan nilai yang lebih tinggi (0.1430– 0.2807) dari batik cap dan textile motif batik yang keduanya mempunyai range rataan yang sama dan tidak bisa dibedakan.

Tabel 4.2 Rerata (Mean) fitur GLCM pada dataset yang lebih besar

| Data Set | G0.asm | G0.kontras | G0.idm | G0.entropi | G0.korelasi |
|----------|-------------------|---------------------|-------------------|-------------------|-------------------|
| ca1 | 0.00013425 | 2006.89104410 | 0.06460075 | 9.65421115 | 0.00014490 |
| ca2 | 0.00007275 | 1533.76432355 | 0.05108935 | 9.86304555 | 0.00021255 |
| ca3 | 0.00013730 | 1074.52904635 | 0.07823750 | 9.46537905 | 0.00021725 |
| ca4 | 0.00101485 | 897.65833975 | 0.15096020 | 8.86562610 | 0.00021375 |
| ca5 | 0.00083895 | 1042.29866930 | 0.12422255 | 9.14503085 | 0.00019605 |
| ca6 | 0.00012985 | 1266.09807710 | 0.08085385 | 9.57061295 | 0.00017380 |
| ca7 | 0.00011085 | 1284.87481555 | 0.06614695 | 9.63963790 | 0.00021355 |
| ca8 | 0.00014265 | 1554.56622625 | 0.07193790 | 9.56121830 | 0.00018080 |
| ca9 | 0.00020540 | 1345.38651795 | 0.08277745 | 9.48314565 | 0.00019450 |
| ca10 | 0.00022115 | 1345.34798805 | 0.08404485 | 9.47402630 | 0.00019075 |
| ta1 | 0.00226005 | 827.42762650 | 0.28072275 | 7.76176360 | 0.00023025 |
| ta2 | 0.00123125 | 645.10820580 | 0.19925365 | 8.38410275 | 0.00034645 |
| ta3 | 0.00311585 | 703.25857775 | 0.26234585 | 7.72438090 | 0.00038445 |
| ta4 | 0.00216580 | 838.88677155 | 0.21569305 | 8.27123880 | 0.00034330 |
| ta5 | 0.00156595 | 819.54106905 | 0.19521035 | 8.40945865 | 0.00031860 |
| ta6 | 0.00160395 | 731.73747910 | 0.22468185 | 8.16194515 | 0.00028360 |
| ta7 | 0.00079025 | 995.49167735 | 0.14828850 | 8.80121945 | 0.00026190 |
| ta8 | 0.00046085 | 937.49084185 | 0.14307690 | 8.81427615 | 0.00022135 |
| ta9 | 0.00146555 | 840.36297120 | 0.19711850 | 8.40601545 | 0.00028040 |
| ta10 | 0.00118765 | 870.35200190 | 0.19068010 | 8.47655575 | 0.00028315 |
| pa1 | 0.00011110 | 1752.98256260 | 0.05812000 | 9.69804210 | 0.00018325 |
| pa2 | 0.00017355 | 1010.99053170 | 0.07617385 | 9.36882355 | 0.00037105 |
| pa3 | 0.00084260 | 781.91407025 | 0.16820555 | 8.73103630 | 0.00045185 |
| pa4 | 0.00017970 | 1222.20056190 | 0.07429610 | 9.48789280 | 0.00026265 |
| pa5 | 0.00047720 | 514.98711630 | 0.12791225 | 8.80975535 | 0.00036950 |
| pa6 | 0.00044505 | 813.08957480 | 0.10944390 | 9.00805325 | 0.00033340 |
| pa7 | 0.00042745 | 1042.27115060 | 0.11290125 | 9.17826090 | 0.00036975 |
| pa8 | 0.00014595 | 1433.38844240 | 0.06658995 | 9.56320435 | 0.00022925 |
| pa9 | 0.00032460 | 1132.48117990 | 0.09419910 | 9.29185780 | 0.00029935 |
| pa10 | 0.00033005 | 1099.32348865 | 0.09735520 | 9.26493785 | 0.00031445 |

Pada fitur IDM (Inverse Different Moment) pada batik tulis mempunyai jangkauan nilai yang lebih tinggi dari batik cap dan textile motif batik yang

keduanya mempunyai range rataan yang sama dan tidak bisa dibedakan. Klaster fitur untuk data batik tulis pada skenario ke dua dapat dilihat pada gambar 4.5.



Gambar 4.5 Klaster nilai tiap kelas pada pengelompokan dataset

Fitur - fitur statistik GLCM yang mempunyai bobot terbaik dalam proses identifikasi batik asli adalah fitur *ASM (Angular Second Moment)* atau *Homogenitas, IDM (Inverse Different Moment)* atau *energy, Entropy* dan *Korelasi*. Data ekstraksi GLCM pada Dataset, maka setiap dataset mempunyai 4 fitur pada keempat sudutnya sehingga menjadi 16 fitur pada setiap kelas.

4.4 Hasil Proses Penentuan Parameter LVQ

Pembobotan awal yang digunakan adalah hasil dari vektor pada proses sebelumnya yaitu pada proses persiapan data masukan LVQ. Pembobot awal dipilih secara acak pada setiap kelas yang mewakili setiap kelasnya. Pada penelitian ini ada 3 pembobotan awal. Jumlah neuron input merepresentasikan jumlah fitur masukan pada setiap data inputan.

Pada penelitian ini jumlah neuron input 600 sedangkan neuron outputnya 3. Nilai *learning rate* harus bernilai antara 0 sampai 1, nilai learning rate mempengaruhi nilai pembobotan pada proses pelatihan. Semakin besar nilai LR akan berimplikasi pada semakin besarnya langkah pembelajaran.

Perhitungan learning rate yang digunakan pada penelitian ini ditunjukkan pada Tabel 4.4

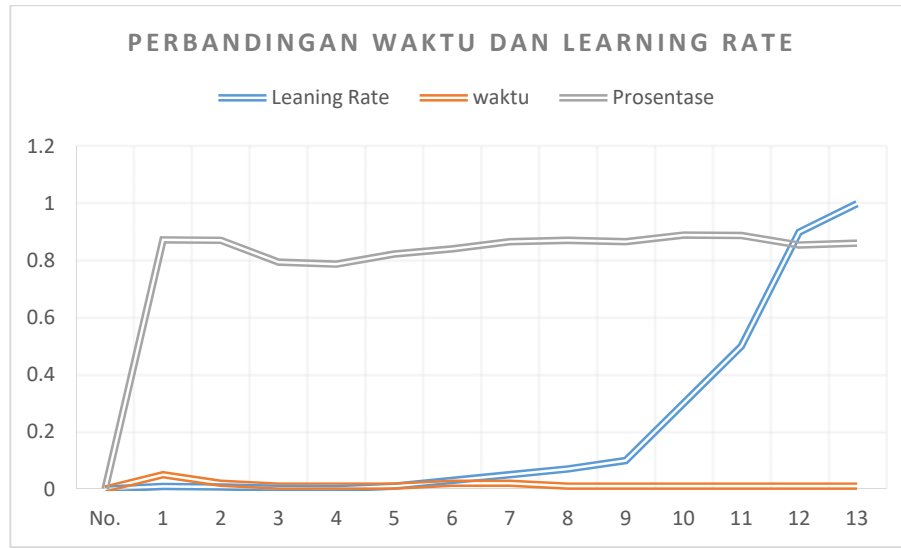
Pada Tabel 4.4 diberikan opsi dalam penentuan learning rate bernilai antara 0 dan 1 sebanyak 13 buah. Dari masing masing Learning rate akan diukur dengan menggunakan proses klasifikasi terhadap nilai akurasi dan juga waktu yang dibutuhkan untuk membuat suatu model. Sehingga nantinya dapat ditentukan nilai learning rate yang menghasilkan akurasi tinggi dan membutuhkan waktu proses yang terkecil.

Tabel 4.3 Daftar Penentuan Hasil Perhitungan Learning Rate Terhadap Waktu dan Akurasi

| No. | Learning Rate | Iterasi | HL | Time | Akurasi Benar | Prosentase Akurasi Benar | Akurasi Salah | |
|-----|---------------|---------|-----|------|---------------|--------------------------|---------------|--------|
| 1 | 0.009 | 1000 | 600 | 0.05 | 524 | 87.33% | 76 | 12.67% |
| 2 | 0.007 | 1000 | 600 | 0.02 | 523 | 87.17% | 77 | 12.83% |
| 3 | 0.003 | 1000 | 600 | 0.01 | 477 | 79.50% | 123 | 20.50% |
| 4 | 0.001 | 1000 | 600 | 0.01 | 473 | 78.83% | 127 | 21.17% |
| 5 | 0.01 | 1000 | 600 | 0.01 | 494 | 82.33% | 106 | 17.67% |
| 6 | 0.03 | 1000 | 600 | 0.02 | 505 | 84.17% | 95 | 15.83% |
| 7 | 0.05 | 1000 | 600 | 0.02 | 520 | 86.67% | 80 | 13.33% |
| 8 | 0.07 | 1000 | 600 | 0.01 | 523 | 87.17% | 77 | 12.83% |
| 9 | 0.1 | 1000 | 600 | 0.01 | 520 | 86.67% | 80 | 13.33% |
| 10 | 0.3 | 1000 | 600 | 0.01 | 534 | 89% | 66 | 11% |
| 11 | 0.5 | 1000 | 600 | 0.01 | 533 | 88.83% | 67 | 11.17% |
| 12 | 0.9 | 1000 | 600 | 0.01 | 513 | 85.50% | 87 | 14.50% |
| 13 | 1 | 1000 | 600 | 0.01 | 517 | 86.17% | 83 | 13.83% |

*LR = Learning Rate, HL= Hidden Layer,

Kombinasi parameter LVQ paling optimal pada saat LR 0.3 dengan epoch 1000 iterasi dengan tingkat akurasi 89% dan memiliki waktu terpendek yaitu 0,01 detik. Tingkat akurasi terendah berada pada saat LR 0.01-0.06 yaitu 70% kebenaran. Dari Tabel 4.5 diperoleh data bahwa nilai learning rate yang digunakan untuk proses klasifikasi adalah 0.3



Gambar 4.6 Grafik Perbandingan Waktu dengan Learning Rate

4.5 Hasil Proses Pelatihan LVQ

4.5.1 Pelatihan Menggunakan Data Tanpa Normalisasi

4.5.1.1 Skenario 1

Dataset fitur Pertama yang telah diperoleh dari semua instance pada seluruh subyek, diklasifikasi melalui algoritma Learning Vector Quantization (LVQ) dengan mengevaluasi secara *cross-validation* terhadap 10 *fold* subset fitur diperoleh hasil pada Tabel 4.5

Tabel 4.4 Confusion matrix dari skenario 1

| Confusion Matrix | | Kelas Prediksi | | |
|------------------|-----------|----------------|-----|-----|
| | | A | b | C |
| Kelas Aktual | a = tulis | 179 | 21 | 0 |
| | b = cap | 3 | 183 | 14 |
| | c = print | 0 | 23 | 177 |

Berdasarkan confusion matrix pada Tabel 4.6 dapat dihitung tingkat akurasi, presisi dan recall/sensitivity sesuai dengan persamaan (3.2), (3.3), (3.4), (3.5) untuk hasil *cross-validation 10 folds*, sebagai berikut :

$$\text{Akurasi} = \frac{(179 + (183 + 177))}{600} \times 100\% = 89,83\%$$

$$presisi(kelas a) = \frac{179}{179 + (3)} \times 100\% = 98,35\%$$

$$presisi(kelas b) = \frac{183}{183 + (21 + 23)} \times 100\% = 80,62\%$$

$$presisi(kelas c) = \frac{177}{177 + (14)} \times 100\% = 92,67\%$$

maka rata-rata presisi dari dataset dari semua kelas adalah

$$\mu_{presisi} = \frac{98,35 + 80,62 + 92,67}{3} = 90,546\%$$

tingkat recall selanjutnya juga dihitung, untuk menemukan nilai F-measure, sebagai berikut :

$$recall(kelas a) = \frac{179}{179 + (21)} \times 100\% = 89,5\%$$

$$recall(kelas b) = \frac{183}{183 + (3 + 14)} \times 100\% = 91,5\%$$

$$recall(kelas c) = \frac{177}{177 + (23)} \times 100\% = 88,5\%$$

maka rata-rata recall dari semua kelas dapat dihitung menjadi sebagai berikut :

$$\mu_{recall} = \frac{89,5 + 91,5 + 88,5}{3} = 89,83\%$$

sehingga selanjutnya dapat dihitung *f-measure* dari hasil klasifikasi pada Tabel 4.6. menggunakan persamaan (3.5) sebagai berikut :

$$F - measure = 2 * \left(\frac{90,546 * 89,83}{90,546 + 89,83} \right) = 90,188\%$$

4.5.1.2 Skenario 2

Dataset fitur Pertama yang telah diperoleh dari semua instance pada seluruh subyek, diklasifikasi melalui algoritma Learning Vector Quantization (LVQ) dengan mengevaluasi secara *cross-validation* terhadap 15 *fold* subset fitur diperoleh hasil pada Tabel 4.7

Tabel 4.5 Confusion matrix dari skenario 2

| Confusion Matrix | | Kelas Prediksi | | |
|------------------|-----------|----------------|-----|-----|
| | | a | B | c |
| Kelas Aktual | a = tulis | 188 | 12 | 0 |
| | b = cap | 9 | 179 | 12 |
| | c = print | 0 | 18 | 182 |

Berdasarkan confusion matrix pada Tabel 4.7 dapat dihitung tingkat akurasi, presisi dan recall/sensitivity sesuai dengan persamaan (3.2), (3.3), (3.4), (3.5) untuk hasil *cross-validation 15 folds*, sebagai berikut :

$$\text{Akurasi} = \frac{(188) + (179) + (182)}{600} \times 100\% = 91,5\%$$

$$\text{presisi(kelas } a) = \frac{188}{188 + (9)} \times 100\% = 95,43\%$$

$$\text{presisi(kelas } b) = \frac{179}{179 + (12 + 18)} \times 100\% = 85,65\%$$

$$\text{presisi(kelas } c) = \frac{182}{182 + (12)} \times 100\% = 93,81\%$$

maka rata-rata presisi dari dataset dari semua kelas adalah

$$\mu_{\text{presisi}} = \frac{95,43 + 85,65 + 93,81}{3} = 91,63 \%$$

tingkat recall selanjutnya juga dihitung, untuk menemukan nilai F-measure, sebagai berikut :

$$\text{recall (kelas } a) = \frac{188}{188 + 12} \times 100\% = 94\%$$

$$\text{recall (kelas } b) = \frac{179}{179 + (9 + 12)} \times 100\% = 89,5\%$$

$$\text{recall (kelas } c) = \frac{182}{182 + (18)} \times 100\% = 91\%$$

maka rata-rata recall dari semua kelas dapat dihitung menjadi sebagai berikut :

$$\mu_{\text{recall}} = \frac{94 + 89,5 + 91}{3} = 91,5\%$$

sehingga selanjutnya dapat dihitung *f-measure* dari hasil klasifikasi pada Tabel menggunakan persamaan (3.5) sebagai berikut :

$$F - measure = 2 * \left(\frac{91,63 * 91,5}{91,63 + 91,5} \right) = 91,56\%$$

4.5.1.3 Skenario 3

Dataset fitur Pertama yang telah diperoleh dari semua instance pada seluruh subyek, diklasifikasi melalui algoritma Learning Vector Quantization (LVQ) dengan mengevaluasi secara *cross-validation* terhadap 20 *fold* subset fitur diperoleh hasil pada Tabel 4.8

Tabel 4.6 Confusion matrix dari skenario 3

| Confusion Matrix | | Kelas Prediksi | | |
|------------------|-----------|----------------|-----|-----|
| | | A | B | c |
| Kelas Aktual | a = tulis | 179 | 19 | 2 |
| | b = cap | 9 | 184 | 7 |
| | c = print | 0 | 25 | 175 |

Berdasarkan confusion matrix pada Tabel 4.8 dapat dihitung tingkat akurasi, presisi dan recall/sensitivity sesuai dengan persamaan (3.2), (3.3), (3.4), (3.5) untuk hasil *cross-validation 20 folds*, sebagai berikut :

$$Akurasi = \frac{(179) + (184) + 175}{600} \times 100\% = 89,67\%$$

$$presisi(kelas a) = \frac{179}{179 + 19} \times 100\% = 95,21\%$$

$$presisi(kelas b) = \frac{184}{184 + (19 + 25)} \times 100\% = 80,7\%$$

$$presisi(kelas c) = \frac{175}{175 + (2 + 7)} \times 100\% = 95,11\%$$

maka rata-rata presisi dari dataset dari semua kelas adalah

$$\mu_{presisi} = \frac{95,21 + 80,7 + 95,11}{3} = 90,34\%$$

tingkat recall selanjutnya juga dihitung, untuk menemukan nilai F-measure, sebagai berikut :

$$\text{recall (kelas } a) = \frac{179}{179 + (19 + 2)} \times 100\% = 89,5\%$$

$$\text{recall (kelas } b) = \frac{184}{184 + (9 + 7)} \times 100\% = 92\%$$

$$\text{recall (kelas } c) = \frac{175}{175 + (25)} \times 100\% = 87,5\%$$

maka rata-rata recall dari semua kelas dapat dihitung menjadi sebagai berikut :

$$\mu_{\text{recall}} = \frac{89,5 + 92 + 87,5}{3} = 89,67\%$$

sehingga selanjutnya dapat dihitung *f-measure* dari hasil klasifikasi pada **Error! Reference source not found.** menggunakan persamaan (3.5) sebagai berikut :

$$F - \text{measure} = 2 * \left(\frac{90,34 * 89,67}{90,34 + 89,67} \right) = 90,002\%$$

4.5.1.4 Skenario 4

Dataset fitur Pertama yang telah diperoleh dari semua instance pada seluruh subyek, diklasifikasi melalui algoritma Learning Vector Quantization (LVQ) dengan mengevaluasi secara *cross-validation* terhadap 25 *fold* subset fitur diperoleh hasil pada Tabel 4.9

Tabel 4.7 Confusion matrix dari skenario 4

| <i>Confusion Matrix</i> | | <i>Kelas Prediksi</i> | | |
|-------------------------|------------------|-----------------------|----------|----------|
| | | <i>A</i> | <i>B</i> | <i>C</i> |
| <i>Kelas Aktual</i> | a = tulis | 181 | 18 | 1 |
| | b = cap | 7 | 177 | 16 |
| | c = print | 0 | 24 | 176 |

Berdasarkan confusion matrix pada Tabel 4.9 dapat dihitung tingkat akurasi, presisi dan recall/sensitivity sesuai dengan persamaan (3.2), (3.3), (3.4), (3.5) untuk hasil *cross-validation 25 folds*, sebagai berikut :

$$Akurasi = \frac{(181) + (177) + (176)}{600} \times 100\% = 89\%$$

$$presisi(kelas a) = \frac{181}{181 + 7} \times 100\% = 96,28\%$$

$$presisi(kelas b) = \frac{177}{177 + (18 + 24)} \times 100\% = 80,82\%$$

$$presisi(kelas c) = \frac{176}{176 + (1 + 16)} \times 100\% = 91,19\%$$

maka rata-rata presisi dari dataset dari semua kelas adalah

$$\mu_{presisi} = \frac{96,28 + 80,82 + 91,19}{3} = 89,43\%$$

tingkat recall selanjutnya juga dihitung, untuk menemukan nilai F-measure, sebagai berikut :

$$recall(kelas a) = \frac{181}{181 + (18 + 1)} \times 100\% = 90,5\%$$

$$recall(kelas b) = \frac{177}{177 + (7 + 16)} \times 100\% = 88,5\%$$

$$recall(kelas c) = \frac{176}{176 + (24)} \times 100\% = 88\%$$

maka rata-rata recall dari semua kelas dapat dihitung menjadi sebagai berikut :

$$\mu_{recall} = \frac{90,5 + 88,5 + 88}{3} = 89\%$$

sehingga selanjutnya dapat dihitung *f-measure* dari hasil klasifikasi pada **Error! Reference source not found.** menggunakan persamaan (3.5) sebagai berikut :

$$F - measure = 2 * \left(\frac{89,43 * 89}{89,43 + 89} \right) = 89,214\%$$

4.5.1.5 Skenario 5

Dataset fitur Pertama yang telah diperoleh dari semua instance pada seluruh subyek, diklasifikasi melalui algoritma Learning Vector Quantization (LVQ) dengan mengevaluasi secara *cross-validation* terhadap 25 fold subset fitur diperoleh hasil pada Tabel 4.10

Tabel 4.8 Confusion matrix dari skenario 5

| Confusion Matrix | | Kelas Prediksi | | |
|------------------|-----------|----------------|-----|-----|
| | | A | b | C |
| Kelas Aktual | a = tulis | 186 | 12 | 2 |
| | b = cap | 11 | 179 | 10 |
| | c = print | 0 | 12 | 188 |

Berdasarkan confusion matrix pada Tabel 4.10 dapat dihitung tingkat akurasi, presisi dan recall/sensitivity sesuai dengan persamaan (3.2), (3.3), (3.4), (3.5) untuk hasil *cross-validation 25 folds*, sebagai berikut :

$$\text{Akurasi} = \frac{(186) + (179) + (188)}{600} \times 100\% = 92,17\%$$

$$\text{presisi(kelas } a) = \frac{186}{186 + (11)} \times 100\% = 93\%$$

$$\text{presisi(kelas } b) = \frac{179}{179 + (12 + 12)} \times 100\% = 94,42\%$$

$$\text{presisi(kelas } c) = \frac{188}{188 + (2 + 10)} \times 100\% = 94\%$$

maka rata-rata presisi dari dataset dari semua kelas adalah

$$\mu_{\text{presisi}} = \frac{93 + 94,42 + 94}{3} = 92,197\%$$

tingkat recall selanjutnya juga dihitung, untuk menemukan nilai F-measure, sebagai berikut :

$$\text{recall (kelas } a) = \frac{186}{186 + (12 + 2)} \times 100\% = 93\%$$

$$\text{recall (kelas } b) = \frac{179}{179 + (11 + 10)} \times 100\% = 89,5\%$$

$$\text{recall (kelas } c) = \frac{188}{188 + (12)} \times 100\% = 94\%$$

maka rata-rata recall dari semua kelas dapat dihitung menjadi sebagai berikut :

$$\mu_{\text{recall}} = \frac{93 + 89,5 + 94}{3} = 92,17\%$$

sehingga selanjutnya dapat dihitung *f-measure* dari hasil klasifikasi pada **Error!**

Reference source not found.. menggunakan persamaan (3.5) sebagai berikut :

$$F - measure = 2 * \left(\frac{92,197 * 92,17}{92,197 + 92,17} \right) = 92.182\%$$

4.5.2 Pelatihan Menggunakan Data Normalisasi

4.5.2.1 Skenario 6

Dataset fitur Pertama yang telah diperoleh dari semua instance pada seluruh subyek, diklasifikasi melalui algoritma Learning Vector Quantization (LVQ) dengan mengevaluasi secara *cross-validation* terhadap 15 *fold* subset fitur diperoleh hasil pada Tabel 4.11

Tabel 4.9 Confusion matrix dari skenario 6

| <i>Confusion Matrix</i> | | <i>Kelas Prediksi</i> | | |
|-------------------------|------------------|-----------------------|----------|----------|
| | | <i>a</i> | <i>b</i> | <i>c</i> |
| <i>Kelas Aktual</i> | <i>a = tulis</i> | 199 | 1 | 0 |
| | <i>b = cap</i> | 1 | 195 | 4 |
| | <i>c = print</i> | 0 | 3 | 197 |

Berdasarkan confusion matrix pada Tabel 4.11 dapat dihitung tingkat akurasi, presisi dan recall/sensitivity sesuai dengan persamaan (3.2), (3.3), (3.4), (3.5) untuk hasil *cross-validation 10 folds*, sebagai berikut :

$$Akurasi = \frac{(199) + (195 + 197)}{600} \times 100\% = 98,50\%$$

$$presisi(kelas a) = \frac{199}{199 + (1)} \times 100\% = 99,5\%$$

$$presisi(kelas b) = \frac{195}{195 + (1 + 3)} \times 100\% = 97,99\%$$

$$presisi(kelas c) = \frac{197}{197 + (4)} \times 100\% = 98,01\%$$

maka rata-rata presisi dari dataset dari semua kelas adalah

$$\mu_{presisi} = \frac{99,5 + 97,99 + 98,01}{3} = 98,499\%$$

tingkat recall selanjutnya juga dihitung, untuk menemukan nilai F-measure, sebagai berikut :

$$\text{recall (kelas } a) = \frac{199}{199 + (1)} \times 100\% = 99,5\%$$

$$\text{recall (kelas } b) = \frac{195}{195 + (1 + 4)} \times 100\% = 97,5\%$$

$$\text{recall (kelas } c) = \frac{197}{197 + (3)} \times 100\% = 95,5\%$$

maka rata-rata recall dari semua kelas dapat dihitung menjadi sebagai berikut :

$$\mu \text{recall} = \frac{99,5 + 97,5 + 95,5}{3} = 98,5\%$$

sehingga selanjutnya dapat dihitung *f-measure* dari hasil klasifikasi pada **Error! Reference source not found.** menggunakan persamaan (3.5) sebagai berikut :

$$F - \text{measure} = 2 * \left(\frac{98,49 * 98,5}{98,49 + 98,5} \right) = 98,49\%$$

4.5.2.2 Skenario 7

Dataset fitur Pertama yang telah diperoleh dari semua instance pada seluruh subyek, diklasifikasi melalui algoritma Learning Vector Quantization (LVQ) dengan mengevaluasi secara *cross-validation* terhadap 15 *fold* subset fitur diperoleh hasil pada Tabel 4.12

Tabel 4.10 Confusion matrix dari skenario 7

| <i>Confusion Matrix</i> | | <i>Kelas Prediksi</i> | | |
|-------------------------|------------------|-----------------------|----------|----------|
| | | <i>a</i> | <i>b</i> | <i>c</i> |
| <i>Kelas Aktual</i> | a = tulis | 199 | 1 | 0 |
| | b = cap | 3 | 195 | 2 |
| | c = print | 0 | 2 | 198 |

Berdasarkan confusion matrix pada Tabel 4.12 dapat dihitung tingkat akurasi, presisi dan recall/sensitivity sesuai dengan persamaan (3.2), (3.3), (3.4), (3.5) untuk hasil *cross-validation 15 folds*, sebagai berikut :

$$Akurasi = \frac{(199) + (195) + (198)}{600} \times 100\% = 98,66\%$$

$$presisi(kelas a) = \frac{199}{199 + (3)} \times 100\% = 98,51\%$$

$$presisi(kelas b) = \frac{195}{195 + (1 + 2)} \times 100\% = 98,48\%$$

$$presisi(kelas c) = \frac{198}{198 + (2)} \times 100\% = 99\%$$

maka rata-rata presisi dari dataset dari semua kelas adalah

$$\mu_{presisi} = \frac{98,51 + 98,48 + 99}{3} = 98,66\%$$

tingkat recall selanjutnya juga dihitung, untuk menemukan nilai F-measure, sebagai berikut :

$$recall(kelas a) = \frac{199}{199 + (1)} \times 100\% = 99,5\%$$

$$recall(kelas b) = \frac{195}{195 + (3 + 2)} \times 100\% = 97,5\%$$

$$recall(kelas c) = \frac{198}{198 + (2)} \times 100\% = 99\%$$

maka rata-rata recall dari semua kelas dapat dihitung menjadi sebagai berikut :

$$\mu_{recall} = \frac{99,5 + 97,5 + 99}{3} = 98,67\%$$

sehingga selanjutnya dapat dihitung *f-measure* dari hasil klasifikasi pada Tabel 4.12. menggunakan persamaan (3.5) sebagai berikut :

$$F - measure = 2 * \left(\frac{98,66 * 98,67}{98,66 + 98,67} \right) = 98,66\%$$

4.5.2.3 Skenario 8

Dataset fitur Pertama yang telah diperoleh dari semua instance pada seluruh subyek, diklasifikasi melalui algoritma Learning Vector Quantization (LVQ) dengan mengevaluasi secara *cross-validation* terhadap 20 *fold* subset fitur diperoleh hasil pada Tabel 4.13

Tabel 4.11 Confusion matrix dari skenario 8

| Confusion Matrix | | Kelas Prediksi | | |
|------------------|-----------|----------------|-----|-----|
| | | a | b | c |
| Kelas Aktual | a = tulis | 197 | 3 | 0 |
| | b = cap | 1 | 197 | 2 |
| | c = print | 0 | 5 | 195 |

Berdasarkan confusion matrix pada Tabel 4.13 dapat dihitung tingkat akurasi, presisi dan recall/sensitivity sesuai dengan persamaan (3.2), (3.3), (3.4), (3.5) untuk hasil *cross-validation 20 folds*, sebagai berikut :

$$\text{Akurasi} = \frac{(197) + (197 + 195)}{600} \times 100\% = 98,17\%$$

$$\text{presisi(kelas } a) = \frac{197}{197 + (1)} \times 100\% = 99,49\%$$

$$\text{presisi(kelas } b) = \frac{197}{197 + (3 + 5)} \times 100\% = 96,09\%$$

$$\text{presisi(kelas } c) = \frac{195}{195 + (2)} \times 100\% = 98,98\%$$

maka rata-rata presisi dari dataset dari semua kelas adalah

$$\mu_{\text{presisi}} = \frac{99,49 + 96,09 + 98,98}{3} = 98,19\%$$

tingkat recall selanjutnya juga dihitung, untuk menemukan nilai F-measure, sebagai berikut :

$$\text{recall (kelas } a) = \frac{197}{197 + (3)} \times 100\% = 98,5\%$$

$$\text{recall (kelas } b) = \frac{197}{197 + (1 + 2)} \times 100\% = 98,5\%$$

$$\text{recall (kelas } c) = \frac{195}{195 + (5)} \times 100\% = 97,5\%$$

maka rata-rata recall dari semua kelas dapat dihitung menjadi sebagai berikut :

$$\mu_{\text{recall}} = \frac{98,5 + 98,4 + 97,5}{3} = 98,17\%$$

sehingga selanjutnya dapat dihitung *f-measure* dari hasil klasifikasi pada Tabel 4.13 menggunakan persamaan (3.5) sebagai berikut :

$$F - measure = 2 * \left(\frac{98,19 * 98,17}{98,19 + 98,17} \right) = 98.179\%$$

4.5.2.4 Skenario 9

Dataset fitur Pertama yang telah diperoleh dari semua instance pada seluruh subyek, diklasifikasi melalui algoritma Learning Vector Quantization (LVQ) dengan mengevaluasi secara *cross-validation* terhadap 25 *fold* subset fitur diperoleh hasil pada Tabel 4.14

Tabel 4.12 Confusion matrix dari skenario 9

| <i>Confusion Matrix</i> | | <i>Kelas Prediksi</i> | | |
|-------------------------|------------------|-----------------------|----------|----------|
| | | <i>A</i> | <i>B</i> | <i>C</i> |
| <i>Kelas Aktual</i> | a = tulis | 196 | 4 | 0 |
| | b = cap | 3 | 194 | 3 |
| | c = print | 0 | 3 | 197 |

Berdasarkan confusion matrix pada Tabel 4.14 dapat dihitung tingkat akurasi, presisi dan recall/sensitivity sesuai dengan persamaan (3.2), (3.3), (3.4), (3.5) untuk hasil *cross-validation 25 folds*, sebagai berikut :

$$Akurasi = \frac{(196) + (194 + 197)}{600} \times 100\% = 97,83\%$$

$$presisi(kelas a) = \frac{196}{174 + (3)} \times 100\% = 98,49\%$$

$$presisi(kelas b) = \frac{194}{194 + (4 + 3)} \times 100\% = 96,52\%$$

$$presisi(kelas c) = \frac{197}{197 + (3)} \times 100\% = 98,5\%$$

maka rata-rata presisi dari dataset dari semua kelas adalah

$$\mu_{presisi} = \frac{98,49 + 96,52 + 98,5}{3} = 97,83\%$$

tingkat recall selanjutnya juga dihitung, untuk menemukan nilai F-measure, sebagai berikut :

$$recall (kelas a) = \frac{196}{196 + (4)} \times 100\% = 98\%$$

$$recall (kelas b) = \frac{194}{194 + (3 + 3)} \times 100\% = 97\%$$

$$recall (kelas c) = \frac{197}{197 + (3)} \times 100\% = 98,5\%$$

maka rata-rata recall dari semua kelas dapat dihitung menjadi sebagai berikut :

$$\mu_{recall} = \frac{98 + 97 + 98,5}{3} = 97,83\%$$

sehingga selanjutnya dapat dihitung *f-measure* dari hasil klasifikasi pada **Error!**

Reference source not found.abel 4.14 menggunakan persamaan (3.5) sebagai berikut :

$$F - measure = 2 * \left(\frac{97,83 * 97,83}{97,83 + 97,83} \right) = 97.83\%$$

4.5.2.5 Skenario 10

Dataset fitur Pertama yang telah diperoleh dari semua instance pada seluruh subyek, diklasifikasi melalui algoritma Learning Vector Quantization (LVQ) dengan mengevaluasi secara *cross-validation* terhadap 30 *fold* subset fitur diperoleh hasil pada Tabel 4.15

Tabel 4.13 Confusion matrix dari skenario 10

| <i>Confusion Matrix</i> | | <i>Kelas Prediksi</i> | | |
|-------------------------|------------------|-----------------------|----------|----------|
| | | <i>a</i> | <i>B</i> | <i>C</i> |
| <i>Kelas Aktual</i> | <i>a = tulis</i> | 199 | 1 | 0 |
| | <i>b = cap</i> | 0 | 197 | 3 |
| | <i>c = print</i> | 0 | 3 | 197 |

Berdasarkan confusion matrix pada Tabel 4.15 dapat dihitung tingkat akurasi, presisi dan recall/sensitivity sesuai dengan persamaan (3.2), (3.3), (3.4), (3.5) untuk hasil *cross-validation 30 folds*, sebagai berikut :

$$Akurasi = \frac{(199) + (197 + 197)}{600} \times 100\% = 98,83\%$$

$$presisi(kelas a) = \frac{199}{199 + (0)} \times 100\% = 100\%$$

$$presisi(kelas b) = \frac{197}{197 + (1 + 3)} \times 100\% = 98,01\%$$

$$presisi(kelas c) = \frac{197}{197 + (3)} \times 100\% = 98,5\%$$

maka rata-rata presisi dari dataset dari semua kelas adalah

$$\mu_{presisi} = \frac{100 + 98,01 + 98,5}{3} = 98,83\%$$

tingkat recall selanjutnya juga dihitung, untuk menemukan nilai F-measure, sebagai berikut :

$$recall(kelas a) = \frac{199}{199 + (1)} \times 100\% = 99,5\%$$

$$recall(kelas b) = \frac{197}{197 + (3)} \times 100\% = 98,5\%$$

$$recall(kelas c) = \frac{197}{197 + (3)} \times 100\% = 98,5\%$$

maka rata-rata recall dari semua kelas dapat dihitung menjadi sebagai berikut :

$$\mu_{recall} = \frac{99,5 + 98,5 + 98,5}{3} = 98,83\%$$

sehingga selanjutnya dapat dihitung *f-measure* dari hasil klasifikasi pada Tabel 4.15. menggunakan persamaan (3.5) sebagai berikut :

$$F - measure = 2 * \left(\frac{98,83 * 98,83}{98,83 + 98,83} \right) = 98,83\%$$

4.6 Hasil Proses Ujicoba LVQ

Setelah pengujian terhadap data training, maka selanjutnya dilakukan pengujian dengan data testing yaitu dengan metode persen split dengan jumlah presentase 60%, 65%, 70%, 75% dan 80% .

4.6.1 Proses Ujicoba Menggunakan Data Tanpa Normalisasi

4.6.1.1 Skenario 11

Dataset batik yang digunakan pada skenario ini menggunakan dataset hasil perhitungan GLCM pada proses sebelumnya pada dataset kedua. Jumlah

keseluruhan dataset 600 instance dievaluasi proses ujicoba dengan metode persensplit 60% sehingga data yg digunakan sebanyak 240 instance dan diperoleh hasil pada Tabel 4.16.

Tabel 4.14 Confusion matrix dari skenario 11

| Confusion Matrix | | Kelas Prediksi | | |
|------------------|-----------|----------------|----|----|
| | | A | b | c |
| Kelas Aktual | a = tulis | 72 | 7 | 0 |
| | b = cap | 3 | 76 | 1 |
| | c = print | 0 | 3 | 78 |

Berdasarkan confusion matrix pada Tabel 4.16 dapat dihitung tingkat akurasi, presisi dan recall/sensitivity sesuai dengan persamaan (3.2), (3.3), (3.4), (3.5) untuk hasil *percent split 60%*, sebagai berikut :

$$\text{Akurasi} = \frac{(72) + (76 + 78)}{240} \times 100\% = 94,17\%$$

$$\text{presisi(kelas } a) = \frac{72}{72 + (3)} \times 100\% = 96\%$$

$$\text{presisi(kelas } b) = \frac{76}{76 + (7 + 3)} \times 100\% = 88,37\%$$

$$\text{presisi(kelas } c) = \frac{78}{78 + (1)} \times 100\% = 98,73\%$$

maka rata-rata presisi dari dataset dari semua kelas adalah

$$\mu_{\text{presisi}} = \frac{96 + 88,37 + 98,73}{3} = 94,37\%$$

tingkat recall selanjutnya juga dihitung, untuk menemukan nilai F-measure, sebagai berikut :

$$\text{recall (kelas } a) = \frac{72}{72 + (7)} \times 100\% = 91,14\%$$

$$\text{recall (kelas } b) = \frac{76}{76 + (3 + 1)} \times 100\% = 95\%$$

$$\text{recall (kelas } c) = \frac{78}{78 + (3)} \times 100\% = 96,29\%$$

maka rata-rata recall dari semua kelas dapat dihitung menjadi sebagai berikut :

$$\mu_{recall} = \frac{91,14 + 95 + 96,29}{3} = 94,14\%$$

sehingga selanjutnya dapat dihitung *f-measure* dari hasil klasifikasi pada **Error!**

Reference source not found.. menggunakan persamaan (3.5) sebagai berikut :

$$F - measure = 2 * \left(\frac{94,36 * 94,14}{94,36 + 94,14} \right) = 94,256\%$$

4.6.1.2 Skenario 12

Dataset batik yang digunakan pada skenario ini menggunakan dataset hasil perhitungan GLCM pada proses sebelumnya pada dataset kedua. Jumlah keseluruhan dataset 600 instance dievaluasi proses ujicoba dengan metode persensplit 65% sehingga data yg digunakan sebanyak 210 instance dan diperoleh hasil pada Tabel 4.17.

Tabel 4.15 Confusion matrix dari skenario 12

| Confusion Matrix | | Kelas Prediksi | | |
|------------------|-----------|----------------|----|----|
| | | A | b | c |
| Kelas Aktual | a = tulis | 63 | 6 | 0 |
| | b = cap | 2 | 68 | 0 |
| | c = print | 0 | 18 | 53 |

Berdasarkan confusion matrix pada Tabel 4.17 dapat dihitung tingkat akurasi, presisi dan recall/sensitivity sesuai dengan persamaan (3.2), (3.3), (3.4), (3.5) untuk hasil *percent split* 65%, sebagai berikut :

$$Akurasi = \frac{(63) + (68) + (53)}{210} \times 100\% = 87,62\%$$

$$presisi(kelas a) = \frac{63}{63 + (2)} \times 100\% = 96,92\%$$

$$presisi(kelas b) = \frac{68}{68 + (6 + 18)} \times 100\% = 73,91\%$$

$$presisi(kelas c) = \frac{53}{53 + (0)} \times 100\% = 100\%$$

maka rata-rata presisi dari dataset dari semua kelas adalah

$$\mu_{presisi} = \frac{96,92 + 73,91 + 100}{3} = 90,28\%$$

tingkat recall selanjutnya juga dihitung, untuk menemukan nilai F-measure, sebagai berikut :

$$\text{recall (kelas } a) = \frac{63}{63 + 6} \times 100\% = 91,3\%$$

$$\text{recall (kelas } b) = \frac{68}{68 + (2)} \times 100\% = 97,14\%$$

$$\text{recall (kelas } c) = \frac{53}{53 + (18)} \times 100\% = 74,65\%$$

maka rata-rata recall dari semua kelas dapat dihitung menjadi sebagai berikut :

$$\mu_{\text{recall}} = \frac{91,3 + 97,14 + 74,65}{3} = 87,69\%$$

sehingga selanjutnya dapat dihitung *f-measure* dari hasil klasifikasi pada Tabel 4.17. menggunakan persamaan (3.5) sebagai berikut :

$$F - \text{measure} = 2 * \left(\frac{90,28 * 87,69}{90,28 + 87,69} \right) = 88,97\%$$

4.6.1.3 Skenario 13

Dataset batik yang digunakan pada skenario ini menggunakan dataset hasil perhitungan GLCM pada proses sebelumnya pada dataset kedua. Jumlah keseluruhan dataset 600 instance dievaluasi proses ujicoba dengan metode persensplit 70% sehingga data yg digunakan sebanyak 180 instance dan diperoleh hasil pada Tabel 4.18.

Tabel 4.16 Confusion matrix dari skenario 13

| <i>Confusion Matrix</i> | | <i>Kelas Prediksi</i> | | |
|-------------------------|------------------|-----------------------|----------|----------|
| | | <i>a</i> | <i>B</i> | <i>c</i> |
| <i>Kelas Aktual</i> | a = tulis | 52 | 8 | 0 |
| | b = cap | 2 | 58 | 2 |
| | c = print | 0 | 3 | 55 |

Berdasarkan confusion matrix pada Tabel 4.18 dapat dihitung tingkat akurasi, presisi dan recall/sensitivity sesuai dengan persamaan (3.2), (3.3), (3.4), (3.5) untuk hasil *percensplit 70%*, sebagai berikut :

$$Akurasi = \frac{(52) + (58 + 55)}{180} \times 100\% = 91,67\%$$

$$presisi(kelas a) = \frac{52}{52 + 2} \times 100\% = 96,29\%$$

$$presisi(kelas b) = \frac{58}{58 + (8 + 3)} \times 100\% = 84,06\%$$

$$presisi(kelas c) = \frac{55}{55 + (2)} \times 100\% = 96,49\%$$

maka rata-rata presisi dari dataset dari semua kelas adalah

$$\mu_{presisi} = \frac{96,29 + 84,06 + 96,49}{3} = 91,98\%$$

tingkat recall selanjutnya juga dihitung, untuk menemukan nilai F-measure, sebagai berikut :

$$recall(kelas a) = \frac{52}{52 + (8)} \times 100\% = 86,67\%$$

$$recall(kelas b) = \frac{58}{58 + (2 + 2)} \times 100\% = 93,55\%$$

$$recall(kelas c) = \frac{55}{55 + (3)} \times 100\% = 94,83\%$$

maka rata-rata recall dari semua kelas dapat dihitung menjadi sebagai berikut :

$$\mu_{recall} = \frac{86,67 + 93,55 + 94,83}{3} = 91,68\%$$

sehingga selanjutnya dapat dihitung *f-measure* dari hasil klasifikasi pada Tabel 4.18 . menggunakan persamaan (3.5) sebagai berikut :

$$F - measure = 2 * \left(\frac{92,28 * 91,68}{92,28 + 91,68} \right) = 91,98\%$$

4.6.1.4 Skenario 14

Dataset batik yang digunakan pada skenario ini menggunakan dataset hasil perhitungan GLCM pada proses sebelumnya pada dataset kedua. Jumlah keseluruhan dataset 600 instance dievaluasi proses ujicoba dengan metode *percent split* 75% sehingga data yg digunakan sebanyak 150 instance dan diperoleh hasil pada Tabel 4.19.

Tabel 4.17 Confusion matrix dari skenario 14

| Confusion Matrix | | Kelas Prediksi | | |
|------------------|-----------|----------------|----|----|
| | | A | B | C |
| Kelas Aktual | a = tulis | 46 | 4 | 0 |
| | b = cap | 0 | 51 | 2 |
| | c = print | 0 | 2 | 45 |

Berdasarkan confusion matrix pada Tabel 4.19 dapat dihitung tingkat akurasi, presisi dan recall/sensitivity sesuai dengan persamaan (3.2), (3.3), (3.4), (3.5) untuk hasil *percent split* 75%, sebagai berikut :

$$\text{Akurasi} = \frac{(46) + (51) + (45)}{150} \times 100\% = 94,67\%$$

$$\text{presisi(kelas } a) = \frac{46}{46 + (0)} \times 100\% = 100\%$$

$$\text{presisi(kelas } b) = \frac{51}{51 + (4 + 2)} \times 100\% = 89,47\%$$

$$\text{presisi(kelas } c) = \frac{45}{45 + (2)} \times 100\% = 95,74\%$$

maka rata-rata presisi dari dataset dari semua kelas adalah

$$\mu_{\text{presisi}} = \frac{100 + 89,47 + 95,74}{3} = 95,07\%$$

tingkat recall selanjutnya juga dihitung, untuk menemukan nilai F-measure, sebagai berikut :

$$\text{recall (kelas } a) = \frac{46}{46 + (4)} \times 100\% = 92\%$$

$$\text{recall (kelas } b) = \frac{51}{51 + (2)} \times 100\% = 96,22\%$$

$$\text{recall (kelas } c) = \frac{45}{45 + (2)} \times 100\% = 95,74\%$$

maka rata-rata recall dari semua kelas dapat dihitung menjadi sebagai berikut :

$$\mu_{\text{recall}} = \frac{92 + 96,22 + 95,74}{3} = 94,657\%$$

sehingga selanjutnya dapat dihitung *f-measure* dari hasil klasifikasi pada **Error!**

Reference source not found.. menggunakan persamaan (3.5) sebagai berikut :

$$F - measure = 2 * \left(\frac{95,07 * 94,657}{95,07 + 94,657} \right) = 94,86\%$$

4.6.1.5 Skenario 15

Dataset batik yang digunakan pada skenario ini menggunakan dataset hasil perhitungan GLCM pada proses sebelumnya pada dataset kedua. Jumlah keseluruhan dataset 600 instance dievaluasi proses ujicoba dengan metode persensplit 80% sehingga data yg digunakan sebanyak 120 instance dan diperoleh hasil pada Tabel 4.20.

Tabel 4.18 Confusion matrix dari skenario 15

| <i>Confusion Matrix</i> | | <i>Kelas Prediksi</i> | | |
|-------------------------|------------------|-----------------------|----------|----------|
| | | <i>A</i> | <i>B</i> | <i>C</i> |
| <i>Kelas Aktual</i> | <i>a = tulis</i> | 41 | 0 | 0 |
| | <i>b = cap</i> | 2 | 39 | 1 |
| | <i>c = print</i> | 0 | 2 | 35 |

Berdasarkan confusion matrix pada Tabel 4.20 dapat dihitung tingkat akurasi, presisi dan recall/sensitivity sesuai dengan persamaan (3.2), (3.3), (3.4), (3.5) untuk hasil *percen split 80%*, sebagai berikut :

$$Akurasi = \frac{(41) + (39) + (35)}{120} \times 100\% = 95,83\%$$

$$presisi(kelas a) = \frac{41}{41 + (2)} \times 100\% = 95,34\%$$

$$presisi(kelas b) = \frac{39}{39 + (2)} \times 100\% = 95,12\%$$

$$presisi(kelas c) = \frac{35}{35 + (1)} \times 100\% = 97,22\%$$

maka rata-rata presisi dari dataset dari semua kelas adalah

$$\mu_{presisi} = \frac{95,34 + 95,12 + 97,22}{3} = 95,89\%$$

tingkat recall selanjutnya juga dihitung, untuk menemukan nilai F-measure, sebagai berikut :

$$\text{recall (kelas } a) = \frac{41}{41 + (0)} \times 100\% = 100\%$$

$$\text{recall (kelas } b) = \frac{39}{39 + (2 + 1)} \times 100\% = 92,86\%$$

$$\text{recall (kelas } c) = \frac{35}{35 + (2)} \times 100\% = 94,59\%$$

maka rata-rata recall dari semua kelas dapat dihitung menjadi sebagai berikut :

$$\mu\text{recall} = \frac{100 + 92,86 + 94,59}{3} = 95,817\%$$

sehingga selanjutnya dapat dihitung *f-measure* dari hasil klasifikasi pada Tabel 4.20. menggunakan persamaan (3.5) sebagai berikut :

$$F - \text{measure} = 2 * \left(\frac{95,89 * 95,817}{95,89 + 95,817} \right) = 95.857\%$$

4.6.2 Proses Ujicoba Menggunakan Data Normalisasi

4.6.2.1 Skenario 16

Dataset batik yang digunakan pada skenario ini menggunakan dataset hasil perhitungan GLCM pada proses sebelumnya yang sudah ternormalisasi pada dataset kedua. Jumlah keseluruhan dataset 600 instance dievaluasi proses ujicoba dengan metode persensplit 60% sehingga data yg digunakan sebanyak 240 instance dan diperoleh hasil pada Tabel 4.21.

Tabel 4.19 Confusion matrix dari skenario 16

| <i>Confusion Matrix</i> | | <i>Kelas Prediksi</i> | | |
|-------------------------|------------------|-----------------------|----------|----------|
| | | <i>a</i> | <i>B</i> | <i>c</i> |
| <i>Kelas Aktual</i> | a = tulis | 79 | 0 | 0 |
| | b = cap | 3 | 77 | 0 |
| | c = print | 0 | 5 | 76 |

Berdasarkan confusion matrix pada Tabel 4.21 dapat dihitung tingkat akurasi, presisi dan recall/sensitivity sesuai dengan persamaan (3.2), (3.3), (3.4), (3.5) untuk hasil *percent split* 60%, sebagai berikut :

$$Akurasi = \frac{(79) + (77 + 76)}{240} \times 100\% = 96,67\%$$

$$presisi(kelas a) = \frac{79}{79 + (3)} \times 100\% = 96,34\%$$

$$presisi(kelas b) = \frac{77}{77 + (5)} \times 100\% = 93,9\%$$

$$presisi(kelas c) = \frac{76}{76 + (0)} \times 100\% = 100\%$$

maka rata-rata presisi dari dataset dari semua kelas adalah

$$\mu_{presisi} = \frac{96,34 + 93,9 + 100}{3} = 96,74\%$$

tingkat recall selanjutnya juga dihitung, untuk menemukan nilai F-measure, sebagai berikut :

$$recall(kelas a) = \frac{79}{79 + (0)} \times 100\% = 100\%$$

$$recall(kelas b) = \frac{77}{77 + (3)} \times 100\% = 96,25\%$$

$$recall(kelas c) = \frac{76}{76 + (5)} \times 100\% = 93,83\%$$

maka rata-rata recall dari semua kelas dapat dihitung menjadi sebagai berikut :

$$\mu_{recall} = \frac{100 + 96,25 + 93,83}{3} = 96,69\%$$

sehingga selanjutnya dapat dihitung *f-measure* dari hasil klasifikasi pada Tabel 4.21 menggunakan persamaan (3.5) sebagai berikut :

$$F - measure = 2 * \left(\frac{96,74 * 96,69}{96,74 + 96,69} \right) = 96,72\%$$

4.6.2.2 Skenario 17

Dataset batik yang digunakan pada skenario ini menggunakan dataset hasil perhitungan GLCM pada proses sebelumnya yang sudah ternormalisasi

pada dataset kedua. Jumlah keseluruhan dataset 600 instance dievaluasi proses ujicoba dengan metode persensplit 65% sehingga data yg digunakan sebanyak 210 instance dan diperoleh hasil pada Tabel 4.22.

Tabel 4.20 Confusion matrix dari skenario 17

| Confusion Matrix | | Kelas Prediksi | | |
|------------------|-----------|----------------|----|----|
| | | a | b | c |
| Kelas Aktual | a = tulis | 69 | 0 | 0 |
| | b = cap | 1 | 69 | 0 |
| | c = print | 0 | 1 | 70 |

Berdasarkan confusion matrix pada Tabel 4.22 dapat dihitung tingkat akurasi, presisi dan recall/sensitivity sesuai dengan persamaan (3.2), (3.3), (3.4), (3.5) untuk hasil *percent split* 65%, sebagai berikut :

$$\text{Akurasi} = \frac{(69) + (69 + 70)}{210} \times 100\% = 99,04\%$$

$$\text{presisi(kelas } a) = \frac{69}{69 + (1)} \times 100\% = 98,57\%$$

$$\text{presisi(kelas } b) = \frac{69}{69 + (1)} \times 100\% = 98,57\%$$

$$\text{presisi(kelas } c) = \frac{70}{70 + (0)} \times 100\% = 100\%$$

maka rata-rata presisi dari dataset dari semua kelas adalah

$$\mu_{\text{presisi}} = \frac{98,57 + 98,57 + 100}{3} = 99,04\%$$

tingkat recall selanjutnya juga dihitung, untuk menemukan nilai F-measure, sebagai berikut :

$$\text{recall (kelas } a) = \frac{69}{69 + (0)} \times 100\% = 100\%$$

$$\text{recall (kelas } b) = \frac{69}{69 + (1)} \times 100\% = 98,57\%$$

$$\text{recall (kelas } c) = \frac{70}{70 + (1)} \times 100\% = 98,59\%$$

maka rata-rata recall dari semua kelas dapat dihitung menjadi sebagai berikut :

$$\mu recall = \frac{100 + 98,57 + 98,59}{3} = 99,05\%$$

sehingga selanjutnya dapat dihitung *f-measure* dari hasil klasifikasi pada **Error! Reference source not found.** 4.22 menggunakan persamaan (3.5) sebagai berikut :

$$F - measure = 2 * \left(\frac{99,04 * 99,05}{99,04 + 99,05} \right) = 99,05\%$$

4.6.2.3 Skenario 18

Dataset batik yang digunakan pada skenario ini menggunakan dataset hasil perhitungan GLCM pada proses sebelumnya yang sudah ternormalisasi pada dataset kedua. Jumlah keseluruhan dataset 600 instance dievaluasi proses ujicoba dengan metode persensplit 70% sehingga data yg digunakan sebanyak 180 instance dan diperoleh hasil pada Tabel 4.23.

Tabel 4.21 Confusion matrix dari skenario 18

| <i>Confusion Matrix</i> | | <i>Kelas Prediksi</i> | | |
|-------------------------|------------------|-----------------------|----------|----------|
| | | <i>a</i> | <i>b</i> | <i>c</i> |
| <i>Kelas Aktual</i> | a = tulis | 60 | 0 | 0 |
| | b = cap | 0 | 62 | 0 |
| | c = print | 0 | 0 | 58 |

Berdasarkan confusion matrix pada Tabel 4.23 dapat dihitung tingkat akurasi, presisi dan recall/sensitivity sesuai dengan persamaan (3.2), (3.3), (3.4), (3.5) untuk hasil *percen split 70%*, sebagai berikut :

$$Akurasi = \frac{(60) + (62 + 58)}{180} \times 100\% = 100\%$$

$$presisi(kelas a) = \frac{60}{60 + (0)} \times 100\% = 100\%$$

$$presisi(kelas b) = \frac{62}{62 + (0)} \times 100\% = 100\%$$

$$presisi(kelas c) = \frac{58}{58 + (0)} \times 100\% = 100\%$$

maka rata-rata presisi dari dataset dari semua kelas adalah

$$\mu_{presisi} = \frac{100 + 100 + 100}{3} = 100\%$$

tingkat recall selanjutnya juga dihitung, untuk menemukan nilai F-measure, sebagai berikut :

$$recall (kelas a) = \frac{60}{60 + (0)} \times 100\% = 100\%$$

$$recall (kelas b) = \frac{62}{62 + (0)} \times 100\% = 100\%$$

$$recall (kelas c) = \frac{58}{58 + (0)} \times 100\% = 100\%$$

maka rata-rata recall dari semua kelas dapat dihitung menjadi sebagai berikut :

$$\mu_{recall} = \frac{100 + 100 + 100}{3} = 100\%$$

sehingga selanjutnya dapat dihitung *f-measure* dari hasil klasifikasi pada Tabel 4.23. menggunakan persamaan (3.5) sebagai berikut :

$$F - measure = 2 * \left(\frac{100 * 100}{100 + 100} \right) = 100\%$$

4.6.2.4 Skenario 19

Dataset batik yang digunakan pada skenario ini menggunakan dataset hasil perhitungan GLCM pada proses sebelumnya yang sudah ternormalisasi pada dataset kedua. Jumlah keseluruhan dataset 600 instance dievaluasi proses ujicoba dengan metode persensplit 75% sehingga data yg digunakan sebanyak 150 instance dan diperoleh hasil pada Tabel 4.24.

Tabel 4.22 Confusion matrix dari skenario 19

| Confusion Matrix | | Kelas Prediksi | | |
|-------------------------|------------------|-----------------------|----------|----------|
| | | a | b | c |
| Kelas Aktual | a = tulis | 50 | 0 | 0 |
| | b = cap | 0 | 53 | 0 |
| | c = print | 0 | 0 | 47 |

Berdasarkan confusion matrix pada Tabel 4.23 dapat dihitung tingkat akurasi, presisi dan recall/sensitivity sesuai dengan persamaan (3.2), (3.3), (3.4), (3.5) untuk hasil *percent split* 75 %, sebagai berikut :

$$Akurasi = \frac{(50) + (53 + 47)}{150} \times 100\% = 100\%$$

$$presisi(kelas a) = \frac{50}{50 + (0)} \times 100\% = 100\%$$

$$presisi(kelas b) = \frac{53}{53 + (0)} \times 100\% = 100\%$$

$$presisi(kelas c) = \frac{47}{47 + (0)} \times 100\% = 100\%$$

maka rata-rata presisi dari dataset dari semua kelas adalah

$$\mu_{presisi} = \frac{100 + 100 + 100}{3} = 100\%$$

tingkat recall selanjutnya juga dihitung, untuk menemukan nilai F-measure, sebagai berikut :

$$recall(kelas a) = \frac{50}{50 + (0)} \times 100\% = 100\%$$

$$recall(kelas b) = \frac{53}{53 + (0)} \times 100\% = 100\%$$

$$recall(kelas c) = \frac{47}{47 + (0)} \times 100\% = 100\%$$

maka rata-rata recall dari semua kelas dapat dihitung menjadi sebagai berikut :

$$\mu_{recall} = \frac{100 + 100 + 100}{3} = 100\%$$

sehingga selanjutnya dapat dihitung *f-measure* dari hasil klasifikasi pada Tabel 4.25. menggunakan persamaan (3.5) sebagai berikut :

$$F - measure = 2 * \left(\frac{100 * 100}{100 + 100} \right) = 100\%$$

4.6.2.5 Skenario 20

Dataset batik yang digunakan pada skenario ini menggunakan dataset hasil perhitungan GLCM pada proses sebelumnya yang sudah ternormalisasi

pada dataset kedua. Jumlah keseluruhan dataset 600 instance dievaluasi proses ujicoba dengan metode persensplit 80% sehingga data yg digunakan sebanyak 120 instance dan diperoleh hasil pada Tabel 4.25.

Tabel 4.23 Confusion matrix dari skenario 20

| Confusion Matrix | | Kelas Prediksi | | |
|------------------|-----------|----------------|----|----|
| | | a | B | c |
| Kelas Aktual | a = tulis | 41 | 0 | 0 |
| | b = cap | 1 | 41 | 0 |
| | c = print | 0 | 0 | 37 |

Berdasarkan confusion matrix pada Tabel 4.25 dapat dihitung tingkat akurasi, presisi dan recall/sensitivity sesuai dengan persamaan (3.2), (3.3), (3.4), (3.5) untuk hasil *percent split 80 %*, sebagai berikut :

$$\text{Akurasi} = \frac{(41) + (41 + 37)}{120} \times 100\% = 99,17\%$$

$$\text{presisi(kelas } a) = \frac{41}{41 + (1)} \times 100\% = 97,62\%$$

$$\text{presisi(kelas } b) = \frac{41}{41 + (0)} \times 100\% = 100\%$$

$$\text{presisi(kelas } c) = \frac{37}{37 + (0)} \times 100\% = 100\%$$

maka rata-rata presisi dari dataset dari semua kelas adalah

$$\mu_{\text{presisi}} = \frac{67,62 + 100 + 100}{3} = 99,21\%$$

tingkat recall selanjutnya juga dihitung, untuk menemukan nilai F-measure, sebagai berikut :

$$\text{recall (kelas } a) = \frac{41}{41 + (0)} \times 100\% = 100\%$$

$$\text{recall (kelas } b) = \frac{41}{41 + (1)} \times 100\% = 97,62\%$$

$$\text{recall (kelas } c) = \frac{37}{37 + (0)} \times 100\% = 100\%$$

maka rata-rata recall dari semua kelas dapat dihitung menjadi sebagai berikut :

$$\mu_{recall} = \frac{100 + 97,62 + 100}{3} = 99,2\%$$

sehingga selanjutnya dapat dihitung *f-measure* dari hasil klasifikasi pada Tabel 4.25. menggunakan persamaan (3.5) sebagai berikut :

$$F - measure = 2 * \left(\frac{99,2 * 99,2}{99,2 + 99,2} \right) = 100\%$$

4.7 Evaluasi Hasil

Berdasarkan hasil pengujian data pelatihan dan data ujicoba pada bab 4.3 diperoleh hasil pada setiap skenario. Perhitungan *akurasi*, *recall*, *presisi*, dan *f-measure* pada kedua dataset didapatkan tabel dan grafik perbandingan untuk mengetahui kebutuhan dataset yang terbaik sebagai model klasifikasi. Tabel 4.25 menyajikan perbandingan hasil akurasi terhadap skenario yang telah dilakukan terhadap data pelatihan dan data ujicoba.

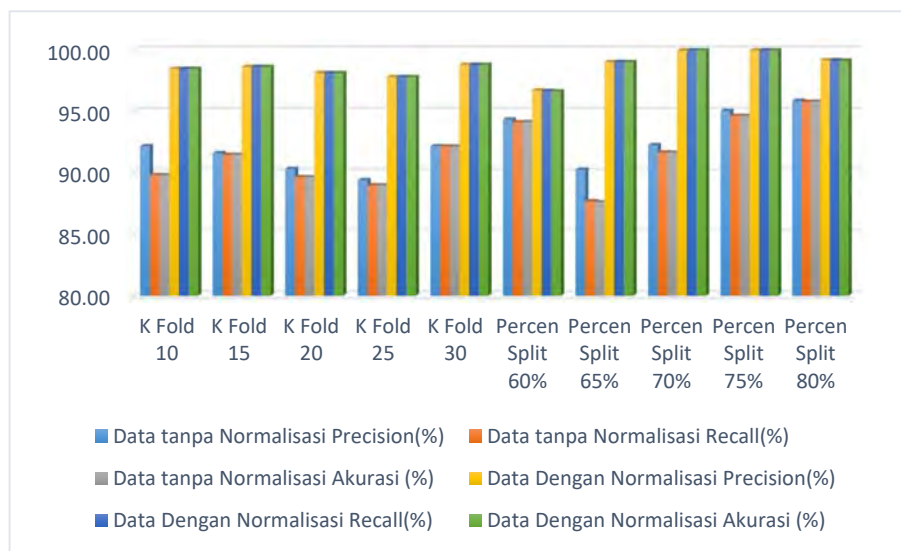
Tabel 4.24 Perbandingan Hasil Akurasi

| No | Skenario | Data tanpa Normalisasi | | | Data Dengan Normalisasi | | |
|----|------------------|------------------------|------------|-------------|-------------------------|------------|-------------|
| | | Precision (%) | Recall (%) | Akurasi (%) | Precision (%) | Recall (%) | Akurasi (%) |
| 1 | K Fold 10 | 92.20 | 89.83 | 89.83 | 98.50 | 98.50 | 98.50 |
| 2 | K Fold 15 | 91.63 | 91.50 | 91.50 | 98.67 | 98.67 | 98.67 |
| 3 | K Fold 20 | 90.34 | 89.67 | 89.67 | 98.19 | 98.17 | 98.17 |
| 4 | K Fold 25 | 89.43 | 89.00 | 89.00 | 97.84 | 97.83 | 97.83 |
| 5 | K Fold 30 | 92.20 | 92.17 | 92.17 | 98.84 | 98.83 | 98.83 |
| 6 | Percen Split 60% | 94.37 | 94.15 | 94.17 | 96.75 | 96.69 | 96.67 |
| 7 | Percen Split 65% | 90.28 | 87.70 | 87.62 | 99.05 | 99.05 | 99.05 |
| 8 | Percen Split 70% | 92.28 | 91.68 | 91.67 | 100.00 | 100.00 | 100.00 |
| 9 | Percen Split 75% | 95.07 | 94.66 | 94.67 | 100.00 | 100.00 | 100.00 |
| 10 | Percen Split 80% | 95.90 | 95.82 | 95.83 | 99.21 | 99.21 | 99.17 |

Tabel 4.25 menampilkan nilai yang diperoleh dari setiap skenario yaitu nilai precision, recall dan akurasi untuk data yang sudah ternormalisasi dan data yang belum dilakukan normalisasi. Untuk data pelatihan menggunakan metode

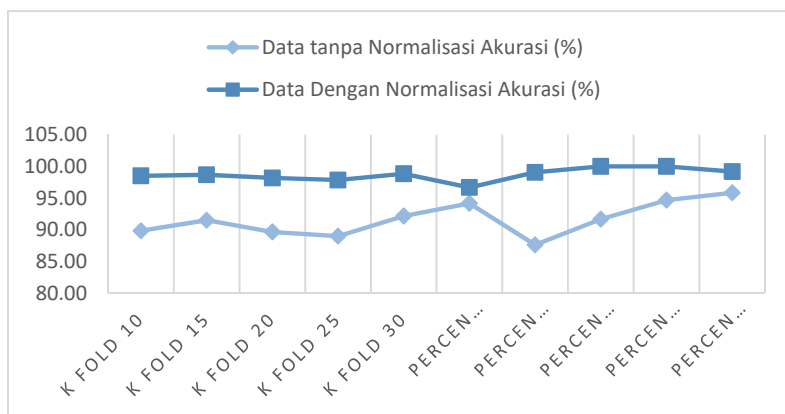
klasifikasi K fold validation dengan mengubah nilai parameter fold nya yaitu Fold 10, Fold 15, Fold 20, Fold 25 dan Fold 30 hasil akurasi terbaik pada skenario Fold 30 dengan nilai 94,17% pada data tanpa normalisasi dan nilai akurasi 96,67% pada data ternormalisasi. Untuk data ujicoba menggunakan metode persensplit pada metode validasi klasifikasi yaitu dengan mengubah parameter jumlah data uji dengan nilai percen split 60%, 65%, 70%, 75% dan 80%. Hasil akurasi terbaik untuk data ujicoba pada skenario percensplit 80% dengan nilai 95,83% pada data tanpa normalisasi dan nilai akurasi 100% pada data ternormalisasi dengan scenario persen split 75% dan 80%. Sedangkan untuk nilai precision dan recall untuk data pelatihan nilai tertinggi pada skenario K-fold validation 30 yaitu bernilai 92,20% dan 92,17 sedangkan untuk data uji bernilai 98,4% dan 98,5% sama dengan skenario pada tingkat akurasi.

Secara grafis dari Tabel 4.25 dapat dilihat pada Gambar 4.7 yang menampilkan grafik dari nilai precision, recall dan akurasi dari semua skenario pada data latih dan data uji dari masing masing data tanpa normalisasi dan data dengan normalisasi. Pada gambar 4.7 dapat dilihat dengan jelas perbedaan antara nilai pada tabulasi grafik kenaikan dan penurunan masing masing skenario.



Gambar 4.7 Grafik nilai precision, recall dan akurasi

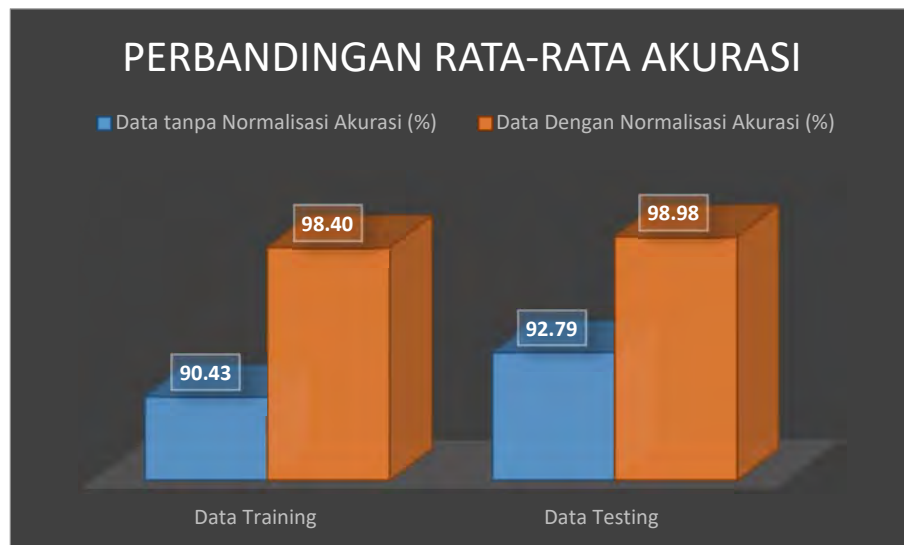
Akurasi pada proses perhitungan klasifikasi digunakan untuk mengukur ketepatan dan kemiripan hasil pada waktu yang sama dengan membandingkannya terhadap nilai model. Pada penelitian ini dapat dilihat perbedaan nilai nilai akurasi pada data sebelum dinormalisasi dan setelah dilakukan normalisasi data pada dengan rata-rata kenaikan akurasi sebesar 8%.



Gambar 4.8 Grafik persentase kenaikan nilai akurasi data pelatihan dan data ujicoba

Dari hasil simpulan data Tabel 4.25 dan grafik pada Gambar 4.8 dapat disimpulkan bahwa pada data training atau pelatihan dari 600 instance data, rata-rata akurasi dari data tanpa normalisasi sebesar 90,43% dan data dengan

normalisasi sebesar 98,40%. Sedangkan pada data uji atau data testing besarnya nilai rata-rata akurasi pada dataset tanpa normalisasi sebesar 92,79% setelah dilakukan normalisasi data nilai rata-rata akurasi bertambah menjadi 98,98%. Secara grafis dapat dilihat perbandingan nilai rata-rata akurasi pada Gambar 4.9



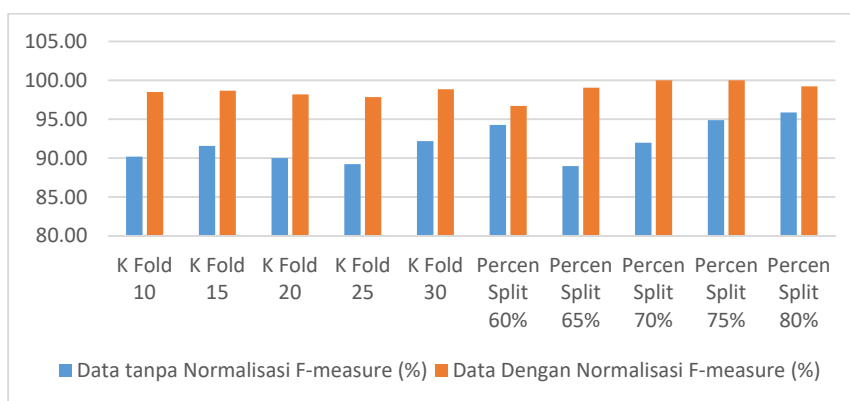
Gambar 4.9 Perbandingan Rata-rata akurasi Dataset

Selanjutnya untuk mengukur kinerja klasifikasi menggunakan Metode *Learning Vector Quantization* dapat menggunakan F-Measure atau dapat juga disebut F1-Score. F-Measure didapatkan dari nilai rata-rata harmonis dari precision dan recall, oleh karena itu pengukuran kinerja sistem menggunakan F-measure dapat memberikan penilaian kinerja yang lebih seimbang. Berikut ini Tabel 4.26 yang merupakan simpulan hasil perhitungan yang telah dilakukan pada pengujian di tahap 4.5. Dari Tabel 4.26 dapat dilihat nilai F-measure pada data pelatihan mempunyai nilai tertinggi pada scenario Kfold validation 30 hal ini berlaku pada data tanpa normalisasi dan data dengan normalisasi.

Tabel 4.25 Perhitungan Precision, Recall dan F-Measure

| No | Skenario | Data tanpa Normalisasi | | | Data Dengan Normalisasi | | |
|----|------------------|------------------------|------------|---------------|-------------------------|------------|---------------|
| | | Percision (%) | Recall (%) | F-measure (%) | Percision (%) | Recall (%) | F-measure (%) |
| 1 | K Fold 10 | 92.20 | 89.83 | 90.19 | 98.50 | 98.50 | 98.50 |
| 2 | K Fold 15 | 91.63 | 91.50 | 91.57 | 98.67 | 98.67 | 98.67 |
| 3 | K Fold 20 | 90.34 | 89.67 | 90.00 | 98.19 | 98.17 | 98.18 |
| 4 | K Fold 25 | 89.43 | 89.00 | 89.21 | 97.84 | 97.83 | 97.83 |
| 5 | K Fold 30 | 92.20 | 92.17 | 92.18 | 98.84 | 98.83 | 98.83 |
| 6 | Percen Split 60% | 94.37 | 94.15 | 94.26 | 96.75 | 96.69 | 96.72 |
| 7 | Percen Split 65% | 90.28 | 87.70 | 88.97 | 99.05 | 99.05 | 99.05 |
| 8 | Percen Split 70% | 92.28 | 91.68 | 91.98 | 100.00 | 100.00 | 100.00 |
| 9 | Percen Split 75% | 95.07 | 94.66 | 94.86 | 100.00 | 100.00 | 100.00 |
| 10 | Percen Split 80% | 95.90 | 95.82 | 95.86 | 99.21 | 99.21 | 99.21 |

Dari grafik pada Gambar 4.12 terlihat bahwa antara evaluasi secara *cross-validation* pada data pelatihan dan percensplit pada data uji memberikan hasil yang lebih baik pada data ternormalisasi, untuk itu penggunaan dataset tersebut akan digunakan sebagai model untuk klasifikasi pada penelitian mendatang.



Gambar 4.10 Perbandingan Nilai F-Measure

Halaman ini sengaja dikosongkan

BAB 5

KESIMPULAN

Penelitian ini berhubungan dengan klasifikasi jenis batik tulis dan non tulis berdasarkan ekstraksi ciri tekstur citra kain batik dengan ketentuan pengambilan data citra dilakukan mandiri. Citra dari kain diekstak menggunakan metode GLCM untuk memperoleh nilai statistik dari setiap tekstur citra dataset. Data mentah diperoleh dari kain batik yang berjenis batik tulis, batik cap dan kain motif batik atau printing. Dari data mentah diproses menjadi dataset batik dengan image prosesing menjadi gambar keabuan untuk selanjutnya dilakukan proses perhitungan statistik GLCM pada setiap tekstur citra dataset batik .

Penelitian ini menunjukkan hasil bahwa fitur GLCM yang dapat digunakan untuk mengukur nilai statistik batik tulis adalah fitur ASM (Angular Second Moment), IDM (Inverse Different Moment), Entropy dan Korelasi. Fitur yang sangat berpengaruh dari kelima fitur GLCM adalah fitur entropy.

Tahapan identifikasi dari 600 sampel citra batik tulis dan non tulis dengan menerapkan metode klasifikasi LVQ dilakukan dengan 2 tahap, pertama tahap pelatihan data sebanyak 70% dari jumlah sampel data, kedua tahap pengujian yang dilakukan pada 30%. dari jumlah sampel. Penentuan parameter LVQ melalui proses ujicoba perubahan nilai learning rate dan waktu yang lebih pendek untuk pembentukan model diperoleh nilai learning rate 0,3 untuk penentuan hasil akurasi yang paling optimal dengan iterasi sebanyak 1000 kali.

Tingkat prediksi LVQ mencapai rata-rata akurasi dari data tanpa normalisasi sebesar 90,43% dan data dengan normalisasi sebesar 98,40%. Sedangkan pada data uji atau data testing besarnya nilai rata-rata akurasi pada dataset tanpa normalisasi sebesar 92,79% setelah dilakukan normalisasi data nilai rata-rata akurasi bertambah menjadi 98,98% sehingga kenaikan nilai rata-rata akurasi sebesar 8%.

Penelitian tentang identifikasi jenis batik asli dan bukan batik ini dapat dikembangkan dari sisi metode pengambilan data, metode pengambilan fitur GLCM lain yang lebih spesifik dan juga peilihan metode klasifikasi dengan parameter yang beda sehingga waktu komputasi menjadi lebih efisien. Semakin cepat nilai komputasi yang dihasilkan maka pemanfaatan kemampuan model semakin baik.

DAFTAR PUSTAKA

- (SNI), S. N. (2015). *SNI 8184 , 2015, Tiruan batik dan paduan tiruan batik dengan batik, pengertian dan istilah.* Jakarta: Badan Standardisasi Nasional.
- Aggarwal, N., & Agrawal, R. (2012). First and Second Order Statistics Features for Classification of magnetic Resonance Brain Images. *Jounal of Signal and information Processing.*, 3, 146-153.
- Departemen perindustrian. (1968). *Penerapan Standar Industri Indonesia.* jakarta.
- Gonzalez, R., & Woods, R. (1992). *Digital Image Processing.* New York: Addison-Wesley Publishing Company,Inc.
- Gonzalez, R., & Woods, R. (2004). *Digital Image Processing.* New York: Addison-Wesley Publishing Company,Inc.
- Han, J. (2012). *Data mining : Concepts and Techniques.* USA: Morgan Kaufmann Publishers.
- Han, J. (2012). *Data mining : Concepts and Techniques.* USA: Morgan Kaufmann Publishers.
- Haralick, R., Shanmugan, K., & Dinstein, I. (1973). Textural Features for Image Classification. *IEEE Transactions on Systems: Man, and Cybernetics SMC*, 3, 610-61.
- Huang, Z., Li, P., & Huo, L. (2009). Segmentation of textures using PCA fusion based Gray-Level Co-Occurrence Matrix features. *In Test and Measurement ICTM'09. International Conference.* (Vol. 1, pp. 103-105). IEEE.
- Kohonen, T. S. (2001). Self-Organizing Maps. *Springer Series in Information Sciences*, 3, 30.
- Luthfi, K. d. (2009). *Algoritma Data Mining.* Yogyakarta: Penerbit Andi (CV Andi Offset.
- Minarno, A., Munarko, Y., Kurniawardhani, A., Bimantoro, F., & Suciati, N. (2014). Texture Feature Extraction Using Co-Occurance Matrices of Sub-Band Image For Batik image Classification. *Proc. 2nd Int. Conf. on Information and Communication Technology (ICoICT.* Bandung.
- Moertini, V., & Sitohang, B. (2005). Algorithms of clustering and classifying batik images based on color, contrast and motif. *Journal of Engineering and Technological Sciences*, 37(2), 141-160.

- Nurhaida, I., Manurung, R., & Arymurthy, A. (2012). Performance Comparison analysis Feature Extraction Methods for Batik Recognition. *Proc. Int. on Advanced Computer Science and Information System (ICACSIS)*. Depok.
- Patil, S., & Patil, H. (2013). Study and Review of Various Image Texture Classification Methods. *International Journal of Computer Applications*; 75, 76-86.
- Pawening, R., Dijaya, R., Brian, T., & Suciati, N. (2015). Classification of Textile Image using Support Vector Machine with Textural Feature. *International Conference on Information and Communication Technology and Systems (ICTS)*. Surabaya.
- Putra, D. (2010). *Pengolahan citra digital*. Yogyakarta: Penerbit Andi.
- Remco R., E. F. (2016). *WEKA Manual 3-8-1*. Hamilton, New Zealand. : University of Waikato.
- Santosa, B. (2007). *Data Mining, Teknik Pemanfaatan Data untuk Keperluan Bisnis, Teknik & Aplikasinya*. Yogyakarta: Graha Ilmu.
- Shapiro, L., & Stockman, G. (2001). *Computer Vision*. Prentice Hall.
- suciati, N., Patomo, W., & Purwitasari, D. (2014). batik Motif Classification using Color-texture-Based Feature Extraction and backpropagation Neural Network,. *Proc. of IIAI 3rd Int.Conf.on Advanced Applied Informatics (IIAIAAI)*. Kitakyushu.
- Thomas G. Tape, M. (Desember, 2016). Retrieved from <http://gim.unmc.edu/>: <http://gim.unmc.edu/dxtests/ROC3.htm>
- UNESCO. (2009). Indonesian Batik. *Inscribed in 2009 on the Representative List of Intangible Cultural Heritage of Humanity*, , pp. <http://www.unesco.org/culture/ich/en/RL/indonesian-batik-00170> .

BIOGRAFI PENULIS



Nafik'ah Yunari, Magister Teknik Elektro, Bidang Keahlian Telematika/Chief Information Officer (CIO) Angkatan Tahun 2015, Institut Teknologi Sepuluh Nopember, Surabaya. Lahir di Tulungagung Jawa Timur. Anak ketiga dari 4 bersaudara. Menempuh Pendidikan S1 pada jurusan Sistem Informasi Fakultas Teknologi Informasi Institut Teknologi Sepuluh Nopember Surabaya. Pada saat ini bekerja sebagai ASN Fungsional Pranata Komputer pada Dinas Penanaman Modal dan Pelayanan Terpadu Satu Pintu Kabupaten Tulungagung. Aktivitas lain diluar dinas, Penulis menekuni dunia batik dengan mempunyai usaha kerajinan batik di desa dan saat ini menjadi creative director pada www.yunarbatik.com serta menulis beberapa buku tentang Batik Tulungagung.

Jika ingin berkorespondensi pada alamat email : yunari@gmail.com.

Halaman ini sengaja dikosongkan

LAMPIRAN

Halaman ini sengaja dikosongkan

LAMPIRAN 1 CITRA FOTO BENTANGAN MOTIF



Gambar Lampiran 1.1 Bentangan Citra Kelas Batik Asli



Gambar Lampiran 1.2 Bentangan Citra Kelas Batik Asli



Gambar Lampiran 1.3 Bentangan Citra Kelas Batik Asli



Gambar Lampiran 1.4 Bentangan Citra Kelas Batik Asli



Gambar Lampiran 1.5 Bentangan Citra Kelas Batik Asli



Gambar Lampiran 1.6 Bentangan Citra Kelas Batik Asli



Gambar Lampiran 1.7 Bentangan Citra Kelas Batik Asli



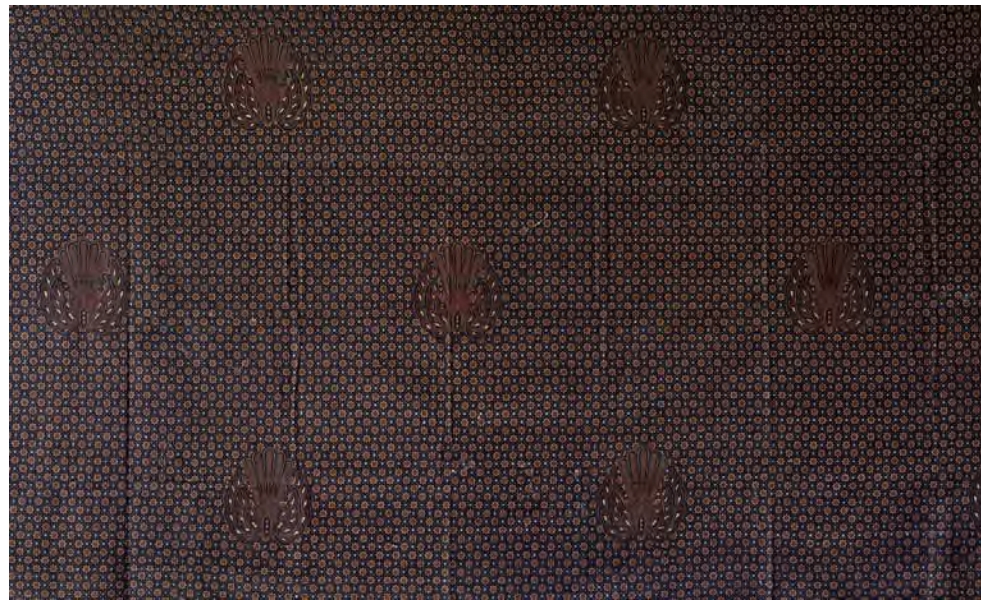
Gambar Lampiran 1.8 Bentangan Citra Kelas Batik Asli



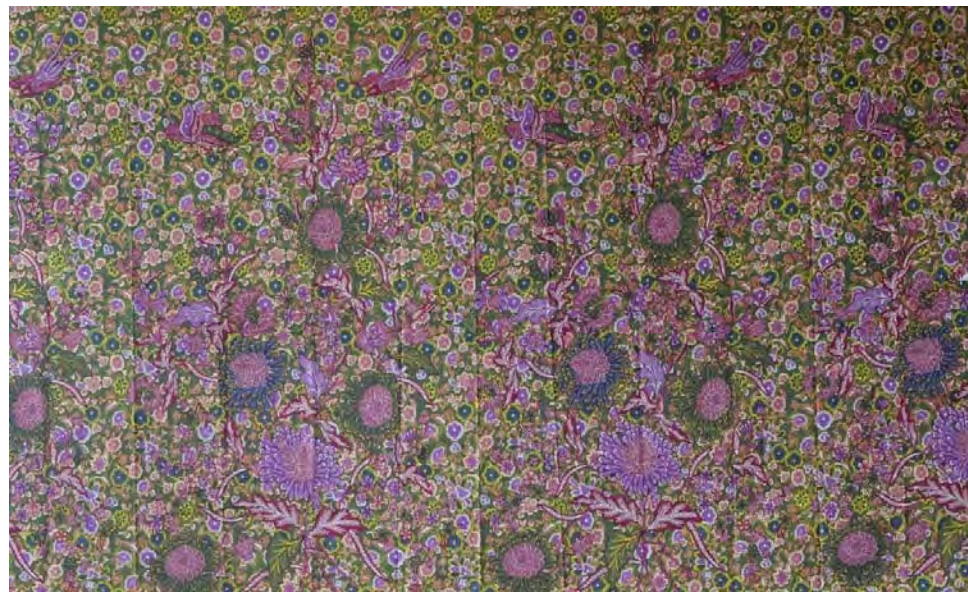
Gambar Lampiran 1.9 Bentangan Citra Kelas Batik Asli



Gambar Lampiran 1.10 Bentangan Citra Kelas Batik Asli



Gambar Lampiran 1.11 Bentangan Citra Kelas Bukan Batik



Gambar Lampiran 1.12 Bentangan Citra Kelas Bukan Batik



Gambar Lampiran 1.13 Bentangan Citra Kelas Bukan Batik



Gambar Lampiran 1.14 Bentangan Citra Kelas Bukan Batik



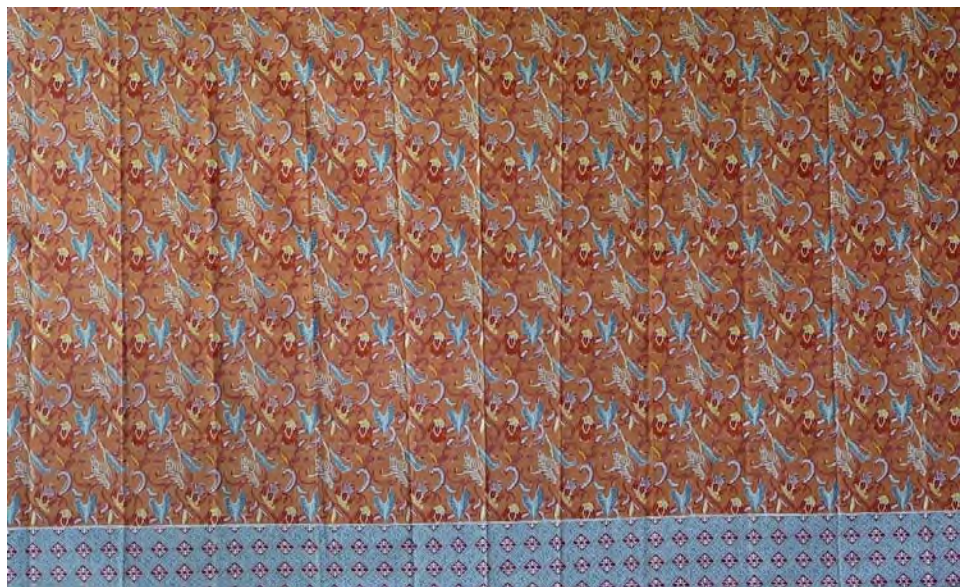
Gambar Lampiran 1.15 Bentangan Citra Kelas Bukan Batik



Gambar Lampiran 1.16 Bentangan Citra Kelas Bukan Batik



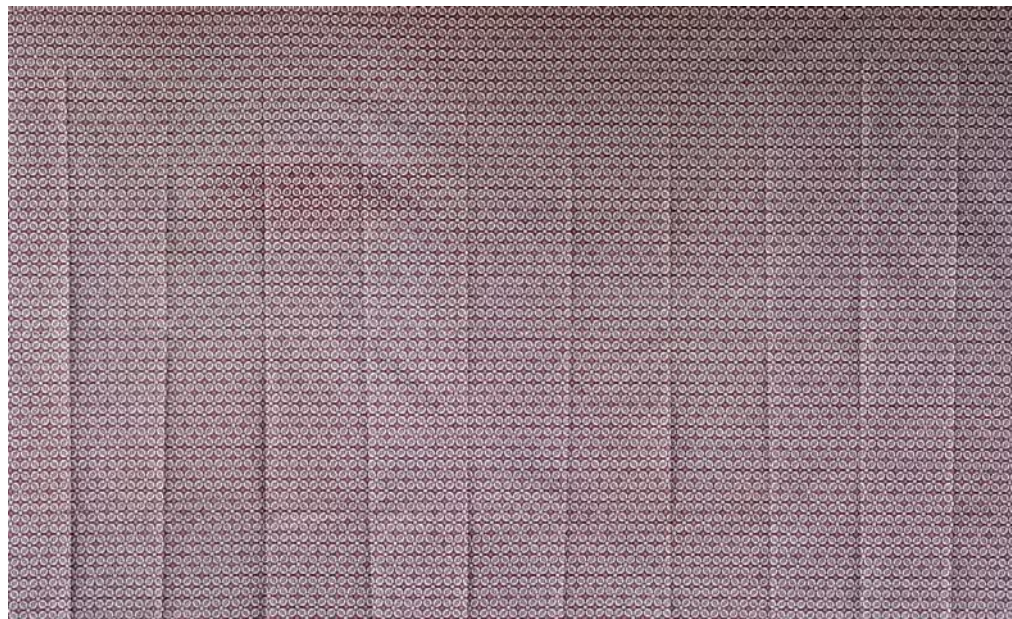
Gambar Lampiran 1.17 Bentangan Citra Kelas Bukan Batik



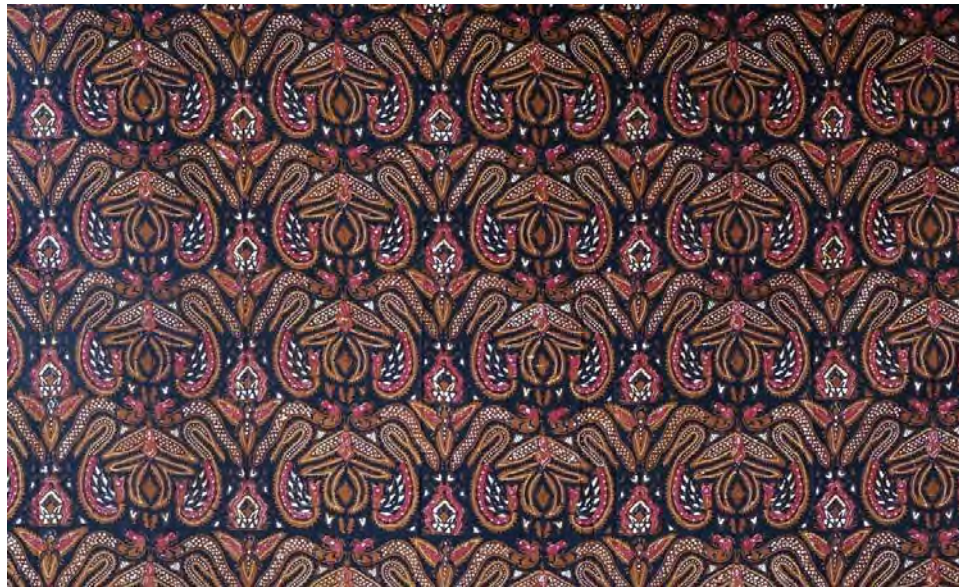
Gambar Lampiran 1.18 Bentangan Citra Kelas Bukan Batik



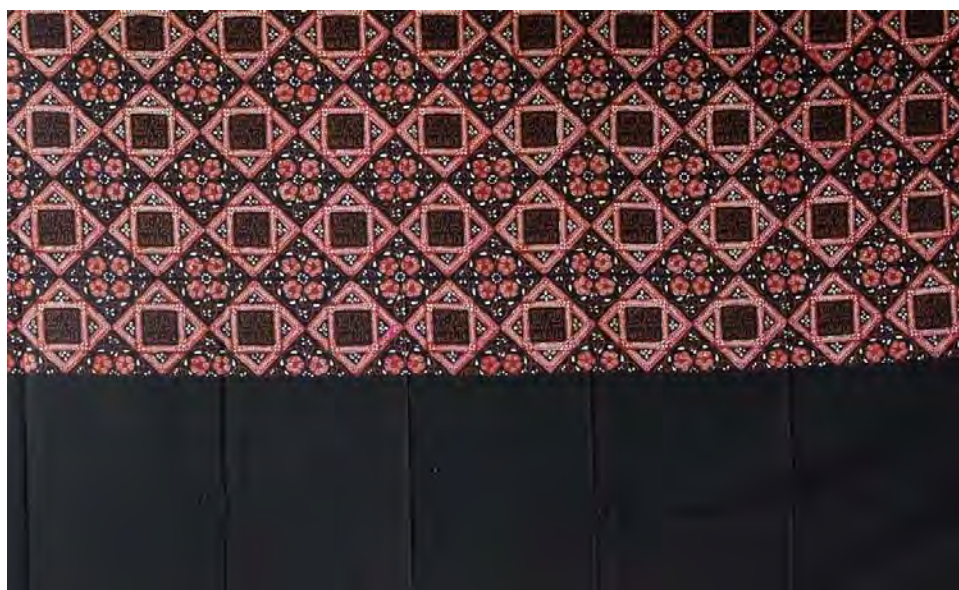
Gambar Lampiran 1.19 Bentangan Citra Kelas Bukan Batik



Gambar Lampiran 1.20 Bentangan Citra Kelas Bukan Batik



Gambar Lampiran 1.21 Bentangan Citra Kelas Batik



Gambar Lampiran 1.22 Bentangan Citra Kelas Batik



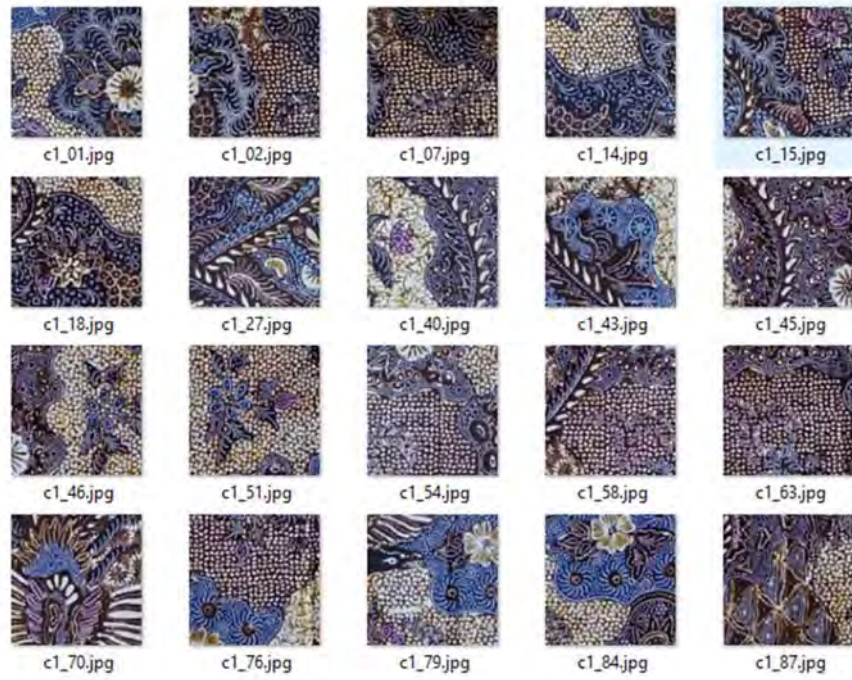
Gambar Lampiran 1.23 Bentangan Citra Kelas Batik



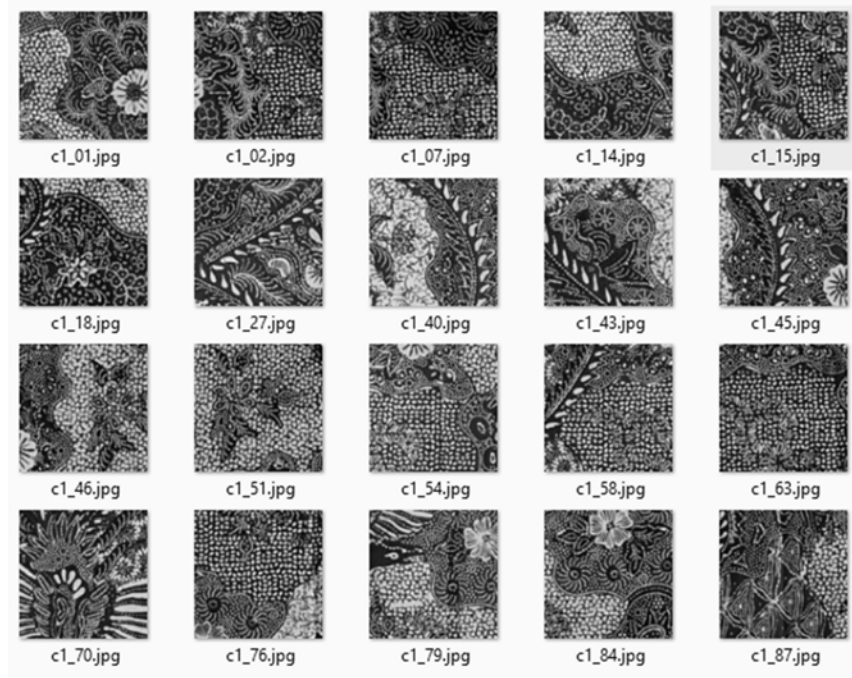
Gambar Lampiran 1.24 Bentangan Citra Kelas Batik

LAMPIRAN 2
DATASET CITRA BATIK DAN CITRA KEABUAN
PADA KELAS BATIK

Dataset 1

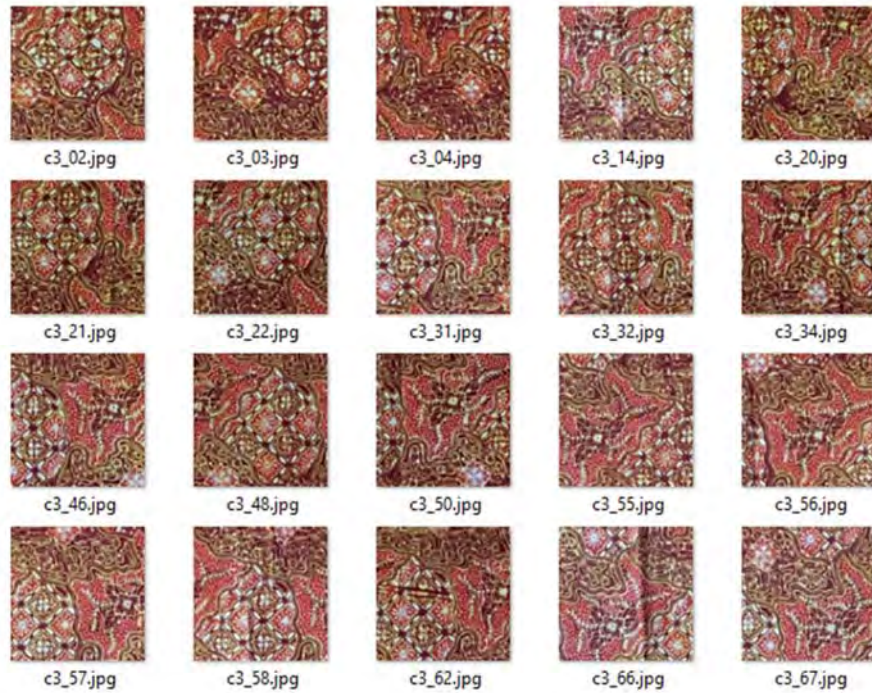


Gambar Lampiran 2. 1 Citra Batik Pada Dataset 1

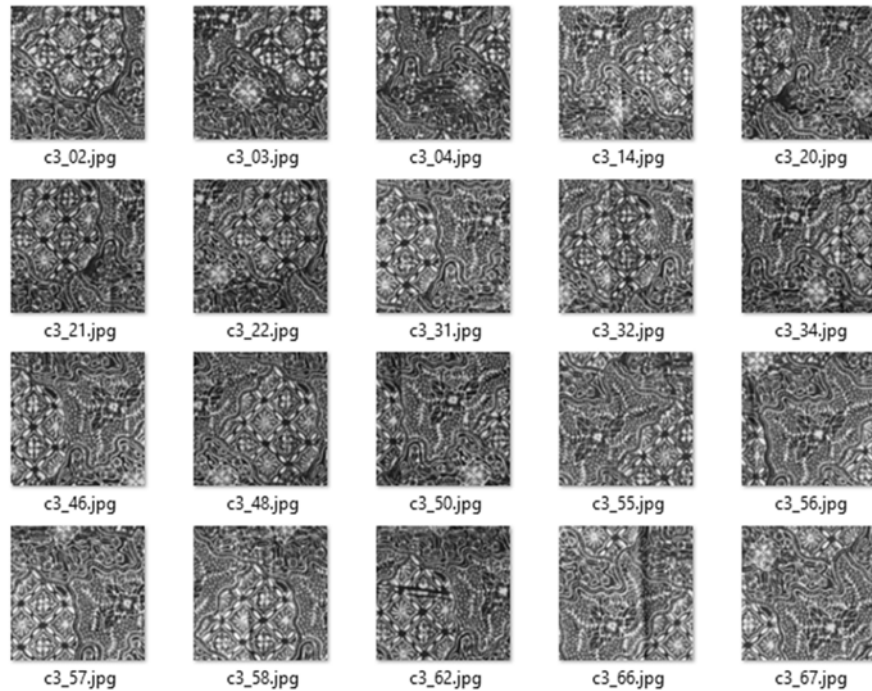


Gambar Lampiran 2. 2 Citra Keabuan Pada Dataset 1

Dataset 2

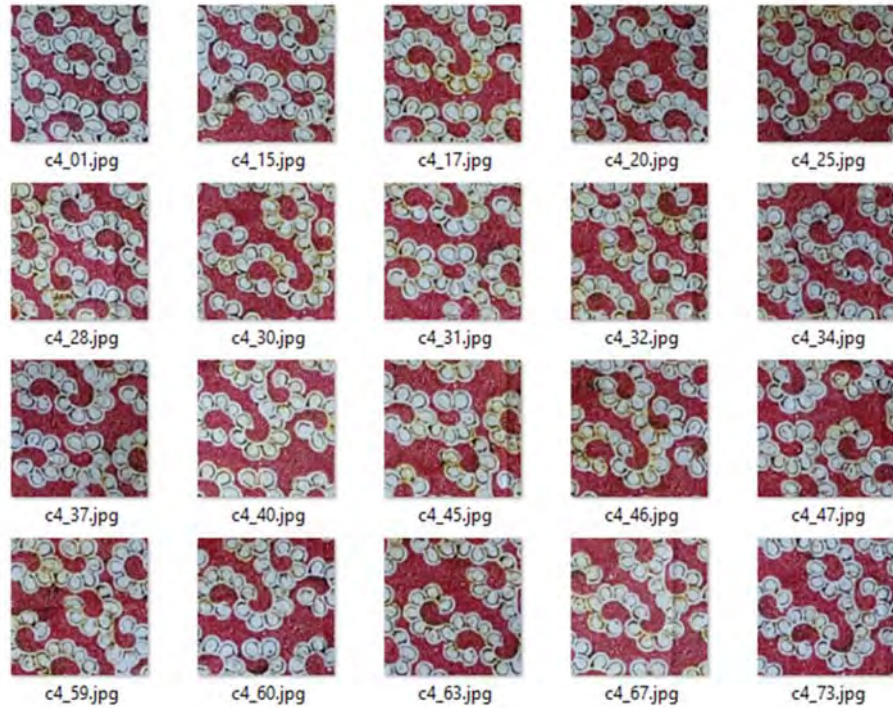


Gambar Lampiran 2. 3 Citra Batik Pada Dataset 2

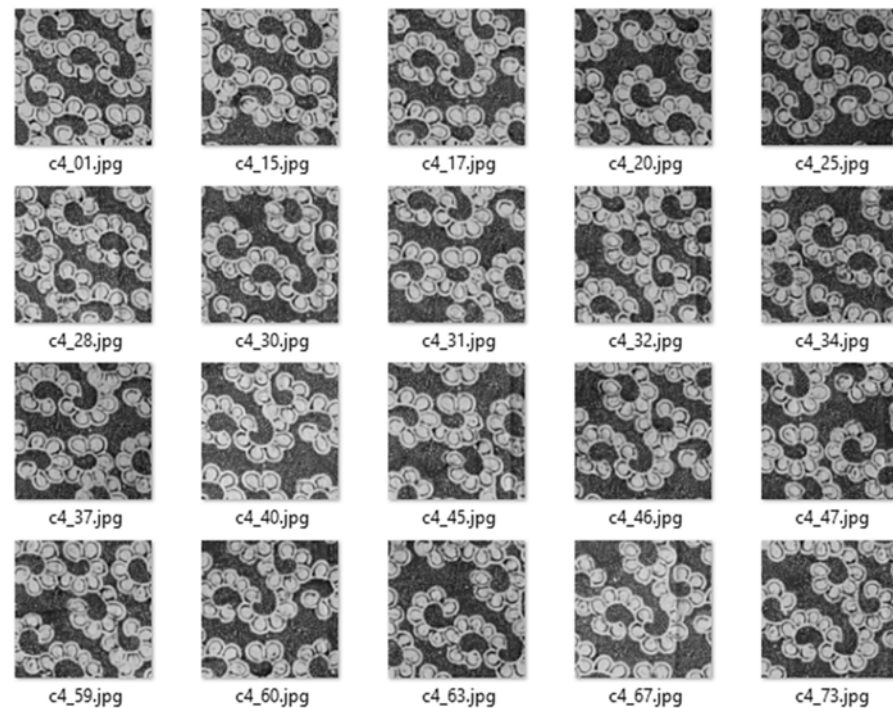


Gambar Lampiran 2.4 Citra Batik Keabuan Pada Dataset 2

Dataset 3

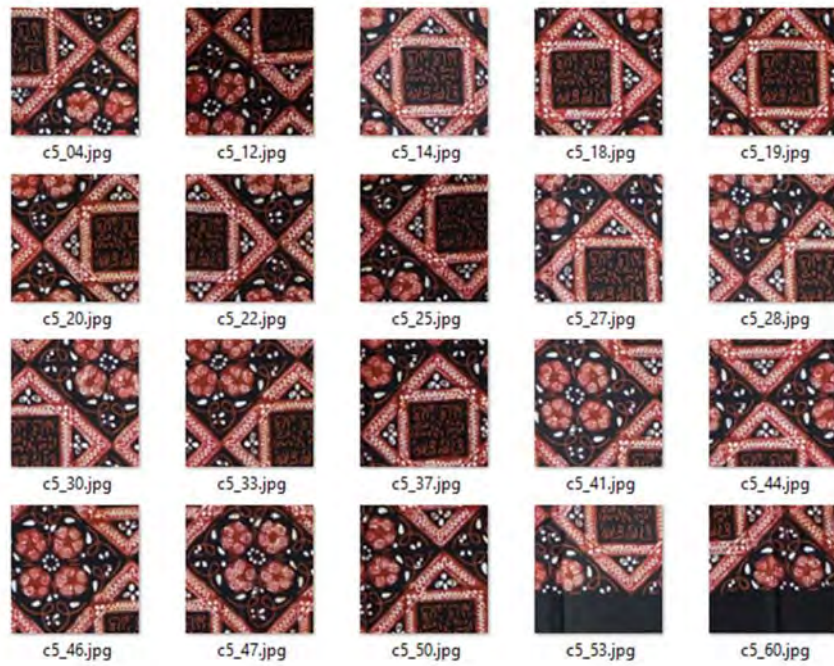


Gambar Lampiran 2.5 Citra Batik Pada Dataset 3

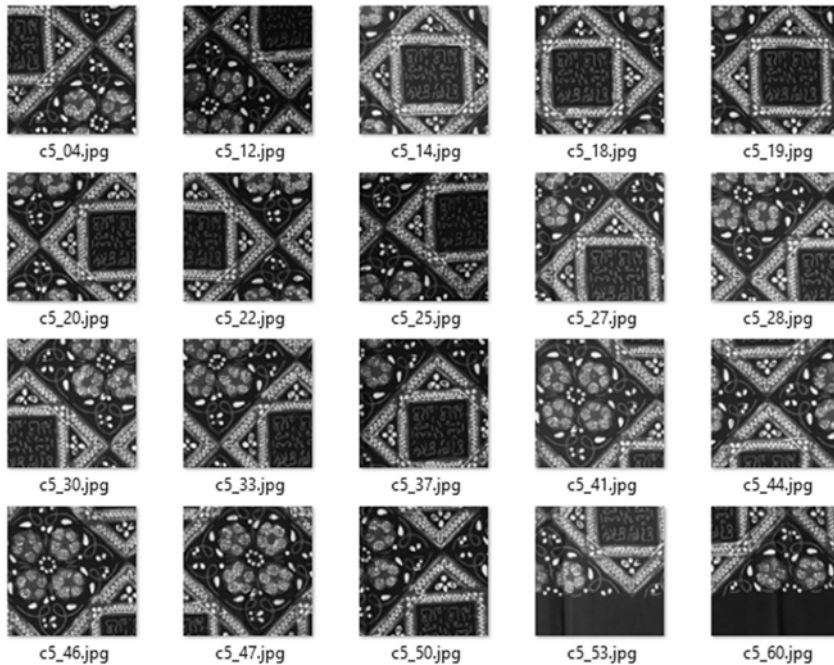


Gambar Lampiran 2.6 Citra Batik Keabuan Pada Dataset 3

Dataset 4

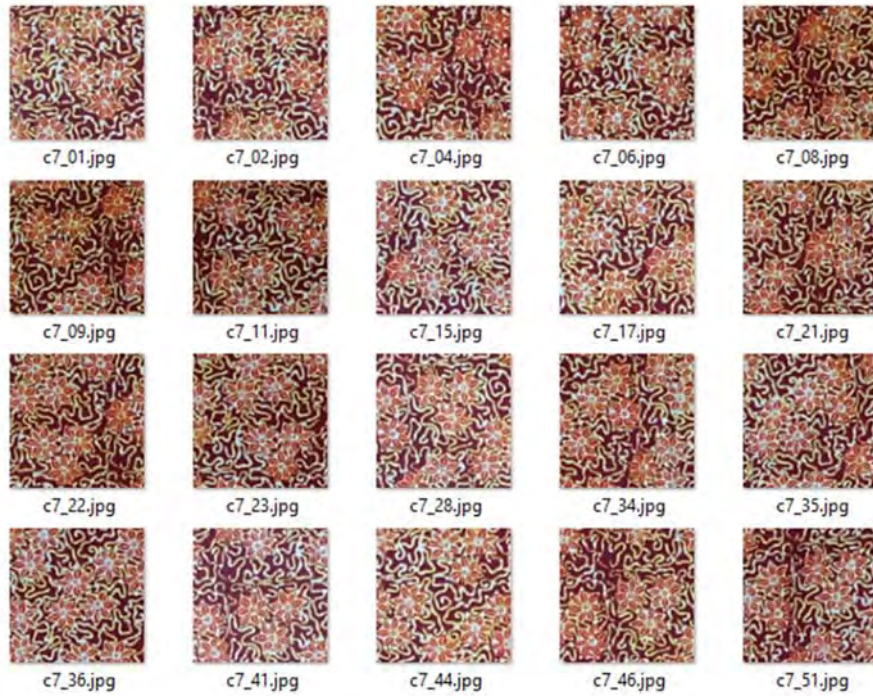


Gambar Lampiran 2.5 Citra Batik Pada Dataset 4

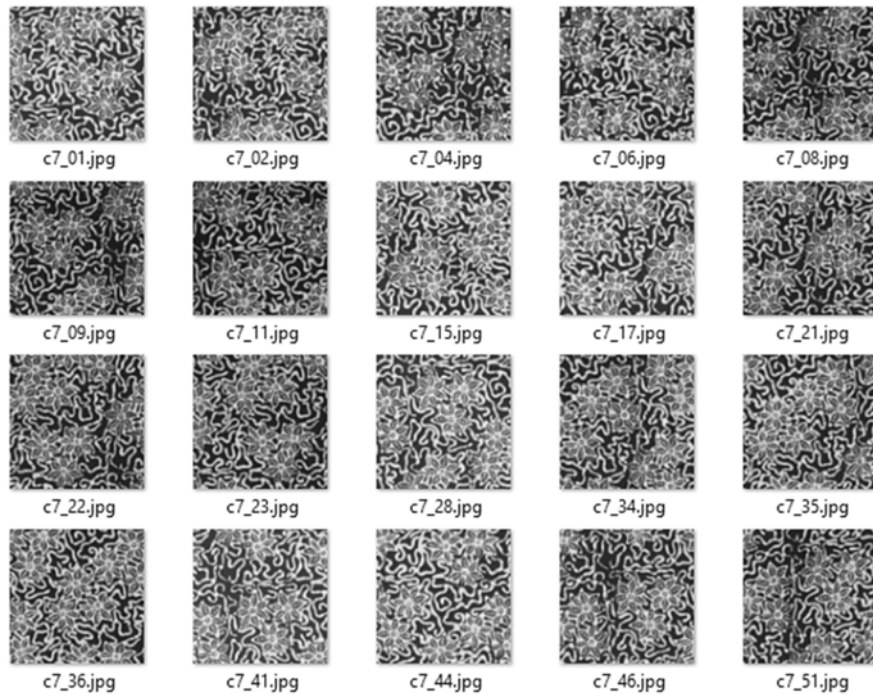


Gambar Lampiran 2.5 Citra Batik Keabuan Pada Dataset 4

Dataset 5

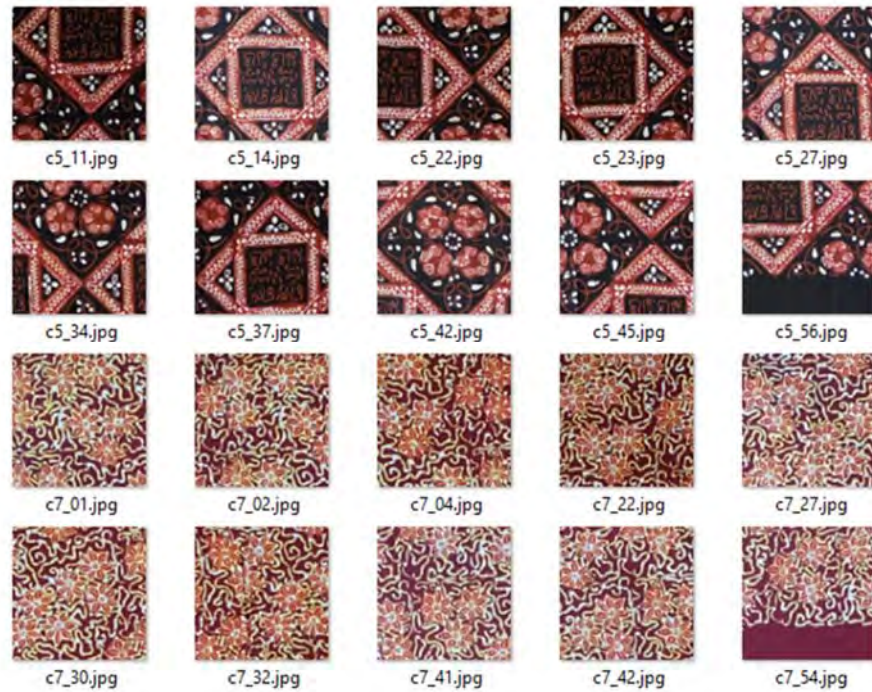


Gambar Lampiran 2.5 Citra Batik Pada Dataset 5

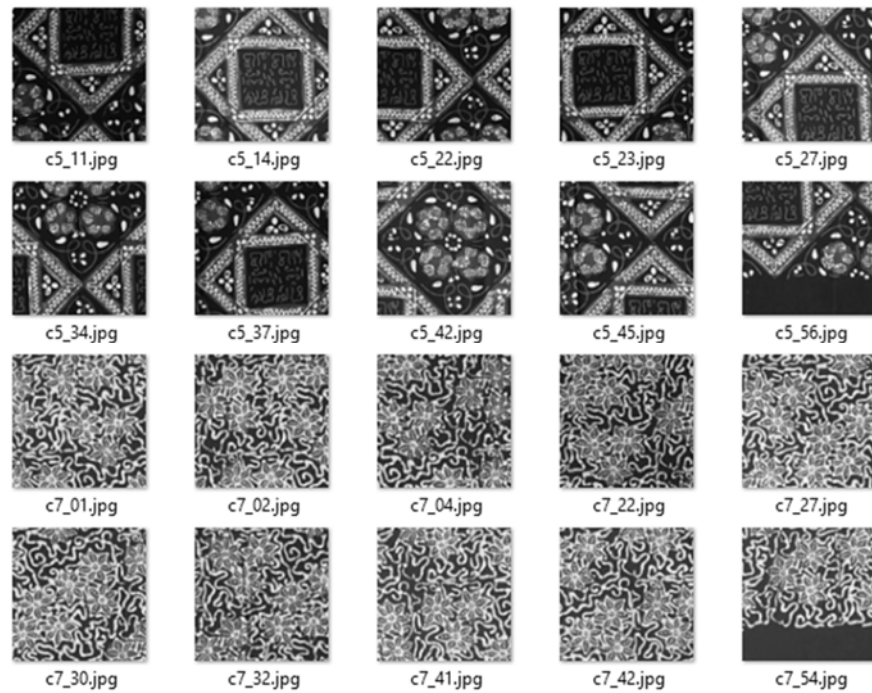


Gambar Lampiran 2.5 Citra Batik Keabuan Pada Dataset 5

Dataset 6

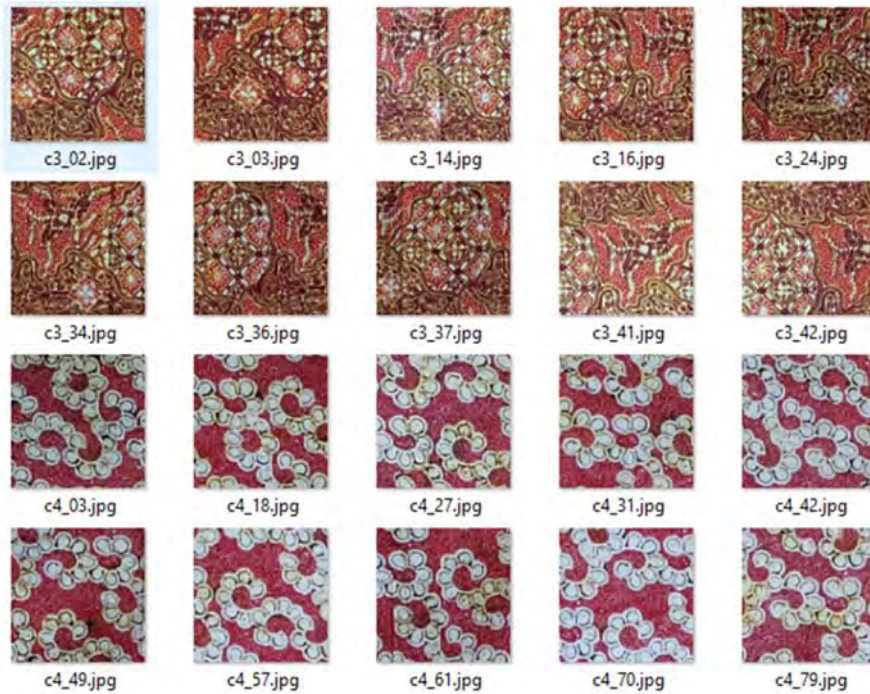


Gambar Lampiran 2.5 Citra Batik Pada Dataset 6

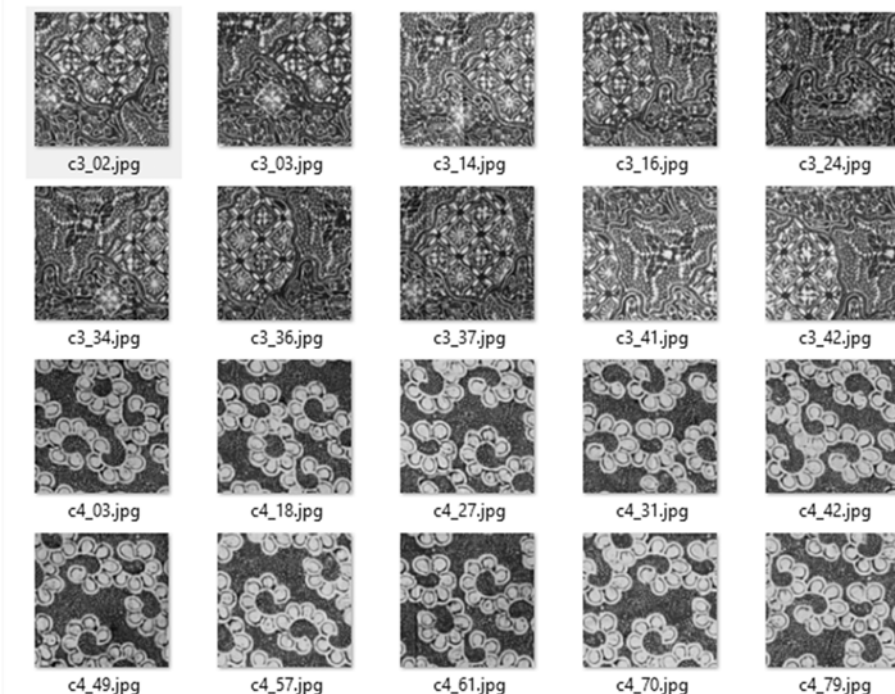


Gambar Lampiran 2.5 Citra Batik Keabuan Pada Dataset 6

Dataset 7

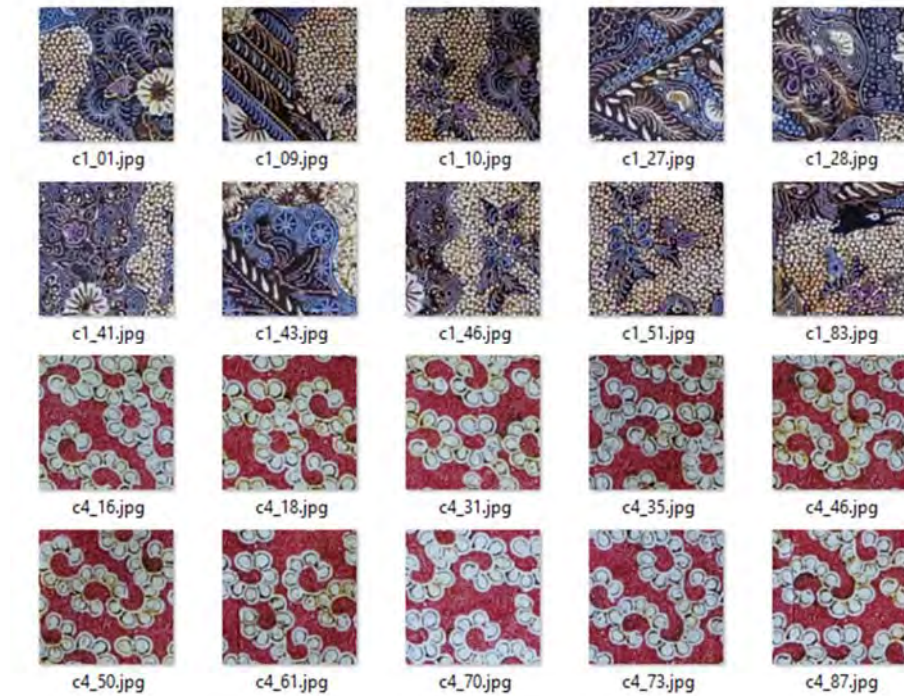


Gambar Lampiran 2.5 Citra Batik Pada Dataset 7

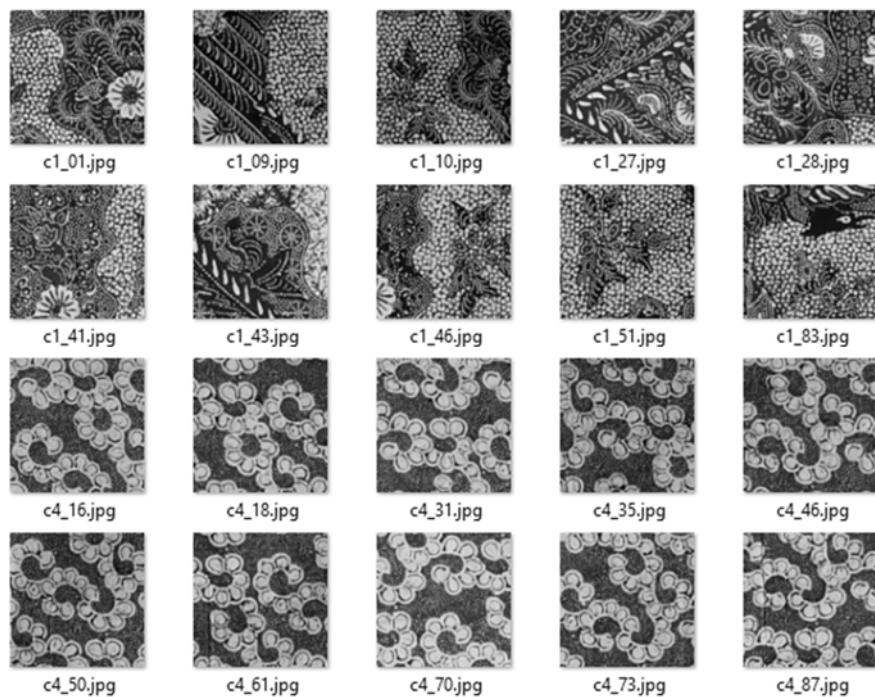


Gambar Lampiran 2.5 Citra Batik Keabuan Pada Dataset 7

Dataset 8

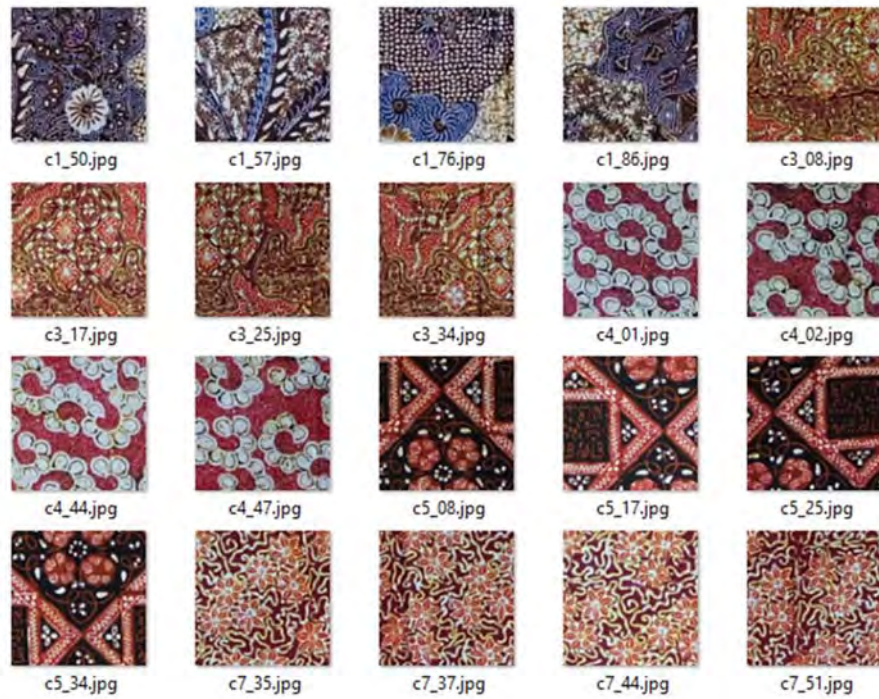


Gambar Lampiran 2.5 Citra Batik Pada Dataset 8

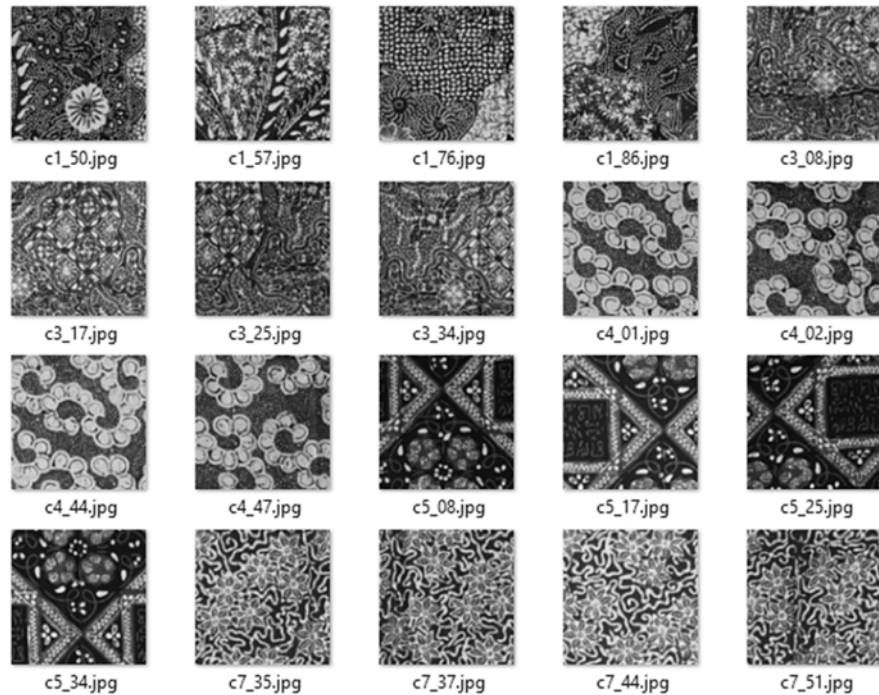


Gambar Lampiran 2.5 Citra Batik Keabuan Pada Dataset 8

Dataset 9

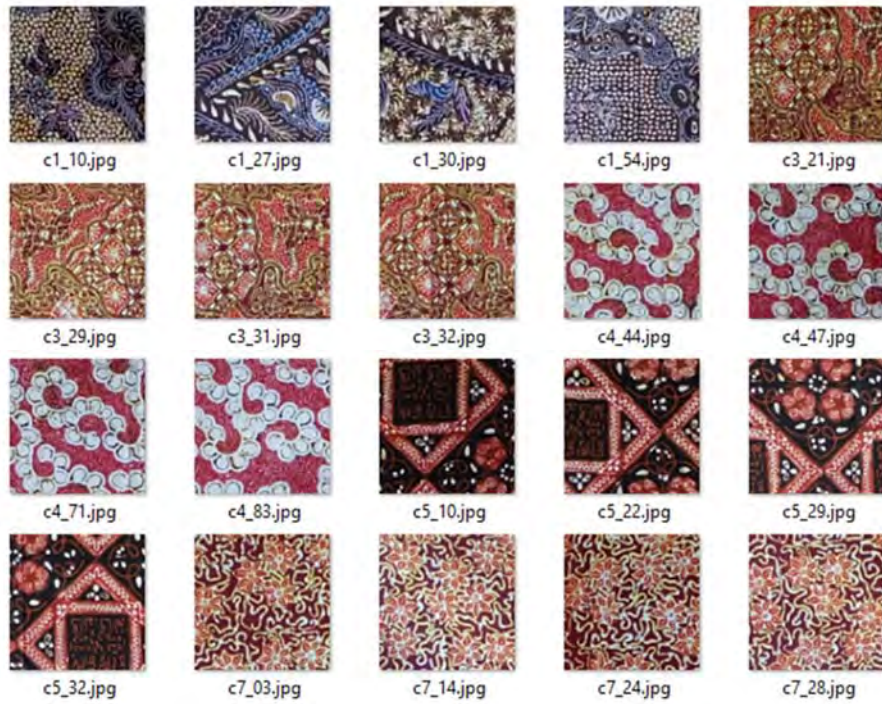


Gambar Lampiran 2.5 Citra Batik Pada Dataset 9

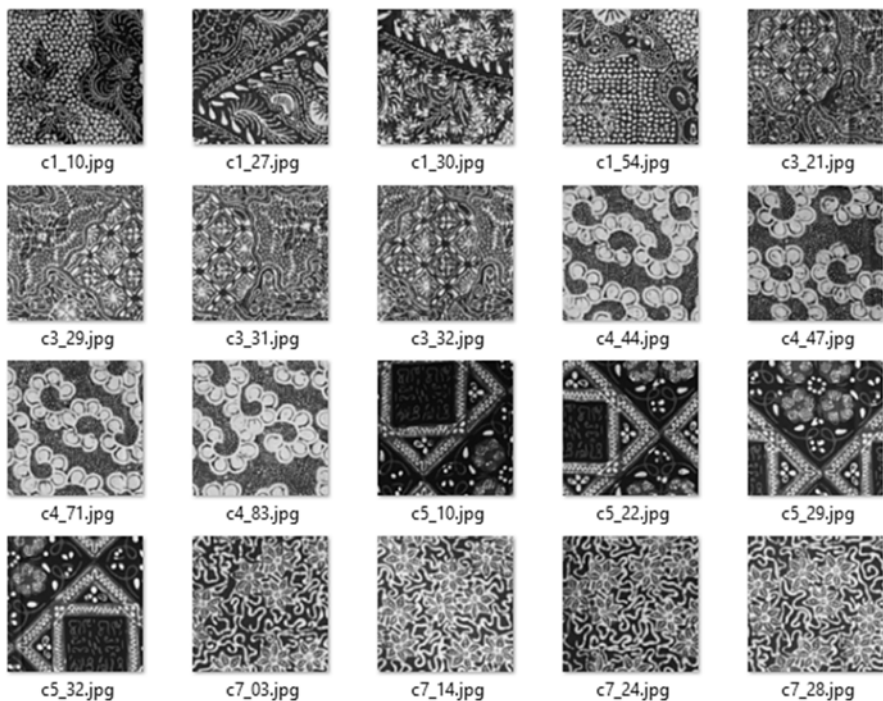


Gambar Lampiran 2.5 Citra Batik Keabuan Pada Dataset 9

Dataset 10

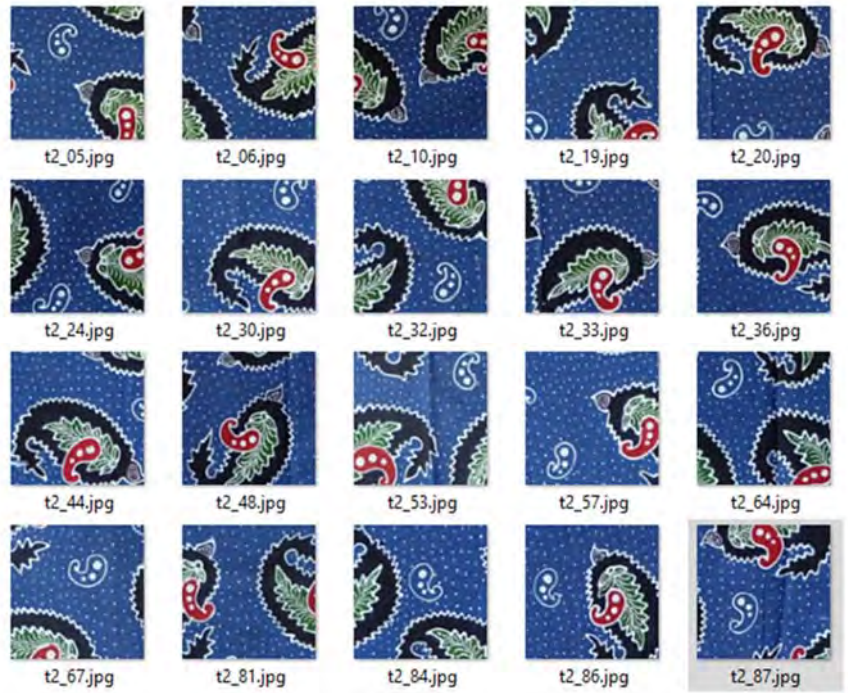


Gambar Lampiran 2.5 Citra Batik Pada Dataset 10

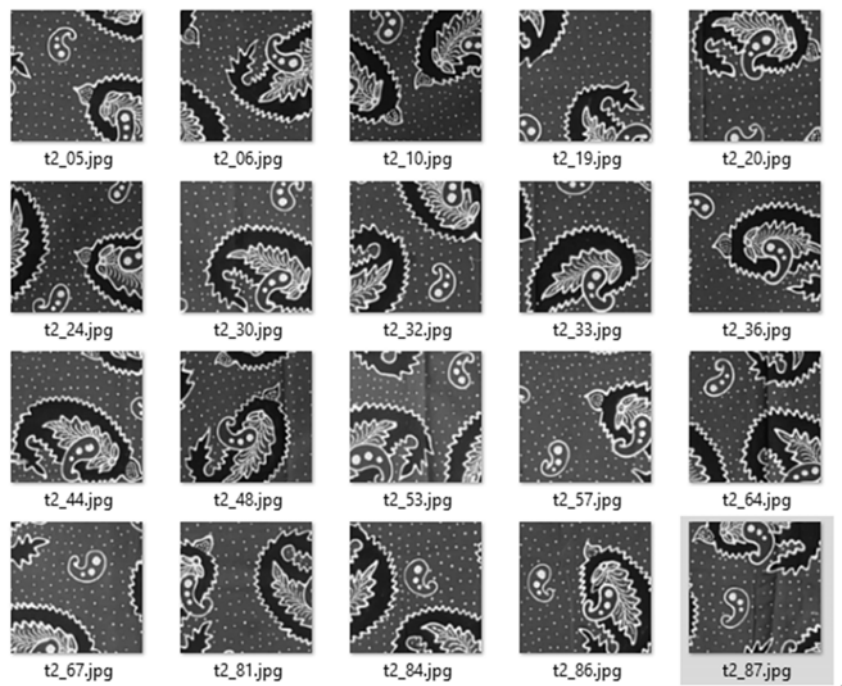


Gambar Lampiran 2.5 Citra Batik Keabuan Pada Dataset 10

Dataset 11

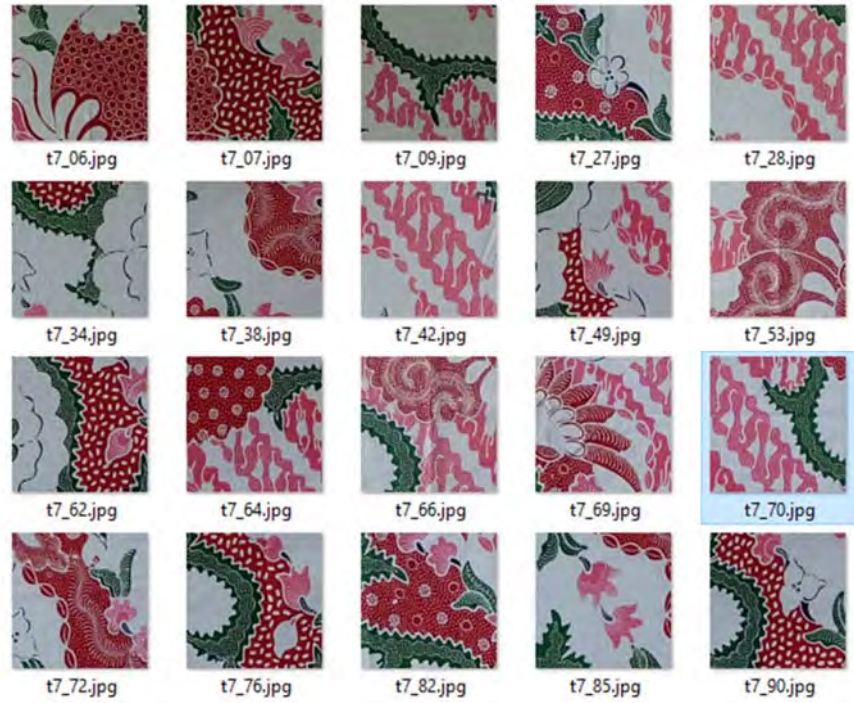


Gambar Lampiran 2.5 Citra Batik Pada Dataset 11

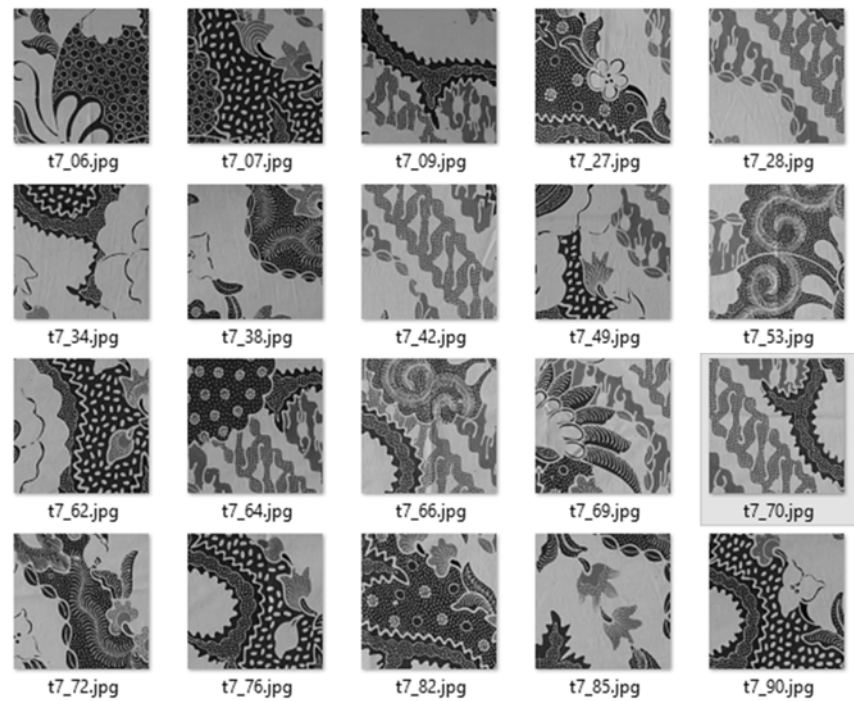


Gambar Lampiran 2.5 Citra Batik Keabuan Pada Dataset 11

Dataset 12

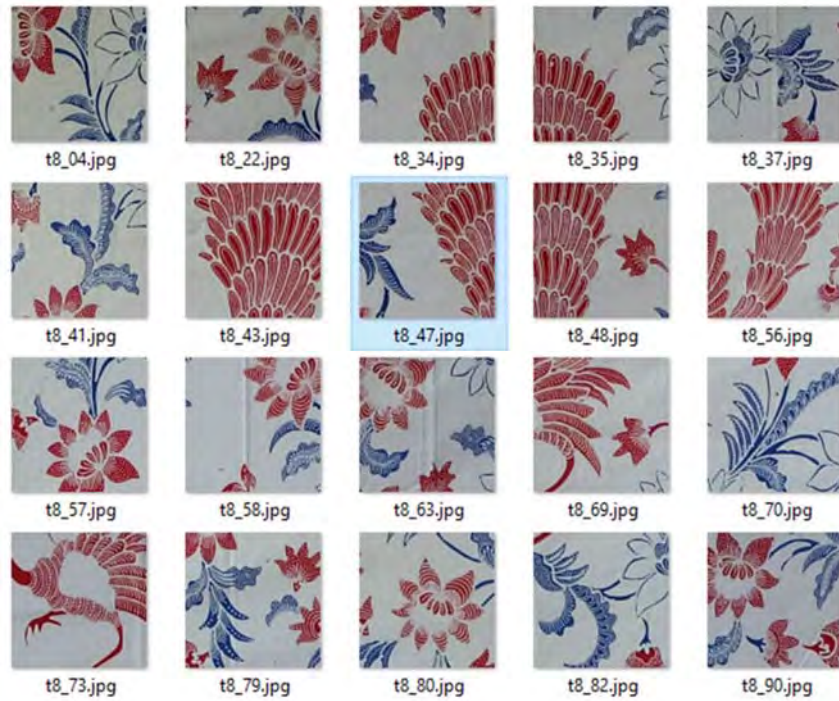


Gambar Lampiran 2.5 Citra Batik Pada Dataset 12



Gambar Lampiran 2.5 Citra Batik Keabuan Pada Dataset 12

Dataset 13

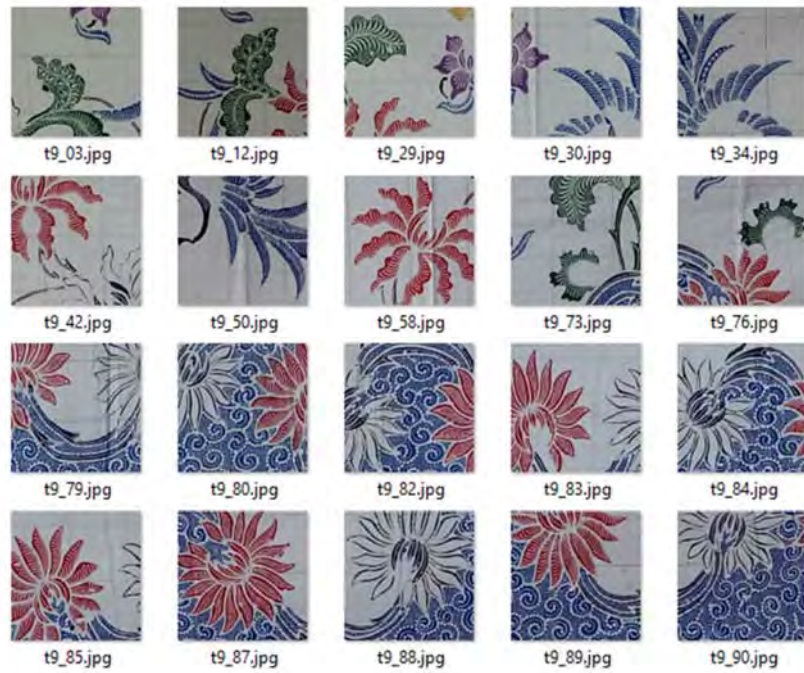


Gambar Lampiran 2.5 Citra Batik Pada Dataset 13

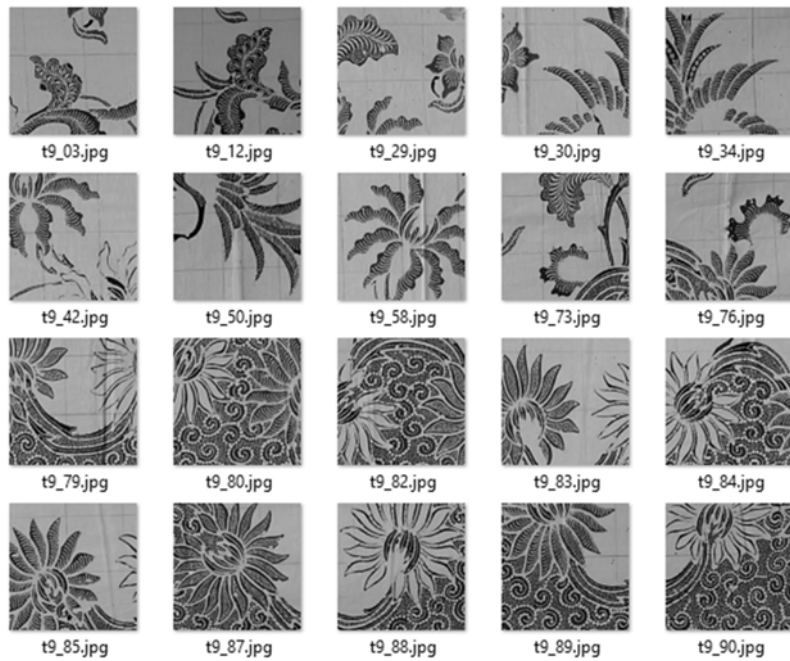


Gambar Lampiran 2.5 Citra Batik Keabuan Pada Dataset 13

Dataset 14

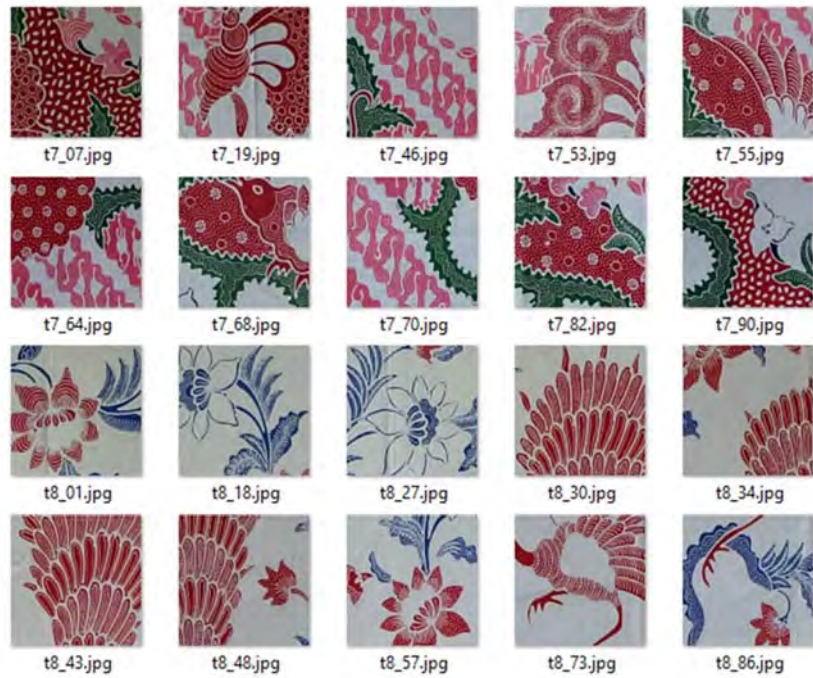


Gambar Lampiran 2.5 Citra Batik Pada Dataset 14

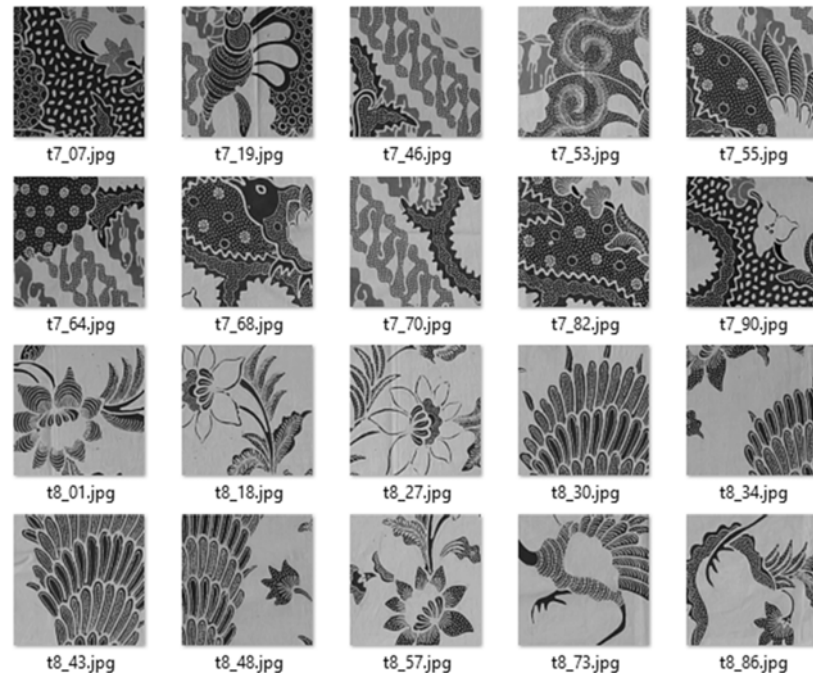


Gambar Lampiran 2.5 Citra Batik Pada Dataset 14

Dataset 15

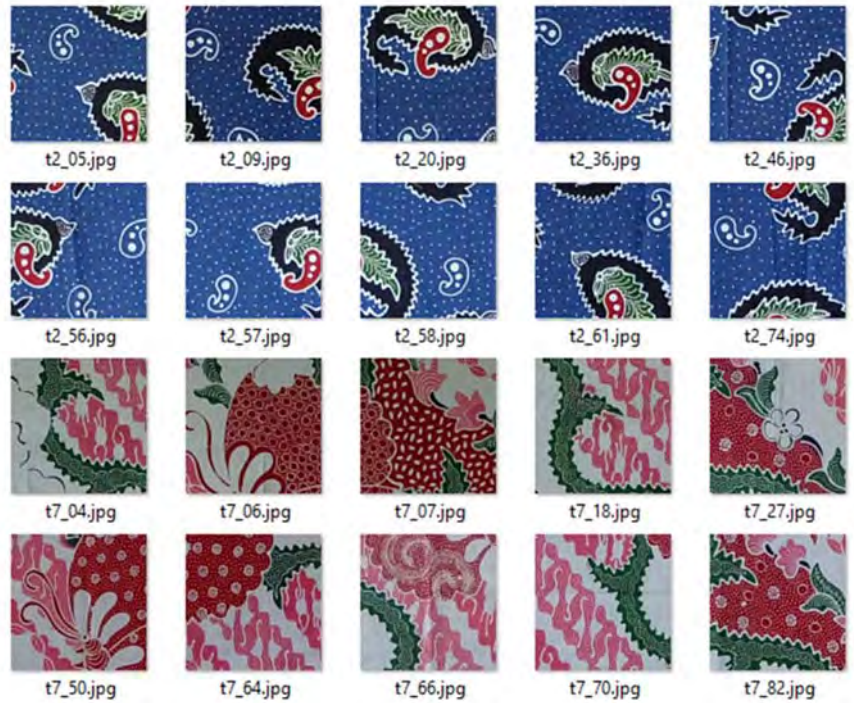


Gambar Lampiran 2.5 Citra Batik Pada Dataset 15

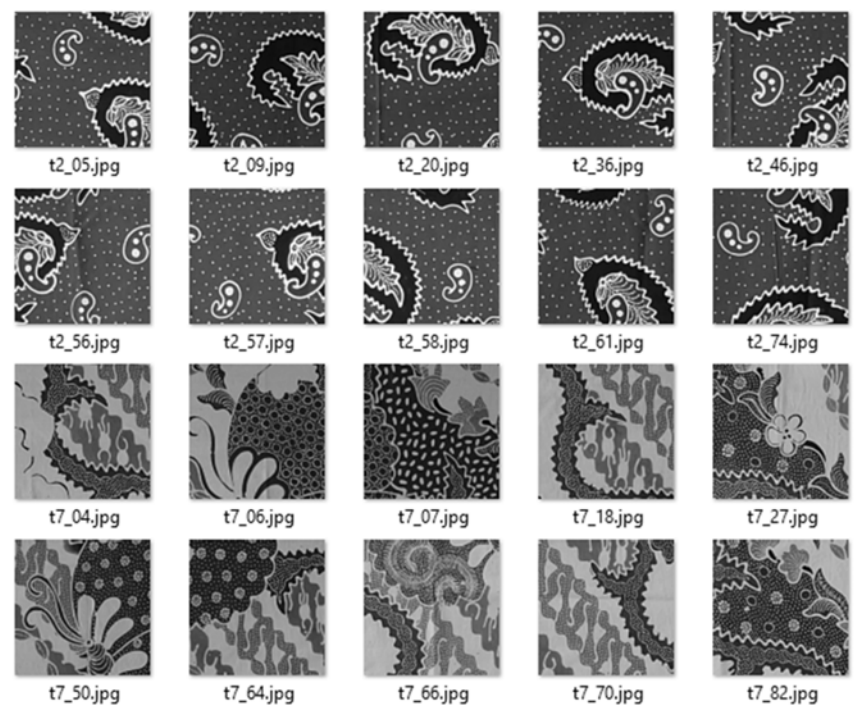


Gambar Lampiran 2.5 Citra Batik Keabuan Pada Dataset 15

Dataset 16

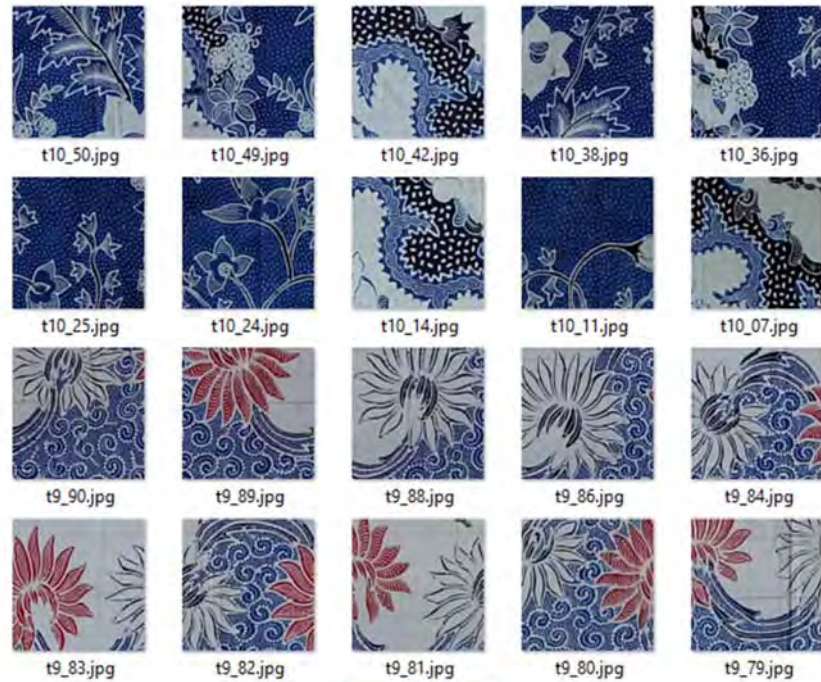


Gambar Lampiran 2.5 Citra Batik Pada Dataset 16

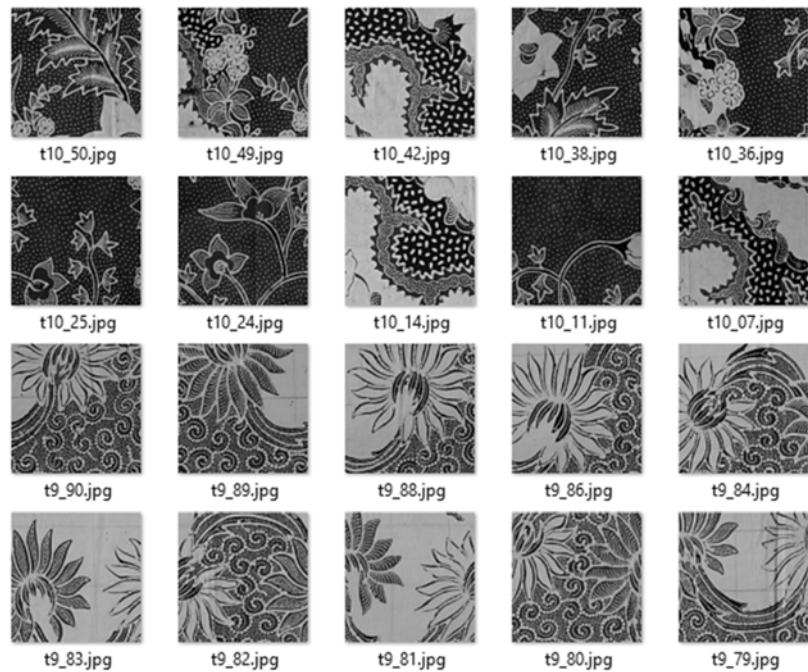


Gambar Lampiran 2.5 Citra Batik Keabuan Pada Dataset 16

Dataset 17

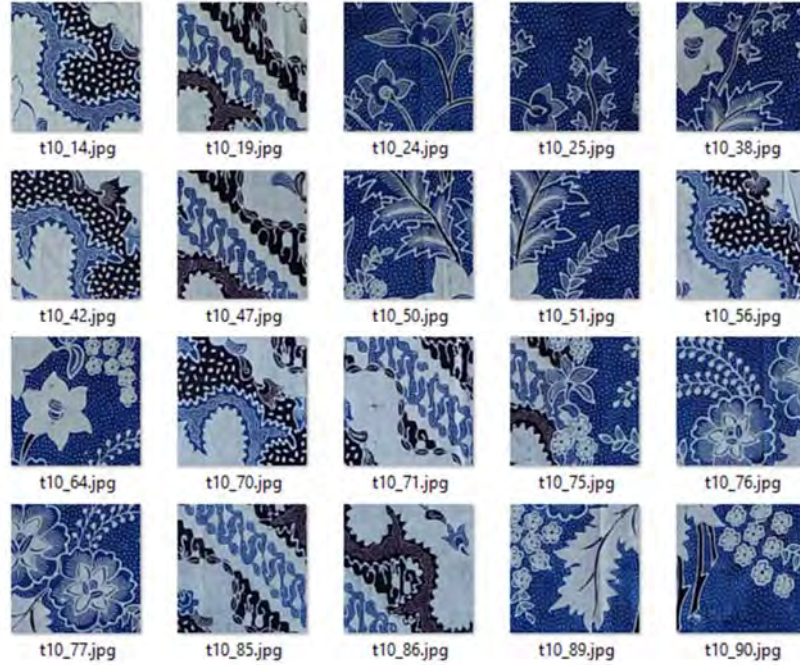


Gambar Lampiran 2.5 Citra Batik Pada Dataset 17

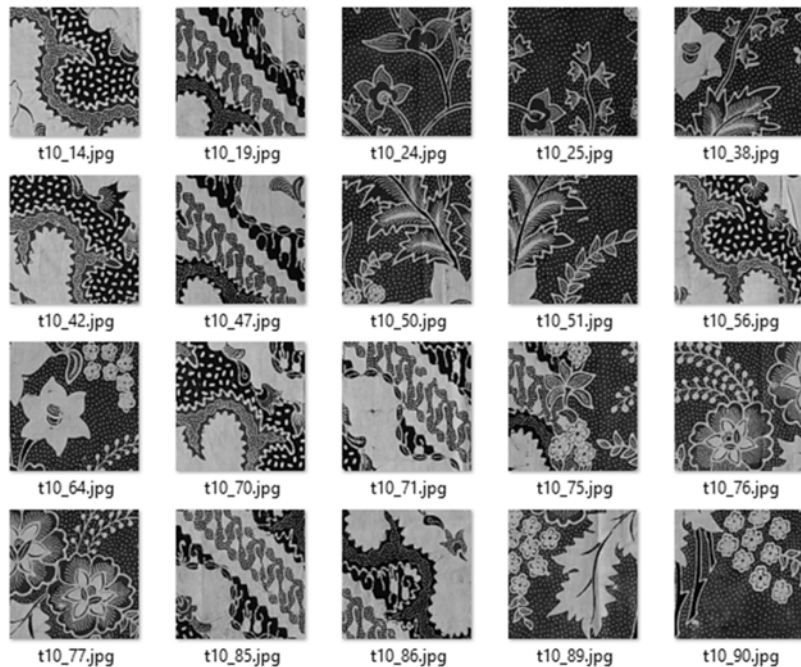


Gambar Lampiran 2.5 Citra Batik Keabuan Pada Dataset 17

Dataset 18

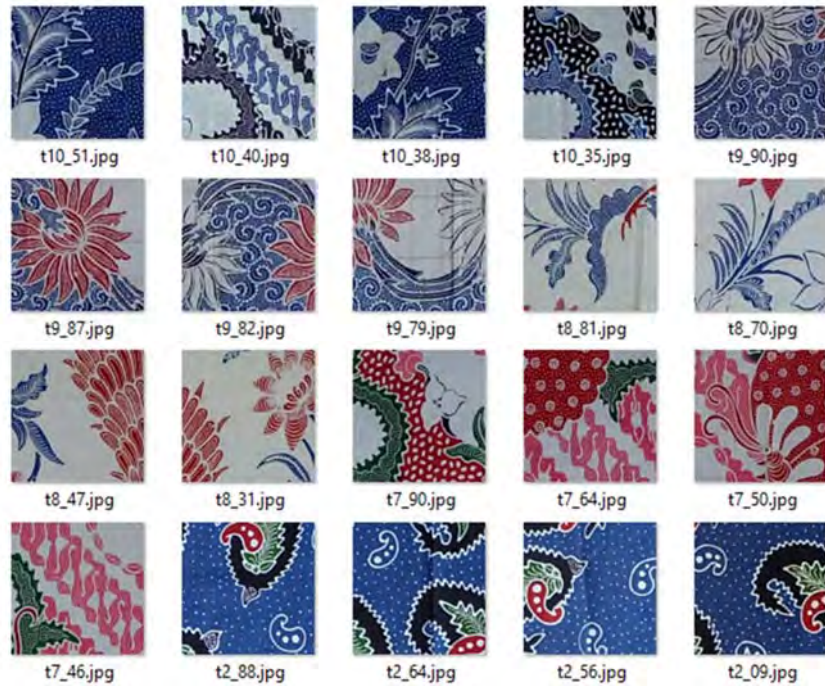


Gambar Lampiran 2.5 Citra Batik Pada Dataset 18

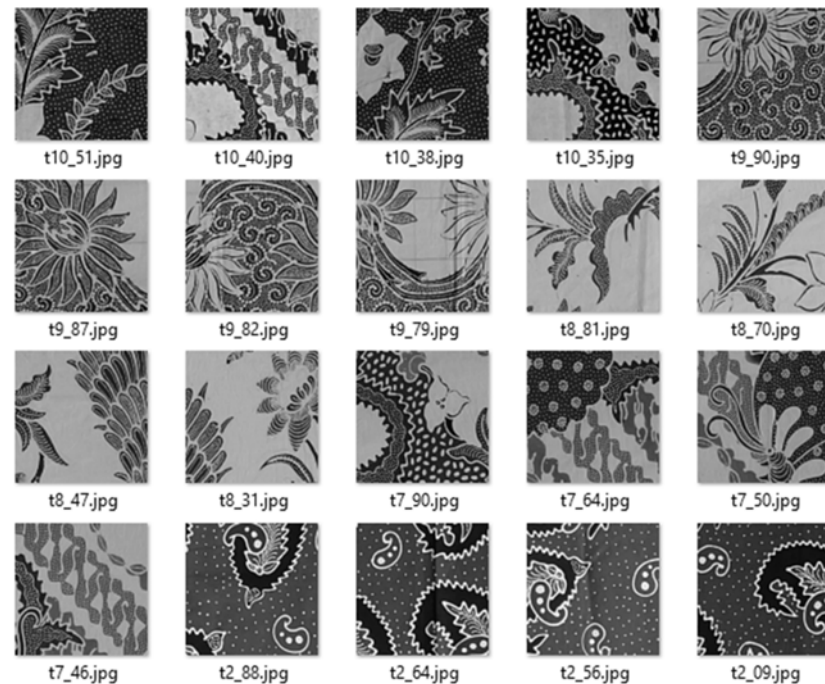


Gambar Lampiran 2.5 Citra Batik Keabuan Pada Dataset 18

Dataset 19

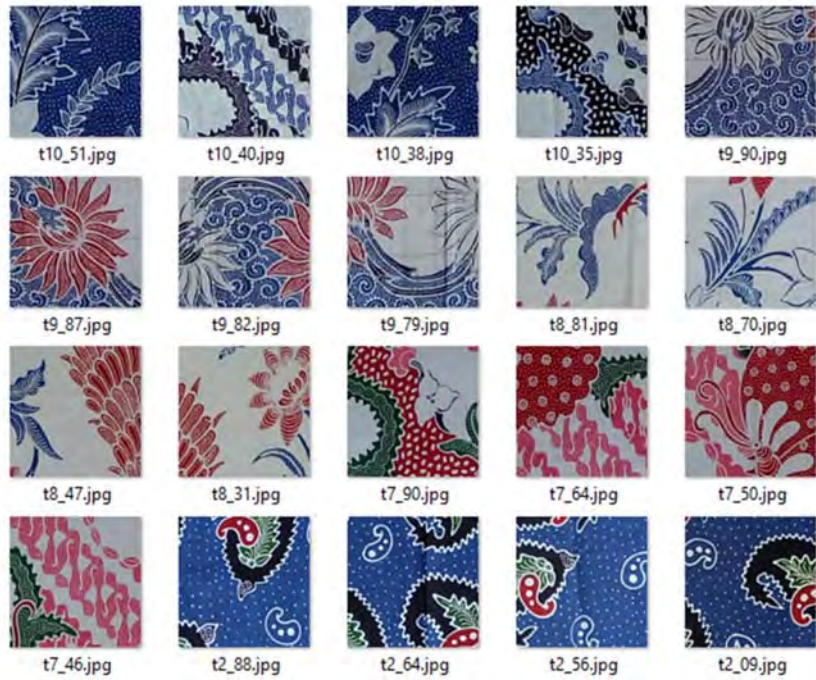


Gambar Lampiran 2.5 Citra Batik Pada Dataset 19

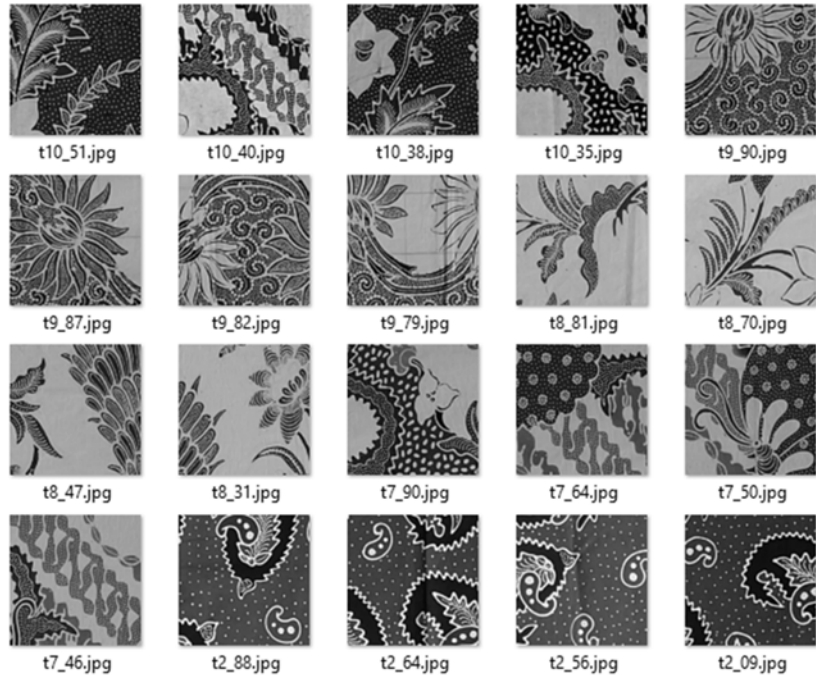


Gambar Lampiran 2.5 Citra Batik Keabuan Pada Dataset 19

Dataset 20



Gambar Lampiran 2.5 Citra Batik Pada Dataset 20



Gambar Lampiran 2.5 Citra Batik Keabuan Pada Dataset 20

LAMPIRAN 3

HASIL PERHITUNGA GLCM DATASET CITRA BATIK

Tabel Lampiran 3.1 Hasil Perhitungan GLCM Dataset 1 Kelas Batik Sudut 0° dan Sudut 45°

| No. Citra | G0.asm | G0.kontras | G0.idm | G0.entropi | G0.korelasi | G45.asm | G45.kontras | G45.idm | G45.entropi | G45.korelasi |
|-----------|----------|-------------|----------|------------|-------------|----------|-------------|----------|-------------|--------------|
| 1 | 0.000097 | 2176.816480 | 0.056319 | 9.805930 | 0.000140 | 0.000082 | 3869.639159 | 0.046402 | 9.956518 | 0.000115 |
| 2 | 0.000149 | 2033.023545 | 0.067350 | 9.566522 | 0.000148 | 0.000122 | 3507.501178 | 0.054764 | 9.716382 | 0.000124 |
| 3 | 0.000320 | 1844.344132 | 0.078577 | 9.351892 | 0.000157 | 0.00025 | 3176.812853 | 0.063621 | 9.505795 | 0.000133 |
| 4 | 0.000133 | 2131.511331 | 0.063737 | 9.621513 | 0.000138 | 0.000112 | 3814.066139 | 0.051744 | 9.777497 | 0.000114 |
| 5 | 0.000136 | 2081.034674 | 0.065661 | 9.603298 | 0.000148 | 0.000115 | 3474.801584 | 0.055357 | 9.744791 | 0.000125 |
| 6 | 0.000184 | 1905.779853 | 0.073568 | 9.450089 | 0.000143 | 0.000153 | 3297.73667 | 0.061508 | 9.603235 | 0.000123 |
| 7 | 0.000158 | 1755.055304 | 0.076192 | 9.522986 | 0.000161 | 0.000126 | 3278.107617 | 0.055953 | 9.695216 | 0.000132 |
| 8 | 0.000087 | 1990.806622 | 0.059607 | 9.808761 | 0.000136 | 0.000073 | 3441.136927 | 0.048164 | 9.957551 | 0.000117 |
| 9 | 0.000134 | 1799.678064 | 0.069159 | 9.608076 | 0.000153 | 0.00011 | 3011.32967 | 0.055038 | 9.766127 | 0.000133 |
| 10 | 0.000113 | 2069.170283 | 0.061823 | 9.670050 | 0.000148 | 0.000094 | 3318.780675 | 0.050605 | 9.805882 | 0.000127 |
| 11 | 0.000101 | 2145.382401 | 0.056971 | 9.793625 | 0.000138 | 0.000085 | 3429.675166 | 0.047482 | 9.925289 | 0.00012 |
| 12 | 0.000099 | 2179.646553 | 0.053012 | 9.790901 | 0.000136 | 0.000083 | 3412.598565 | 0.043738 | 9.917595 | 0.000119 |
| 13 | 0.000105 | 1973.429227 | 0.058865 | 9.751334 | 0.000143 | 0.000085 | 3460.708491 | 0.047077 | 9.90714 | 0.000121 |
| 14 | 0.000120 | 1977.074493 | 0.062711 | 9.679141 | 0.000142 | 0.000098 | 3325.920593 | 0.049518 | 9.828195 | 0.000122 |
| 15 | 0.000149 | 1989.658565 | 0.064066 | 9.595787 | 0.000141 | 0.000123 | 3371.497768 | 0.050543 | 9.741097 | 0.000121 |
| 16 | 0.000142 | 1817.452058 | 0.073973 | 9.588643 | 0.000151 | 0.000115 | 3005.909294 | 0.05742 | 9.738566 | 0.000132 |
| 17 | 0.000115 | 1926.909247 | 0.061392 | 9.708667 | 0.000138 | 0.000097 | 3242.376635 | 0.049995 | 9.844199 | 0.000121 |
| 18 | 0.000117 | 1777.279109 | 0.071864 | 9.706475 | 0.000148 | 0.000092 | 3227.9143 | 0.054904 | 9.876845 | 0.000126 |
| 19 | 0.000112 | 2171.344922 | 0.059114 | 9.731529 | 0.000142 | 0.000093 | 3580.845248 | 0.048843 | 9.870908 | 0.00012 |
| 20 | 0.000114 | 2392.424019 | 0.058054 | 9.729004 | 0.000147 | 0.000105 | 3454.579825 | 0.053087 | 9.818279 | 0.000128 |
| Mean | 0.000134 | 2006.891044 | 0.064601 | 9.654211 | 0.000145 | 0.000111 | 3385.096918 | 0.052288 | 9.799855 | 0.000124 |

Tabel Lampiran 3.2 Hasil Perhitungan GLCM Dataset 1 Kelas Batik Sudut 90° dan Sudut 135°

| No. Citra | G90.asm | G90.kontras | G90.idm | G90.entropi | G90.korelasi | G135.asm | G135.kontras | G135.idm | G135.entropi | G135.korelasi |
|-----------|----------|-------------|----------|-------------|--------------|----------|--------------|----------|--------------|---------------|
| 1 | 0.000105 | 1800.787944 | 0.06101 | 9.740394 | 0.000146 | 0.000084 | 3296.882277 | 0.048339 | 9.916267 | 0.000124 |
| 2 | 0.00016 | 1682.242544 | 0.071904 | 9.515215 | 0.000154 | 0.000125 | 3232.142321 | 0.055301 | 9.700869 | 0.000128 |
| 3 | 0.000346 | 1586.810342 | 0.080007 | 9.295291 | 0.000162 | 0.000261 | 3101.369815 | 0.064122 | 9.493907 | 0.000134 |
| 4 | 0.000143 | 1836.06293 | 0.067868 | 9.56615 | 0.000142 | 0.000116 | 3359.194913 | 0.054302 | 9.741754 | 0.00012 |
| 5 | 0.00015 | 1668.297942 | 0.072461 | 9.533406 | 0.000155 | 0.000117 | 3351.077237 | 0.054357 | 9.734029 | 0.000127 |
| 6 | 0.000199 | 1570.111461 | 0.079759 | 9.386786 | 0.000148 | 0.000158 | 3042.259517 | 0.0609 | 9.576494 | 0.000126 |
| 7 | 0.000157 | 1735.882696 | 0.073508 | 9.521595 | 0.000161 | 0.000133 | 3022.223588 | 0.059364 | 9.670848 | 0.000137 |
| 8 | 0.000095 | 1700.680544 | 0.068126 | 9.739998 | 0.00014 | 0.000075 | 3237.695331 | 0.049263 | 9.935109 | 0.000119 |
| 9 | 0.00015 | 1415.411355 | 0.079953 | 9.531406 | 0.00016 | 0.000118 | 2828.509083 | 0.057908 | 9.728617 | 0.000136 |
| 10 | 0.000129 | 1564.761362 | 0.069954 | 9.570918 | 0.000156 | 0.000098 | 3276.228827 | 0.051547 | 9.789579 | 0.000128 |
| 11 | 0.00012 | 1667.118792 | 0.06431 | 9.696799 | 0.000145 | 0.000084 | 3504.535247 | 0.046815 | 9.925259 | 0.000119 |
| 12 | 0.000113 | 1749.307459 | 0.058052 | 9.713129 | 0.000142 | 0.000078 | 3798.981617 | 0.041503 | 9.953697 | 0.000114 |
| 13 | 0.000107 | 1828.652319 | 0.060028 | 9.717892 | 0.000145 | 0.000085 | 3501.140461 | 0.045064 | 9.906896 | 0.00012 |
| 14 | 0.000123 | 1823.948509 | 0.060777 | 9.636176 | 0.000144 | 0.000095 | 3613.566108 | 0.045311 | 9.843884 | 0.000118 |
| 15 | 0.000162 | 1832.950539 | 0.066361 | 9.551417 | 0.000143 | 0.000116 | 3674.514307 | 0.049468 | 9.763589 | 0.000117 |
| 16 | 0.000147 | 1592.969527 | 0.07348 | 9.555304 | 0.000155 | 0.000115 | 3174.706104 | 0.054567 | 9.753167 | 0.000129 |
| 17 | 0.000126 | 1726.165261 | 0.063301 | 9.655784 | 0.000141 | 0.000093 | 3490.534069 | 0.047533 | 9.868942 | 0.000117 |
| 18 | 0.000116 | 1741.353602 | 0.068159 | 9.694718 | 0.000149 | 0.000094 | 3195.575609 | 0.054807 | 9.874057 | 0.000126 |
| 19 | 0.000119 | 1842.491258 | 0.060999 | 9.681418 | 0.000147 | 0.000089 | 3712.798236 | 0.046444 | 9.888912 | 0.000118 |
| 20 | 0.000156 | 1517.598022 | 0.078882 | 9.568105 | 0.000163 | 0.000098 | 3675.778148 | 0.050204 | 9.840562 | 0.000124 |
| Mean | 0.000146 | 1694.180220 | 0.068945 | 9.593595 | 0.000150 | 0.000112 | 3354.485641 | 0.051856 | 9.795322 | 0.000124 |

Tabel Lampiran 3.3 Hasil Perhitungan GLCM Dataset 2 Kelas Batik Sudut 0° dan Sudut 45°

| No. Citra | G0.asm | G0.kontras | G0.idm | G0.entropi | G0.korelasi | G45.asm | G45.kontras | G45.idm | G45.entropi | G45.korelasi |
|-----------|----------|-------------|----------|------------|-------------|----------|-------------|----------|-------------|--------------|
| 1 | 0.000072 | 1492.940092 | 0.052199 | 9.865169 | 0.000205 | 0.000061 | 2575.462211 | 0.042102 | 10.012753 | 0.00017 |
| 2 | 0.000088 | 1247.277807 | 0.057634 | 9.729157 | 0.000229 | 0.000073 | 2139.345434 | 0.045165 | 9.892054 | 0.000195 |
| 3 | 0.000088 | 1307.257456 | 0.056441 | 9.743287 | 0.000238 | 0.000073 | 2154.840629 | 0.044558 | 9.891205 | 0.000201 |
| 4 | 0.000063 | 1703.190526 | 0.048609 | 9.952297 | 0.000191 | 0.000053 | 2850.653574 | 0.038425 | 10.099675 | 0.000158 |
| 5 | 0.000076 | 1432.196587 | 0.052547 | 9.831039 | 0.000222 | 0.000065 | 2286.660952 | 0.042466 | 9.963409 | 0.000189 |
| 6 | 0.000078 | 1450.313922 | 0.053575 | 9.803383 | 0.000226 | 0.000068 | 2223.246869 | 0.045782 | 9.925157 | 0.000195 |
| 7 | 0.000078 | 1483.272041 | 0.051185 | 9.818869 | 0.000219 | 0.000068 | 2249.217481 | 0.045128 | 9.934343 | 0.00019 |
| 8 | 0.000066 | 1681.396692 | 0.049173 | 9.932737 | 0.000197 | 0.000057 | 2686.165866 | 0.040959 | 10.055715 | 0.000166 |
| 9 | 0.000067 | 1536.386090 | 0.048668 | 9.903192 | 0.000209 | 0.000058 | 2423.866653 | 0.041298 | 10.033841 | 0.000179 |
| 10 | 0.000077 | 1338.603943 | 0.052492 | 9.803444 | 0.000231 | 0.000067 | 2035.545493 | 0.044109 | 9.925509 | 0.000202 |
| 11 | 0.000069 | 1633.388121 | 0.049676 | 9.901342 | 0.000201 | 0.00006 | 2551.399777 | 0.041314 | 10.019174 | 0.000171 |
| 12 | 0.000073 | 1529.844008 | 0.049548 | 9.853334 | 0.000221 | 0.000064 | 2338.353494 | 0.042499 | 9.965563 | 0.000189 |
| 13 | 0.000075 | 1482.119412 | 0.051181 | 9.834493 | 0.000220 | 0.000065 | 2294.483043 | 0.0421 | 9.961425 | 0.000189 |
| 14 | 0.000077 | 1458.884943 | 0.051887 | 9.823680 | 0.000226 | 0.000065 | 2381.305754 | 0.042489 | 9.959217 | 0.000188 |
| 15 | 0.000073 | 1544.530132 | 0.051159 | 9.871037 | 0.000217 | 0.000062 | 2503.370172 | 0.041569 | 10.008269 | 0.00018 |
| 16 | 0.000068 | 1724.225634 | 0.049942 | 9.919552 | 0.000192 | 0.000057 | 2840.387702 | 0.040018 | 10.055751 | 0.000159 |
| 17 | 0.000064 | 1766.590350 | 0.047669 | 9.959139 | 0.000191 | 0.000056 | 2772.944603 | 0.040326 | 10.078193 | 0.000161 |
| 18 | 0.000070 | 1564.199206 | 0.050773 | 9.881521 | 0.000212 | 0.00006 | 2471.223805 | 0.039936 | 10.008479 | 0.00018 |
| 19 | 0.000064 | 1633.339699 | 0.049060 | 9.939091 | 0.000202 | 0.000055 | 2562.065984 | 0.039789 | 10.059646 | 0.000172 |
| 20 | 0.000069 | 1665.329810 | 0.048369 | 9.895148 | 0.000202 | 0.000059 | 2691.379394 | 0.03939 | 10.027639 | 0.000168 |
| Mean | 0.000134 | 2006.891044 | 0.064601 | 9.654211 | 0.000145 | 0.000111 | 3385.096918 | 0.052288 | 9.799855 | 0.000124 |

Tabel Lampiran 3.4 Hasil Perhitungan GLCM Dataset 2 Kelas Batik Sudut 90° dan Sudut 135°

| No. Citra | G90.asm | G90.kontras | G90.idm | G90.entropi | G90.korelasi | G135.asm | G135.kontras | G135.idm | G135.entropi | G135.korelasi |
|-----------|----------|-------------|----------|-------------|--------------|----------|--------------|----------|--------------|---------------|
| 1 | 0.000079 | 1174.511982 | 0.05774 | 9.7799 | 0.000215 | 0.000063 | 2268.786735 | 0.043942 | 9.986562 | 0.00018 |
| 2 | 0.000096 | 969.321378 | 0.063228 | 9.646901 | 0.00024 | 0.000076 | 1915.35137 | 0.046719 | 9.85958 | 0.000204 |
| 3 | 0.000097 | 966.597387 | 0.062382 | 9.640358 | 0.000253 | 0.000075 | 1999.398568 | 0.04675 | 9.866458 | 0.000208 |
| 4 | 0.000068 | 1355.829453 | 0.052127 | 9.869405 | 0.000201 | 0.000054 | 2666.473789 | 0.041456 | 10.079873 | 0.000164 |
| 5 | 0.000084 | 1113.991087 | 0.056832 | 9.734366 | 0.000234 | 0.000065 | 2334.046764 | 0.043877 | 9.97068 | 0.000187 |
| 6 | 0.00009 | 1070.48901 | 0.060284 | 9.684766 | 0.000241 | 0.000068 | 2347.497241 | 0.045088 | 9.938713 | 0.00019 |
| 7 | 0.000089 | 1101.063209 | 0.059774 | 9.701773 | 0.000233 | 0.000067 | 2419.846317 | 0.044223 | 9.951036 | 0.000183 |
| 8 | 0.000073 | 1318.576942 | 0.053487 | 9.831445 | 0.000208 | 0.000058 | 2747.103602 | 0.04063 | 10.056328 | 0.000164 |
| 9 | 0.000074 | 1173.280954 | 0.054125 | 9.806515 | 0.000222 | 0.000058 | 2490.948695 | 0.041906 | 10.035901 | 0.000177 |
| 10 | 0.000086 | 1016.875783 | 0.060039 | 9.691 | 0.000244 | 0.000065 | 2260.626279 | 0.043218 | 9.953496 | 0.000193 |
| 11 | 0.000078 | 1219.099417 | 0.054985 | 9.783957 | 0.000214 | 0.00006 | 2628.356454 | 0.041686 | 10.028939 | 0.000169 |
| 12 | 0.000083 | 1137.264942 | 0.055083 | 9.735347 | 0.000236 | 0.000064 | 2474.206259 | 0.04353 | 9.97984 | 0.000183 |
| 13 | 0.000086 | 1130.923786 | 0.058222 | 9.730214 | 0.000233 | 0.000063 | 2466.22444 | 0.040238 | 9.97895 | 0.000182 |
| 14 | 0.000083 | 1155.755937 | 0.055726 | 9.738867 | 0.000238 | 0.000066 | 2354.561318 | 0.042023 | 9.956711 | 0.000189 |
| 15 | 0.000081 | 1201.411789 | 0.057856 | 9.777674 | 0.00023 | 0.000063 | 2462.345976 | 0.041783 | 10.00248 | 0.000182 |
| 16 | 0.000074 | 1365.890291 | 0.053835 | 9.826668 | 0.000202 | 0.000058 | 2740.251023 | 0.040621 | 10.051038 | 0.000162 |
| 17 | 0.00007 | 1335.566976 | 0.053316 | 9.858096 | 0.000203 | 0.000055 | 2810.58742 | 0.040073 | 10.083059 | 0.00016 |
| 18 | 0.000079 | 1187.253705 | 0.056112 | 9.77768 | 0.000226 | 0.00006 | 2516.102409 | 0.04036 | 10.010686 | 0.000178 |
| 19 | 0.000071 | 1283.325144 | 0.055249 | 9.841739 | 0.000213 | 0.000054 | 2724.378092 | 0.039143 | 10.080789 | 0.000166 |
| 20 | 0.000076 | 1301.487553 | 0.053105 | 9.801603 | 0.000214 | 0.000059 | 2676.766244 | 0.040197 | 10.03133 | 0.000168 |
| Mean | 0.000081 | 1178.925836 | 0.056675 | 9.762914 | 0.000225 | 0.000063 | 2465.192950 | 0.042373 | 9.995122 | 0.000179 |

Tabel Lampiran 3.5 Hasil Perhitungan GLCM Dataset 3 Kelas Batik Sudut 0° dan Sudut 45°

| No. Citra | G0.asm | G0.kontras | G0.idm | G0.entropi | G0.korelasi | G45.asm | G45.kontras | G45.idm | G45.entropi | G45.korelasi |
|-----------|----------|-------------|----------|------------|-------------|----------|-------------|----------|-------------|--------------|
| 1 | 0.000144 | 1236.010246 | 0.081514 | 9.492311 | 0.000194 | 0.000112 | 2316.799027 | 0.061596 | 9.687165 | 0.000166 |
| 2 | 0.000132 | 1231.332135 | 0.075050 | 9.528974 | 0.000201 | 0.000106 | 2278.615026 | 0.057296 | 9.715034 | 0.000172 |
| 3 | 0.000139 | 1136.215481 | 0.075546 | 9.477329 | 0.000213 | 0.000113 | 1976.122233 | 0.059359 | 9.652779 | 0.000187 |
| 4 | 0.000164 | 916.444804 | 0.087619 | 9.322395 | 0.000236 | 0.000132 | 1601.525343 | 0.068149 | 9.499549 | 0.000211 |
| 5 | 0.000143 | 905.631502 | 0.079534 | 9.358547 | 0.000266 | 0.000121 | 1398.822013 | 0.065763 | 9.506313 | 0.000243 |
| 6 | 0.000118 | 1185.101076 | 0.072987 | 9.578122 | 0.000200 | 0.000094 | 2184.698028 | 0.055812 | 9.76152 | 0.000173 |
| 7 | 0.000128 | 1115.793881 | 0.074004 | 9.502347 | 0.000213 | 0.000104 | 1968.5713 | 0.057624 | 9.679414 | 0.000187 |
| 8 | 0.000137 | 1092.928591 | 0.077878 | 9.478289 | 0.000215 | 0.000111 | 1943.85988 | 0.05855 | 9.656372 | 0.000188 |
| 9 | 0.000140 | 999.830647 | 0.080076 | 9.458223 | 0.000220 | 0.000113 | 1737.121303 | 0.061841 | 9.63898 | 0.000197 |
| 10 | 0.000127 | 1045.567782 | 0.073276 | 9.475720 | 0.000231 | 0.000106 | 1724.842613 | 0.058725 | 9.629388 | 0.000206 |
| 11 | 0.000125 | 1003.273963 | 0.079552 | 9.491538 | 0.000229 | 0.000101 | 1653.404334 | 0.064088 | 9.660172 | 0.000206 |
| 12 | 0.000148 | 1108.203283 | 0.080215 | 9.425035 | 0.000207 | 0.000117 | 2060.762896 | 0.060674 | 9.61741 | 0.00018 |
| 13 | 0.000134 | 1052.286813 | 0.079209 | 9.488340 | 0.000218 | 0.000107 | 1827.38454 | 0.060907 | 9.666279 | 0.000194 |
| 14 | 0.000135 | 1012.473247 | 0.077535 | 9.450097 | 0.000226 | 0.000111 | 1726.400614 | 0.059344 | 9.616864 | 0.000202 |
| 15 | 0.000138 | 1027.068913 | 0.078915 | 9.441768 | 0.000220 | 0.000114 | 1724.319301 | 0.062726 | 9.601627 | 0.000198 |
| 16 | 0.000155 | 1020.340768 | 0.081854 | 9.414256 | 0.000215 | 0.000125 | 1746.283341 | 0.064717 | 9.584784 | 0.000193 |
| 17 | 0.000135 | 1100.082042 | 0.078038 | 9.481225 | 0.000205 | 0.00011 | 1784.395514 | 0.063265 | 9.635308 | 0.000186 |
| 18 | 0.000131 | 1021.131905 | 0.077491 | 9.475933 | 0.000212 | 0.000104 | 1796.600239 | 0.060099 | 9.656562 | 0.00019 |
| 19 | 0.000149 | 1053.520522 | 0.082682 | 9.432187 | 0.000223 | 0.00012 | 1812.148955 | 0.065238 | 9.605572 | 0.000198 |
| 20 | 0.000124 | 1227.343326 | 0.071775 | 9.534945 | 0.000201 | 0.000103 | 1979.1074 | 0.058409 | 9.682736 | 0.00018 |
| Mean | 0.000137 | 1074.529046 | 0.078238 | 9.465379 | 0.000217 | 0.000111 | 1862.089195 | 0.061209 | 9.637691 | 0.000193 |

Tabel Lampiran 3.6 Hasil Perhitungan GLCM Dataset 3 Kelas Batik Sudut 90° dan Sudut 135°

| No. Citra | G90.asm | G90.kontras | G90.idm | G90.entropi | G90.korelasi | G135.asm | G135.kontras | G135.idm | G135.entropi | G135.korelasi |
|-----------|----------|-------------|----------|-------------|--------------|----------|--------------|----------|--------------|---------------|
| 1 | 0.000148 | 1113.283651 | 0.084987 | 9.45724 | 0.000197 | 0.00012 | 1868.472906 | 0.06487 | 9.624293 | 0.000178 |
| 2 | 0.000139 | 1105.099247 | 0.079618 | 9.490013 | 0.000205 | 0.000112 | 1888.063411 | 0.060205 | 9.662444 | 0.000183 |
| 3 | 0.000146 | 973.712536 | 0.082591 | 9.432017 | 0.000218 | 0.000115 | 1807.15576 | 0.060824 | 9.628888 | 0.000193 |
| 4 | 0.000172 | 809.017453 | 0.092523 | 9.277196 | 0.00024 | 0.000134 | 1504.426669 | 0.068693 | 9.483219 | 0.000215 |
| 5 | 0.000155 | 777.314325 | 0.0893 | 9.300708 | 0.000273 | 0.000115 | 1614.01705 | 0.061202 | 9.545343 | 0.000232 |
| 6 | 0.000123 | 1082.709917 | 0.078316 | 9.541942 | 0.000202 | 0.000098 | 1873.661836 | 0.058169 | 9.72305 | 0.000181 |
| 7 | 0.000136 | 970.42174 | 0.080836 | 9.447502 | 0.000218 | 0.000107 | 1769.543757 | 0.060539 | 9.649012 | 0.000193 |
| 8 | 0.000144 | 976.961777 | 0.081893 | 9.439657 | 0.000218 | 0.000113 | 1760.44482 | 0.061143 | 9.630857 | 0.000194 |
| 9 | 0.000149 | 858.75355 | 0.085268 | 9.402906 | 0.000224 | 0.000117 | 1616.181676 | 0.063255 | 9.611652 | 0.0002 |
| 10 | 0.000138 | 894.823889 | 0.081102 | 9.408755 | 0.000236 | 0.000104 | 1747.499643 | 0.056812 | 9.634034 | 0.000206 |
| 11 | 0.000131 | 892.658271 | 0.086049 | 9.450183 | 0.000233 | 0.0001 | 1761.607431 | 0.061155 | 9.671418 | 0.000202 |
| 12 | 0.000152 | 1071.763485 | 0.084357 | 9.409581 | 0.000208 | 0.000122 | 1840.479602 | 0.064643 | 9.582055 | 0.000186 |
| 13 | 0.000143 | 920.494094 | 0.085498 | 9.433786 | 0.000222 | 0.000112 | 1706.045229 | 0.063935 | 9.638649 | 0.000197 |
| 14 | 0.000147 | 871.460537 | 0.084925 | 9.384947 | 0.000231 | 0.000113 | 1656.12848 | 0.06239 | 9.60278 | 0.000204 |
| 15 | 0.000149 | 867.867955 | 0.087376 | 9.374939 | 0.000225 | 0.000115 | 1673.176576 | 0.06386 | 9.591448 | 0.000199 |
| 16 | 0.000163 | 889.789231 | 0.088255 | 9.362856 | 0.000219 | 0.000126 | 1691.340195 | 0.065114 | 9.576219 | 0.000195 |
| 17 | 0.000143 | 942.432823 | 0.086724 | 9.425079 | 0.000209 | 0.000109 | 1885.151482 | 0.062116 | 9.650869 | 0.000183 |
| 18 | 0.000137 | 948.382944 | 0.08313 | 9.442965 | 0.000214 | 0.000106 | 1764.658922 | 0.060759 | 9.645855 | 0.00019 |
| 19 | 0.000155 | 968.052545 | 0.087494 | 9.398513 | 0.000226 | 0.000121 | 1797.54805 | 0.064111 | 9.596314 | 0.000198 |
| 20 | 0.000136 | 1020.540843 | 0.0805 | 9.46351 | 0.000207 | 0.000104 | 2045.947098 | 0.058615 | 9.683092 | 0.000178 |
| Mean | 0.000145 | 947.777041 | 0.084537 | 9.417215 | 0.000221 | 0.000113 | 1763.577530 | 0.062121 | 9.621575 | 0.000195 |

Tabel Lampiran 3.7 Hasil Perhitungan GLCM Dataset 4 Kelas Batik Sudut 0° dan Sudut 45°

| No. Citra | G0.asm | G0.kontras | G0.idm | G0.entropi | G0.korelasi | G45.asm | G45.kontras | G45.idm | G45.entropi | G45.korelasi |
|-----------|----------|-------------|----------|------------|-------------|----------|-------------|----------|-------------|--------------|
| 1 | 0.000442 | 1005.550174 | 0.127438 | 9.068650 | 0.000199 | 0.000358 | 1726.932544 | 0.101903 | 9.22343 | 0.000181 |
| 2 | 0.000840 | 721.144104 | 0.162245 | 8.563323 | 0.000272 | 0.000671 | 1145.563333 | 0.132084 | 8.713688 | 0.000252 |
| 3 | 0.000286 | 889.124527 | 0.114369 | 9.223522 | 0.000203 | 0.000236 | 1638.682234 | 0.091688 | 9.406368 | 0.000184 |
| 4 | 0.000441 | 933.143639 | 0.126149 | 9.041351 | 0.000200 | 0.000363 | 1600.613026 | 0.101707 | 9.205147 | 0.000183 |
| 5 | 0.000402 | 947.836645 | 0.128940 | 9.077307 | 0.000200 | 0.000326 | 1621.947858 | 0.101114 | 9.242755 | 0.000183 |
| 6 | 0.000414 | 988.610794 | 0.130423 | 9.077685 | 0.000198 | 0.000331 | 1627.212195 | 0.102171 | 9.236593 | 0.000182 |
| 7 | 0.000505 | 1007.940340 | 0.131173 | 8.971494 | 0.000197 | 0.00042 | 1665.233105 | 0.107035 | 9.1279 | 0.000181 |
| 8 | 0.000700 | 780.498295 | 0.147635 | 8.714458 | 0.000246 | 0.000565 | 1281.604393 | 0.117921 | 8.875591 | 0.000227 |
| 9 | 0.000439 | 822.179940 | 0.130134 | 8.991115 | 0.000217 | 0.000368 | 1474.028861 | 0.106215 | 9.161804 | 0.000198 |
| 10 | 0.000389 | 959.770166 | 0.128262 | 9.090131 | 0.000198 | 0.000313 | 1716.402117 | 0.102781 | 9.268799 | 0.000179 |
| 11 | 0.000453 | 963.498310 | 0.125793 | 9.033950 | 0.000200 | 0.000373 | 1692.701485 | 0.099849 | 9.206834 | 0.000181 |
| 12 | 0.000461 | 1038.198586 | 0.127357 | 9.050049 | 0.000203 | 0.00038 | 1640.283186 | 0.103607 | 9.191313 | 0.000187 |
| 13 | 0.000618 | 886.317828 | 0.141738 | 8.859544 | 0.000209 | 0.000507 | 1452.060512 | 0.114801 | 9.008966 | 0.000194 |
| 14 | 0.000504 | 842.824121 | 0.142259 | 8.935738 | 0.000227 | 0.000398 | 1512.812667 | 0.113128 | 9.127393 | 0.000205 |
| 15 | 0.000539 | 963.854827 | 0.138573 | 8.968659 | 0.000194 | 0.00043 | 1660.833902 | 0.110366 | 9.146029 | 0.000177 |
| 16 | 0.000479 | 1017.797136 | 0.132377 | 9.022307 | 0.000199 | 0.000393 | 1639.335622 | 0.107193 | 9.17692 | 0.000183 |
| 17 | 0.000511 | 1032.143840 | 0.131980 | 9.020160 | 0.000197 | 0.000418 | 1681.904272 | 0.108999 | 9.176989 | 0.000181 |
| 18 | 0.000559 | 894.514214 | 0.139479 | 8.920820 | 0.000203 | 0.000455 | 1522.996543 | 0.112681 | 9.077648 | 0.000187 |
| 19 | 0.003092 | 546.497845 | 0.286541 | 7.993222 | 0.000272 | 0.00243 | 977.560636 | 0.248332 | 8.186916 | 0.000253 |
| 20 | 0.008223 | 711.721464 | 0.326339 | 7.689037 | 0.000241 | 0.006394 | 1203.423554 | 0.288594 | 7.864927 | 0.000224 |
| Mean | 0.001015 | 897.658340 | 0.150960 | 8.865626 | 0.000214 | 0.000806 | 1524.106602 | 0.123608 | 9.031301 | 0.000196 |

Tabel Lampiran 3.8 Hasil Perhitungan GLCM Dataset 4 Kelas Batik Sudut 90° dan Sudut 135°

| No. Citra | G90.asm | G90.kontras | G90.idm | G90.entropi | G90.korelasi | G135.asm | G135.kontras | G135.idm | G135.entropi | G135.korelasi |
|-----------|----------|-------------|----------|-------------|--------------|----------|--------------|----------|--------------|---------------|
| 1 | 0.000463 | 868.115444 | 0.134795 | 9.009489 | 0.000202 | 0.000362 | 1642.212211 | 0.102236 | 9.222747 | 0.000183 |
| 2 | 0.000843 | 703.833979 | 0.1655 | 8.541734 | 0.000272 | 0.00066 | 1400.378387 | 0.129378 | 8.766631 | 0.00024 |
| 3 | 0.000319 | 816.346565 | 0.127389 | 9.155288 | 0.000205 | 0.00024 | 1424.08277 | 0.095558 | 9.36729 | 0.00019 |
| 4 | 0.000481 | 800.186558 | 0.137699 | 8.959922 | 0.000203 | 0.000371 | 1519.394832 | 0.1028 | 9.191655 | 0.000185 |
| 5 | 0.000445 | 833.093186 | 0.14129 | 8.985403 | 0.000203 | 0.000331 | 1568.602331 | 0.102743 | 9.226046 | 0.000185 |
| 6 | 0.000424 | 877.537386 | 0.134334 | 9.026857 | 0.000201 | 0.000333 | 1710.387392 | 0.102036 | 9.248528 | 0.00018 |
| 7 | 0.000541 | 950.804483 | 0.139042 | 8.929248 | 0.000199 | 0.000423 | 1834.799414 | 0.108567 | 9.139694 | 0.000177 |
| 8 | 0.000701 | 787.643422 | 0.14939 | 8.709463 | 0.000246 | 0.000557 | 1536.475122 | 0.11351 | 8.926313 | 0.000217 |
| 9 | 0.000491 | 727.156736 | 0.145506 | 8.90777 | 0.00022 | 0.000367 | 1309.513578 | 0.106931 | 9.131508 | 0.000203 |
| 10 | 0.000398 | 874.310962 | 0.133349 | 9.049646 | 0.0002 | 0.000319 | 1559.874248 | 0.104856 | 9.246184 | 0.000183 |
| 11 | 0.000478 | 857.036177 | 0.13386 | 8.971892 | 0.000202 | 0.000384 | 1548.054731 | 0.103526 | 9.165961 | 0.000185 |
| 12 | 0.000483 | 872.164099 | 0.135207 | 8.985703 | 0.000207 | 0.000379 | 1749.878945 | 0.104013 | 9.210765 | 0.000184 |
| 13 | 0.000666 | 803.030241 | 0.155615 | 8.788093 | 0.000211 | 0.000502 | 1588.582941 | 0.114317 | 9.029884 | 0.00019 |
| 14 | 0.000495 | 786.076539 | 0.141109 | 8.919222 | 0.000229 | 0.000401 | 1389.483523 | 0.112425 | 9.101845 | 0.000209 |
| 15 | 0.000521 | 854.996993 | 0.134895 | 8.948548 | 0.000196 | 0.000429 | 1566.130619 | 0.109047 | 9.133284 | 0.00018 |
| 16 | 0.000489 | 871.838598 | 0.136831 | 8.982721 | 0.000203 | 0.000392 | 1707.701655 | 0.106327 | 9.184354 | 0.000182 |
| 17 | 0.000532 | 891.31448 | 0.140695 | 8.968777 | 0.000201 | 0.000417 | 1733.836521 | 0.109366 | 9.175746 | 0.00018 |
| 18 | 0.000576 | 850.749752 | 0.145265 | 8.880211 | 0.000204 | 0.000446 | 1609.175042 | 0.111048 | 9.099554 | 0.000185 |
| 19 | 0.003526 | 503.263857 | 0.315297 | 7.9029 | 0.000275 | 0.002466 | 911.297213 | 0.252592 | 8.14808 | 0.000257 |
| 20 | 0.008792 | 647.622605 | 0.345268 | 7.628313 | 0.000243 | 0.006375 | 1235.409697 | 0.288119 | 7.878103 | 0.000222 |
| Mean | 0.001083 | 808.856103 | 0.159617 | 8.812560 | 0.000216 | 0.000808 | 1527.263559 | 0.123970 | 9.029709 | 0.000196 |

Tabel Lampiran 3.9 Hasil Perhitungan GLCM Dataset 5 Kelas Batik Sudut 0° dan Sudut 45°

| No. Citra | G0.asm | G0.kontras | G0.idm | G0.entropi | G0.korelasi | G45.asm | G45.kontras | G45.idm | G45.entropi | G45.korelasi |
|-----------|----------|-------------|----------|------------|-------------|----------|-------------|----------|-------------|--------------|
| 1 | 0.000956 | 756.449315 | 0.165476 | 8.525323 | 0.000267 | 0.000775 | 1187.938558 | 0.137451 | 8.658955 | 0.000247 |
| 2 | 0.000286 | 889.124527 | 0.114369 | 9.223522 | 0.000203 | 0.000236 | 1638.682234 | 0.091688 | 9.406368 | 0.000184 |
| 3 | 0.000505 | 1007.940340 | 0.131173 | 8.971494 | 0.000197 | 0.00042 | 1665.233105 | 0.107035 | 9.1279 | 0.000181 |
| 4 | 0.000468 | 966.781078 | 0.133325 | 8.963163 | 0.000196 | 0.000379 | 1529.979307 | 0.105105 | 9.113057 | 0.000183 |
| 5 | 0.000439 | 822.179940 | 0.130134 | 8.991115 | 0.000217 | 0.000368 | 1474.028861 | 0.106215 | 9.161804 | 0.000198 |
| 6 | 0.000481 | 1034.003472 | 0.130282 | 9.018780 | 0.000199 | 0.000395 | 1682.21824 | 0.10819 | 9.165558 | 0.000183 |
| 7 | 0.000618 | 886.317828 | 0.141738 | 8.859544 | 0.000209 | 0.000507 | 1452.060512 | 0.114801 | 9.008966 | 0.000194 |
| 8 | 0.000426 | 870.143453 | 0.136760 | 8.970955 | 0.000214 | 0.000342 | 1540.175104 | 0.107803 | 9.166651 | 0.000195 |
| 9 | 0.000433 | 1047.285433 | 0.128724 | 9.068918 | 0.000191 | 0.000351 | 1757.341295 | 0.103977 | 9.241139 | 0.000175 |
| 10 | 0.006680 | 672.155977 | 0.288785 | 7.740663 | 0.000248 | 0.005273 | 1168.368374 | 0.252044 | 7.915853 | 0.00023 |
| 11 | 0.000131 | 1170.610174 | 0.081823 | 9.543836 | 0.000176 | 0.000101 | 2223.253705 | 0.060714 | 9.742546 | 0.000155 |
| 12 | 0.000121 | 1268.559536 | 0.079619 | 9.600344 | 0.000170 | 0.000096 | 2249.826648 | 0.060231 | 9.783525 | 0.000152 |
| 13 | 0.000136 | 1206.248992 | 0.083234 | 9.571500 | 0.000180 | 0.000108 | 2111.207483 | 0.06241 | 9.753059 | 0.000161 |
| 14 | 0.000133 | 1319.310388 | 0.080955 | 9.578346 | 0.000177 | 0.000109 | 2165.687783 | 0.062712 | 9.730538 | 0.000159 |
| 15 | 0.000109 | 1185.964551 | 0.079185 | 9.616849 | 0.000174 | 0.000084 | 2232.691084 | 0.058937 | 9.818674 | 0.000153 |
| 16 | 0.000126 | 1220.097402 | 0.081285 | 9.573539 | 0.000172 | 0.0001 | 2195.858981 | 0.060186 | 9.759796 | 0.000153 |
| 17 | 0.000113 | 1161.522289 | 0.078159 | 9.646665 | 0.000184 | 0.000091 | 2080.44792 | 0.05863 | 9.8278 | 0.000163 |
| 18 | 0.000135 | 1221.081856 | 0.083277 | 9.520659 | 0.000179 | 0.000108 | 2138.784984 | 0.063498 | 9.697314 | 0.00016 |
| 19 | 0.000125 | 1223.756882 | 0.080982 | 9.557888 | 0.000177 | 0.000101 | 2155.032984 | 0.062505 | 9.732985 | 0.000158 |
| 20 | 0.004358 | 916.439953 | 0.255166 | 8.357514 | 0.000191 | 0.003265 | 1498.339776 | 0.222353 | 8.54045 | 0.000178 |
| Mean | 0.000839 | 1042.298669 | 0.124223 | 9.145031 | 0.000196 | 0.000660 | 1807.357847 | 0.100324 | 9.317647 | 0.000178 |

Tabel Lampiran 3.10 Hasil Perhitungan GLCM Dataset 5 Kelas Batik Sudut 90° dan Sudut 135°

| No. Citra | G90.asm | G90.kontras | G90.idm | G90.entropi | G90.korelasi | G135.asm | G135.kontras | G135.idm | G135.entropi | G135.korelasi |
|-----------|----------|-------------|----------|-------------|--------------|----------|--------------|----------|--------------|---------------|
| 1 | 0.000991 | 692.154148 | 0.178505 | 8.456207 | 0.00027 | 0.000748 | 1404.374124 | 0.132726 | 8.710839 | 0.000237 |
| 2 | 0.000319 | 816.346565 | 0.127389 | 9.155288 | 0.000205 | 0.00024 | 1424.08277 | 0.095558 | 9.36729 | 0.00019 |
| 3 | 0.000541 | 950.804483 | 0.139042 | 8.929248 | 0.000199 | 0.000423 | 1834.799414 | 0.108567 | 9.139694 | 0.000177 |
| 4 | 0.000517 | 866.012865 | 0.146994 | 8.885689 | 0.000199 | 0.000389 | 1767.309939 | 0.107187 | 9.134079 | 0.000177 |
| 5 | 0.000491 | 727.156736 | 0.145506 | 8.90777 | 0.00022 | 0.000367 | 1309.513578 | 0.106931 | 9.131508 | 0.000203 |
| 6 | 0.000527 | 868.693409 | 0.14521 | 8.933333 | 0.000203 | 0.000401 | 1723.269298 | 0.110353 | 9.161707 | 0.000182 |
| 7 | 0.000666 | 803.030241 | 0.155615 | 8.788093 | 0.000211 | 0.000502 | 1588.582941 | 0.114317 | 9.029884 | 0.00019 |
| 8 | 0.000431 | 785.485244 | 0.138024 | 8.950292 | 0.000216 | 0.00035 | 1423.958739 | 0.112935 | 9.132757 | 0.000198 |
| 9 | 0.000443 | 902.168361 | 0.131346 | 9.026981 | 0.000195 | 0.000355 | 1707.262741 | 0.103709 | 9.227451 | 0.000176 |
| 10 | 0.007459 | 601.578709 | 0.304821 | 7.679077 | 0.000251 | 0.005276 | 1100.041664 | 0.25005 | 7.908037 | 0.000233 |
| 11 | 0.000129 | 1099.424236 | 0.08058 | 9.528668 | 0.000178 | 0.000105 | 1994.374899 | 0.063593 | 9.711765 | 0.00016 |
| 12 | 0.000126 | 1116.660472 | 0.082732 | 9.562123 | 0.000173 | 0.000098 | 2188.286131 | 0.060349 | 9.772756 | 0.000153 |
| 13 | 0.000141 | 999.746435 | 0.086192 | 9.514172 | 0.000184 | 0.00011 | 1994.017376 | 0.064367 | 9.734819 | 0.000163 |
| 14 | 0.000142 | 1139.781279 | 0.084515 | 9.523924 | 0.000181 | 0.000107 | 2397.762617 | 0.062111 | 9.759158 | 0.000154 |
| 15 | 0.000109 | 1188.620761 | 0.078617 | 9.610069 | 0.000174 | 0.000085 | 2194.650583 | 0.058502 | 9.810995 | 0.000154 |
| 16 | 0.000131 | 1123.983802 | 0.083928 | 9.536588 | 0.000173 | 0.000103 | 2164.85213 | 0.060587 | 9.743307 | 0.000154 |
| 17 | 0.000119 | 1073.58384 | 0.079147 | 9.603754 | 0.000185 | 0.000093 | 2073.450353 | 0.05936 | 9.813139 | 0.000164 |
| 18 | 0.000143 | 1073.100781 | 0.087884 | 9.468929 | 0.000182 | 0.000109 | 2129.290982 | 0.063503 | 9.692346 | 0.00016 |
| 19 | 0.000132 | 1130.544749 | 0.085851 | 9.515124 | 0.000179 | 0.000101 | 2213.926127 | 0.061774 | 9.731516 | 0.000157 |
| 20 | 0.004216 | 777.298484 | 0.259207 | 8.322268 | 0.000194 | 0.003182 | 1668.771917 | 0.217874 | 8.558126 | 0.000174 |
| Mean | 0.000889 | 936.808780 | 0.131055 | 9.094880 | 0.000199 | 0.000657 | 1815.128916 | 0.100718 | 9.313559 | 0.000178 |

Tabel Lampiran 3.11 Hasil Perhitungan GLCM Dataset 6 Kelas Batik Sudut 0° dan Sudut 45°

| No. Citra | G0.asm | G0.kontras | G0.idm | G0.entropi | G0.korelasi | G45.asm | G45.kontras | G45.idm | G45.entropi | G45.korelasi |
|-----------|----------|-------------|----------|------------|-------------|----------|-------------|----------|-------------|--------------|
| 1 | 0.000131 | 1170.610174 | 0.081823 | 9.543836 | 0.000176 | 0.000101 | 2223.253705 | 0.060714 | 9.742546 | 0.000155 |
| 2 | 0.000121 | 1268.559536 | 0.079619 | 9.600344 | 0.000170 | 0.000096 | 2249.826648 | 0.060231 | 9.783525 | 0.000152 |
| 3 | 0.000136 | 1206.248992 | 0.083234 | 9.571500 | 0.000180 | 0.000108 | 2111.207483 | 0.06241 | 9.753059 | 0.000161 |
| 4 | 0.000119 | 1245.294284 | 0.079797 | 9.616220 | 0.000171 | 0.000094 | 2162.597495 | 0.059262 | 9.799535 | 0.000154 |
| 5 | 0.000152 | 1212.208940 | 0.085781 | 9.503751 | 0.000188 | 0.000123 | 2025.057862 | 0.064947 | 9.665089 | 0.000169 |
| 6 | 0.000164 | 1240.394879 | 0.087812 | 9.475736 | 0.000188 | 0.000132 | 1984.917245 | 0.067179 | 9.628469 | 0.00017 |
| 7 | 0.000158 | 1211.539587 | 0.086617 | 9.470753 | 0.000183 | 0.000125 | 2054.363321 | 0.064846 | 9.639789 | 0.000165 |
| 8 | 0.000113 | 1276.677677 | 0.077302 | 9.614534 | 0.000164 | 0.000088 | 2358.160441 | 0.059295 | 9.803306 | 0.000146 |
| 9 | 0.000114 | 1295.622822 | 0.076933 | 9.611063 | 0.000168 | 0.000092 | 2262.617769 | 0.059293 | 9.785681 | 0.000151 |
| 10 | 0.000126 | 1302.190619 | 0.079130 | 9.601692 | 0.000172 | 0.000103 | 2245.402334 | 0.060518 | 9.764263 | 0.000154 |
| 11 | 0.000133 | 1319.310388 | 0.080955 | 9.578346 | 0.000177 | 0.000109 | 2165.687783 | 0.062712 | 9.730538 | 0.000159 |
| 12 | 0.000133 | 1257.486406 | 0.081450 | 9.555928 | 0.000172 | 0.000105 | 2270.071424 | 0.059374 | 9.734648 | 0.000153 |
| 13 | 0.000121 | 1284.287014 | 0.081195 | 9.587116 | 0.000168 | 0.000094 | 2348.738762 | 0.058736 | 9.773605 | 0.000148 |
| 14 | 0.000118 | 1302.124481 | 0.079251 | 9.622026 | 0.000175 | 0.000096 | 2261.796066 | 0.058397 | 9.783058 | 0.000155 |
| 15 | 0.000119 | 1332.478811 | 0.076062 | 9.602071 | 0.000166 | 0.000097 | 2277.361724 | 0.060109 | 9.760623 | 0.000149 |
| 16 | 0.000110 | 1333.375209 | 0.075084 | 9.629507 | 0.000166 | 0.000086 | 2441.636772 | 0.055501 | 9.809748 | 0.000146 |
| 17 | 0.000135 | 1221.081856 | 0.083277 | 9.520659 | 0.000179 | 0.000108 | 2138.784984 | 0.063498 | 9.697314 | 0.00016 |
| 18 | 0.000123 | 1193.939627 | 0.081057 | 9.565893 | 0.000174 | 0.000097 | 2120.265655 | 0.061402 | 9.753795 | 0.000156 |
| 19 | 0.000148 | 1325.149482 | 0.081958 | 9.543452 | 0.000170 | 0.000122 | 2238.000558 | 0.062931 | 9.69806 | 0.000153 |
| 20 | 0.000123 | 1323.380758 | 0.078740 | 9.597832 | 0.000169 | 0.0001 | 2222.230532 | 0.060373 | 9.760219 | 0.000152 |
| Mean | 0.000130 | 1266.098077 | 0.080854 | 9.570613 | 0.000174 | 0.000104 | 2208.098928 | 0.061086 | 9.743344 | 0.000155 |

Tabel Lampiran 3.12 Hasil Perhitungan GLCM Dataset 6 Kelas Batik Sudut 90° dan Sudut 135°

| No. Citra | G90.asm | G90.kontras | G90.idm | G90.entropi | G90.korelasi | G135.asm | G135.kontras | G135.idm | G135.entropi | G135.korelasi |
|-----------|----------|-------------|----------|-------------|--------------|----------|--------------|----------|--------------|---------------|
| 1 | 0.000129 | 1099.424236 | 0.08058 | 9.528668 | 0.000178 | 0.000105 | 1994.374899 | 0.063593 | 9.711765 | 0.00016 |
| 2 | 0.000126 | 1116.660472 | 0.082732 | 9.562123 | 0.000173 | 0.000098 | 2188.286131 | 0.060349 | 9.772756 | 0.000153 |
| 3 | 0.000141 | 999.746435 | 0.086192 | 9.514172 | 0.000184 | 0.00011 | 1994.017376 | 0.064367 | 9.734819 | 0.000163 |
| 4 | 0.00012 | 1098.481524 | 0.081138 | 9.582556 | 0.000174 | 0.000095 | 2194.074261 | 0.061697 | 9.79273 | 0.000153 |
| 5 | 0.000158 | 1099.3244 | 0.089029 | 9.463671 | 0.000191 | 0.000121 | 2243.947889 | 0.06455 | 9.691562 | 0.000164 |
| 6 | 0.000172 | 1072.951314 | 0.090068 | 9.424542 | 0.000192 | 0.000131 | 2303.370079 | 0.065754 | 9.657198 | 0.000163 |
| 7 | 0.000163 | 1143.540595 | 0.089216 | 9.447951 | 0.000185 | 0.000124 | 2304.00496 | 0.066031 | 9.664687 | 0.000159 |
| 8 | 0.000116 | 1188.13437 | 0.080897 | 9.577376 | 0.000166 | 0.00009 | 2223.754867 | 0.059287 | 9.782984 | 0.000148 |
| 9 | 0.000124 | 1083.217357 | 0.084189 | 9.542702 | 0.000172 | 0.000096 | 2158.447331 | 0.062293 | 9.761159 | 0.000152 |
| 10 | 0.000133 | 1204.422701 | 0.082928 | 9.558908 | 0.000174 | 0.000102 | 2401.785201 | 0.060147 | 9.776679 | 0.000151 |
| 11 | 0.000142 | 1139.781279 | 0.084515 | 9.523924 | 0.000181 | 0.000107 | 2397.762617 | 0.062111 | 9.759158 | 0.000154 |
| 12 | 0.000131 | 1254.592163 | 0.078872 | 9.549952 | 0.000172 | 0.000105 | 2390.758324 | 0.061113 | 9.745114 | 0.00015 |
| 13 | 0.000123 | 1200.680575 | 0.08157 | 9.556442 | 0.000169 | 0.000096 | 2277.597294 | 0.059326 | 9.760043 | 0.00015 |
| 14 | 0.000122 | 1199.07268 | 0.080007 | 9.580066 | 0.000177 | 0.000095 | 2366.316991 | 0.059736 | 9.800955 | 0.000153 |
| 15 | 0.000124 | 1217.559365 | 0.081005 | 9.55795 | 0.000168 | 0.000096 | 2446.949284 | 0.059538 | 9.780428 | 0.000146 |
| 16 | 0.000108 | 1326.843186 | 0.072959 | 9.62181 | 0.000166 | 0.000087 | 2475.601169 | 0.056713 | 9.811073 | 0.000146 |
| 17 | 0.000143 | 1073.100781 | 0.087884 | 9.468929 | 0.000182 | 0.000109 | 2129.290982 | 0.063503 | 9.692346 | 0.00016 |
| 18 | 0.000124 | 1128.883688 | 0.080507 | 9.544504 | 0.000175 | 0.000098 | 2178.544842 | 0.061337 | 9.748292 | 0.000155 |
| 19 | 0.000155 | 1135.666424 | 0.086844 | 9.486714 | 0.000174 | 0.000121 | 2324.05718 | 0.063419 | 9.70808 | 0.000151 |
| 20 | 0.000127 | 1267.490188 | 0.080864 | 9.577205 | 0.00017 | 0.000096 | 2570.627348 | 0.058221 | 9.798493 | 0.000146 |
| Mean | 0.000134 | 1152.478687 | 0.083100 | 9.533508 | 0.000176 | 0.000104 | 2278.178451 | 0.061654 | 9.747516 | 0.000154 |

Tabel Lampiran 3.13 Hasil Perhitungan GLCM Dataset 7 Kelas Batik Sudut 0° dan Sudut 45°

| No. Citra | G0.asm | G0.kontras | G0.idm | G0.entropi | G0.korelasi | G45.asm | G45.kontras | G45.idm | G45.entropi | G45.korelasi |
|-----------|----------|-------------|----------|------------|-------------|----------|-------------|----------|-------------|--------------|
| 1 | 0.000072 | 1492.940092 | 0.052199 | 9.865169 | 0.000205 | 0.000061 | 2575.462211 | 0.042102 | 10.012753 | 0.00017 |
| 2 | 0.000088 | 1247.277807 | 0.057634 | 9.729157 | 0.000229 | 0.000073 | 2139.345434 | 0.045165 | 9.892054 | 0.000195 |
| 3 | 0.000063 | 1703.190526 | 0.048609 | 9.952297 | 0.000191 | 0.000053 | 2850.653574 | 0.038425 | 10.099675 | 0.000158 |
| 4 | 0.000072 | 1571.408550 | 0.051684 | 9.878958 | 0.000204 | 0.000061 | 2549.140709 | 0.042201 | 10.014324 | 0.000172 |
| 5 | 0.000091 | 1369.033031 | 0.054804 | 9.744427 | 0.000238 | 0.000078 | 2037.795679 | 0.046389 | 9.855713 | 0.000208 |
| 6 | 0.000077 | 1338.603943 | 0.052492 | 9.803444 | 0.000231 | 0.000067 | 2035.545493 | 0.044109 | 9.925509 | 0.000202 |
| 7 | 0.000084 | 1447.293633 | 0.055488 | 9.773781 | 0.000227 | 0.000073 | 2185.244265 | 0.045728 | 9.889102 | 0.000197 |
| 8 | 0.000076 | 1405.877906 | 0.051662 | 9.813278 | 0.000224 | 0.000067 | 2114.052762 | 0.046134 | 9.929641 | 0.000197 |
| 9 | 0.000072 | 1556.234732 | 0.051243 | 9.846227 | 0.000204 | 0.000061 | 2641.952973 | 0.04172 | 9.997089 | 0.000169 |
| 10 | 0.000072 | 1528.031388 | 0.051473 | 9.858532 | 0.000202 | 0.000061 | 2560.17188 | 0.042598 | 10.006289 | 0.00017 |
| 11 | 0.000113 | 1178.003736 | 0.073474 | 9.560831 | 0.000221 | 0.00009 | 2111.754681 | 0.055349 | 9.745714 | 0.000189 |
| 12 | 0.000146 | 1055.866529 | 0.079263 | 9.417078 | 0.000211 | 0.000119 | 1868.892492 | 0.06179 | 9.595084 | 0.000187 |
| 13 | 0.000128 | 1236.481508 | 0.076575 | 9.546983 | 0.000191 | 0.000099 | 2383.103757 | 0.056508 | 9.750018 | 0.000163 |
| 14 | 0.000137 | 1092.928591 | 0.077878 | 9.478289 | 0.000215 | 0.000111 | 1943.85988 | 0.05855 | 9.656372 | 0.000188 |
| 15 | 0.000161 | 1068.546795 | 0.082209 | 9.383678 | 0.000221 | 0.000129 | 1938.85833 | 0.064266 | 9.561213 | 0.000193 |
| 16 | 0.000111 | 1096.305413 | 0.072788 | 9.569152 | 0.000218 | 0.000091 | 1819.208212 | 0.05747 | 9.73279 | 0.000195 |
| 17 | 0.000176 | 1058.806823 | 0.085789 | 9.351487 | 0.000206 | 0.000141 | 1864.72568 | 0.067398 | 9.526644 | 0.000184 |
| 18 | 0.000124 | 1072.035526 | 0.076046 | 9.501868 | 0.000215 | 0.000103 | 1758.820649 | 0.061051 | 9.655061 | 0.000194 |
| 19 | 0.000192 | 1096.504588 | 0.088085 | 9.313157 | 0.000205 | 0.000156 | 1858.409821 | 0.069533 | 9.47918 | 0.000184 |
| 20 | 0.000162 | 1082.125194 | 0.083544 | 9.404965 | 0.000213 | 0.00013 | 1911.786084 | 0.064725 | 9.578607 | 0.000188 |
| Mean | 0.000111 | 1284.874816 | 0.066147 | 9.639638 | 0.000214 | 0.000091 | 2157.439228 | 0.052561 | 9.795142 | 0.000185 |

Tabel Lampiran 3.14 Hasil Perhitungan GLCM Dataset 7 Kelas Batik Sudut 90° dan Sudut 135°

| No. Citra | G90.asm | G90.kontras | G90.idm | G90.entropi | G90.korelasi | G135.asm | G135.kontras | G135.idm | G135.entropi | G135.korelasi |
|-----------|----------|-------------|----------|-------------|--------------|----------|--------------|----------|--------------|---------------|
| 1 | 0.000079 | 1174.511982 | 0.05774 | 9.7799 | 0.000215 | 0.000063 | 2268.786735 | 0.043942 | 9.986562 | 0.00018 |
| 2 | 0.000096 | 969.321378 | 0.063228 | 9.646901 | 0.00024 | 0.000076 | 1915.35137 | 0.046719 | 9.85958 | 0.000204 |
| 3 | 0.000068 | 1355.829453 | 0.052127 | 9.869405 | 0.000201 | 0.000054 | 2666.473789 | 0.041456 | 10.079873 | 0.000164 |
| 4 | 0.000079 | 1168.910317 | 0.057237 | 9.778948 | 0.000217 | 0.000062 | 2429.601045 | 0.042425 | 10.005351 | 0.000176 |
| 5 | 0.000107 | 1022.875783 | 0.063285 | 9.632335 | 0.000254 | 0.000074 | 2316.015857 | 0.04451 | 9.90116 | 0.000196 |
| 6 | 0.000086 | 1016.875783 | 0.060039 | 9.691 | 0.000244 | 0.000065 | 2260.626279 | 0.043218 | 9.953496 | 0.000193 |
| 7 | 0.000096 | 1062.926235 | 0.062497 | 9.654368 | 0.000243 | 0.000071 | 2369.721852 | 0.045464 | 9.915021 | 0.000189 |
| 8 | 0.000086 | 1072.48405 | 0.058443 | 9.714292 | 0.000237 | 0.000064 | 2377.978501 | 0.043688 | 9.965797 | 0.000186 |
| 9 | 0.00008 | 1233.28379 | 0.059475 | 9.750622 | 0.000214 | 0.000063 | 2428.831515 | 0.044557 | 9.975781 | 0.000176 |
| 10 | 0.00008 | 1185.797384 | 0.058751 | 9.762488 | 0.000213 | 0.000063 | 2364.050825 | 0.044001 | 9.979372 | 0.000176 |
| 11 | 0.00012 | 1006.083328 | 0.078527 | 9.505428 | 0.000226 | 0.000096 | 1792.163107 | 0.058535 | 9.697865 | 0.0002 |
| 12 | 0.000155 | 930.806172 | 0.086295 | 9.373926 | 0.000214 | 0.000121 | 1694.273173 | 0.063187 | 9.569722 | 0.000192 |
| 13 | 0.000128 | 1184.361259 | 0.075849 | 9.537361 | 0.000192 | 0.000106 | 1944.516694 | 0.060487 | 9.692253 | 0.000173 |
| 14 | 0.000144 | 976.961777 | 0.081893 | 9.439657 | 0.000218 | 0.000113 | 1760.44482 | 0.061143 | 9.630857 | 0.000194 |
| 15 | 0.000169 | 960.346984 | 0.088783 | 9.342094 | 0.000225 | 0.000136 | 1691.844783 | 0.068667 | 9.519219 | 0.000201 |
| 16 | 0.000119 | 944.98636 | 0.07952 | 9.510286 | 0.000223 | 0.000091 | 1854.878356 | 0.058032 | 9.732357 | 0.000194 |
| 17 | 0.000182 | 939.892383 | 0.091168 | 9.31314 | 0.000209 | 0.000144 | 1719.114173 | 0.068139 | 9.502901 | 0.000188 |
| 18 | 0.000133 | 918.037185 | 0.082079 | 9.442729 | 0.00022 | 0.000101 | 1817.020677 | 0.059256 | 9.666085 | 0.000192 |
| 19 | 0.0002 | 973.648428 | 0.093548 | 9.270303 | 0.000209 | 0.000156 | 1843.340086 | 0.069504 | 9.477713 | 0.000184 |
| 20 | 0.000164 | 1072.578275 | 0.084871 | 9.398579 | 0.000213 | 0.00013 | 1941.077268 | 0.064833 | 9.585863 | 0.000187 |
| Mean | 0.000119 | 1058.525915 | 0.071768 | 9.570688 | 0.000221 | 0.000092 | 2072.805545 | 0.053588 | 9.784841 | 0.000187 |

Tabel Lampiran 3.15 Hasil Perhitungan GLCM Dataset 8 Kelas Batik Sudut 0° dan Sudut 45°

| No. Citra | G0.asm | G0.kontras | G0.idm | G0.entropi | G0.korelasi | G45.asm | G45.kontras | G45.idm | G45.entropi | G45.korelasi |
|-----------|----------|-------------|----------|------------|-------------|----------|-------------|----------|-------------|--------------|
| 1 | 0.000097 | 2176.816480 | 0.056319 | 9.805930 | 0.000140 | 0.000082 | 3869.639159 | 0.046402 | 9.956518 | 0.000115 |
| 2 | 0.000254 | 1806.706104 | 0.083056 | 9.373115 | 0.000154 | 0.000203 | 3004.746078 | 0.068092 | 9.518241 | 0.000133 |
| 3 | 0.000272 | 1902.403869 | 0.071708 | 9.421109 | 0.000162 | 0.000225 | 3011.931242 | 0.06057 | 9.548833 | 0.00014 |
| 4 | 0.000158 | 1755.055304 | 0.076192 | 9.522986 | 0.000161 | 0.000126 | 3278.107617 | 0.055953 | 9.695216 | 0.000132 |
| 5 | 0.000114 | 2108.719217 | 0.062517 | 9.717576 | 0.000150 | 0.000094 | 3788.258773 | 0.049985 | 9.869145 | 0.000121 |
| 6 | 0.000077 | 2282.317766 | 0.050329 | 9.880023 | 0.000141 | 0.000065 | 3868.156101 | 0.040579 | 10.024804 | 0.000116 |
| 7 | 0.000134 | 1799.678064 | 0.069159 | 9.608076 | 0.000153 | 0.00011 | 3011.32967 | 0.055038 | 9.766127 | 0.000133 |
| 8 | 0.000101 | 2145.382401 | 0.056971 | 9.793625 | 0.000138 | 0.000085 | 3429.675166 | 0.047482 | 9.925289 | 0.00012 |
| 9 | 0.000099 | 2179.646553 | 0.053012 | 9.790901 | 0.000136 | 0.000083 | 3412.598565 | 0.043738 | 9.917595 | 0.000119 |
| 10 | 0.000165 | 2034.254790 | 0.080098 | 9.672809 | 0.000135 | 0.00013 | 3403.07826 | 0.064099 | 9.827853 | 0.000117 |
| 11 | 0.000146 | 1147.339110 | 0.079101 | 9.451271 | 0.000219 | 0.000116 | 2085.59951 | 0.05884 | 9.63397 | 0.000188 |
| 12 | 0.000146 | 1055.866529 | 0.079263 | 9.417078 | 0.000211 | 0.000119 | 1868.892492 | 0.06179 | 9.595084 | 0.000187 |
| 13 | 0.000137 | 1092.928591 | 0.077878 | 9.478289 | 0.000215 | 0.000111 | 1943.85988 | 0.05855 | 9.656372 | 0.000188 |
| 14 | 0.000122 | 1066.984500 | 0.073169 | 9.498600 | 0.000231 | 0.0001 | 1772.481787 | 0.057908 | 9.666071 | 0.000205 |
| 15 | 0.000135 | 1012.473247 | 0.077535 | 9.450097 | 0.000226 | 0.000111 | 1726.400614 | 0.059344 | 9.616864 | 0.000202 |
| 16 | 0.000119 | 1034.071455 | 0.077104 | 9.513351 | 0.000226 | 0.000097 | 1686.280086 | 0.059026 | 9.675369 | 0.000204 |
| 17 | 0.000124 | 1072.035526 | 0.076046 | 9.501868 | 0.000215 | 0.000103 | 1758.820649 | 0.061051 | 9.655061 | 0.000194 |
| 18 | 0.000192 | 1096.504588 | 0.088085 | 9.313157 | 0.000205 | 0.000156 | 1858.409821 | 0.069533 | 9.47918 | 0.000184 |
| 19 | 0.000124 | 1227.343326 | 0.071775 | 9.534945 | 0.000201 | 0.000103 | 1979.1074 | 0.058409 | 9.682736 | 0.00018 |
| 20 | 0.000137 | 1094.797105 | 0.079441 | 9.479560 | 0.000197 | 0.000112 | 1799.462831 | 0.06331 | 9.639518 | 0.000179 |
| Mean | 0.000143 | 1554.566226 | 0.071938 | 9.561218 | 0.000181 | 0.000117 | 2627.841785 | 0.056985 | 9.717492 | 0.000158 |

Tabel Lampiran 3.16 Hasil Perhitungan GLCM Dataset 8 Kelas Batik Sudut 90° dan Sudut 135°

| No. Citra | G90.asm | G90.kontras | G90.idm | G90.entropi | G90.korelasi | G135.asm | G135.kontras | G135.idm | G135.entropi | G135.korelasi |
|-----------|----------|-------------|----------|-------------|--------------|----------|--------------|----------|--------------|---------------|
| 1 | 0.000105 | 1800.787944 | 0.06101 | 9.740394 | 0.000146 | 0.000084 | 3296.882277 | 0.048339 | 9.916267 | 0.000124 |
| 2 | 0.000337 | 1207.793307 | 0.100285 | 9.220201 | 0.000164 | 0.000247 | 2531.128836 | 0.081752 | 9.454886 | 0.000142 |
| 3 | 0.000338 | 1413.467109 | 0.081527 | 9.309184 | 0.000171 | 0.000223 | 3020.0403 | 0.059943 | 9.557067 | 0.000139 |
| 4 | 0.000157 | 1735.882696 | 0.073508 | 9.521595 | 0.000161 | 0.000133 | 3022.223588 | 0.059364 | 9.670848 | 0.000137 |
| 5 | 0.000122 | 1817.744559 | 0.065948 | 9.663512 | 0.000156 | 0.000098 | 3313.296965 | 0.052098 | 9.833909 | 0.000129 |
| 6 | 0.000084 | 1938.827748 | 0.054128 | 9.825271 | 0.000146 | 0.000066 | 3785.094163 | 0.040414 | 10.015166 | 0.000118 |
| 7 | 0.00015 | 1415.411355 | 0.079953 | 9.531406 | 0.00016 | 0.000118 | 2828.509083 | 0.057908 | 9.728617 | 0.000136 |
| 8 | 0.00012 | 1667.118792 | 0.06431 | 9.696799 | 0.000145 | 0.000084 | 3504.535247 | 0.046815 | 9.925259 | 0.000119 |
| 9 | 0.000113 | 1749.307459 | 0.058052 | 9.713129 | 0.000142 | 0.000078 | 3798.981617 | 0.041503 | 9.953697 | 0.000114 |
| 10 | 0.000174 | 1685.844209 | 0.082614 | 9.612428 | 0.000139 | 0.000134 | 3410.590815 | 0.065011 | 9.819191 | 0.000117 |
| 11 | 0.000153 | 1002.611554 | 0.083051 | 9.403679 | 0.000223 | 0.000122 | 1757.101727 | 0.062151 | 9.592515 | 0.000199 |
| 12 | 0.000155 | 930.806172 | 0.086295 | 9.373926 | 0.000214 | 0.000121 | 1694.273173 | 0.063187 | 9.569722 | 0.000192 |
| 13 | 0.000144 | 976.961777 | 0.081893 | 9.439657 | 0.000218 | 0.000113 | 1760.44482 | 0.061143 | 9.630857 | 0.000194 |
| 14 | 0.00013 | 908.259223 | 0.079737 | 9.444267 | 0.000237 | 0.0001 | 1776.826741 | 0.057472 | 9.664389 | 0.000205 |
| 15 | 0.000147 | 871.460537 | 0.084925 | 9.384947 | 0.000231 | 0.000113 | 1656.12848 | 0.06239 | 9.60278 | 0.000204 |
| 16 | 0.000127 | 915.198059 | 0.081878 | 9.464486 | 0.00023 | 0.000095 | 1819.878418 | 0.058302 | 9.699746 | 0.000199 |
| 17 | 0.000133 | 918.037185 | 0.082079 | 9.442729 | 0.00022 | 0.000101 | 1817.020677 | 0.059256 | 9.666085 | 0.000192 |
| 18 | 0.0002 | 973.648428 | 0.093548 | 9.270303 | 0.000209 | 0.000156 | 1843.340086 | 0.069504 | 9.477713 | 0.000184 |
| 19 | 0.000136 | 1020.540843 | 0.0805 | 9.46351 | 0.000207 | 0.000104 | 2045.947098 | 0.058615 | 9.683092 | 0.000178 |
| 20 | 0.000146 | 957.137175 | 0.087834 | 9.42692 | 0.0002 | 0.000111 | 1900.908271 | 0.062016 | 9.645903 | 0.000176 |
| Mean | 0.000159 | 1295.342307 | 0.078154 | 9.497417 | 0.000186 | 0.000120 | 2529.157619 | 0.058359 | 9.705385 | 0.000160 |

Tabel Lampiran 3.17 Hasil Perhitungan GLCM Dataset 9 Kelas Batik Sudut 0° dan Sudut 45°

| No. Citra | G0.asm | G0.kontras | G0.idm | G0.entropi | G0.korelasi | G45.asm | G45.kontras | G45.idm | G45.entropi | G45.korelasi |
|-----------|----------|-------------|----------|------------|-------------|----------|-------------|----------|-------------|--------------|
| 1 | 0.000176 | 2070.460165 | 0.064225 | 9.560134 | 0.000152 | 0.000155 | 3154.039603 | 0.056288 | 9.67346 | 0.000133 |
| 2 | 0.000101 | 2068.614080 | 0.060511 | 9.780109 | 0.000140 | 0.000087 | 3173.859508 | 0.051714 | 9.906088 | 0.000124 |
| 3 | 0.000115 | 1926.909247 | 0.061392 | 9.708667 | 0.000138 | 0.000097 | 3242.376635 | 0.049995 | 9.844199 | 0.000121 |
| 4 | 0.000116 | 2083.269422 | 0.063808 | 9.696006 | 0.000149 | 0.000102 | 3174.437395 | 0.056199 | 9.808294 | 0.00013 |
| 5 | 0.000087 | 1333.786332 | 0.057594 | 9.751231 | 0.000238 | 0.000072 | 2138.851711 | 0.042984 | 9.893421 | 0.000202 |
| 6 | 0.000073 | 1510.857725 | 0.051519 | 9.861970 | 0.000206 | 0.000062 | 2453.612406 | 0.042184 | 10.002814 | 0.000175 |
| 7 | 0.000113 | 1231.050871 | 0.061355 | 9.619056 | 0.000254 | 0.000096 | 1861.649854 | 0.05249 | 9.744522 | 0.000223 |
| 8 | 0.000077 | 1338.603943 | 0.052492 | 9.803444 | 0.000231 | 0.000067 | 2035.545493 | 0.044109 | 9.925509 | 0.000202 |
| 9 | 0.000144 | 1236.010246 | 0.081514 | 9.492311 | 0.000194 | 0.000112 | 2316.799027 | 0.061596 | 9.687165 | 0.000166 |
| 10 | 0.000124 | 1166.464055 | 0.077126 | 9.509669 | 0.000198 | 0.000097 | 2168.274707 | 0.058194 | 9.711375 | 0.000172 |
| 11 | 0.000173 | 1045.239677 | 0.085512 | 9.372137 | 0.000209 | 0.000141 | 1793.708723 | 0.066686 | 9.545779 | 0.000188 |
| 12 | 0.000138 | 1027.068913 | 0.078915 | 9.441768 | 0.000220 | 0.000114 | 1724.319301 | 0.062726 | 9.601627 | 0.000198 |
| 13 | 0.000578 | 933.338784 | 0.146430 | 8.845787 | 0.000233 | 0.00046 | 1490.514632 | 0.116522 | 8.99885 | 0.000213 |
| 14 | 0.000444 | 927.074462 | 0.127766 | 9.043427 | 0.000204 | 0.000363 | 1627.133083 | 0.102886 | 9.216418 | 0.000186 |
| 15 | 0.000700 | 780.498295 | 0.147635 | 8.714458 | 0.000246 | 0.000565 | 1281.604393 | 0.117921 | 8.875591 | 0.000227 |
| 16 | 0.000481 | 1034.003472 | 0.130282 | 9.018780 | 0.000199 | 0.000395 | 1682.21824 | 0.10819 | 9.165558 | 0.000183 |
| 17 | 0.000119 | 1332.478811 | 0.076062 | 9.602071 | 0.000166 | 0.000097 | 2277.361724 | 0.060109 | 9.760623 | 0.000149 |
| 18 | 0.000103 | 1344.681474 | 0.071614 | 9.678163 | 0.000170 | 0.000084 | 2293.707979 | 0.055775 | 9.843347 | 0.000152 |
| 19 | 0.000123 | 1193.939627 | 0.081057 | 9.565893 | 0.000174 | 0.000097 | 2120.265655 | 0.061402 | 9.753795 | 0.000156 |
| 20 | 0.000123 | 1323.380758 | 0.078740 | 9.597832 | 0.000169 | 0.0001 | 2222.230532 | 0.060373 | 9.760219 | 0.000152 |
| Mean | 0.000205 | 1345.386518 | 0.082777 | 9.483146 | 0.000195 | 0.000168 | 2211.625530 | 0.066417 | 9.635933 | 0.000173 |

Tabel Lampiran 3.18 Hasil Perhitungan GLCM Dataset 9 Kelas Batik Sudut 90° dan Sudut 135°

| No. Citra | G90.asm | G90.kontras | G90.idm | G90.entropi | G90.korelasi | G135.asm | G135.kontras | G135.idm | G135.entropi | G135.korelasi |
|-----------|----------|-------------|----------|-------------|--------------|----------|--------------|----------|--------------|---------------|
| 1 | 0.00022 | 1631.622388 | 0.073036 | 9.47273 | 0.00016 | 0.000137 | 3560.780892 | 0.051044 | 9.709579 | 0.000126 |
| 2 | 0.000113 | 1546.096131 | 0.069151 | 9.6871 | 0.000147 | 0.000084 | 3336.606098 | 0.046061 | 9.913178 | 0.000121 |
| 3 | 0.000126 | 1726.165261 | 0.063301 | 9.655784 | 0.000141 | 0.000093 | 3490.534069 | 0.047533 | 9.868942 | 0.000117 |
| 4 | 0.000132 | 1658.413138 | 0.069964 | 9.620496 | 0.000156 | 0.000095 | 3605.256944 | 0.051271 | 9.85019 | 0.000123 |
| 5 | 0.000094 | 1064.355679 | 0.058023 | 9.667858 | 0.000249 | 0.000071 | 2230.681288 | 0.043926 | 9.909386 | 0.000198 |
| 6 | 0.00008 | 1145.542145 | 0.055812 | 9.774366 | 0.000217 | 0.000063 | 2370.918501 | 0.044597 | 9.993065 | 0.000178 |
| 7 | 0.000131 | 960.196788 | 0.068333 | 9.529156 | 0.000268 | 0.000091 | 2125.269127 | 0.049084 | 9.784356 | 0.00021 |
| 8 | 0.000086 | 1016.875783 | 0.060039 | 9.691 | 0.000244 | 0.000065 | 2260.626279 | 0.043218 | 9.953496 | 0.000193 |
| 9 | 0.000148 | 1113.283651 | 0.084987 | 9.45724 | 0.000197 | 0.00012 | 1868.472906 | 0.06487 | 9.624293 | 0.000178 |
| 10 | 0.000129 | 1035.185551 | 0.08172 | 9.473313 | 0.000201 | 0.000104 | 1765.693502 | 0.063091 | 9.648789 | 0.000182 |
| 11 | 0.000183 | 912.209715 | 0.091165 | 9.322396 | 0.000213 | 0.000143 | 1716.035216 | 0.067707 | 9.529804 | 0.00019 |
| 12 | 0.000149 | 867.867955 | 0.087376 | 9.374939 | 0.000225 | 0.000115 | 1673.176576 | 0.06386 | 9.591448 | 0.000199 |
| 13 | 0.000591 | 800.768368 | 0.151244 | 8.77683 | 0.000237 | 0.000468 | 1621.244172 | 0.119315 | 9.010384 | 0.000208 |
| 14 | 0.000455 | 839.093589 | 0.130588 | 9.002358 | 0.000206 | 0.000375 | 1529.12786 | 0.105078 | 9.193722 | 0.000188 |
| 15 | 0.000701 | 787.643422 | 0.14939 | 8.709463 | 0.000246 | 0.000557 | 1536.475122 | 0.11351 | 8.926313 | 0.000217 |
| 16 | 0.000527 | 868.693409 | 0.14521 | 8.933333 | 0.000203 | 0.000401 | 1723.269298 | 0.110353 | 9.161707 | 0.000182 |
| 17 | 0.000124 | 1217.559365 | 0.081005 | 9.55795 | 0.000168 | 0.000096 | 2446.949284 | 0.059538 | 9.780428 | 0.000146 |
| 18 | 0.000107 | 1262.214086 | 0.075665 | 9.650602 | 0.000172 | 0.000082 | 2535.771406 | 0.055429 | 9.870737 | 0.000147 |
| 19 | 0.000124 | 1128.883688 | 0.080507 | 9.544504 | 0.000175 | 0.000098 | 2178.544842 | 0.061337 | 9.748292 | 0.000155 |
| 20 | 0.000127 | 1267.490188 | 0.080864 | 9.577205 | 0.00017 | 0.000096 | 2570.627348 | 0.058221 | 9.798493 | 0.000146 |
| Mean | 0.000217 | 1142.508015 | 0.087869 | 9.423931 | 0.000200 | 0.000168 | 2307.303037 | 0.065952 | 9.643330 | 0.000170 |

Tabel Lampiran 3.19 Hasil Perhitungan GLCM Dataset 10 Kelas Batik Sudut 0° dan Sudut 45°

| No. Citra | G0.asm | G0.kontras | G0.idm | G0.entropi | G0.korelasi | G45.asm | G45.kontras | G45.idm | G45.entropi | G45.korelasi |
|-----------|----------|-------------|----------|------------|-------------|----------|-------------|----------|-------------|--------------|
| 1 | 0.000272 | 1902.403869 | 0.071708 | 9.421109 | 0.000162 | 0.000225 | 3011.931242 | 0.06057 | 9.548833 | 0.00014 |
| 2 | 0.000158 | 1755.055304 | 0.076192 | 9.522986 | 0.000161 | 0.000126 | 3278.107617 | 0.055953 | 9.695216 | 0.000132 |
| 3 | 0.000116 | 1818.281465 | 0.067957 | 9.684079 | 0.000145 | 0.000092 | 3223.846457 | 0.052215 | 9.853259 | 0.000124 |
| 4 | 0.000105 | 1973.429227 | 0.058865 | 9.751334 | 0.000143 | 0.000085 | 3460.708491 | 0.047077 | 9.90714 | 0.000121 |
| 5 | 0.000078 | 1450.313922 | 0.053575 | 9.803383 | 0.000226 | 0.000068 | 2223.246869 | 0.045782 | 9.925157 | 0.000195 |
| 6 | 0.000065 | 1626.361104 | 0.048793 | 9.923179 | 0.000197 | 0.000056 | 2738.744683 | 0.039545 | 10.064303 | 0.000163 |
| 7 | 0.000066 | 1681.396692 | 0.049173 | 9.932737 | 0.000197 | 0.000057 | 2686.165866 | 0.040959 | 10.055715 | 0.000166 |
| 8 | 0.000067 | 1536.386090 | 0.048668 | 9.903192 | 0.000209 | 0.000058 | 2423.866653 | 0.041298 | 10.033841 | 0.000179 |
| 9 | 0.000173 | 1045.239677 | 0.085512 | 9.372137 | 0.000209 | 0.000141 | 1793.708723 | 0.066686 | 9.545779 | 0.000188 |
| 10 | 0.000138 | 1027.068913 | 0.078915 | 9.441768 | 0.000220 | 0.000114 | 1724.319301 | 0.062726 | 9.601627 | 0.000198 |
| 11 | 0.000148 | 1165.882153 | 0.081095 | 9.471927 | 0.000193 | 0.00012 | 1975.337591 | 0.065001 | 9.636383 | 0.000173 |
| 12 | 0.000187 | 1154.795849 | 0.087917 | 9.354329 | 0.000198 | 0.000153 | 1935.461947 | 0.06921 | 9.508553 | 0.000178 |
| 13 | 0.000996 | 749.532364 | 0.167972 | 8.438284 | 0.000277 | 0.000823 | 1171.072866 | 0.136866 | 8.577358 | 0.000256 |
| 14 | 0.000505 | 1007.940340 | 0.131173 | 8.971494 | 0.000197 | 0.00042 | 1665.233105 | 0.107035 | 9.1279 | 0.000181 |
| 15 | 0.000358 | 967.887842 | 0.124207 | 9.130871 | 0.000199 | 0.00029 | 1737.599402 | 0.101843 | 9.308876 | 0.00018 |
| 16 | 0.000509 | 988.068448 | 0.129888 | 8.983134 | 0.000203 | 0.000428 | 1611.937054 | 0.107468 | 9.120921 | 0.000187 |
| 17 | 0.000128 | 1305.434280 | 0.078522 | 9.590240 | 0.000166 | 0.000104 | 2242.352502 | 0.059572 | 9.755617 | 0.000149 |
| 18 | 0.000105 | 1187.067162 | 0.078385 | 9.626769 | 0.000176 | 0.000081 | 2249.435597 | 0.057502 | 9.831152 | 0.000155 |
| 19 | 0.000128 | 1280.128046 | 0.081185 | 9.570458 | 0.000169 | 0.000103 | 2183.482299 | 0.060996 | 9.734218 | 0.000153 |
| 20 | 0.000121 | 1284.287014 | 0.081195 | 9.587116 | 0.000168 | 0.000094 | 2348.738762 | 0.058736 | 9.773605 | 0.000148 |
| Mean | 0.000221 | 1345.347988 | 0.084045 | 9.474026 | 0.000191 | 0.000182 | 2284.264851 | 0.066852 | 9.630273 | 0.000168 |

Tabel Lampiran 3.20 Hasil Perhitungan GLCM Dataset 10 Kelas Batik Sudut 90° dan Sudut 135°

| No. Citra | G90.asm | G90.kontras | G90.idm | G90.entropi | G90.korelasi | G135.asm | G135.kontras | G135.idm | G135.entropi | G135.korelasi |
|-----------|----------|-------------|----------|-------------|--------------|----------|--------------|----------|--------------|---------------|
| 1 | 0.000338 | 1413.467109 | 0.081527 | 9.309184 | 0.000171 | 0.000223 | 3020.0403 | 0.059943 | 9.557067 | 0.000139 |
| 2 | 0.000157 | 1735.882696 | 0.073508 | 9.521595 | 0.000161 | 0.000133 | 3022.223588 | 0.059364 | 9.670848 | 0.000137 |
| 3 | 0.000122 | 1542.609415 | 0.072548 | 9.630172 | 0.000149 | 0.000097 | 2914.48729 | 0.054347 | 9.817632 | 0.000129 |
| 4 | 0.000107 | 1828.652319 | 0.060028 | 9.717892 | 0.000145 | 0.000085 | 3501.140461 | 0.045064 | 9.906896 | 0.00012 |
| 5 | 0.00009 | 1070.48901 | 0.060284 | 9.684766 | 0.000241 | 0.000068 | 2347.497241 | 0.045088 | 9.938713 | 0.00019 |
| 6 | 0.000071 | 1316.52232 | 0.053201 | 9.835285 | 0.000206 | 0.000057 | 2607.19389 | 0.040736 | 10.050517 | 0.000167 |
| 7 | 0.000073 | 1318.576942 | 0.053487 | 9.831445 | 0.000208 | 0.000058 | 2747.103602 | 0.04063 | 10.056328 | 0.000164 |
| 8 | 0.000074 | 1173.280954 | 0.054125 | 9.806515 | 0.000222 | 0.000058 | 2490.948695 | 0.041906 | 10.035901 | 0.000177 |
| 9 | 0.000183 | 912.209715 | 0.091165 | 9.322396 | 0.000213 | 0.000143 | 1716.035216 | 0.067707 | 9.529804 | 0.00019 |
| 10 | 0.000149 | 867.867955 | 0.087376 | 9.374939 | 0.000225 | 0.000115 | 1673.176576 | 0.06386 | 9.591448 | 0.000199 |
| 11 | 0.000161 | 1010.477788 | 0.089817 | 9.410366 | 0.000197 | 0.000124 | 1929.58849 | 0.065167 | 9.618178 | 0.000175 |
| 12 | 0.000196 | 1013.198664 | 0.093224 | 9.301622 | 0.000202 | 0.000151 | 1938.199005 | 0.067748 | 9.511701 | 0.000178 |
| 13 | 0.001086 | 650.580662 | 0.181548 | 8.353242 | 0.000282 | 0.00081 | 1348.405481 | 0.13367 | 8.612656 | 0.000248 |
| 14 | 0.000541 | 950.804483 | 0.139042 | 8.929248 | 0.000199 | 0.000423 | 1834.799414 | 0.108567 | 9.139694 | 0.000177 |
| 15 | 0.000386 | 862.681629 | 0.135414 | 9.064365 | 0.000201 | 0.000301 | 1549.837668 | 0.104306 | 9.27182 | 0.000184 |
| 16 | 0.000559 | 769.782395 | 0.14696 | 8.863173 | 0.000209 | 0.000427 | 1539.785852 | 0.108559 | 9.116456 | 0.000189 |
| 17 | 0.000136 | 1113.34455 | 0.083725 | 9.530258 | 0.000169 | 0.000105 | 2257.805103 | 0.059383 | 9.74987 | 0.000149 |
| 18 | 0.000108 | 1115.275126 | 0.079027 | 9.596619 | 0.000178 | 0.000085 | 2033.47134 | 0.059932 | 9.798218 | 0.000159 |
| 19 | 0.000132 | 1223.986778 | 0.083658 | 9.545971 | 0.000171 | 0.000101 | 2461.882184 | 0.061117 | 9.764683 | 0.000147 |
| 20 | 0.000123 | 1200.680575 | 0.08157 | 9.556442 | 0.000169 | 0.000096 | 2277.597294 | 0.059326 | 9.760043 | 0.00015 |
| Mean | 0.000134 | 2006.891044 | 0.064601 | 9.654211 | 0.000145 | 0.000111 | 3385.096918 | 0.052288 | 9.799855 | 0.000124 |

Tabel Lampiran 3.21 Hasil Perhitungan GLCM Dataset 11 Kelas Batik Sudut 0° dan Sudut 45°

| No. Citra | G0.asm | G0.kontras | G0.idm | G0.entropi | G0.korelasi | G45.asm | G45.kontras | G45.idm | G45.entropi | G45.korelasi |
|-----------|----------|-------------|----------|------------|-------------|----------|-------------|----------|-------------|--------------|
| 1 | 0.003078 | 733.203035 | 0.301549 | 7.464307 | 0.000265 | 0.002314 | 1305.664703 | 0.241032 | 7.666791 | 0.00024 |
| 2 | 0.001731 | 888.028443 | 0.274331 | 7.924157 | 0.000210 | 0.001361 | 1547.998822 | 0.225654 | 8.103543 | 0.000192 |
| 3 | 0.001943 | 1042.742033 | 0.269269 | 7.979518 | 0.000212 | 0.001506 | 1661.436651 | 0.22276 | 8.149551 | 0.000194 |
| 4 | 0.003252 | 683.672097 | 0.323644 | 7.300579 | 0.000274 | 0.002524 | 1138.012028 | 0.268316 | 7.469517 | 0.000253 |
| 5 | 0.002544 | 874.016709 | 0.265896 | 7.829865 | 0.000215 | 0.002026 | 1490.41616 | 0.22093 | 7.987957 | 0.000197 |
| 6 | 0.002075 | 874.181304 | 0.275025 | 7.862620 | 0.000222 | 0.001627 | 1340.920795 | 0.230829 | 8.010279 | 0.000207 |
| 7 | 0.001473 | 858.573021 | 0.263093 | 7.908300 | 0.000215 | 0.001166 | 1505.81231 | 0.217191 | 8.084522 | 0.000197 |
| 8 | 0.002142 | 897.453918 | 0.265025 | 7.862501 | 0.000197 | 0.001728 | 1482.655992 | 0.223098 | 8.022264 | 0.000183 |
| 9 | 0.002836 | 821.635718 | 0.290596 | 7.741879 | 0.000206 | 0.002246 | 1370.047539 | 0.24833 | 7.892434 | 0.000192 |
| 10 | 0.002541 | 811.017345 | 0.295428 | 7.717020 | 0.000227 | 0.00196 | 1398.533341 | 0.242855 | 7.899059 | 0.000208 |
| 11 | 0.002125 | 944.281543 | 0.271694 | 7.847572 | 0.000195 | 0.001645 | 1819.193967 | 0.220831 | 8.044391 | 0.000175 |
| 12 | 0.001912 | 950.965388 | 0.271490 | 7.899982 | 0.000231 | 0.001521 | 1528.50682 | 0.229075 | 8.052115 | 0.00021 |
| 13 | 0.000862 | 739.939240 | 0.253078 | 8.154831 | 0.000232 | 0.000674 | 1288.037433 | 0.209697 | 8.337559 | 0.000214 |
| 14 | 0.003611 | 654.994187 | 0.289534 | 7.205745 | 0.000297 | 0.002859 | 1137.448788 | 0.239381 | 7.378252 | 0.000269 |
| 15 | 0.001546 | 860.230935 | 0.263613 | 8.056870 | 0.000205 | 0.00121 | 1539.238282 | 0.218823 | 8.235303 | 0.000188 |
| 16 | 0.002376 | 614.678529 | 0.320205 | 7.507528 | 0.000289 | 0.001797 | 1196.394972 | 0.260221 | 7.710796 | 0.000259 |
| 17 | 0.002569 | 801.311551 | 0.304355 | 7.716721 | 0.000235 | 0.001891 | 1413.881409 | 0.246842 | 7.910875 | 0.000214 |
| 18 | 0.002254 | 831.744435 | 0.286805 | 7.688691 | 0.000212 | 0.001766 | 1445.509734 | 0.237155 | 7.857822 | 0.000195 |
| 19 | 0.002607 | 887.658798 | 0.265829 | 7.713055 | 0.000224 | 0.002084 | 1479.073083 | 0.221052 | 7.863993 | 0.000205 |
| 20 | 0.001724 | 778.224301 | 0.263996 | 7.853531 | 0.000242 | 0.001369 | 1314.030194 | 0.22072 | 8.010831 | 0.000222 |
| Mean | G0.asm | G0.kontras | G0.idm | G0.entropi | G0.korelasi | G45.asm | G45.kontras | G45.idm | G45.entropi | G45.korelasi |

Tabel Lampiran 3.22 Hasil Perhitungan GLCM Dataset 11 Kelas Batik Sudut 90° dan Sudut 135°

| No. Citra | G0.asm | G0.kontras | G0.idm | G0.entropi | G0.korelasi | G45.asm | G45.kontras | G45.idm | G45.entropi | G45.korelasi |
|-----------|----------|-------------|----------|------------|-------------|----------|-------------|----------|-------------|--------------|
| 1 | 0.003078 | 733.203035 | 0.301549 | 7.464307 | 0.000265 | 0.002314 | 1305.664703 | 0.241032 | 7.666791 | 0.00024 |
| 2 | 0.001731 | 888.028443 | 0.274331 | 7.924157 | 0.000210 | 0.001361 | 1547.998822 | 0.225654 | 8.103543 | 0.000192 |
| 3 | 0.001943 | 1042.742033 | 0.269269 | 7.979518 | 0.000212 | 0.001506 | 1661.436651 | 0.22276 | 8.149551 | 0.000194 |
| 4 | 0.003252 | 683.672097 | 0.323644 | 7.300579 | 0.000274 | 0.002524 | 1138.012028 | 0.268316 | 7.469517 | 0.000253 |
| 5 | 0.002544 | 874.016709 | 0.265896 | 7.829865 | 0.000215 | 0.002026 | 1490.41616 | 0.22093 | 7.987957 | 0.000197 |
| 6 | 0.002075 | 874.181304 | 0.275025 | 7.862620 | 0.000222 | 0.001627 | 1340.920795 | 0.230829 | 8.010279 | 0.000207 |
| 7 | 0.001473 | 858.573021 | 0.263093 | 7.908300 | 0.000215 | 0.001166 | 1505.81231 | 0.217191 | 8.084522 | 0.000197 |
| 8 | 0.002142 | 897.453918 | 0.265025 | 7.862501 | 0.000197 | 0.001728 | 1482.655992 | 0.223098 | 8.022264 | 0.000183 |
| 9 | 0.002836 | 821.635718 | 0.290596 | 7.741879 | 0.000206 | 0.002246 | 1370.047539 | 0.24833 | 7.892434 | 0.000192 |
| 10 | 0.002541 | 811.017345 | 0.295428 | 7.717020 | 0.000227 | 0.00196 | 1398.533341 | 0.242855 | 7.899059 | 0.000208 |
| 11 | 0.002125 | 944.281543 | 0.271694 | 7.847572 | 0.000195 | 0.001645 | 1819.193967 | 0.220831 | 8.044391 | 0.000175 |
| 12 | 0.001912 | 950.965388 | 0.271490 | 7.899982 | 0.000231 | 0.001521 | 1528.50682 | 0.229075 | 8.052115 | 0.00021 |
| 13 | 0.000862 | 739.939240 | 0.253078 | 8.154831 | 0.000232 | 0.000674 | 1288.037433 | 0.209697 | 8.337559 | 0.000214 |
| 14 | 0.003611 | 654.994187 | 0.289534 | 7.205745 | 0.000297 | 0.002859 | 1137.448788 | 0.239381 | 7.378252 | 0.000269 |
| 15 | 0.001546 | 860.230935 | 0.263613 | 8.056870 | 0.000205 | 0.00121 | 1539.238282 | 0.218823 | 8.235303 | 0.000188 |
| 16 | 0.002376 | 614.678529 | 0.320205 | 7.507528 | 0.000289 | 0.001797 | 1196.394972 | 0.260221 | 7.710796 | 0.000259 |
| 17 | 0.002569 | 801.311551 | 0.304355 | 7.716721 | 0.000235 | 0.001891 | 1413.881409 | 0.246842 | 7.910875 | 0.000214 |
| 18 | 0.002254 | 831.744435 | 0.286805 | 7.688691 | 0.000212 | 0.001766 | 1445.509734 | 0.237155 | 7.857822 | 0.000195 |
| 19 | 0.002607 | 887.658798 | 0.265829 | 7.713055 | 0.000224 | 0.002084 | 1479.073083 | 0.221052 | 7.863993 | 0.000205 |
| 20 | 0.001724 | 778.224301 | 0.263996 | 7.853531 | 0.000242 | 0.001369 | 1314.030194 | 0.22072 | 8.010831 | 0.000222 |
| Mean | 0.002260 | 827.427627 | 0.280723 | 7.761764 | 0.000230 | 0.001764 | 1420.140651 | 0.232240 | 7.934393 | 0.000211 |

Tabel Lampiran 3.23 Hasil Perhitungan GLCM Dataset 12 Kelas Batik Sudut 0° dan Sudut 45°

| No. Citra | G0.asm | G0.kontras | G0.idm | G0.entropi | G0.korelasi | G45.asm | G45.kontras | G45.idm | G45.entropi | G45.korelasi |
|-----------|----------|-------------|----------|------------|-------------|----------|-------------|----------|-------------|--------------|
| 1 | 0.000804 | 720.618560 | 0.200648 | 8.480999 | 0.000293 | 0.000683 | 1164.350518 | 0.172057 | 8.622509 | 0.000268 |
| 2 | 0.000740 | 645.837467 | 0.183144 | 8.527977 | 0.000317 | 0.000621 | 1058.311008 | 0.149341 | 8.679154 | 0.00029 |
| 3 | 0.002796 | 435.453686 | 0.273458 | 7.830629 | 0.000418 | 0.002366 | 692.121148 | 0.238468 | 7.975414 | 0.00039 |
| 4 | 0.000435 | 893.496559 | 0.140272 | 8.989214 | 0.000241 | 0.000382 | 1696.875178 | 0.117358 | 9.150936 | 0.000211 |
| 5 | 0.001222 | 297.411247 | 0.210007 | 7.915046 | 0.000626 | 0.001057 | 476.148862 | 0.181978 | 8.054606 | 0.000581 |
| 6 | 0.002557 | 459.084739 | 0.263308 | 7.476394 | 0.000332 | 0.002308 | 776.00248 | 0.236741 | 7.585717 | 0.00031 |
| 7 | 0.001723 | 505.416021 | 0.255397 | 7.945087 | 0.000373 | 0.001444 | 922.305568 | 0.219526 | 8.121828 | 0.000337 |
| 8 | 0.001820 | 316.105431 | 0.223069 | 7.801226 | 0.000697 | 0.001581 | 479.140616 | 0.195708 | 7.926192 | 0.000644 |
| 9 | 0.002283 | 414.098022 | 0.250988 | 7.731918 | 0.000414 | 0.00205 | 611.818975 | 0.225248 | 7.82869 | 0.000394 |
| 10 | 0.000330 | 921.923414 | 0.123414 | 9.212032 | 0.000328 | 0.000277 | 1563.543989 | 0.104938 | 9.376295 | 0.000276 |
| 11 | 0.001195 | 665.802824 | 0.215019 | 8.291066 | 0.000248 | 0.00102 | 1050.421539 | 0.183179 | 8.42491 | 0.000233 |
| 12 | 0.000456 | 579.989305 | 0.163959 | 8.737525 | 0.000332 | 0.000391 | 917.178576 | 0.139994 | 8.879484 | 0.000308 |
| 13 | 0.000454 | 757.820510 | 0.147777 | 9.032101 | 0.000357 | 0.000389 | 1219.170826 | 0.125767 | 9.179794 | 0.000315 |
| 14 | 0.000516 | 753.848875 | 0.167706 | 8.842402 | 0.000313 | 0.00043 | 1267.851293 | 0.140215 | 8.995583 | 0.000279 |
| 15 | 0.000813 | 645.682172 | 0.177652 | 8.577813 | 0.000330 | 0.000679 | 1000.783093 | 0.148757 | 8.71354 | 0.000305 |
| 16 | 0.001182 | 934.296469 | 0.189974 | 8.595562 | 0.000263 | 0.00099 | 1558.391035 | 0.161803 | 8.739335 | 0.000234 |
| 17 | 0.000903 | 659.600239 | 0.214109 | 8.500741 | 0.000240 | 0.00074 | 1188.117211 | 0.177455 | 8.681732 | 0.000222 |
| 18 | 0.000218 | 1145.325222 | 0.101778 | 9.249905 | 0.000229 | 0.000185 | 1960.582243 | 0.086671 | 9.40373 | 0.000199 |
| 19 | 0.003190 | 481.038254 | 0.271866 | 7.548977 | 0.000339 | 0.00275 | 815.483725 | 0.236569 | 7.692313 | 0.000315 |
| 20 | 0.000988 | 669.315100 | 0.211528 | 8.395441 | 0.000239 | 0.000839 | 1156.913913 | 0.180548 | 8.547375 | 0.000223 |
| Mean | 0.001231 | 645.108206 | 0.199254 | 8.384103 | 0.000346 | 0.001059 | 1078.775590 | 0.171116 | 8.528957 | 0.000317 |

Tabel Lampiran 3.24 Hasil Perhitungan GLCM Dataset 12 Kelas Batik Sudut 90° dan Sudut 135°

| No. Citra | G90.asm | G90.kontras | G90.idm | G90.entropi | G90.korelasi | G135.asm | G135.kontras | G135.idm | G135.entropi | G135.korelasi |
|-----------|----------|-------------|----------|-------------|--------------|----------|--------------|----------|--------------|---------------|
| 1 | 0.001102 | 548.541974 | 0.2466 | 8.312104 | 0.000303 | 0.000688 | 1102.385393 | 0.174649 | 8.608775 | 0.000272 |
| 2 | 0.000855 | 508.565038 | 0.20176 | 8.434918 | 0.000326 | 0.000612 | 1049.668454 | 0.148305 | 8.674848 | 0.000291 |
| 3 | 0.003684 | 309.255952 | 0.329547 | 7.614285 | 0.000431 | 0.00236 | 650.337606 | 0.241435 | 7.951265 | 0.000394 |
| 4 | 0.000674 | 846.516911 | 0.190254 | 8.8362 | 0.000243 | 0.000384 | 1445.921616 | 0.121937 | 9.110964 | 0.00022 |
| 5 | 0.001891 | 196.78486 | 0.2966 | 7.613036 | 0.00065 | 0.00111 | 419.055289 | 0.18833 | 8.01203 | 0.000596 |
| 6 | 0.004188 | 379.955902 | 0.357936 | 7.177585 | 0.000335 | 0.002235 | 741.770491 | 0.230399 | 7.603145 | 0.000312 |
| 7 | 0.002544 | 480.618901 | 0.317555 | 7.753659 | 0.000376 | 0.001506 | 842.373907 | 0.226348 | 8.07819 | 0.000344 |
| 8 | 0.002623 | 192.561055 | 0.298767 | 7.516164 | 0.000738 | 0.00159 | 443.638415 | 0.197105 | 7.91003 | 0.000659 |
| 9 | 0.003342 | 300.111786 | 0.329723 | 7.464652 | 0.000426 | 0.001942 | 685.618637 | 0.215331 | 7.867289 | 0.000385 |
| 10 | 0.000433 | 886.389624 | 0.152605 | 9.132609 | 0.000331 | 0.000273 | 1573.227292 | 0.101532 | 9.378594 | 0.000275 |
| 11 | 0.001436 | 478.891794 | 0.244804 | 8.147977 | 0.000255 | 0.000964 | 1045.270088 | 0.175702 | 8.435987 | 0.000234 |
| 12 | 0.000613 | 431.277993 | 0.209785 | 8.548332 | 0.000342 | 0.000396 | 912.950369 | 0.140467 | 8.873446 | 0.000308 |
| 13 | 0.000585 | 668.236856 | 0.179961 | 8.91446 | 0.000364 | 0.00037 | 1277.003116 | 0.121387 | 9.20381 | 0.000309 |
| 14 | 0.000648 | 613.814356 | 0.204297 | 8.690594 | 0.000322 | 0.000424 | 1194.116979 | 0.139503 | 8.988149 | 0.000284 |
| 15 | 0.001069 | 422.779915 | 0.222298 | 8.365625 | 0.000346 | 0.000675 | 909.416641 | 0.151219 | 8.693139 | 0.000312 |
| 16 | 0.001464 | 710.886183 | 0.219975 | 8.466817 | 0.000274 | 0.000966 | 1302.906194 | 0.162482 | 8.71403 | 0.000246 |
| 17 | 0.001094 | 592.441084 | 0.237616 | 8.412629 | 0.000242 | 0.000732 | 1091.366591 | 0.176429 | 8.667867 | 0.000225 |
| 18 | 0.000248 | 980.833855 | 0.117255 | 9.176562 | 0.000235 | 0.000182 | 1853.287758 | 0.086887 | 9.391638 | 0.000203 |
| 19 | 0.004292 | 384.592396 | 0.329161 | 7.367271 | 0.000346 | 0.002724 | 716.057056 | 0.236611 | 7.664743 | 0.000323 |
| 20 | 0.001311 | 582.235585 | 0.24725 | 8.270112 | 0.000243 | 0.00084 | 1123.078864 | 0.180178 | 8.539677 | 0.000224 |
| Mean | 0.001705 | 525.764601 | 0.246687 | 8.210780 | 0.000356 | 0.001049 | 1018.972538 | 0.170812 | 8.518381 | 0.000321 |

Tabel Lampiran 3.25 Hasil Perhitungan GLCM Dataset 13 Kelas Batik Sudut 0° dan Sudut 45°

| No. Citra | G0.asm | G0.kontras | G0.idm | G0.entropi | G0.korelasi | G45.asm | G45.kontras | G45.idm | G45.entropi | G45.korelasi |
|-----------|----------|-------------|----------|------------|-------------|----------|-------------|----------|-------------|--------------|
| 1 | 0.002705 | 598.499798 | 0.260146 | 7.688636 | 0.000384 | 0.002271 | 964.189984 | 0.225156 | 7.836663 | 0.000348 |
| 2 | 0.003572 | 490.974766 | 0.302983 | 7.323981 | 0.000488 | 0.003115 | 743.789122 | 0.273298 | 7.44005 | 0.000447 |
| 3 | 0.003492 | 835.782876 | 0.276726 | 7.647935 | 0.000355 | 0.003048 | 1269.16027 | 0.251552 | 7.755478 | 0.000314 |
| 4 | 0.003681 | 780.737073 | 0.291000 | 7.568854 | 0.000367 | 0.003145 | 817.221216 | 0.263938 | 7.649301 | 0.000364 |
| 5 | 0.002706 | 434.899901 | 0.264104 | 7.510720 | 0.000459 | 0.002336 | 803.262555 | 0.23082 | 7.656919 | 0.000411 |
| 6 | 0.003495 | 522.362267 | 0.291576 | 7.447822 | 0.000460 | 0.003026 | 782.248667 | 0.260187 | 7.562019 | 0.000423 |
| 7 | 0.000555 | 1520.293943 | 0.122254 | 9.237069 | 0.000243 | 0.000489 | 1815.486205 | 0.113721 | 9.309809 | 0.000227 |
| 8 | 0.003517 | 808.077159 | 0.257706 | 7.856548 | 0.000318 | 0.002932 | 1535.847139 | 0.221294 | 8.020102 | 0.000267 |
| 9 | 0.002880 | 1070.775544 | 0.235921 | 8.068370 | 0.000311 | 0.00241 | 1135.283124 | 0.209256 | 8.15372 | 0.000306 |
| 10 | 0.001807 | 1094.169803 | 0.210592 | 8.340132 | 0.000319 | 0.00161 | 1051.518523 | 0.199268 | 8.369385 | 0.000322 |
| 11 | 0.003723 | 659.040610 | 0.258111 | 7.591021 | 0.000354 | 0.003284 | 1060.902722 | 0.230854 | 7.705646 | 0.00032 |
| 12 | 0.005248 | 427.719542 | 0.307987 | 6.957961 | 0.000541 | 0.004695 | 721.718736 | 0.279827 | 7.062548 | 0.000484 |
| 13 | 0.002098 | 534.844891 | 0.253178 | 7.789043 | 0.000467 | 0.001875 | 803.200369 | 0.231753 | 7.889058 | 0.000427 |
| 14 | 0.002752 | 564.553072 | 0.264045 | 7.723924 | 0.000373 | 0.002425 | 1039.487972 | 0.23607 | 7.881084 | 0.000331 |
| 15 | 0.003301 | 734.586816 | 0.272542 | 7.591608 | 0.000328 | 0.002813 | 1104.031992 | 0.238673 | 7.714043 | 0.000301 |
| 16 | 0.004086 | 602.823021 | 0.306512 | 7.477130 | 0.000382 | 0.003496 | 1081.403512 | 0.270907 | 7.627181 | 0.000335 |
| 17 | 0.002242 | 671.722425 | 0.270341 | 7.941892 | 0.000333 | 0.00188 | 1105.943967 | 0.237545 | 8.087898 | 0.000301 |
| 18 | 0.004848 | 482.969449 | 0.298283 | 7.250861 | 0.000453 | 0.004157 | 752.743738 | 0.263522 | 7.371414 | 0.000417 |
| 19 | 0.003642 | 525.518926 | 0.290157 | 7.381784 | 0.000379 | 0.003172 | 928.476471 | 0.258115 | 7.50908 | 0.000343 |
| 20 | 0.001967 | 704.819673 | 0.212753 | 8.092327 | 0.000375 | 0.001754 | 1146.608283 | 0.191381 | 8.211392 | 0.000331 |
| Mean | 0.003116 | 703.258578 | 0.262346 | 7.724381 | 0.000384 | 0.002697 | 1033.126228 | 0.234357 | 7.840640 | 0.000351 |

Tabel Lampiran 3.26 Hasil Perhitungan GLCM Dataset 13 Kelas Batik Sudut 90° dan Sudut 135°

| No. Citra | G90.asm | G90.kontras | G90.idm | G90.entropi | G90.korelasi | G135.asm | G135.kontras | G135.idm | G135.entropi | G135.korelasi |
|-----------|----------|-------------|----------|-------------|--------------|----------|--------------|----------|--------------|---------------|
| 1 | 0.003586 | 430.739522 | 0.314843 | 7.503595 | 0.000401 | 0.002246 | 876.786627 | 0.223883 | 7.826009 | 0.000358 |
| 2 | 0.004828 | 355.992467 | 0.362593 | 7.118338 | 0.00051 | 0.002915 | 766.728284 | 0.260079 | 7.475936 | 0.000444 |
| 3 | 0.005283 | 324.6942 | 0.371167 | 7.272446 | 0.000402 | 0.003007 | 836.159247 | 0.25067 | 7.714279 | 0.000354 |
| 4 | 0.00493 | 306.509114 | 0.361875 | 7.280462 | 0.000414 | 0.003017 | 1175.411014 | 0.252781 | 7.717149 | 0.000328 |
| 5 | 0.004068 | 459.706398 | 0.345955 | 7.296704 | 0.000457 | 0.002308 | 812.576539 | 0.230515 | 7.672814 | 0.000409 |
| 6 | 0.00506 | 436.471588 | 0.363494 | 7.229199 | 0.000472 | 0.002932 | 922.470736 | 0.25347 | 7.603221 | 0.000402 |
| 7 | 0.000804 | 533.395421 | 0.175979 | 8.874467 | 0.000294 | 0.000483 | 1885.961188 | 0.112213 | 9.315988 | 0.000224 |
| 8 | 0.004597 | 508.961405 | 0.306201 | 7.66016 | 0.000339 | 0.002993 | 788.70026 | 0.232987 | 7.909967 | 0.000319 |
| 9 | 0.003928 | 373.794005 | 0.302635 | 7.74015 | 0.000364 | 0.00243 | 1503.685132 | 0.20777 | 8.196152 | 0.000276 |
| 10 | 0.00275 | 425.050592 | 0.284601 | 8.009758 | 0.000374 | 0.00153 | 1652.957313 | 0.184949 | 8.462251 | 0.000271 |
| 11 | 0.005173 | 480.985445 | 0.326294 | 7.375816 | 0.000369 | 0.00313 | 974.393158 | 0.22355 | 7.723529 | 0.000328 |
| 12 | 0.008505 | 331.709467 | 0.426246 | 6.606019 | 0.000561 | 0.004607 | 623.567162 | 0.275518 | 7.057634 | 0.000504 |
| 13 | 0.003147 | 419.26705 | 0.336423 | 7.540478 | 0.000484 | 0.001719 | 890.214334 | 0.216696 | 7.957937 | 0.000413 |
| 14 | 0.003823 | 525.888012 | 0.32054 | 7.576704 | 0.000377 | 0.002263 | 905.187612 | 0.225098 | 7.89799 | 0.000343 |
| 15 | 0.004224 | 475.343264 | 0.317418 | 7.437185 | 0.000347 | 0.002699 | 1087.344349 | 0.230258 | 7.742383 | 0.000302 |
| 16 | 0.00534 | 562.782178 | 0.355853 | 7.335402 | 0.000386 | 0.00331 | 975.220534 | 0.2606 | 7.634009 | 0.000346 |
| 17 | 0.002803 | 463.394398 | 0.315042 | 7.785663 | 0.000348 | 0.001733 | 904.061985 | 0.227647 | 8.099796 | 0.000316 |
| 18 | 0.005981 | 374.096178 | 0.342089 | 7.102429 | 0.000468 | 0.003858 | 793.620032 | 0.25052 | 7.419869 | 0.000412 |
| 19 | 0.004635 | 480.109461 | 0.336831 | 7.263118 | 0.000383 | 0.002822 | 844.393267 | 0.238202 | 7.575816 | 0.00035 |
| 20 | 0.002501 | 583.059365 | 0.253059 | 7.977401 | 0.000386 | 0.001588 | 1106.631068 | 0.17581 | 8.269106 | 0.000334 |
| Mean | 0.004298 | 442.597477 | 0.325957 | 7.499275 | 0.000407 | 0.002580 | 1016.303492 | 0.226661 | 7.863592 | 0.000352 |

Tabel Lampiran 3.27 Hasil Perhitungan GLCM Dataset 14 Kelas Batik Sudut 0° dan Sudut 45°

| No. Citra | G0.asm | G0.kontras | G0.idm | G0.entropi | G0.korelasi | G45.asm | G45.kontras | G45.idm | G45.entropi | G45.korelasi |
|-----------|----------|-------------|----------|------------|-------------|----------|-------------|----------|-------------|--------------|
| 1 | 0.006222 | 492.118172 | 0.321408 | 7.024421 | 0.000466 | 0.005229 | 728.300174 | 0.276134 | 7.172027 | 0.000433 |
| 2 | 0.006601 | 395.416315 | 0.384040 | 7.102780 | 0.000500 | 0.00516 | 624.435628 | 0.329564 | 7.301292 | 0.000465 |
| 3 | 0.003025 | 551.281093 | 0.288677 | 7.508580 | 0.000453 | 0.002498 | 816.17901 | 0.24406 | 7.663769 | 0.000416 |
| 4 | 0.003576 | 399.970472 | 0.267782 | 7.436114 | 0.000459 | 0.003032 | 825.851448 | 0.22851 | 7.609799 | 0.000404 |
| 5 | 0.002476 | 518.690263 | 0.281891 | 7.622426 | 0.000449 | 0.002076 | 820.829453 | 0.240261 | 7.781484 | 0.000409 |
| 6 | 0.003701 | 482.525947 | 0.271251 | 7.337971 | 0.000494 | 0.003176 | 717.477261 | 0.231662 | 7.481099 | 0.000456 |
| 7 | 0.002109 | 577.529357 | 0.256293 | 7.821407 | 0.000371 | 0.001745 | 762.315131 | 0.221464 | 7.972811 | 0.000354 |
| 8 | 0.001826 | 747.709607 | 0.215390 | 8.156156 | 0.000356 | 0.001593 | 1057.454848 | 0.192734 | 8.251968 | 0.000329 |
| 9 | 0.003210 | 712.388431 | 0.285689 | 7.629589 | 0.000331 | 0.002546 | 924.694262 | 0.239557 | 7.779934 | 0.000316 |
| 10 | 0.001982 | 547.452508 | 0.284147 | 7.868714 | 0.000398 | 0.001556 | 1013.476796 | 0.233802 | 8.077803 | 0.00035 |
| 11 | 0.000835 | 896.734314 | 0.160304 | 8.870047 | 0.000279 | 0.000701 | 1419.106702 | 0.134219 | 9.018531 | 0.000252 |
| 12 | 0.000110 | 1407.876325 | 0.070319 | 9.655735 | 0.000233 | 0.000091 | 2033.399079 | 0.056097 | 9.778278 | 0.000206 |
| 13 | 0.000128 | 1330.437891 | 0.082132 | 9.623507 | 0.000225 | 0.000106 | 2100.47971 | 0.066412 | 9.77214 | 0.000196 |
| 14 | 0.003205 | 843.530179 | 0.254652 | 7.831303 | 0.000337 | 0.002661 | 1153.573734 | 0.216804 | 7.964639 | 0.000312 |
| 15 | 0.000411 | 1332.256836 | 0.126852 | 9.205584 | 0.000212 | 0.000342 | 1972.6612 | 0.106532 | 9.330888 | 0.000191 |
| 16 | 0.002042 | 781.329717 | 0.235924 | 8.121238 | 0.000332 | 0.00156 | 1434.215838 | 0.185348 | 8.331667 | 0.000282 |
| 17 | 0.000397 | 1187.788425 | 0.129356 | 9.263895 | 0.000254 | 0.000316 | 2028.85368 | 0.104177 | 9.441511 | 0.000213 |
| 18 | 0.000677 | 1073.694541 | 0.167812 | 8.720924 | 0.000241 | 0.000544 | 1674.245877 | 0.136855 | 8.888172 | 0.000217 |
| 19 | 0.000575 | 1163.760246 | 0.133429 | 9.211531 | 0.000248 | 0.00045 | 1982.935024 | 0.105086 | 9.399442 | 0.000211 |
| 20 | 0.000208 | 1335.244792 | 0.096513 | 9.412854 | 0.000228 | 0.000168 | 2067.639965 | 0.077883 | 9.561027 | 0.000199 |
| Mean | 0.002166 | 838.886772 | 0.215693 | 8.271239 | 0.000343 | 0.001778 | 1307.906241 | 0.181358 | 8.428914 | 0.000311 |

Tabel Lampiran 3.28 Hasil Perhitungan GLCM Dataset 14 Kelas Batik Sudut 90° dan Sudut 135°

| No. Citra | G90.asm | G90.kontras | G90.idm | G90.entropi | G90.korelasi | G135.asm | G135.kontras | G135.idm | G135.entropi | G135.korelasi |
|-----------|----------|-------------|----------|-------------|--------------|----------|--------------|----------|--------------|---------------|
| 1 | 0.00878 | 361.916796 | 0.393712 | 6.800445 | 0.000486 | 0.005235 | 793.219325 | 0.275312 | 7.172889 | 0.000424 |
| 2 | 0.00775 | 413.529001 | 0.407324 | 7.022997 | 0.000499 | 0.005018 | 798.441069 | 0.323523 | 7.335638 | 0.000438 |
| 3 | 0.004213 | 363.622388 | 0.34881 | 7.308462 | 0.000479 | 0.002461 | 835.801259 | 0.24263 | 7.680909 | 0.000412 |
| 4 | 0.005391 | 432.404551 | 0.363551 | 7.18639 | 0.000456 | 0.003131 | 659.576818 | 0.236549 | 7.553427 | 0.000427 |
| 5 | 0.003402 | 456.375845 | 0.337437 | 7.457626 | 0.000456 | 0.001949 | 905.489739 | 0.229694 | 7.83802 | 0.000395 |
| 6 | 0.005249 | 360.907837 | 0.339914 | 7.128716 | 0.000513 | 0.003101 | 804.095883 | 0.228832 | 7.493127 | 0.00044 |
| 7 | 0.003043 | 391.300995 | 0.339498 | 7.572365 | 0.000387 | 0.00174 | 911.388849 | 0.220179 | 7.984933 | 0.000341 |
| 8 | 0.002813 | 510.507332 | 0.307885 | 7.829038 | 0.000378 | 0.001558 | 1180.55828 | 0.186594 | 8.277488 | 0.000318 |
| 9 | 0.003821 | 507.646584 | 0.323473 | 7.466798 | 0.000347 | 0.002461 | 1239.455143 | 0.230053 | 7.825972 | 0.000293 |
| 10 | 0.002305 | 508.691518 | 0.316387 | 7.770559 | 0.000402 | 0.001424 | 854.941038 | 0.222956 | 8.099064 | 0.000366 |
| 11 | 0.001088 | 795.070603 | 0.19047 | 8.764094 | 0.000285 | 0.000654 | 1609.143158 | 0.125789 | 9.056771 | 0.000241 |
| 12 | 0.000126 | 968.174856 | 0.079833 | 9.521186 | 0.000252 | 0.00009 | 2269.171787 | 0.054047 | 9.809193 | 0.000196 |
| 13 | 0.000148 | 1168.097495 | 0.090669 | 9.572059 | 0.000231 | 0.000104 | 2346.52773 | 0.064255 | 9.800992 | 0.000186 |
| 14 | 0.004007 | 514.585312 | 0.299387 | 7.682712 | 0.000364 | 0.002483 | 1275.908395 | 0.206414 | 8.014674 | 0.000301 |
| 15 | 0.000448 | 1065.085173 | 0.134479 | 9.131951 | 0.000221 | 0.000323 | 2292.461606 | 0.100045 | 9.378174 | 0.000181 |
| 16 | 0.002312 | 652.699129 | 0.253702 | 8.061608 | 0.000343 | 0.001527 | 1120.359926 | 0.186858 | 8.299303 | 0.000307 |
| 17 | 0.000465 | 982.787448 | 0.143768 | 9.189343 | 0.000263 | 0.000311 | 1774.276877 | 0.107082 | 9.409982 | 0.000225 |
| 18 | 0.000779 | 900.811411 | 0.186376 | 8.65777 | 0.000248 | 0.000523 | 1896.797492 | 0.131416 | 8.914317 | 0.000208 |
| 19 | 0.000639 | 1034.44916 | 0.14127 | 9.171545 | 0.000254 | 0.00044 | 1909.729416 | 0.106315 | 9.392757 | 0.000214 |
| 20 | 0.000221 | 1180.181164 | 0.100073 | 9.37525 | 0.000234 | 0.000162 | 2387.07285 | 0.07168 | 9.606377 | 0.000187 |
| Mean | 0.002850 | 678.442230 | 0.254901 | 8.133546 | 0.000355 | 0.001735 | 1393.220832 | 0.177511 | 8.447200 | 0.000305 |

Tabel Lampiran 3.29 Hasil Perhitungan GLCM Dataset 15 Kelas Batik Sudut 0° dan Sudut 45°

| No. Citra | G0.asm | G0.kontras | G0.idm | G0.entropi | G0.korelasi | G45.asm | G45.kontras | G45.idm | G45.entropi | G45.korelasi |
|-----------|----------|-------------|----------|------------|-------------|----------|-------------|----------|-------------|--------------|
| 1 | 0.000740 | 645.837467 | 0.183144 | 8.527977 | 0.000317 | 0.000621 | 1058.311008 | 0.149341 | 8.679154 | 0.00029 |
| 2 | 0.000469 | 718.413696 | 0.166354 | 8.785489 | 0.000298 | 0.000383 | 1208.066464 | 0.136602 | 8.95485 | 0.00027 |
| 3 | 0.000940 | 610.271049 | 0.172978 | 8.507528 | 0.000394 | 0.000833 | 913.690185 | 0.14994 | 8.625579 | 0.000362 |
| 4 | 0.000330 | 921.923414 | 0.123414 | 9.212032 | 0.000328 | 0.000277 | 1563.543989 | 0.104938 | 9.376295 | 0.000276 |
| 5 | 0.000383 | 914.328043 | 0.130696 | 9.036277 | 0.000268 | 0.000324 | 1748.296593 | 0.109778 | 9.210623 | 0.000227 |
| 6 | 0.000456 | 579.989305 | 0.163959 | 8.737525 | 0.000332 | 0.000391 | 917.178576 | 0.139994 | 8.879484 | 0.000308 |
| 7 | 0.000519 | 927.713668 | 0.162972 | 8.795295 | 0.000250 | 0.000425 | 1562.106051 | 0.134768 | 8.958182 | 0.000224 |
| 8 | 0.000813 | 645.682172 | 0.177652 | 8.577813 | 0.000330 | 0.000679 | 1000.783093 | 0.148757 | 8.71354 | 0.000305 |
| 9 | 0.000218 | 1145.325222 | 0.101778 | 9.249905 | 0.000229 | 0.000185 | 1960.582243 | 0.086671 | 9.40373 | 0.000199 |
| 10 | 0.000988 | 669.315100 | 0.211528 | 8.395441 | 0.000239 | 0.000839 | 1156.913913 | 0.180548 | 8.547375 | 0.000223 |
| 11 | 0.001701 | 600.925445 | 0.227193 | 8.144232 | 0.000375 | 0.001442 | 982.498279 | 0.194224 | 8.302949 | 0.00034 |
| 12 | 0.003721 | 563.765733 | 0.272006 | 7.507806 | 0.000415 | 0.003211 | 886.021623 | 0.241818 | 7.621856 | 0.000378 |
| 13 | 0.001652 | 631.321812 | 0.210192 | 7.947408 | 0.000382 | 0.001462 | 1027.459979 | 0.187456 | 8.058445 | 0.000343 |
| 14 | 0.000572 | 1429.145499 | 0.124204 | 9.085070 | 0.000245 | 0.000518 | 1673.416346 | 0.115623 | 9.157836 | 0.000233 |
| 15 | 0.003492 | 835.782876 | 0.276726 | 7.647935 | 0.000355 | 0.003048 | 1269.16027 | 0.251552 | 7.755478 | 0.000314 |
| 16 | 0.000555 | 1520.293943 | 0.122254 | 9.237069 | 0.000243 | 0.000489 | 1815.486205 | 0.113721 | 9.309809 | 0.000227 |
| 17 | 0.002880 | 1070.775544 | 0.235921 | 8.068370 | 0.000311 | 0.00241 | 1135.283124 | 0.209256 | 8.15372 | 0.000306 |
| 18 | 0.003723 | 659.040610 | 0.258111 | 7.591021 | 0.000354 | 0.003284 | 1060.902722 | 0.230854 | 7.705646 | 0.00032 |
| 19 | 0.004086 | 602.823021 | 0.306512 | 7.477130 | 0.000382 | 0.003496 | 1081.403512 | 0.270907 | 7.627181 | 0.000335 |
| 20 | 0.003081 | 698.147762 | 0.276613 | 7.657850 | 0.000325 | 0.002697 | 1021.387578 | 0.249776 | 7.759915 | 0.000303 |
| Mean | 0.001566 | 819.541069 | 0.195210 | 8.409459 | 0.000319 | 0.001351 | 1252.124588 | 0.170326 | 8.540082 | 0.000289 |

Tabel Lampiran 3.30 Hasil Perhitungan GLCM Dataset 15 Kelas Batik Sudut 90° dan Sudut 135°

| No. Citra | G90.asm | G90.kontras | G90.idm | G90.entropi | G90.korelasi | G135.asm | G135.kontras | G135.idm | G135.entropi | G135.korelasi |
|-----------|----------|-------------|----------|-------------|--------------|----------|--------------|----------|--------------|---------------|
| 1 | 0.000855 | 508.565038 | 0.20176 | 8.434918 | 0.000326 | 0.000612 | 1049.668454 | 0.148305 | 8.674848 | 0.000291 |
| 2 | 0.000621 | 587.018554 | 0.211135 | 8.633088 | 0.000306 | 0.000385 | 1124.84531 | 0.137978 | 8.938133 | 0.000275 |
| 3 | 0.001374 | 380.259037 | 0.231458 | 8.256705 | 0.000418 | 0.000807 | 877.18507 | 0.148558 | 8.619944 | 0.000365 |
| 4 | 0.000433 | 886.389624 | 0.152605 | 9.132609 | 0.000331 | 0.000273 | 1573.227292 | 0.101532 | 9.378594 | 0.000275 |
| 5 | 0.000494 | 811.781388 | 0.16279 | 8.928274 | 0.000273 | 0.000331 | 1358.240111 | 0.11394 | 9.149952 | 0.000247 |
| 6 | 0.000613 | 431.277993 | 0.209785 | 8.548332 | 0.000342 | 0.000396 | 912.950369 | 0.140467 | 8.873446 | 0.000308 |
| 7 | 0.000628 | 783.518104 | 0.183917 | 8.711229 | 0.000256 | 0.000429 | 1513.146553 | 0.137635 | 8.945305 | 0.000226 |
| 8 | 0.001069 | 422.779915 | 0.222298 | 8.365625 | 0.000346 | 0.000675 | 909.416641 | 0.151219 | 8.693139 | 0.000312 |
| 9 | 0.000248 | 980.833855 | 0.117255 | 9.176562 | 0.000235 | 0.000182 | 1853.287758 | 0.086887 | 9.391638 | 0.000203 |
| 10 | 0.001311 | 582.235585 | 0.24725 | 8.270112 | 0.000243 | 0.00084 | 1123.078864 | 0.180178 | 8.539677 | 0.000224 |
| 11 | 0.002487 | 479.62135 | 0.285112 | 7.953648 | 0.000386 | 0.001455 | 946.890322 | 0.1959 | 8.286958 | 0.000343 |
| 12 | 0.005039 | 401.982686 | 0.330706 | 7.307109 | 0.000434 | 0.003111 | 846.68352 | 0.235742 | 7.642776 | 0.000382 |
| 13 | 0.002613 | 507.818169 | 0.295968 | 7.692062 | 0.000394 | 0.001418 | 1016.795694 | 0.181039 | 8.081042 | 0.000344 |
| 14 | 0.000965 | 456.658643 | 0.204407 | 8.653426 | 0.000295 | 0.000538 | 1762.725494 | 0.117843 | 9.144937 | 0.000229 |
| 15 | 0.005283 | 324.6942 | 0.371167 | 7.272446 | 0.000402 | 0.003007 | 836.159247 | 0.25067 | 7.714279 | 0.000354 |
| 16 | 0.000804 | 533.395421 | 0.175979 | 8.874467 | 0.000294 | 0.000483 | 1885.961188 | 0.112213 | 9.315988 | 0.000224 |
| 17 | 0.003928 | 373.794005 | 0.302635 | 7.74015 | 0.000364 | 0.00243 | 1503.685132 | 0.20777 | 8.196152 | 0.000276 |
| 18 | 0.005173 | 480.985445 | 0.326294 | 7.375816 | 0.000369 | 0.00313 | 974.393158 | 0.22355 | 7.723529 | 0.000328 |
| 19 | 0.00534 | 562.782178 | 0.355853 | 7.335402 | 0.000386 | 0.00331 | 975.220534 | 0.2606 | 7.634009 | 0.000346 |
| 20 | 0.004044 | 519.290719 | 0.334306 | 7.44754 | 0.000338 | 0.002488 | 1120.270259 | 0.234142 | 7.803374 | 0.000295 |
| Mean | 0.002166 | 550.784095 | 0.246134 | 8.205476 | 0.000337 | 0.001315 | 1208.191549 | 0.168308 | 8.537386 | 0.000292 |

Tabel Lampiran 3.31 Hasil Perhitungan GLCM Dataset 16 Kelas Batik Sudut 0° dan Sudut 45°

| No. Citra | G0.asm | G0.kontras | G0.idm | G0.entropi | G0.korelasi | G45.asm | G45.kontras | G45.idm | G45.entropi | G45.korelasi |
|-----------|----------|-------------|----------|------------|-------------|----------|-------------|----------|-------------|--------------|
| 1 | 0.003078 | 733.203035 | 0.301549 | 7.464307 | 0.000265 | 0.002314 | 1305.664703 | 0.241032 | 7.666791 | 0.00024 |
| 2 | 0.002518 | 708.747504 | 0.292273 | 7.546843 | 0.000259 | 0.002029 | 1261.513981 | 0.245262 | 7.713375 | 0.000236 |
| 3 | 0.002544 | 874.016709 | 0.265896 | 7.829865 | 0.000215 | 0.002026 | 1490.41616 | 0.22093 | 7.987957 | 0.000197 |
| 4 | 0.002541 | 811.017345 | 0.295428 | 7.717020 | 0.000227 | 0.00196 | 1398.533341 | 0.242855 | 7.899059 | 0.000208 |
| 5 | 0.001850 | 719.667633 | 0.259745 | 7.746775 | 0.000256 | 0.001482 | 1240.246047 | 0.214975 | 7.906551 | 0.000235 |
| 6 | 0.002102 | 714.344860 | 0.259849 | 7.711311 | 0.000281 | 0.001697 | 1219.328539 | 0.217906 | 7.871463 | 0.000255 |
| 7 | 0.003611 | 654.994187 | 0.289534 | 7.205745 | 0.000297 | 0.002859 | 1137.448788 | 0.239381 | 7.378252 | 0.000269 |
| 8 | 0.002668 | 709.427072 | 0.281661 | 7.448659 | 0.000262 | 0.002112 | 1333.676173 | 0.229274 | 7.626707 | 0.000235 |
| 9 | 0.002830 | 779.999690 | 0.293994 | 7.572546 | 0.000255 | 0.002251 | 1320.873334 | 0.245324 | 7.737268 | 0.000233 |
| 10 | 0.002046 | 797.237879 | 0.276125 | 7.797149 | 0.000238 | 0.00161 | 1287.124264 | 0.230073 | 7.955474 | 0.000221 |
| 11 | 0.001031 | 582.972813 | 0.217057 | 8.372871 | 0.000335 | 0.000825 | 1002.809102 | 0.178652 | 8.546412 | 0.000305 |
| 12 | 0.000804 | 720.618560 | 0.200648 | 8.480999 | 0.000293 | 0.000683 | 1164.350518 | 0.172057 | 8.622509 | 0.000268 |
| 13 | 0.000740 | 645.837467 | 0.183144 | 8.527977 | 0.000317 | 0.000621 | 1058.311008 | 0.149341 | 8.679154 | 0.00029 |
| 14 | 0.000822 | 573.867211 | 0.185399 | 8.500444 | 0.000346 | 0.000703 | 894.924422 | 0.158821 | 8.62868 | 0.000322 |
| 15 | 0.000435 | 893.496559 | 0.140272 | 8.989214 | 0.000241 | 0.000382 | 1696.875178 | 0.117358 | 9.150936 | 0.000211 |
| 16 | 0.000518 | 586.483849 | 0.159897 | 8.729834 | 0.000337 | 0.000436 | 976.4453 | 0.135205 | 8.885585 | 0.000308 |
| 17 | 0.000456 | 579.989305 | 0.163959 | 8.737525 | 0.000332 | 0.000391 | 917.178576 | 0.139994 | 8.879484 | 0.000308 |
| 18 | 0.000454 | 757.820510 | 0.147777 | 9.032101 | 0.000357 | 0.000389 | 1219.170826 | 0.125767 | 9.179794 | 0.000315 |
| 19 | 0.000813 | 645.682172 | 0.177652 | 8.577813 | 0.000330 | 0.000679 | 1000.783093 | 0.148757 | 8.71354 | 0.000305 |
| 20 | 0.000218 | 1145.325222 | 0.101778 | 9.249905 | 0.000229 | 0.000185 | 1960.582243 | 0.086671 | 9.40373 | 0.000199 |
| Mean | 0.001604 | 731.737479 | 0.224682 | 8.161945 | 0.000284 | 0.001282 | 1244.312780 | 0.186982 | 8.321636 | 0.000258 |

Tabel Lampiran 3.32 Hasil Perhitungan GLCM Dataset 16 Kelas Batik Sudut 90° dan Sudut 135°

| No. Citra | G90.asm | G90.kontras | G90.idm | G90.entropi | G90.korelasi | G135.asm | G135.kontras | G135.idm | G135.entropi | G135.korelasi |
|-----------|----------|-------------|----------|-------------|--------------|----------|--------------|----------|--------------|---------------|
| 1 | 0.002988 | 671.909898 | 0.296155 | 7.468001 | 0.000268 | 0.002342 | 1283.231462 | 0.243205 | 7.651576 | 0.000241 |
| 2 | 0.002817 | 685.032333 | 0.311374 | 7.49279 | 0.000261 | 0.002 | 1313.95057 | 0.243724 | 7.72303 | 0.000234 |
| 3 | 0.002701 | 747.144305 | 0.287775 | 7.752375 | 0.000219 | 0.002019 | 1500.410875 | 0.217978 | 7.991386 | 0.000197 |
| 4 | 0.00252 | 750.289882 | 0.293939 | 7.714767 | 0.000229 | 0.00191 | 1465.525498 | 0.238439 | 7.915787 | 0.000206 |
| 5 | 0.002005 | 677.135284 | 0.280576 | 7.674869 | 0.000258 | 0.001474 | 1334.906457 | 0.212346 | 7.921119 | 0.000231 |
| 6 | 0.002246 | 621.662316 | 0.275893 | 7.661705 | 0.000285 | 0.001641 | 1236.242994 | 0.210995 | 7.897876 | 0.000253 |
| 7 | 0.003758 | 601.052483 | 0.296851 | 7.181295 | 0.0003 | 0.002881 | 1144.862592 | 0.238736 | 7.366888 | 0.00027 |
| 8 | 0.002815 | 675.368947 | 0.295061 | 7.402758 | 0.000263 | 0.002145 | 1193.084785 | 0.235654 | 7.600642 | 0.00024 |
| 9 | 0.00306 | 698.574555 | 0.313709 | 7.513555 | 0.000259 | 0.002256 | 1394.992792 | 0.246813 | 7.740673 | 0.00023 |
| 10 | 0.002267 | 717.759176 | 0.301112 | 7.699201 | 0.000242 | 0.001611 | 1497.200338 | 0.226771 | 7.9708 | 0.000214 |
| 11 | 0.001391 | 439.894848 | 0.268114 | 8.16633 | 0.000345 | 0.000913 | 831.701733 | 0.194433 | 8.462226 | 0.000317 |
| 12 | 0.001102 | 548.541974 | 0.2466 | 8.312104 | 0.000303 | 0.000688 | 1102.385393 | 0.174649 | 8.608775 | 0.000272 |
| 13 | 0.000855 | 508.565038 | 0.20176 | 8.434918 | 0.000326 | 0.000612 | 1049.668454 | 0.148305 | 8.674848 | 0.000291 |
| 14 | 0.001174 | 382.017484 | 0.24587 | 8.246682 | 0.000361 | 0.000724 | 823.443285 | 0.162316 | 8.597745 | 0.000327 |
| 15 | 0.000674 | 846.516911 | 0.190254 | 8.8362 | 0.000243 | 0.000384 | 1445.921616 | 0.121937 | 9.110964 | 0.00022 |
| 16 | 0.000672 | 482.068479 | 0.197172 | 8.597202 | 0.000344 | 0.00044 | 957.368575 | 0.137263 | 8.874638 | 0.00031 |
| 17 | 0.000613 | 431.277993 | 0.209785 | 8.548332 | 0.000342 | 0.000396 | 912.950369 | 0.140467 | 8.873446 | 0.000308 |
| 18 | 0.000585 | 668.236856 | 0.179961 | 8.91446 | 0.000364 | 0.00037 | 1277.003116 | 0.121387 | 9.20381 | 0.000309 |
| 19 | 0.001069 | 422.779915 | 0.222298 | 8.365625 | 0.000346 | 0.000675 | 909.416641 | 0.151219 | 8.693139 | 0.000312 |
| 20 | 0.000248 | 980.833855 | 0.117255 | 9.176562 | 0.000235 | 0.000182 | 1853.287758 | 0.086887 | 9.391638 | 0.000203 |
| Mean | 0.001778 | 627.833127 | 0.251576 | 8.057987 | 0.000290 | 0.001283 | 1226.377765 | 0.187676 | 8.313550 | 0.000259 |

Tabel Lampiran 3.33 Hasil Perhitungan GLCM Dataset 17 Kelas Batik Sudut 0° dan Sudut 45°

| No. Citra | G0.asm | G0.kontras | G0.idm | G0.entropi | G0.korelasi | G45.asm | G45.kontras | G45.idm | G45.entropi | G45.korelasi |
|-----------|----------|-------------|----------|------------|-------------|----------|-------------|----------|-------------|--------------|
| 1 | 0.001163 | 767.792083 | 0.211713 | 8.340869 | 0.000214 | 0.000906 | 1334.637268 | 0.170203 | 8.532606 | 0.000198 |
| 2 | 0.000926 | 544.921151 | 0.157685 | 8.122515 | 0.000460 | 0.00079 | 907.374202 | 0.130564 | 8.270196 | 0.000409 |
| 3 | 0.000496 | 1027.200245 | 0.159898 | 8.824859 | 0.000164 | 0.000382 | 1958.570014 | 0.125053 | 9.03001 | 0.000149 |
| 4 | 0.000446 | 855.635517 | 0.114730 | 8.782447 | 0.000330 | 0.000375 | 1423.957871 | 0.09488 | 8.931082 | 0.000285 |
| 5 | 0.000774 | 739.028551 | 0.138342 | 8.364540 | 0.000359 | 0.000653 | 1229.614592 | 0.114292 | 8.51064 | 0.000315 |
| 6 | 0.000461 | 834.405372 | 0.143166 | 8.702070 | 0.000219 | 0.000389 | 1409.238003 | 0.117268 | 8.855658 | 0.000202 |
| 7 | 0.000396 | 835.390368 | 0.137731 | 8.775226 | 0.000247 | 0.000338 | 1230.011563 | 0.116388 | 8.893972 | 0.000231 |
| 8 | 0.000477 | 911.774413 | 0.163656 | 8.776172 | 0.000168 | 0.00038 | 1744.449191 | 0.130217 | 8.960783 | 0.000154 |
| 9 | 0.000273 | 1075.135067 | 0.113607 | 9.099316 | 0.000211 | 0.000233 | 1729.463001 | 0.094927 | 9.243763 | 0.000191 |
| 10 | 0.000241 | 986.588242 | 0.110688 | 9.156516 | 0.000226 | 0.0002 | 1650.645189 | 0.089478 | 9.315467 | 0.000204 |
| 11 | 0.000835 | 896.734314 | 0.160304 | 8.870047 | 0.000279 | 0.000701 | 1419.106702 | 0.134219 | 9.018531 | 0.000252 |
| 12 | 0.000110 | 1407.876325 | 0.070319 | 9.655735 | 0.000233 | 0.000091 | 2033.399079 | 0.056097 | 9.778278 | 0.000206 |
| 13 | 0.003448 | 601.104827 | 0.281642 | 7.582319 | 0.000416 | 0.002846 | 872.526552 | 0.241981 | 7.720271 | 0.000384 |
| 14 | 0.000128 | 1330.437891 | 0.082132 | 9.623507 | 0.000225 | 0.000106 | 2100.47971 | 0.066412 | 9.77214 | 0.000196 |
| 15 | 0.003205 | 843.530179 | 0.254652 | 7.831303 | 0.000337 | 0.002661 | 1153.573734 | 0.216804 | 7.964639 | 0.000312 |
| 16 | 0.000411 | 1332.256836 | 0.126852 | 9.205584 | 0.000212 | 0.000342 | 1972.6612 | 0.106532 | 9.330888 | 0.000191 |
| 17 | 0.000555 | 1347.322587 | 0.140899 | 8.966055 | 0.000221 | 0.000475 | 1796.184605 | 0.122614 | 9.074878 | 0.000205 |
| 18 | 0.000677 | 1073.694541 | 0.167812 | 8.720924 | 0.000241 | 0.000544 | 1674.245877 | 0.136855 | 8.888172 | 0.000217 |
| 19 | 0.000575 | 1163.760246 | 0.133429 | 9.211531 | 0.000248 | 0.00045 | 1982.935024 | 0.105086 | 9.399442 | 0.000211 |
| 20 | 0.000208 | 1335.244792 | 0.096513 | 9.412854 | 0.000228 | 0.000168 | 2067.639965 | 0.077883 | 9.561027 | 0.000199 |
| Mean | 0.000790 | 995.491677 | 0.148289 | 8.801219 | 0.000262 | 0.000652 | 1584.535667 | 0.122388 | 8.952622 | 0.000236 |

Tabel Lampiran 3.34 Hasil Perhitungan GLCM Dataset 17 Kelas Batik Sudut 90° dan Sudut 135°

| No. Citra | G90.asm | G90.kontras | G90.idm | G90.entropi | G90.korelasi | G135.asm | G135.kontras | G135.idm | G135.entropi | G135.korelasi |
|-----------|----------|-------------|----------|-------------|--------------|----------|--------------|----------|--------------|---------------|
| 1 | 0.001323 | 645.994947 | 0.229796 | 8.2657 | 0.000217 | 0.000931 | 1228.304514 | 0.17534 | 8.501427 | 0.000201 |
| 2 | 0.000966 | 485.351277 | 0.162597 | 8.080268 | 0.000471 | 0.000766 | 963.012896 | 0.125291 | 8.294034 | 0.000401 |
| 3 | 0.000533 | 1007.132928 | 0.168487 | 8.785806 | 0.000164 | 0.000397 | 1684.948772 | 0.129303 | 8.985403 | 0.000153 |
| 4 | 0.000465 | 738.739351 | 0.122451 | 8.726134 | 0.00034 | 0.000366 | 1454.906008 | 0.09316 | 8.939363 | 0.000283 |
| 5 | 0.000792 | 637.200198 | 0.144391 | 8.317394 | 0.000369 | 0.000643 | 1264.531 | 0.113081 | 8.519056 | 0.000312 |
| 6 | 0.000486 | 703.904024 | 0.15316 | 8.637826 | 0.000223 | 0.000384 | 1381.721526 | 0.11608 | 8.856117 | 0.000202 |
| 7 | 0.000417 | 729.754108 | 0.147127 | 8.722319 | 0.000251 | 0.000316 | 1591.879038 | 0.105483 | 8.969792 | 0.000217 |
| 8 | 0.000522 | 898.488638 | 0.177397 | 8.736243 | 0.000169 | 0.000379 | 1537.61935 | 0.130676 | 8.938161 | 0.000158 |
| 9 | 0.000296 | 878.764586 | 0.124335 | 9.024592 | 0.000216 | 0.000228 | 1792.190666 | 0.093391 | 9.257011 | 0.000189 |
| 10 | 0.000255 | 903.700989 | 0.120929 | 9.107849 | 0.000229 | 0.000198 | 1770.649668 | 0.088899 | 9.326674 | 0.0002 |
| 11 | 0.001088 | 795.070603 | 0.19047 | 8.764094 | 0.000285 | 0.000654 | 1609.143158 | 0.125789 | 9.056771 | 0.000241 |
| 12 | 0.000126 | 968.174856 | 0.079833 | 9.521186 | 0.000252 | 0.00009 | 2269.171787 | 0.054047 | 9.809193 | 0.000196 |
| 13 | 0.00418 | 530.188775 | 0.31383 | 7.496854 | 0.000425 | 0.002648 | 1143.022956 | 0.229139 | 7.793469 | 0.000352 |
| 14 | 0.000148 | 1168.097495 | 0.090669 | 9.572059 | 0.000231 | 0.000104 | 2346.52773 | 0.064255 | 9.800992 | 0.000186 |
| 15 | 0.004007 | 514.585312 | 0.299387 | 7.682712 | 0.000364 | 0.002483 | 1275.908395 | 0.206414 | 8.014674 | 0.000301 |
| 16 | 0.000448 | 1065.085173 | 0.134479 | 9.131951 | 0.000221 | 0.000323 | 2292.461606 | 0.100045 | 9.378174 | 0.000181 |
| 17 | 0.000664 | 913.842628 | 0.16493 | 8.835512 | 0.000237 | 0.000443 | 2270.354858 | 0.113234 | 9.133515 | 0.000188 |
| 18 | 0.000779 | 900.811411 | 0.186376 | 8.65777 | 0.000248 | 0.000523 | 1896.797492 | 0.131416 | 8.914317 | 0.000208 |
| 19 | 0.000639 | 1034.44916 | 0.14127 | 9.171545 | 0.000254 | 0.00044 | 1909.729416 | 0.106315 | 9.392757 | 0.000214 |
| 20 | 0.000221 | 1180.181164 | 0.100073 | 9.37525 | 0.000234 | 0.000162 | 2387.07285 | 0.07168 | 9.606377 | 0.000187 |
| Mean | 0.000918 | 834.975881 | 0.162599 | 8.730653 | 0.000270 | 0.000624 | 1703.497684 | 0.118652 | 8.974364 | 0.000229 |

Tabel Lampiran 3.35 Hasil Perhitungan GLCM Dataset 18 Kelas Batik Sudut 0° dan Sudut 45°

| No. Citra | G0.asm | G0.kontras | G0.idm | G0.entropi | G0.korelasi | G45.asm | G45.kontras | G45.idm | G45.entropi | G45.korelasi |
|-----------|----------|-------------|----------|------------|-------------|----------|-------------|----------|-------------|--------------|
| 1 | 0.000496 | 1027.200245 | 0.159898 | 8.824859 | 0.000164 | 0.000382 | 1958.570014 | 0.125053 | 9.03001 | 0.000149 |
| 2 | 0.000615 | 1071.188294 | 0.171195 | 8.667698 | 0.000183 | 0.000483 | 1740.780039 | 0.138972 | 8.842078 | 0.000169 |
| 3 | 0.000446 | 855.635517 | 0.114730 | 8.782447 | 0.000330 | 0.000375 | 1423.957871 | 0.09488 | 8.931082 | 0.000285 |
| 4 | 0.000774 | 739.028551 | 0.138342 | 8.364540 | 0.000359 | 0.000653 | 1229.614592 | 0.114292 | 8.51064 | 0.000315 |
| 5 | 0.000396 | 835.390368 | 0.137731 | 8.775226 | 0.000247 | 0.000338 | 1230.011563 | 0.116388 | 8.893972 | 0.000231 |
| 6 | 0.000477 | 911.774413 | 0.163656 | 8.776172 | 0.000168 | 0.00038 | 1744.449191 | 0.130217 | 8.960783 | 0.000154 |
| 7 | 0.000644 | 1085.876945 | 0.173456 | 8.599452 | 0.000184 | 0.000524 | 1754.877581 | 0.144496 | 8.760305 | 0.00017 |
| 8 | 0.000241 | 986.588242 | 0.110688 | 9.156516 | 0.000226 | 0.0002 | 1650.645189 | 0.089478 | 9.315467 | 0.000204 |
| 9 | 0.000435 | 876.796113 | 0.128447 | 8.811189 | 0.000245 | 0.000359 | 1525.552654 | 0.102154 | 8.977158 | 0.00022 |
| 10 | 0.000352 | 986.949997 | 0.158425 | 8.953669 | 0.000177 | 0.000278 | 1745.235104 | 0.125841 | 9.134994 | 0.000162 |
| 11 | 0.000640 | 710.861306 | 0.167978 | 8.460330 | 0.000217 | 0.000528 | 1127.941379 | 0.14088 | 8.611789 | 0.000206 |
| 12 | 0.000492 | 1036.550794 | 0.162621 | 8.788896 | 0.000165 | 0.000393 | 1779.015795 | 0.133224 | 8.967249 | 0.000153 |
| 13 | 0.000650 | 1093.390818 | 0.165708 | 8.673143 | 0.000188 | 0.00052 | 1857.628309 | 0.133249 | 8.851543 | 0.00017 |
| 14 | 0.000215 | 1028.999550 | 0.112487 | 9.194434 | 0.000215 | 0.000175 | 1714.43569 | 0.088901 | 9.359522 | 0.000194 |
| 15 | 0.000182 | 976.553568 | 0.094010 | 9.259913 | 0.000242 | 0.00015 | 1687.928669 | 0.075794 | 9.429598 | 0.000214 |
| 16 | 0.000205 | 1075.206584 | 0.102437 | 9.243580 | 0.000228 | 0.000172 | 1668.961901 | 0.085586 | 9.378592 | 0.000207 |
| 17 | 0.000388 | 1016.208522 | 0.137483 | 8.912810 | 0.000205 | 0.000314 | 1645.114452 | 0.1118 | 9.072947 | 0.000188 |
| 18 | 0.000926 | 881.802902 | 0.187919 | 8.305606 | 0.000192 | 0.000765 | 1445.100781 | 0.158744 | 8.460394 | 0.00018 |
| 19 | 0.000340 | 668.159449 | 0.147401 | 8.798273 | 0.000245 | 0.000284 | 1007.191239 | 0.12423 | 8.940715 | 0.000233 |
| 20 | 0.000303 | 885.654659 | 0.126926 | 8.936770 | 0.000247 | 0.000257 | 1299.26426 | 0.104186 | 9.07259 | 0.00023 |
| Mean | 0.000461 | 937.490842 | 0.143077 | 8.814276 | 0.000221 | 0.000377 | 1561.813814 | 0.116918 | 8.975071 | 0.000202 |

Tabel Lampiran 3.36 Hasil Perhitungan GLCM Dataset 18 Kelas Batik Sudut 90° dan Sudut 135°

| No. Citra | G90.asm | G90.kontras | G90.idm | G90.entropi | G90.korelasi | G135.asm | G135.kontras | G135.idm | G135.entropi | G135.korelasi |
|-----------|----------|-------------|----------|-------------|--------------|----------|--------------|----------|--------------|---------------|
| 1 | 0.000533 | 1007.132928 | 0.168487 | 8.785806 | 0.000164 | 0.000397 | 1684.948772 | 0.129303 | 8.985403 | 0.000153 |
| 2 | 0.000783 | 698.884633 | 0.211191 | 8.493025 | 0.000191 | 0.000534 | 1456.91475 | 0.149441 | 8.775772 | 0.000175 |
| 3 | 0.000465 | 738.739351 | 0.122451 | 8.726134 | 0.00034 | 0.000366 | 1454.906008 | 0.09316 | 8.939363 | 0.000283 |
| 4 | 0.000792 | 637.200198 | 0.144391 | 8.317394 | 0.000369 | 0.000643 | 1264.531 | 0.113081 | 8.519056 | 0.000312 |
| 5 | 0.000417 | 729.754108 | 0.147127 | 8.722319 | 0.000251 | 0.000316 | 1591.879038 | 0.105483 | 8.969792 | 0.000217 |
| 6 | 0.000522 | 898.488638 | 0.177397 | 8.736243 | 0.000169 | 0.000379 | 1537.61935 | 0.130676 | 8.938161 | 0.000158 |
| 7 | 0.000848 | 764.158131 | 0.217084 | 8.43267 | 0.000191 | 0.000548 | 1589.416176 | 0.149378 | 8.726946 | 0.000173 |
| 8 | 0.000255 | 903.700989 | 0.120929 | 9.107849 | 0.000229 | 0.000198 | 1770.649668 | 0.088899 | 9.326674 | 0.0002 |
| 9 | 0.000423 | 935.605245 | 0.12592 | 8.830088 | 0.000243 | 0.000343 | 1744.588366 | 0.096517 | 9.023178 | 0.000211 |
| 10 | 0.000413 | 819.816185 | 0.178838 | 8.857194 | 0.00018 | 0.000287 | 1519.922577 | 0.127969 | 9.099599 | 0.000167 |
| 11 | 0.000657 | 609.235259 | 0.173884 | 8.421319 | 0.00022 | 0.000495 | 1275.016585 | 0.130125 | 8.650254 | 0.000201 |
| 12 | 0.000612 | 833.869521 | 0.191477 | 8.679265 | 0.000169 | 0.000417 | 1606.305118 | 0.139124 | 8.924769 | 0.000156 |
| 13 | 0.000804 | 764.349975 | 0.203907 | 8.509999 | 0.000195 | 0.000543 | 1518.480191 | 0.141348 | 8.797426 | 0.000178 |
| 14 | 0.000231 | 859.466225 | 0.12112 | 9.132035 | 0.00022 | 0.000178 | 1685.944758 | 0.091814 | 9.350169 | 0.000195 |
| 15 | 0.000194 | 890.512276 | 0.103061 | 9.212021 | 0.000246 | 0.00015 | 1631.3616 | 0.07588 | 9.425195 | 0.000217 |
| 16 | 0.000214 | 949.036472 | 0.110119 | 9.196198 | 0.000232 | 0.000163 | 1939.561845 | 0.080608 | 9.42918 | 0.000197 |
| 17 | 0.000486 | 707.859926 | 0.16975 | 8.752002 | 0.000213 | 0.000326 | 1463.201066 | 0.117276 | 9.038114 | 0.000192 |
| 18 | 0.001125 | 656.05997 | 0.219345 | 8.180253 | 0.000197 | 0.000756 | 1296.275978 | 0.158339 | 8.454185 | 0.000183 |
| 19 | 0.000395 | 544.233926 | 0.172849 | 8.687228 | 0.00025 | 0.000269 | 1203.210459 | 0.117138 | 8.994265 | 0.000226 |
| 20 | 0.000341 | 582.041664 | 0.143791 | 8.803334 | 0.000258 | 0.00025 | 1406.190371 | 0.102273 | 9.097205 | 0.000226 |
| Mean | 0.000526 | 776.507281 | 0.161156 | 8.729119 | 0.000226 | 0.000378 | 1532.046184 | 0.116892 | 8.973235 | 0.000201 |

Tabel Lampiran 3.37 Hasil Perhitungan GLCM Dataset 19 Kelas Batik Sudut 0° dan Sudut 45°

| No. Citra | G0.asm | G0.kontras | G0.idm | G0.entropi | G0.korelasi | G45.asm | G45.kontras | G45.idm | G45.entropi | G45.korelasi |
|-----------|----------|-------------|----------|------------|-------------|----------|-------------|----------|-------------|--------------|
| 1 | 0.001102 | 914.669477 | 0.194070 | 8.363580 | 0.000181 | 0.000878 | 1611.257967 | 0.1624 | 8.541817 | 0.000167 |
| 2 | 0.000396 | 835.390368 | 0.137731 | 8.775226 | 0.000247 | 0.000338 | 1230.011563 | 0.116388 | 8.893972 | 0.000231 |
| 3 | 0.000314 | 1267.843217 | 0.133254 | 9.148879 | 0.000170 | 0.000244 | 2207.422872 | 0.104635 | 9.332531 | 0.000153 |
| 4 | 0.000435 | 876.796113 | 0.128447 | 8.811189 | 0.000245 | 0.000359 | 1525.552654 | 0.102154 | 8.977158 | 0.00022 |
| 5 | 0.002518 | 708.747504 | 0.292273 | 7.546843 | 0.000259 | 0.002029 | 1261.513981 | 0.245262 | 7.713375 | 0.000236 |
| 6 | 0.002102 | 714.344860 | 0.259849 | 7.711311 | 0.000281 | 0.001697 | 1219.328539 | 0.217906 | 7.871463 | 0.000255 |
| 7 | 0.001546 | 860.230935 | 0.263613 | 8.056870 | 0.000205 | 0.00121 | 1539.238282 | 0.218823 | 8.235303 | 0.000188 |
| 8 | 0.002564 | 769.509905 | 0.297702 | 7.594586 | 0.000272 | 0.001964 | 1316.290176 | 0.243893 | 7.770362 | 0.000245 |
| 9 | 0.000940 | 610.271049 | 0.172978 | 8.507528 | 0.000394 | 0.000833 | 913.690185 | 0.14994 | 8.625579 | 0.000362 |
| 10 | 0.000518 | 586.483849 | 0.159897 | 8.729834 | 0.000337 | 0.000436 | 976.4453 | 0.135205 | 8.885585 | 0.000308 |
| 11 | 0.000456 | 579.989305 | 0.163959 | 8.737525 | 0.000332 | 0.000391 | 917.178576 | 0.139994 | 8.879484 | 0.000308 |
| 12 | 0.000988 | 669.315100 | 0.211528 | 8.395441 | 0.000239 | 0.000839 | 1156.913913 | 0.180548 | 8.547375 | 0.000223 |
| 13 | 0.003674 | 558.224115 | 0.248030 | 7.566466 | 0.000408 | 0.0033 | 835.146878 | 0.225968 | 7.657609 | 0.000377 |
| 14 | 0.003517 | 808.077159 | 0.257706 | 7.856548 | 0.000318 | 0.002932 | 1535.847139 | 0.221294 | 8.020102 | 0.000267 |
| 15 | 0.003301 | 734.586816 | 0.272542 | 7.591608 | 0.000328 | 0.002813 | 1104.031992 | 0.238673 | 7.714043 | 0.000301 |
| 16 | 0.003372 | 562.574230 | 0.280486 | 7.556572 | 0.000406 | 0.002955 | 897.770662 | 0.25399 | 7.657586 | 0.00037 |
| 17 | 0.000835 | 896.734314 | 0.160304 | 8.870047 | 0.000279 | 0.000701 | 1419.106702 | 0.134219 | 9.018531 | 0.000252 |
| 18 | 0.000128 | 1330.437891 | 0.082132 | 9.623507 | 0.000225 | 0.000106 | 2100.47971 | 0.066412 | 9.77214 | 0.000196 |
| 19 | 0.000397 | 1187.788425 | 0.129356 | 9.263895 | 0.000254 | 0.000316 | 2028.85368 | 0.104177 | 9.441511 | 0.000213 |
| 20 | 0.000208 | 1335.244792 | 0.096513 | 9.412854 | 0.000228 | 0.000168 | 2067.639965 | 0.077883 | 9.561027 | 0.000199 |
| Mean | 0.002339 | 742.577933 | 0.290707 | 7.720526 | 0.000233 | 0.001756 | 1462.414984 | 0.230825 | 7.939559 | 0.000210 |

Tabel Lampiran 3.38 Hasil Perhitungan GLCM Dataset 19 Kelas Batik Sudut 90° dan Sudut 135°

| No. Citra | G90.asm | G90.kontras | G90.idm | G90.entropi | G90.korelasi | G135.asm | G135.kontras | G135.idm | G135.entropi | G135.korelasi |
|-----------|----------|-------------|----------|-------------|--------------|----------|--------------|----------|--------------|---------------|
| 1 | 0.001319 | 747.119536 | 0.223311 | 8.257994 | 0.000184 | 0.000923 | 1405.57688 | 0.164937 | 8.49928 | 0.000171 |
| 2 | 0.000417 | 729.754108 | 0.147127 | 8.722319 | 0.000251 | 0.000316 | 1591.879038 | 0.105483 | 8.969792 | 0.000217 |
| 3 | 0.000347 | 1008.81665 | 0.151073 | 9.054513 | 0.000175 | 0.000254 | 1885.207173 | 0.109009 | 9.289336 | 0.000159 |
| 4 | 0.000423 | 935.605245 | 0.12592 | 8.830088 | 0.000243 | 0.000343 | 1744.588366 | 0.096517 | 9.023178 | 0.000211 |
| 5 | 0.002817 | 685.032333 | 0.311374 | 7.49279 | 0.000261 | 0.002 | 1313.95057 | 0.243724 | 7.72303 | 0.000234 |
| 6 | 0.002246 | 621.662316 | 0.275893 | 7.661705 | 0.000285 | 0.001641 | 1236.242994 | 0.210995 | 7.897876 | 0.000253 |
| 7 | 0.001621 | 795.091853 | 0.279939 | 8.003572 | 0.000207 | 0.001221 | 1512.835793 | 0.221244 | 8.225776 | 0.000189 |
| 8 | 0.002588 | 718.389748 | 0.301954 | 7.574751 | 0.000274 | 0.001937 | 1388.689984 | 0.241996 | 7.786061 | 0.000242 |
| 9 | 0.001374 | 380.259037 | 0.231458 | 8.256705 | 0.000418 | 0.000807 | 877.18507 | 0.148558 | 8.619944 | 0.000365 |
| 10 | 0.000672 | 482.068479 | 0.197172 | 8.597202 | 0.000344 | 0.00044 | 957.368575 | 0.137263 | 8.874638 | 0.00031 |
| 11 | 0.000613 | 431.277993 | 0.209785 | 8.548332 | 0.000342 | 0.000396 | 912.950369 | 0.140467 | 8.873446 | 0.000308 |
| 12 | 0.001311 | 582.235585 | 0.24725 | 8.270112 | 0.000243 | 0.00084 | 1123.078864 | 0.180178 | 8.539677 | 0.000224 |
| 13 | 0.005578 | 461.319301 | 0.327364 | 7.339678 | 0.000419 | 0.003199 | 968.302406 | 0.217498 | 7.697374 | 0.000363 |
| 14 | 0.004597 | 508.961405 | 0.306201 | 7.66016 | 0.000339 | 0.002993 | 788.70026 | 0.232987 | 7.909967 | 0.000319 |
| 15 | 0.004224 | 475.343264 | 0.317418 | 7.437185 | 0.000347 | 0.002699 | 1087.344349 | 0.230258 | 7.742383 | 0.000302 |
| 16 | 0.004825 | 432.164254 | 0.364582 | 7.28977 | 0.000421 | 0.002818 | 849.980222 | 0.243695 | 7.687315 | 0.000375 |
| 17 | 0.001088 | 795.070603 | 0.19047 | 8.764094 | 0.000285 | 0.000654 | 1609.143158 | 0.125789 | 9.056771 | 0.000241 |
| 18 | 0.000148 | 1168.097495 | 0.090669 | 9.572059 | 0.000231 | 0.000104 | 2346.52773 | 0.064255 | 9.800992 | 0.000186 |
| 19 | 0.000465 | 982.787448 | 0.143768 | 9.189343 | 0.000263 | 0.000311 | 1774.276877 | 0.107082 | 9.409982 | 0.000225 |
| 20 | 0.000221 | 1180.181164 | 0.100073 | 9.37525 | 0.000234 | 0.000162 | 2387.07285 | 0.07168 | 9.606377 | 0.000187 |
| Mean | 0.001845 | 706.061891 | 0.227140 | 8.294881 | 0.000288 | 0.001203 | 1388.045076 | 0.164681 | 8.561660 | 0.000254 |

Tabel Lampiran 3.39 Hasil Perhitungan GLCM Dataset 20 Kelas Batik Sudut 0° dan Sudut 45°

| No. Citra | G0.asm | G0.kontras | G0.idm | G0.entropi | G0.korelasi | G45.asm | G45.kontras | G45.idm | G45.entropi | G45.korelasi |
|-----------|----------|-------------|----------|------------|-------------|----------|-------------|----------|-------------|--------------|
| 1 | 0.000492 | 1036.550794 | 0.162621 | 8.788896 | 0.000165 | 0.000393 | 1779.015795 | 0.133224 | 8.967249 | 0.000153 |
| 2 | 0.000205 | 1075.206584 | 0.102437 | 9.243580 | 0.000228 | 0.000172 | 1668.961901 | 0.085586 | 9.378592 | 0.000207 |
| 3 | 0.000347 | 1244.798748 | 0.139250 | 9.040585 | 0.000175 | 0.000283 | 1930.638167 | 0.114746 | 9.191174 | 0.000161 |
| 4 | 0.000303 | 885.654659 | 0.126926 | 8.936770 | 0.000247 | 0.000257 | 1299.26426 | 0.104186 | 9.07259 | 0.00023 |
| 5 | 0.001492 | 809.052142 | 0.258545 | 7.970218 | 0.000221 | 0.001151 | 1462.624837 | 0.208862 | 8.152454 | 0.000201 |
| 6 | 0.002629 | 929.580988 | 0.269157 | 7.898363 | 0.000199 | 0.002078 | 1678.716721 | 0.222067 | 8.063473 | 0.000181 |
| 7 | 0.001850 | 719.667633 | 0.259745 | 7.746775 | 0.000256 | 0.001482 | 1240.246047 | 0.214975 | 7.906551 | 0.000235 |
| 8 | 0.002607 | 887.658798 | 0.265829 | 7.713055 | 0.000224 | 0.002084 | 1479.073083 | 0.221052 | 7.863993 | 0.000205 |
| 9 | 0.000740 | 645.837467 | 0.183144 | 8.527977 | 0.000317 | 0.000621 | 1058.311008 | 0.149341 | 8.679154 | 0.00029 |
| 10 | 0.000822 | 573.867211 | 0.185399 | 8.500444 | 0.000346 | 0.000703 | 894.924422 | 0.158821 | 8.62868 | 0.000322 |
| 11 | 0.000940 | 610.271049 | 0.172978 | 8.507528 | 0.000394 | 0.000833 | 913.690185 | 0.14994 | 8.625579 | 0.000362 |
| 12 | 0.000454 | 757.820510 | 0.147777 | 9.032101 | 0.000357 | 0.000389 | 1219.170826 | 0.125767 | 9.179794 | 0.000315 |
| 13 | 0.001701 | 600.925445 | 0.227193 | 8.144232 | 0.000375 | 0.001442 | 982.498279 | 0.194224 | 8.302949 | 0.00034 |
| 14 | 0.001652 | 631.321812 | 0.210192 | 7.947408 | 0.000382 | 0.001462 | 1027.459979 | 0.187456 | 8.058445 | 0.000343 |
| 15 | 0.000555 | 1520.293943 | 0.122254 | 9.237069 | 0.000243 | 0.000489 | 1815.486205 | 0.113721 | 9.309809 | 0.000227 |
| 16 | 0.002242 | 671.722425 | 0.270341 | 7.941892 | 0.000333 | 0.00188 | 1105.943967 | 0.237545 | 8.087898 | 0.000301 |
| 17 | 0.002109 | 577.529357 | 0.256293 | 7.821407 | 0.000371 | 0.001745 | 762.315131 | 0.221464 | 7.972811 | 0.000354 |
| 18 | 0.001826 | 747.709607 | 0.215390 | 8.156156 | 0.000356 | 0.001593 | 1057.454848 | 0.192734 | 8.251968 | 0.000329 |
| 19 | 0.000110 | 1407.876325 | 0.070319 | 9.655735 | 0.000233 | 0.000091 | 2033.399079 | 0.056097 | 9.778278 | 0.000206 |
| 20 | 0.000677 | 1073.694541 | 0.167812 | 8.720924 | 0.000241 | 0.000544 | 1674.245877 | 0.136855 | 8.888172 | 0.000217 |
| Mean | 0.001188 | 870.352002 | 0.190680 | 8.476556 | 0.000283 | 0.000985 | 1354.172031 | 0.161433 | 8.617981 | 0.000259 |

Tabel Lampiran 3.40 Hasil Perhitungan GLCM Dataset 20 Kelas Batik Sudut 90° dan Sudut 135°

| No. Citra | G90.asm | G90.kontras | G90.idm | G90.entropi | G90.korelasi | G135.asm | G135.kontras | G135.idm | G135.entropi | G135.korelasi |
|-----------|----------|-------------|----------|-------------|--------------|----------|--------------|----------|--------------|---------------|
| 1 | 0.000612 | 833.869521 | 0.191477 | 8.679265 | 0.000169 | 0.000417 | 1606.305118 | 0.139124 | 8.924769 | 0.000156 |
| 2 | 0.000214 | 949.036472 | 0.110119 | 9.196198 | 0.000232 | 0.000163 | 1939.561845 | 0.080608 | 9.42918 | 0.000197 |
| 3 | 0.000449 | 791.069874 | 0.176554 | 8.85526 | 0.000184 | 0.000293 | 1752.533046 | 0.119128 | 9.158395 | 0.000165 |
| 4 | 0.000341 | 582.041664 | 0.143791 | 8.803334 | 0.000258 | 0.00025 | 1406.190371 | 0.102273 | 9.097205 | 0.000226 |
| 5 | 0.001597 | 773.612778 | 0.266471 | 7.936739 | 0.000222 | 0.001171 | 1441.686992 | 0.210374 | 8.152336 | 0.000202 |
| 6 | 0.00271 | 919.52959 | 0.272437 | 7.876525 | 0.0002 | 0.002048 | 1710.652226 | 0.220195 | 8.067652 | 0.00018 |
| 7 | 0.002005 | 677.135284 | 0.280576 | 7.674869 | 0.000258 | 0.001474 | 1334.906457 | 0.212346 | 7.921119 | 0.000231 |
| 8 | 0.002781 | 735.793726 | 0.284483 | 7.630836 | 0.000229 | 0.002097 | 1494.332693 | 0.220707 | 7.858369 | 0.000205 |
| 9 | 0.000855 | 508.565038 | 0.20176 | 8.434918 | 0.000326 | 0.000612 | 1049.668454 | 0.148305 | 8.674848 | 0.000291 |
| 10 | 0.001174 | 382.017484 | 0.24587 | 8.246682 | 0.000361 | 0.000724 | 823.443285 | 0.162316 | 8.597745 | 0.000327 |
| 11 | 0.001374 | 380.259037 | 0.231458 | 8.256705 | 0.000418 | 0.000807 | 877.18507 | 0.148558 | 8.619944 | 0.000365 |
| 12 | 0.000585 | 668.236856 | 0.179961 | 8.91446 | 0.000364 | 0.00037 | 1277.003116 | 0.121387 | 9.20381 | 0.000309 |
| 13 | 0.002487 | 479.62135 | 0.285112 | 7.953648 | 0.000386 | 0.001455 | 946.890322 | 0.1959 | 8.286958 | 0.000343 |
| 14 | 0.002613 | 507.818169 | 0.295968 | 7.692062 | 0.000394 | 0.001418 | 1016.795694 | 0.181039 | 8.081042 | 0.000344 |
| 15 | 0.000804 | 533.395421 | 0.175979 | 8.874467 | 0.000294 | 0.000483 | 1885.961188 | 0.112213 | 9.315988 | 0.000224 |
| 16 | 0.002803 | 463.394398 | 0.315042 | 7.785663 | 0.000348 | 0.001733 | 904.061985 | 0.227647 | 8.099796 | 0.000316 |
| 17 | 0.003043 | 391.300995 | 0.339498 | 7.572365 | 0.000387 | 0.00174 | 911.388849 | 0.220179 | 7.984933 | 0.000341 |
| 18 | 0.002813 | 510.507332 | 0.307885 | 7.829038 | 0.000378 | 0.001558 | 1180.55828 | 0.186594 | 8.277488 | 0.000318 |
| 19 | 0.000126 | 968.174856 | 0.079833 | 9.521186 | 0.000252 | 0.00009 | 2269.171787 | 0.054047 | 9.809193 | 0.000196 |
| 20 | 0.000779 | 900.811411 | 0.186376 | 8.65777 | 0.000248 | 0.000523 | 1896.797492 | 0.131416 | 8.914317 | 0.000208 |
| Mean | 0.001508 | 647.809563 | 0.228533 | 8.319600 | 0.000295 | 0.000971 | 1386.254714 | 0.159718 | 8.623754 | 0.000257 |

